

COMMITTENTE:



PROGETTAZIONE:



U.O. OPERE CIVILI

PROGETTO DEFINITIVO

RADDOPPIO LINEA GENOVA – VENTIMIGLIA
TRATTA FINALE LIGURE - ANDORA

NUOVA VIABILITA' – PONTE STRADALE

Relazione di calcolo impalcato

SCALA:

COMMESSA LOTTO FASE ENTE TIPO DOC. OPERA/DISCIPLINA Progr. REV.

IV01 00 D 09 CL NVX309 001 B

Rev.	Descrizione	Redatto	Data	Verificato	Data	Approvato	Data	Autorizzato Data
A	Emissione esecutiva	K. Petrucci	Feb.2022	F.Bonifacio	Feb.2022	D. Fadda	Feb.2022	A.Vittozzi Lug.2023
B	Emissione esecutiva	K. Petrucci	Lug.2023	F.Bonifacio	Lug.2023	D. Fadda	Lug.2023	ITALFERR S.p.A. U.O. Opere Civili - Direzione provinciale Dott. Ing. Filippo Vittozzi Ordine degli Ingegneri della Provincia di Genova n° 410783

File: IV0100D09CLNVX309001B

n. Elab.:

INDICE

1	PREMESSA	5
2	SCOPO DEL DOCUMENTO	5
2.1	DESCRIZIONE DELL'OPERA.....	5
2.2	MODALITÀ REALIZZATIVE.....	8
3	DOCUMENTI DI RIFERIMENTO	8
3.1	DOCUMENTI REFERENZIATI.....	8
3.1.1	<i>Documenti di progetto.....</i>	8
3.1.2	<i>Normativa e istruzioni.....</i>	8
4	CARATTERISTICHE DEI MATERIALI IMPIEGATI.....	8
4.1	CALCESTRUZZO	8
4.1.1	<i>Soletta.....</i>	8
4.1.2	<i>Predalles.....</i>	8
4.2	ACCIAIO.....	8
4.2.1	<i>Acciaio per cemento armato.....</i>	9
4.2.2	<i>Acciaio per la carpenteria metallica di impalcato.....</i>	9
4.2.3	<i>Connettori trave soletta.....</i>	9
4.2.4	<i>Giunzioni bullonate.....</i>	9
4.2.5	<i>Giunzioni saldate.....</i>	10
4.3	CONDIZIONI AMBIENTALI E CLASSI DI ESPOSIZIONE	10
4.4	CALCOLO COEFFICIENTI DI OMOGENEIZZAZIONE.....	11
5	IMPOSTAZIONI DELLE ANALISI E DELLE VERIFICHE	12
5.1	ANALISI DELLA STRUTTURA COMPOSTA	12
5.1.1	<i>Fasi.....</i>	12
5.2	DATI GENERALI DELLE SEZIONI DI IMPALCATO	12
5.2.1	<i>Larghezze collaboranti di soletta</i>	12
5.2.2	<i>Caratteristiche delle sezioni di impalcato</i>	13
5.3	DESCRIZIONE DEL MODELLO DI CALCOLO.....	15
6	ANALISI DEI CARICHI DI PROGETTO.....	16
6.1	PESO PROPRIO DEI MATERIALI STRUTTURALI	16
6.2	CARICHI PERMANENTI.....	16
6.3	RITIRO (ε ₂).....	17
6.4	CARICHI VARIABILI DA TRAFFICO	18
6.4.1	<i>Categoria Stradale</i>	18
6.4.2	<i>Schemi di carico</i>	18
6.4.3	<i>Azione longitudinale di frenamento o di accelerazione.....</i>	25

**Nuova viabilità – Ponte stradale
Relazione di calcolo impalcato**

COMMESSA	LOTTO	CODIFICA	DOCUMENTO	REV.	FOGLIO
IV01	00	D 09 CL	NVX309001	B	3 di 144

6.4.4	Forze centrifughe	25
6.4.5	Resistenze parassite dei vincoli	25
6.4.6	Azioni sui parapetti. Urto di veicolo in svio	25
6.4.7	Altre azioni variabili.....	25
6.5	VARIAZIONI TERMICHE (E3).....	25
6.5.1	variazione termica uniforme.....	25
6.5.2	variazione termica non uniforme.....	26
6.6	CARICO NEVE.....	27
6.7	AZIONE DEL VENTO	27
6.8	AZIONE SISMICA.....	29
6.8.1	Vita nominale	29
6.8.2	Classe d'uso	30
6.8.3	Periodo di riferimento	30
6.8.4	Valutazione dei parametri di pericolosità sismica	30
6.8.5	Caratterizzazione sismica del terreno	31
6.8.6	Classe di duttilità.....	34
6.8.7	Fattore di struttura.....	34
6.8.8	Valutazione dell'azione Sismica.....	34
6.9	COMBINAZIONI DI CARICO	36
6.9.1	Combinazioni relative agli stati limite ultimi	38
6.9.2	Combinazioni contenenti l'azione sismica	39
6.9.3	Combinazione dell'azione sismica con le altre azioni.....	40
7	ANALISI NUMERICA	41
7.1	CODICE DI CALCOLO	41
7.2	MODELLAZIONE DELLA STRUTTURA	41
7.3	MODELLAZIONE DELLE AZIONI	41
8	CALCOLO DELLA RISPOSTA STRUTTURALE.....	43
8.1	DATI-INPUT DELL'ANALISI	43
8.2	CONDIZIONI DI CARICO ELEMENTARI.....	44
8.3	RISULTATI DELL'ANALISI	44
8.3.1	Numerazione delle aste nelle travi d'impalcato.....	44
8.3.2	Diagrammi delle sollecitazioni.....	44
8.3.3	Sollecitazioni nei conci nelle condizioni elementari di carico	47
8.3.4	Combinazioni di carico utilizzate.....	48
8.3.5	Combinazioni di carico con sollecitazioni massime.....	49
9	VERIFICHE STRUTTURALI.....	50
9.1	VERIFICHE DELLE MEMBRATURE IN ACCIAIO	50
9.1.1	Verifiche di resistenza delle membrature di classe 1 e 2.....	50
9.1.2	Verifiche di resistenza delle membrature di classe 3 e 4.....	51

9.1.3	Verifica per sollecitazioni taglienti	53
9.1.4	Verifica per sollecitazioni composte di taglio e presso-flessione	54
9.1.5	Verifica degli irrigidimenti	55
9.1.6	Verifica connessione trave soletta	57
9.2	VERIFICHE LOCALI DELLA SOLETTA DI IMPALCATO	58
9.2.1	Sollecitazioni flettenti trasversali	59
9.2.2	Armatura superiore trasversale minima per verifica a flessione SLU	63
9.2.3	Armatura inferiore trasversale minima per verifica a flessione SLU	63
9.2.4	Trazioni massime nel cls per verifica tensionale SLE	64
9.2.5	Ampiezza massima fessure nel cls per verifica a fessurazione SLE	64
9.2.6	Sintesi verifica soletta	65
9.3	VERIFICHE A FATICA	68
9.3.1	Modello di carico a fatica	68
9.3.2	Coefficienti parziali per la resistenza a fatica	68
9.3.3	Dettagli di fatica adottati per le verifiche	69
9.3.4	Verifiche a fatica dei conci metallici	70
10	S.L.E. – DEFORMABILITÀ	71
11	VERIFICA DEI TRASVERSI E DEI CONTROVENTI	72
11.1	S.L.U. – RESISTENZA DELLE SEZIONI	72
11.1.1	Traverso di appoggio	73
11.1.2	Traverso di campata	76
11.1.3	Controventi	79
12	UNIONI A TAGLIO PER ATTRITO AD ALTA RESISTENZA	83
12.1	GENERALITÀ	83
12.1.1	Giunti trave-trave	83
12.1.2	Giunti nei trasversi	133
13	DISPOSITIVI ANTISISMICI E GIUNTI DI DILATAZIONE	143
13.1	DISPOSITIVI ANTISISMICI	143
13.2	GIUNTI DI DILATAZIONE	144
14	CONCLUSIONI	144
15	ALLEGATO	144

1 PREMESSA

Nella presente relazione si riportano l'analisi strutturale e le verifiche di sicurezza dell'impalcato del ponte in struttura mista acciaio calcestruzzo per scavalco di fosso.

La sistemazione del Sito di abbancamento di Villanova d'Albenga (WBS IAX3) e la strada di accesso (WBS NVX3) saranno oggetto di specifico procedimento autorizzatorio in capo al Comune di Villanova di Albenga, come da accordi tra il medesimo Comune, RFI e la Regione Liguria.

2 SCOPO DEL DOCUMENTO

Nella relazione seguente sono illustrate le assunzioni strutturali di progetto prese a base di calcolo, la normativa di riferimento, i materiali utilizzati, la caratterizzazione geotecnica prevista, i carichi di progetto e le relative condizioni e combinazioni, lo schema strutturale adottato e le verifiche effettuate.

Le azioni applicate alla struttura seguono i criteri riportati nel D.M. 14/01/2008, "Norme tecniche per le costruzioni in zone sismiche" ovvero:

- azioni derivanti dai carichi gravitazionali;
- azioni derivanti dai carichi legati alla destinazione d'uso dell'opera;
- azioni sismiche calcolate in base ai dati ottenuti dal reticolo di pericolosità sismica redatto dall' Istituto Nazionale di Geofisica e Vulcanologia;
- azione del vento;
- azione della neve.

2.1 Descrizione dell'opera

L'impalcato dell'opera in oggetto è realizzato a struttura mista acciaio/calcestruzzo. Lo schema statico è quello di una trave in semplice appoggio avente luce di calcolo pari a 45.00 m, oltre ai retro-trave lunghi 0.60 m. La sezione d'impalcato presenta una larghezza complessiva di 9.50 m ed è così organizzata:

- 6.50 m carreggiata stradale;
- 1.50 m cordolo in sx;
- 1.50 m cordolo in dx.

Dal punto di vista strutturale la sezione è composta da due travi metalliche in acciaio e da una soletta collaborante in c.a. gettato in opera su predalles tralicciate aventi la funzione di cassero a perdere. Le due travi metalliche, poste ad interasse di 5.0 m, presentano sezione a doppia "T" di altezza costante. La soletta in c.a. ha un'altezza comprensiva delle dalles prefabbricate variabile tra un minimo di 30 cm ed un massimo di circa 38 cm in corrispondenza dell'asse impalcato. I giunti tra i conci delle travi principali sono del tipo bullonato con piastre coprigiunto.

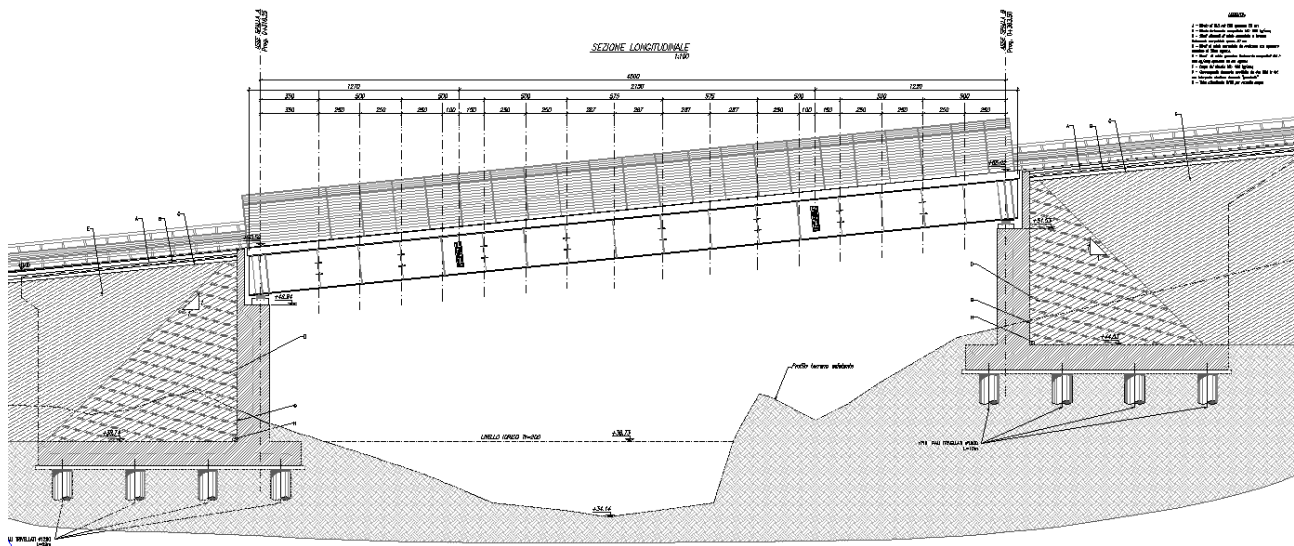
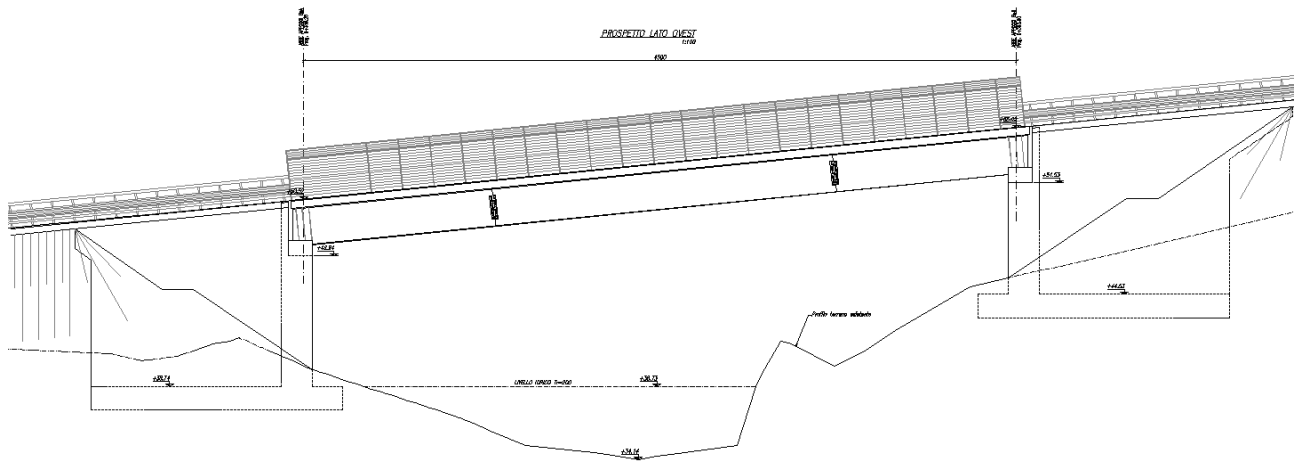
Le due travi longitudinali sono collegate mediante unioni bullonate da trasversi ad anima piena posti ogni 5.00 m.

Le travi principali sono irrigidite mediante stiffeners verticali, che ospitano anche la giunzione con i traversi; nei campi interessati dai traversi sono posizionati controventi di piano e a metà del campo di trave sono presenti ulteriori irrigidimenti per un passo medio lungo l'intera trave principale di 2,5 metri.

La connessione della soletta con le travi è realizzata mediante pioli elettrosaldati tipo Nelson Ø22 mm.

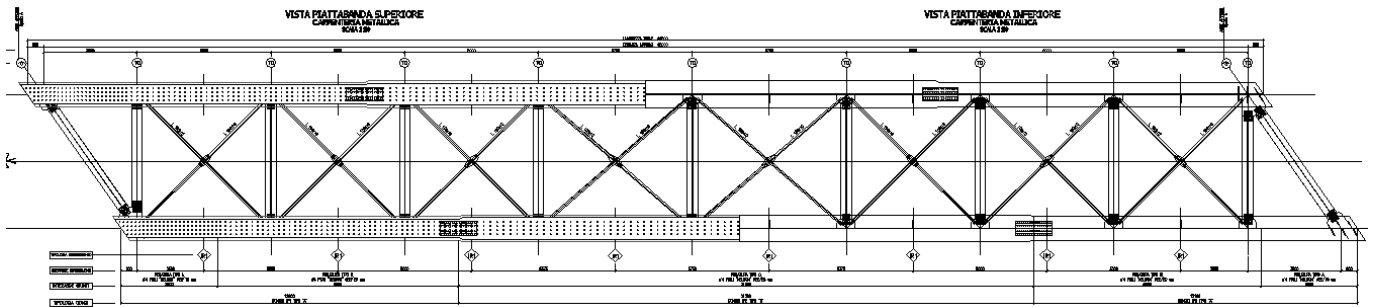
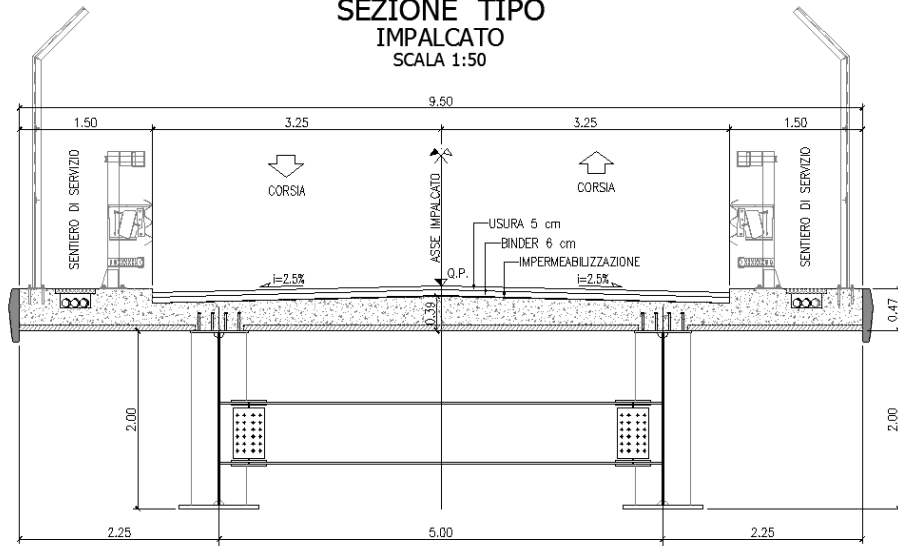
L'impalcato è vincolato alle due spalle mediante isolatori elastomerici di opportuna rigidezza.

Nelle figure seguenti si riportano il profilo e la sezione del cavalcavia.



Nelle figure seguenti si riportano la sezione trasversale tipo dell'impalcato ed la carpenteria delle travi metalliche.

**SEZIONE TIPO
IMPALCATO
SCALA 1:50**



Per ulteriori indicazioni si rimanda agli elaborati progettuali.

2.2 Modalità realizzative

Una volta assiemata a piè d'opera, l'intera carpenteria metallica dell'impalcato, costituita dalle travi longitudinali, dai trasversi e dai controventi, viene varata nella posizione finale operando dal basso mediante l'ausilio di autogrù di adeguata portata. Successivamente al varo si realizzeranno, nell'ordine, le connessioni a piolo, la posa delle dalles prefabbricate, la posa dell'armatura della soletta ed il getto della stessa.

3 DOCUMENTI DI RIFERIMENTO

3.1 Documenti Referenziati

I documenti usati come input per il presente documento sono i seguenti:

3.1.1 Documenti di progetto

- Relazioni ed indagini geologiche;
- Profili e sezioni longitudinali e trasversali del sito in oggetto.

3.1.2 Normativa e istruzioni

La progettazione è conforme alle normative vigenti.

- Norme Tecniche per le Costruzioni - D.M. 14-01-08 (NTC-2008)
- Circolare n. 617 del 2 febbraio 2009 - Istruzioni per l'Applicazione Nuove Norme Tecniche Costruzioni di cui al Decreto Ministeriale 14 gennaio 2008
- UNI EN 206-1/2001 - Calcestruzzo. Specificazioni, prestazioni, produzione e conformità.
- Norme UNI ENV 1991 ; UNI ENV 1992; UNI EN 1993; UNI EN 1994; UNI EN 1997; UNI EN 1998.

4 CARATTERISTICHE DEI MATERIALI IMPIEGATI

I materiali utilizzati nella realizzazione delle strutture in funzione della utilizzazione sono descritti in seguito.

4.1 CALCESTRUZZO

4.1.1 Soletta

classe di resistenza C32/40
Copriferro C = 45 mm

4.1.2 Predalles

classe di resistenza C28/35
Copriferro C = 25 mm

4.2 ACCIAIO

4.2.1 Acciaio per cemento armato

Si utilizzano barre ad aderenza migliorata in acciaio con le seguenti caratteristiche meccaniche:

acciaio	B450C
tensione caratteristica di snervamento	$f_{yk} = 450 \text{ N/mm}^2$
tensione caratteristica di rottura	$f_{tk} = 540 \text{ N/mm}^2$
resistenza di calcolo a trazione	$f_{yd} = 391,30 \text{ N/mm}^2$
modulo elastico	$E_s = 210.000 \text{ N/mm}^2$

4.2.2 Acciaio per la carpenteria metallica di impalcato

spessori fino a 40 mm	S355J2+N (Fe 510)
spessori maggiori di 40 mm	S355K2+N (Fe 510)
tensione caratteristica di snervamento < 40 mm	$f_{yk} = 355 \text{ N/mm}^2$
tensione caratteristica di rottura < 40 mm	$f_{tk} = 510 \text{ N/mm}^2$
tensione caratteristica di snervamento > 40 mm	$f_{yk} = 335 \text{ N/mm}^2$
tensione caratteristica di rottura > 40 mm	$f_{tk} = 470 \text{ N/mm}^2$
resistenza di calcolo a trazione < 40 mm	$f_{yd} = 338 \text{ N/mm}^2$
resistenza di calcolo a trazione > 40 mm	$f_{yd} = 319 \text{ N/mm}^2$
modulo elastico	$E_s = 210.000 \text{ N/mm}^2$

4.2.3 Connettori trave soletta

Si impiegano pioli “Nelson” aventi le seguenti caratteristiche (EN 10025):

Acciaio	S235J2+450C (ex ST37-3K – DIN 17100)
tensione caratteristica di rottura < 40 mm	$f_{tk} = 450 \text{ N/mm}^2$

4.2.4 Giunzioni bullonate

Bulloni conformi a UNI EN ISO 4016:2002 e UNI 5592:1968, appartenenti alle seguenti classi:

- Viti: Classe 10.9
- Dadi: Classe 10
- Rosette: Acciaio C50

Pertanto, ai fini delle verifiche: $f_{yb} = 900.0 \text{ MPa}$; $f_{ub} = 1000.0 \text{ MPa}$

I coefficienti di sicurezza parziali adottati per la verifica delle bullonature sono presi con riferimento alla tab. 2.1 della EN 1993-1-8 ed al relativo N.A.D. nazionale.

Conformemente alla tipologia di bullonatura prevista con bulloni "precaricati", verrà effettuata la verifica nei confronti della rottura a taglio del bullone, quella a rifollamento della lamiera e quella di resistenza dei coprigiunti d'anima, tutte allo S.L.U. con riferimento ai seguenti coefficienti γ_m :

- $\gamma_{M2} = 1.25$ S.L.U., resistenza a taglio dei bulloni e rifollamento della lamiera
- $\gamma_{M0} = 1.05$ S.L.U., resistenza dei coprigiunti d'anima

Le verifiche a scorrimento allo S.L.E. verranno eseguite utilizzando un coefficiente di attrito μ tra le piastre a contatto nelle unioni “pre-caricate” assunto pari a 0,45, ipotizzando le giunzioni sabbiolate al metallo bianco e protette sino al serraggio dei bulloni;

- $\gamma_{M3} = 1.10$ S.L.E., resistenza a scorrimento dei bulloni



**PROGETTO DEFINITIVO
RADDOPPIO LINEA GENOVA – VENTIMIGLIA
TRATTA FINALE LIGURE - ANDORA**

**Nuova viabilità – Ponte stradale
Relazione di calcolo impalcato**

COMMESSA	LOTTO	CODIFICA	DOCUMENTO	REV.	FOGLIO
IV01	00	D 09 CL	NVX309001	B	10 di 144

- $\gamma_{M7} = 1.10$ S.L.E., resistenza di precarico dei bulloni

Si fa presente che tale verifica risulta più conservativa per la verifica dei bulloni di quella allo S.L.U.

4.2.5 Giunzioni saldate

Per la realizzazione dell'opera in esame si prevede l'impiego di unioni saldate a cordoni d'angolo, impiegate per le saldature di composizione dei piatti che formano le travi principali ed i traversi, e per la saldatura degli irrigidenti verticali.

Per le norme specifiche relative ai processi ed ai componenti si rimanda ai contenuti del D.M 14-2-2008 (NTC) e alla EN 1090-2; Il coefficiente di sicurezza γ_m applicato alla verifica delle giunzioni saldate risulta (tab. 2.1.EN 1993-1-8 + N.A.D.):

- $\gamma_{m2} = 1.25$ S.L.U. resistenza

Ai fini delle verifiche delle saldature a cordoni d'angolo, la resistenza del materiale verrà corretta mediante il *correlation factor* riportato in tab. 4.1:

- $\beta_w = 0.9$

4.3 Condizioni ambientali e classi di esposizione

Per l'umidità ambientale si assume $RH = 70 \%$.

Per quanto riguarda le classi di esposizione, si prevede l'alternarsi di cicli di gelo/disgelo, in presenza di agenti disgelanti, per cui, si applicheranno le seguenti classi di esposizione:

- soletta: XC3

Le caratteristiche del calcestruzzo dovranno pertanto rispettare, oltre i requisiti di resistenza indicati ai punti seguenti, anche i criteri previsti dalla vigente normativa (EN 11104 e EN 206) per quanto riguarda l'esposizione alle classi indicate.

4.4 Calcolo coefficienti di omogeneizzazione

Nel seguito si calcolano i coefficienti di omogeneizzazione del calcestruzzo che contraddistinguono il rapporto tra i moduli elastici dei materiali che lo compongono nelle diverse fasi di vita della struttura.

CALCOLO COEFFICIENTI DI OMOGENEIZZAZIONE

Larghezza trasversale impalcato	$B_{\text{impalcato}}$	10,00	[m]
Spessore impalcato	$S_{\text{impalcato}}$	0,32	[m]
Superficie trasversale della soletta	A_c	38162	[cm ²]
Perimetro esposto	u	2128,2	[cm]
Dimensione fittizia	h_0	358,6	[mm]
Età del cls applicazione ritiro	t_0	2	giorni
Età del cls applicazione pesi permanenti	t_0	30	giorni
Umidità relativa	HR	70	%
Resistenza caratteristica cubica	R_{ck}	37	[MPa]
Resistenza caratteristica cilindrica	f_{ck}	30,71	[MPa]
Resistenza caratt. cilindrica media	$f_{cm} = f_{ck} + 8$	38,71	[MPa]
Modulo elastico istantaneo del cls	E_{cm}	33019	[MPa]

Calcolo del valore medio a tempo infinito della deformazione per ritiro da essiccamento

Interpolazione per il calcolo di ϵ_{co} (Tab.11.2.Va)	ϵ_{co}	0,00035	[-]
Interpolazione per il calcolo di K_h (Tab.11.2.Vb)	K_h	0,735	[-]
deformazione per ritiro da essiccamento	$\epsilon_{cd} = \epsilon_{co} K_h$	0,000257	[-]

Calcolo del valore medio a tempo infinito della deformazione per ritiro autogeno

Deformazione per ritiro autogeno	$\epsilon_{ca} = -2,5(f_{ck} - 10)10^6$	0,000052	[-]
Deformazione totale da ritiro (11.2.10.6 NTC)	$\epsilon_{cs} = \epsilon_{cd} + \epsilon_{ca}$	0,0003088	[-]

Calcolo del coefficiente di omogeneizzazione RITIRO [n1] , PERMANENTI [n2]

	n_1	n_2			
t_0	2	30	α_1	0,932	[-]
$\beta_c(t_0)$	0,801	0,482	α_2	0,980	[-]
φ_0	2,996	1,804	α_3	0,951	[-]
$\varphi(t, t_0)$	2,970	1,788	φ_{RH}	1,386	[-]
ψ	0,550	1,100	$\beta_c(f_{cm})$	2,700	[-]
$E_{cm}(t, t_0)$	12539	11131	β_H	775,67	[-]
n	16,75	18,87	$\beta_c(t, t_0)$	0,991	[-]
			t	25550	giorni

coefficiente di omogeneizzazione istantaneo	$n_0 = E_s/E_{cm}$	6,36	[-]
coefficiente di omogeneizzazione RITIRO	$n_1 = E_s/E_{cm}(t, t_0=2)$	16,75	[-]
coefficiente di omogeneizzazione PERMANENTI	$n_2 = E_s/E_{cm}(t, t_0=30)$	18,87	[-]

5 IMPOSTAZIONI DELLE ANALISI E DELLE VERIFICHE

5.1 Analisi della struttura composta

La struttura composta acciaio-calcestruzzo verrà analizzata secondo il metodo classico adottato per questi tipi di strutture, che prevede il calcolo delle caratteristiche geometrico-statiche delle varie sezioni sulla base di una sezione equivalente, in cui la porzione in calcestruzzo viene "omogeneizzata" ad acciaio in funzione del rapporto $E_s/E_{c(t)}$, essendo $E_{c(t)}$ il modulo elastico del calcestruzzo valutato in funzione del tipo di carico applicato, tenendo conto, ove opportuno, dei fenomeni a lungo termine.

Viene pertanto effettuata l'analisi separata e conseguente sovrapposizione dei quadri tensionali afferenti alle varie "fasi" attraversate dalla struttura, ciascuna delle quali si differenzia dalle altre per lo schema statico di analisi e/o per la proprietà delle sezioni.

5.1.1 Fasi

Le caratteristiche geometrico-statiche delle sezioni di impalcato si differenziano in funzione delle caratteristiche della soletta in c.a., per la quale verranno considerati gli effetti dovuti alla viscosità, sulla base di coefficienti di omogeneizzazione acciaio/calcestruzzo opportunamente modificati. Nel caso più generale, si studieranno pertanto le seguenti fasi:

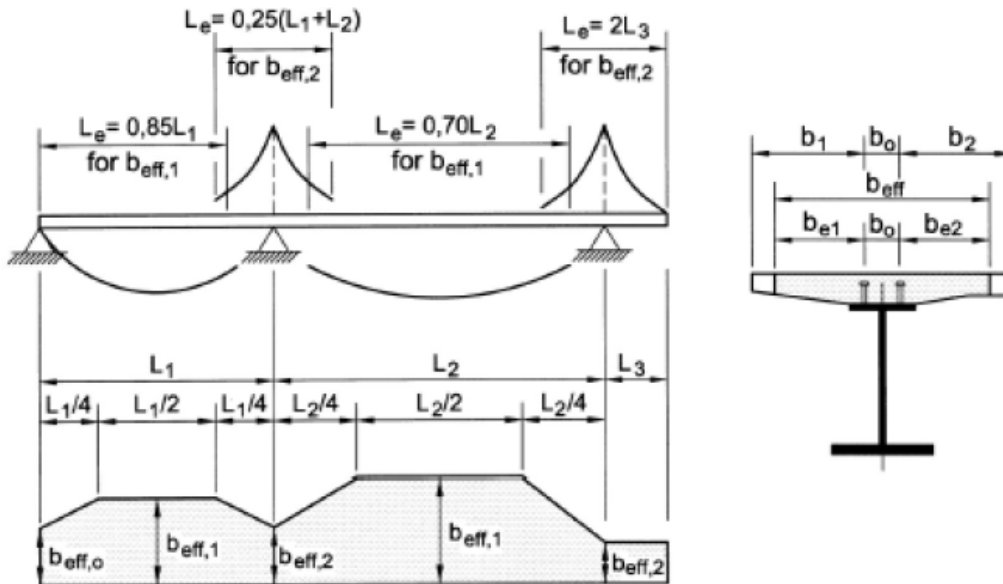
- fase 1: assenza soletta (fase iniziale);
- fase 2a: presenza della soletta, con modulo elastico a lungo termine, valutato per carichi permanenti applicati ad istante successivo al getto, e di intensità costante nel tempo (es. permanenti di finitura);
- fase 2b: presenza della soletta, con modulo elastico a lungo termine, valutato per carichi permanenti applicati ad istante t_1 immediatamente dopo il getto, ed aventi sviluppo nel tempo parallelo a quello dei fenomeni differiti (ritiro);
- fase 2c: presenza della soletta, con modulo elastico a lungo termine, valutato per coazioni e/o cedimenti vincolari imposti all'istante t_1 dal il getto, ed aventi sviluppo nel tempo costante.
- fase 3: presenza della soletta, con modulo elastico valutato a breve termine
- fase "cracked" soletta fessurata schematizzata mediante il conteggio delle sole armature longitudinali presenti in soletta

Per il caso in esame non è prevista l'applicazione di coazioni imposte, pertanto la fase "2c" non verrà considerata.

5.2 Dati generali delle sezioni di impalcato

5.2.1 Larghezze collaboranti di soletta

Le larghezze collaboranti della soletta vengono valutate sulla base dei criteri contenuti in EN 1994-2, punto 5.4.1.2 (NTC 2008, punto 4.3.2.3.), e richiamati nelle figure seguenti.


GEOMETRIA LONGITUDINALE IMPALCATO

Numero di campate presenti	1	[-]
b_1 (sx)	2,5	[m]
b_2 (dx)	2,5	[m]
Distanza connettori estremi	0,5	[m]
Lunghezza totale impalcato	45	[m]

Zona 0	Momento nullo
Zona 1	Momento positivo
Zona 2	Momento negativo

Ni	Li	ascissa	zona	Le	bef1	β_1	$\beta_1 bef1$	bef2	β_2	$\beta_2 bef2$	b0	B	Bn0	Bn1
	[m]	[m]		[m]	[m]	[m]	[m]	[m]	[m]	[m]	[m]	[m]	[m]	[m]
1,00	45,00	0,00	0,00	45,00	2,25	1,00	2,25	2,25	1,00	2,25	0,50	5,00	0,79	0,26
semplice appoggio		11,25	1,00	45,00	2,25	1,00	2,25	2,25	1,00	2,25	0,50	5,00	0,79	0,26
		33,75	1,00	45,00	2,25	1,00	2,25	2,25	1,00	2,25	0,50	5,00	0,79	0,26
		45,00	0,00	45,00	2,25	1,00	2,25	2,25	1,00	2,25	0,50	5,00	0,79	0,26

5.2.2 Caratteristiche delle sezioni di impalcato

Le travate metalliche hanno una altezza costante di 2000 mm, e sono suddivise in 3 conci aventi 2 sezioni tipo (A;B), caratterizzati dai differenti spessori impiegati per le lamiere.

Le sezioni verificate, sono univocamente determinate dal tipo di concio, da una sigla formata da una numerazione progressiva dei nodi corrispondenti a sezioni di verifica, dall'ascissa iniziale e finale relativa all'elemento indagato.

Per tutti gli elementi in tabella costituiti dalla somma di più elementi finiti che formano le travate sono state analizzate le sezioni di inizio e fine concio. Nella tabella seguente si riporta in forma tabellare la posizione di ogni sezione.

Le caratteristiche geometriche dell'impalcato, dei conci, dei traversi, e l'indicazione degli elementi strutturali principali sono riassunte nelle tabelle seguenti.

SEZIONI DEI CONCI E DEI TRAVERSI

TIPOLOGIA CONCIO	Concio	ALASUPERIORE	ALAINFERIORE	Altezza	Anima	Saldature
------------------	--------	--------------	--------------	---------	-------	-----------

Nuova viabilità – Ponte stradale
Relazione di calcolo impalcato

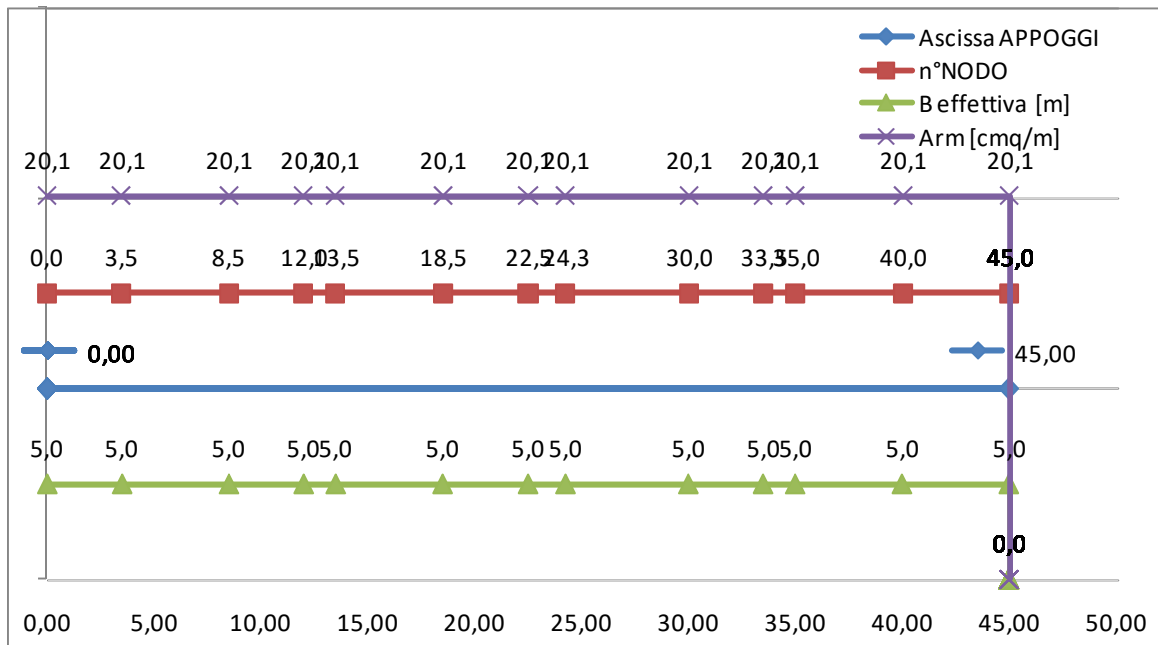
COMMESSA LOTTO CODIFICA DOCUMENTO REV. FOGLIO
IV01 00 D 09 CL NVX309001 B 14 di 144

		B ^{SUP}	t _f ^{SUP}	B ^{INF}	t _f ^{INF}	H	tw	a ^{SUP}	a ^{INF}
Sezione tipo conci di tesata	A	700	35	900	50	2400	18	9	9
Sezione tipo concio di mezzeria	B	800	40	1000	60	2400	18	9	9
Sezione tipo diaframma di estremità	B	400	20	400	20	700	15	8	8
Sezione tipo trasverso	B	400	15	400	15	700	15	8	8

POSIZIONAMENTO DEI CONCI LUNGO IL PROFILO DELL'IMPALCATO

Concio	nodo	Sigla elemento	Li	x _l	x _J	B	Φferri	Δferri	Arm	Φpioli	Δpioli
			[m]	[m]	[m]	[m]	[mm]	[mm]	[cm ² /m]	[mm]	[mm]
A	1	1_xi=0_xj=3,5	3,50	0,00	3,50	5,00	16	200	20,11	22	150
A	2	2_xi=3,5_xj=8,5	5,00	3,50	8,50	5,00	16	200	20,11	22	200
A	3	3_xi=8,5_xj=12	3,50	8,50	12,00	5,00	16	200	20,11	22	200
B	4	4_xi=12_xj=13,5	1,50	12,00	13,50	5,00	16	200	20,11	22	250
B	5	5_xi=13,5_xj=18,5	5,00	13,50	18,50	5,00	16	200	20,11	22	250
B	6	6_xi=18,5_xj=22,5	4,00	18,50	22,50	5,00	16	200	20,11	22	250
B	7	7_xi=22,5_xj=24,25	1,75	22,50	24,25	5,00	16	200	20,11	22	250
B	8	8_xi=24,25_xj=30	5,75	24,25	30,00	5,00	16	200	20,11	22	200
B	9	9_xi=30_xj=33,5	3,50	30,00	33,50	5,00	16	200	20,11	22	200
B	10	10_xi=33,5_xj=35	1,50	33,50	35,00	5,00	16	200	20,11	22	200
A	11	11_xi=35_xj=40	5,00	35,00	40,00	5,00	16	200	20,11	22	200
A	12	12_xi=40_xj=45	5,00	40,00	45,00	5,00	16	200	20,11	22	200
A	13	13_xi=45_xj=45	0,00	45,00	45,00	5,00	16	200	20,11	22	150

SCHEMA SINTETICO DELLE CARATTERISTICHE DEL PROFILO



5.3 Descrizione del modello di calcolo

Sono stati elaborati modelli agli elementi finiti per tener conto delle reali fasi costruttive.

- **FASE 1a - Realizzazione delle sottostrutture in acciaio e getto soletta in c.a.**

Il modello di calcolo è un graticcio formato dalle travi principali e dai traversi reticolari. Le azioni applicate sono il peso proprio di tutte le membrature metalliche, ed il peso proprio della soletta, non reagente.

- **FASE 2a - Maturazione della soletta, applicazione dei sovraccarichi permanenti**

Si considera la struttura completa formata dall'acciaio e dal calcestruzzo.

Il modello di calcolo è un graticcio formato dalle travi longitudinali aventi sezione di acciaio e cls omogeneizzato ad acciaio con rigidezza valutata a tempo "infinito", e traversi schematizzati con la loro geometria reale.

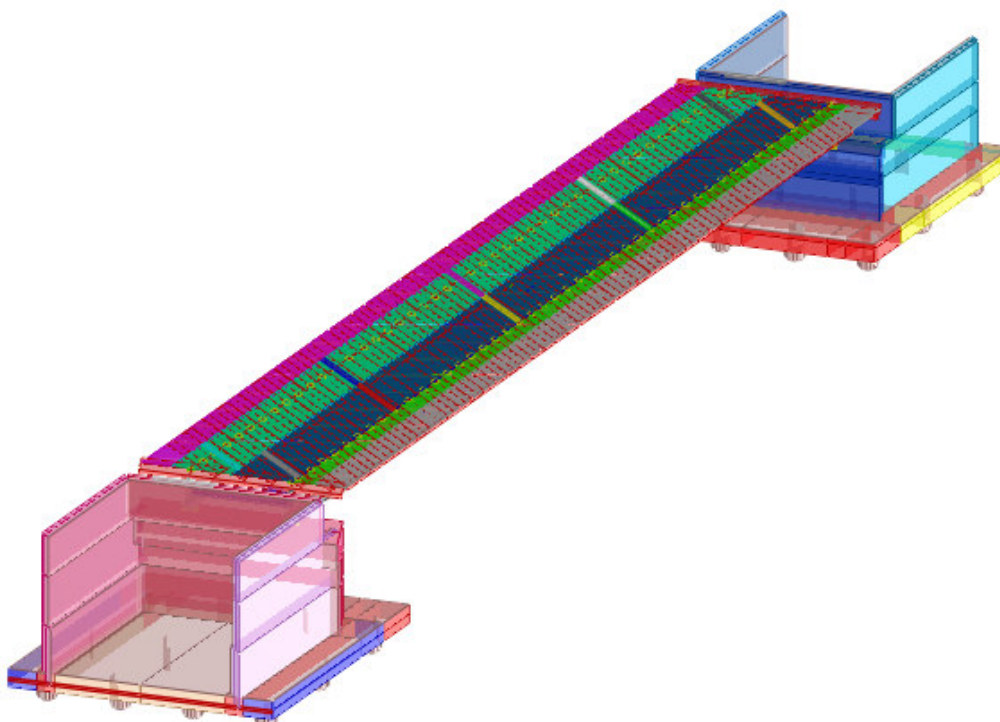
- **FASE 2b – Valutazione degli effetti del ritiro**

Si considera la struttura completa formata dall'acciaio e dal calcestruzzo.

Il modello di calcolo è un graticcio formato dalle travi longitudinali aventi sezione di acciaio e cls omogeneizzato con rigidezza valutata a tempo "infinito", e traversi schematizzati con la loro geometria reale.

- **FASE 3 - Applicazione dei carichi istantanei (mobili ed accidentali in genere)**

I modelli di calcolo per la valutazione degli effetti indotti dal traffico, dalle variazioni termiche, dal vento e dal sisma, sono gli stessi descritti per la fase 2a, ma con rigidezza del calcestruzzo valutata "a tempo zero".



Modello 3d della struttura

In particolare, visto lo schema isostatico dell'impalcato, visto che le coazioni dovute al ritiro (fase 2b) ed alla temperatura (fase 2b) possono essere valutate in modo conservativo come azioni applicate direttamente alla sezione omogeneizzata nelle corrispondenti fasi, visto che le sollecitazioni flettenti e taglianti nella fase 1a e fase 2a sono

pressocchè indipendenti dalle caratteristiche inerziali della sezione, è stato riportato in allegato un modello di calcolo agli elementi finiti avente le travi principali con caratteristiche omogeneizzate alla fase 3.

Il modello "base" descritto fornisce le sollecitazioni agli appoggi e le sollecitazioni ai diversi stati limite di ogni elemento appartenente alle spalle come meglio indicato nella relazione specifica sulle sottostrutture.

Le deformazioni dell'impalcato nelle fasi 1a e 2a possono essere ricavate dalle deformazioni del modello base amplificandole del rapporto tra le sezioni omogeneizzate relative.

La descrizione del modello base agli elementi finiti è descritta nel seguito nel capitolo relativo all'analisi numerica.

6 ANALISI DEI CARICHI DI PROGETTO

I carichi e i sovraccarichi sono stati valutati tenendo conto di quanto prescritto dalle Norme Tecniche per le Costruzioni, (DM 14 Gennaio 2008).

6.1 Peso Proprio dei Materiali Strutturali

Per la determinazione dei pesi propri strutturali dei più comuni materiali possono essere assunti i valori dei pesi dell'unità di volume riportati nella Tab. 3.1.I. delle NTC-2008.

Il peso proprio delle strutture è determinato automaticamente dal programma di calcolo, in base alla densità del materiale associato all'elemento strutturale (possono essere presenti materiali a densità nulla nel caso in cui si voglia attribuire un peso proprio esplicito all'elemento), mentre i carichi permanenti agenti sono stati applicati esplicitamente, dopo apposito calcolo, come carichi lineari e distribuiti.

Il carico dei pesi propri dell'impalcato è costituito dagli elementi principali portanti, ovvero dal peso delle travi e dei traversi in acciaio e dal peso della soletta di completamento in c.a.

6.2 Carichi Permanenti

Nella progettazione delle strutture, sono considerati carichi permanenti non strutturali i carichi non rimovibili durante il normale esercizio della costruzione, quali quelli relativi a massetti, pavimentazione e rivestimenti del piano di calpestio, elementi di protezione vari ed altro, ancorché in qualche caso sia necessario considerare situazioni transitorie in cui essi non siano presenti.

I carichi permanenti che gravano su spalle e pile oggetto della presente relazione sono costituiti dai carichi permanenti portati, ovvero pavimentazione, cordoli laterali, barriere e protezioni varie .

Si ipotizza di utilizzare una altezza media dello spessore di soletta pari al rapporto tra area trasversale effettiva e larghezza totale dell'impalcato; per i cordoli presenti si considera l'altezza media escludendo lo spessore dell'impalcato e si applica il carico permanente come carico uniformemente distribuito.

GEOMETRIA TRASVERSALE IMPALCATO

Area sezione trave (da media pesata area dei conci)	A _{trave}	0,1	[m ²]
Numero travi utilizzate	n _{travi}	2	[-]
Altezza media travi	H _{travi}	2,40	[m]
Interasse travi	l _{calcolo}	5,00	[m]
Sbalzo dall'asse trave di bordo sx (al netto della veletta)	L _{sbalzo}	2,50	[m]
Sbalzo dall'asse trave di bordo dx (al netto della veletta)	L _{sbalzo}	2,50	[m]
Spessore medio soletta impalcato	S _{impalcato}	0,32	[m]
Spessore medio pavimentazione	S _{pavimentazione}	0,12	[m]

**Nuova viabilità – Ponte stradale
 Relazione di calcolo impalcato**

COMMESSA	LOTTO	CODIFICA	DOCUMENTO	REV.	FOGLIO
IV01	00	D 09 CL	NVX309001	B	17 di 144

Larghezza cordolo sx	b _{cordolo sx}	1,50	[m]
Larghezza cordolo dx	b _{cordolo dx}	1,50	[m]
Altezza media cordolo sx	h _{cordolo sx}	0,19	[m]
Altezza media cordolo dx	h _{cordolo dx}	0,19	[m]
Larghezza strutturale (al netto delle velette)	B _{impalcato}	10,00	[m]
Area trasversale soletta	A _{impalcato}	3,20	[m ²]
Larghezza carreggiata	B _{carreggiata}	7,00	[m]

CARICHI PERMANENTI

Peso trave (da media pesata area dei conci)	P _{trave}	7,85	[kN/m]
Incremento % peso travi per peso giunzioni	%	10%	[-]

CONCIO	Area [cmq]	Peso [daN/m]	INCR.	Peso Trave + INCR.
A	1111,70	872,6845	10%	G _{1,A} 9,60 [kN/m]
B	1334,00	1047,19	10%	G _{1,B} 11,50 [kN/m]

Peso Soletta al mq	G _{1 soletta}	8,00	[kN/m ²]
--------------------	-------------------------------	-------------	----------------------

CARICHI PERMANENTI PORTATI

Peso Cordoli al mq	P _{cordoli}	4,75	[kN/m ²]
Peso Cordoli al ml su lunghezza di impalcato	P _{cordoli,ml}	14,25	[kN/m]
Peso Pacchetto stradale al mq	P _{pavimentazione}	2,64	[kN/m ²]
Peso Pacchetto stradale al ml su lunghezza di impalcato	P _{pavimentazione,ml}	18,48	[kN/m]
Barriera	P _{barriera}	2,00	[kN/m]
numero barriere	n _{barriere}	2	[-]
Guard rail	P _{barriera}	0,80	[kN/m]
numero Guard rail	n _{barriere}	2	[-]
Veletta	P _{barriera}	0,80	[kN/m]
numero Velette	n _{barriere}	2	[-]
Peso totale Barriera+Guard rail+Velette	P _{2 lineare}	7,20	[kN/m]
Peso Totale Permanenti portati	G ₂	39,93	[kN/m]

STIMA DEL PESO TOTALE DELL'IMPALCATO NELL'INTERA CAMPATA

Lunghezza travi	L _{travi}	46,20	[m]
Luce di calcolo Impalcato	L _{CALCOLO}	45,00	[m]
Peso stimato Travi su campata completa	w _{travi}	797,87	[kN]
Peso stimato Soletta su campata completa	w _{soletta}	3696,0	[kN]
Peso stimato Permanenti portati su campata completa	w _{G2}	1844,77	[kN]
TOTALE G1+G2	w _{Traversi}	6338,64	[kN]
Peso Totale impalcato su campata completa	W _{IMPALCATO}	0,0	[kN]

6.3 Ritiro (€2)

La coazione tra calcestruzzo impedito di ritirarsi e la sezione mista si traduce in uno sforzo di trazione agente sulla sola soletta di calcestruzzo che si aggiunge ad una pressoflessione agente, invece, sull'intera sezione composta acciaio-calcestruzzo.

Quest'ultima è stata considerata nelle verifiche della sezione mista attraverso delle forze longitudinali e delle coppie concentrate alle estremità delle due travi pari al prodotto dalle precedenti forza longitudinali per la distanza effettiva tra baricentro della sezione mista nella fase considerata e il baricentro della soletta.



Figura 2-1- Azioni statiche equivalenti al ritiro

CALCOLO SOLLECITAZIONI NELLA SOLETTA PER RITIRO

Modulo elastico acciaio	E_s	210000	[MPa]
Deformazione totale da ritiro (11.2.10.6 NTC)	ϵ_{cs}	0,0003088	[-]
coefficiente di omogeneizzazione RITIRO	n_1	6,36	[-]
Superficie trasversale della soletta	A_c	38162	[cm ²]
Trazione sulla soletta a ritiro impedito	$N_{r,RITIRO} = \epsilon_{cs} E_s / n_1 A_c$	-14775	[kN]
Tensione su soletta a sforzo assiale impedito	$\sigma_{c,RITIRO} = \epsilon_{cs} E_s / n_1$	3,87	[MPa]

6.4 Carichi Variabili da traffico

I carichi variabili comprendono i carichi legati alla destinazione d'uso dell'opera stradale

6.4.1 Categoria Stradale

Sulla base dei carichi mobili ammessi al transito, i ponti stradali si suddividono nelle tre seguenti categorie:

1° Categoria: ponti per il transito dei carichi mobili con il loro intero valore;

2° Categoria: come sopra, ma con valori ridotti dei carichi;

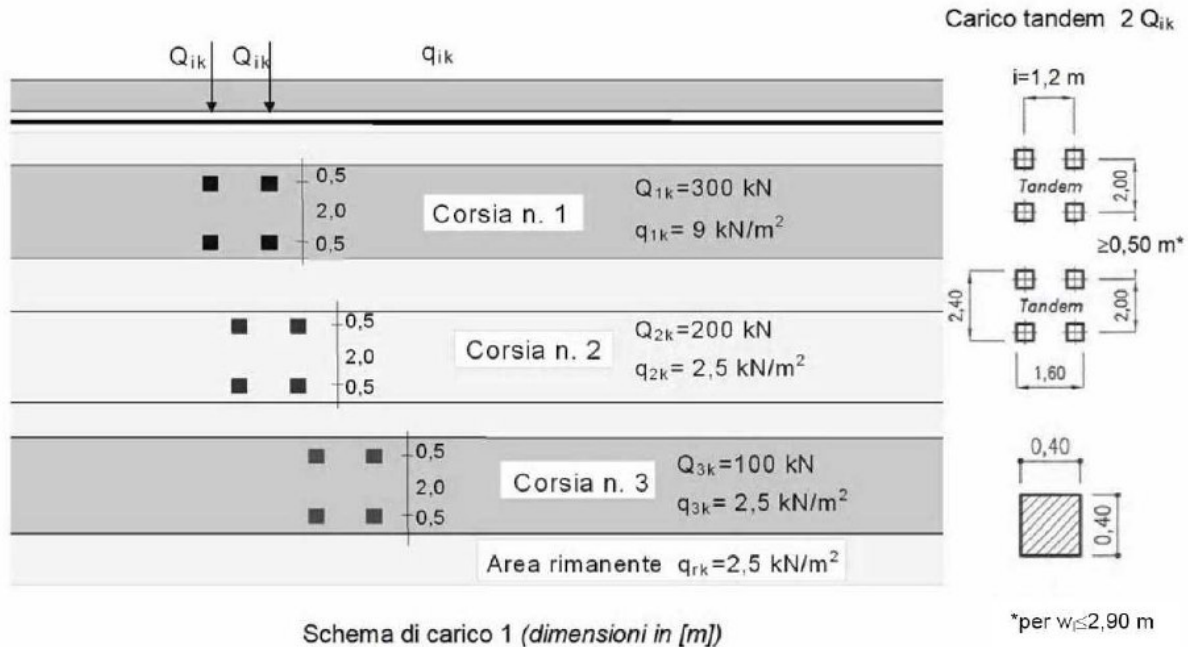
3° Categoria: ponti per il transito dei soli carichi associati allo Schema 5 (passerelle pedonali).

Le strutture progettate rientrano nella 1° categoria.

6.4.2 Schemi di carico

I valori dei carichi variabili saranno conformi alla categoria 1° e descritti in seguito in relazione agli schemi di carico ad essa associati (DM 14 Gennaio 2008 - §5.1.3.3.3).

Il numero delle colonne di carichi mobili da considerare nel calcolo dei ponti di 1a è quello massimo compatibile con la larghezza della carreggiata, comprese le eventuali banchine di rispetto e per sosta di emergenza, nonché gli eventuali marciapiedi non protetti e di altezza inferiore a 20 cm, tenuto conto che la larghezza di ingombro convenzionale è stabilita per ciascuna colonna in 3,00 m.



Gli schemi di Carico utilizzati nelle verifiche globali sono il n°1 ed il n°5.

SCHEMA DI CARICO n°1; costituito da carichi concentrati su due assi in tandem, applicati su impronte di pneumatico di forma quadrata e lato 0,40 m, e da carichi uniformemente. Questo schema è da assumere a riferimento sia per le verifiche globali, sia per le verifiche locali, considerando un solo carico tandem per corsia, disposto in asse alla corsia stessa. Il carico tandem, se presente, va considerato per intero.

SCHEMA DI CARICO n°5; che è costituito dalla folla compatta, agente con intensità nominale, comprensiva degli effetti dinamici, di 5,0 kN/mq. Il valore di combinazione è invece di 2,5 kN/mq.

Si precisa che secondo il DM 14.01.08, i carichi mobili includono gli effetti dinamici.

Le larghezze w_l delle corsie convenzionali su una carreggiata ed il massimo numero (intero) possibile di tali corsie su di essa sono indicati nel prospetto seguente (Fig. 5.1.1 e Tab. 5.1.I).

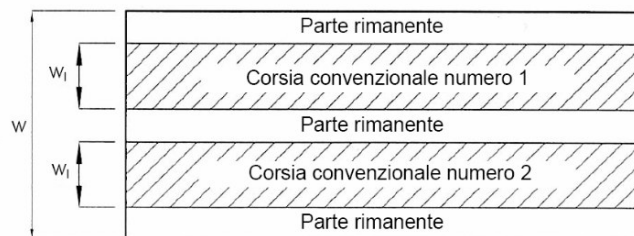


Figura 5.1.1 – Esempio di numerazione delle corsie

Tabella 5.1.I - Numero e Larghezza delle corsie

Larghezza di carreggiata "w"	Numero di corsie convenzionali	Larghezza di una corsia convenzionale [m]	Larghezza della zona rimanente [m]
$w < 5,40$ m	$n_l = 1$	3,00	$(w-3,00)$
$5,4 \leq w < 6,0$ m	$n_l = 2$	$w/2$	0
$6,0 \text{ m} \leq w$	$n_l = \text{Int}(w/3)$	3,00	$w - (3,00 \times n_l)$

Lo schema di carico 1 è costituito da una serie di colonne di mezzi convenzionali ciascuna delle quali ha un ingombro trasversale di 3.0 m. La carreggiata di larghezza minima pari a 9,35 m potrà permettere il transito

contemporaneo massimo di 3 colonne di carico. Tale schema si assume a riferimento sia per le verifiche globali, sia per le verifiche locali.

Queste colonne di carico sono costituite da:

- una colonna convenzionale di carichi costituita da un automezzo convenzionale di 600 kN dotato di 2 assi di 2 ruote ciascuno, distanti 1.2 m in senso longitudinale e 2.0 m in senso trasversale; un carico uniformemente distribuito lungo tutta la corsia pari a 9.0 kN/m²
- una colonna convenzionale di carichi costituita da un automezzo convenzionale di 400 kN dotato di 2 assi di 2 ruote ciascuno, distanti 1.2 m in senso longitudinale e 2.0 m in senso trasversale; un carico uniformemente distribuito lungo tutta la corsia pari a 2.5 kN/m²
- una colonna convenzionale di carichi costituita da un automezzo convenzionale di 200 kN dotato di 2 assi di 2 ruote ciascuno, distanti 1.2 m in senso longitudinale e 2.0 m in senso trasversale; un carico uniformemente distribuito lungo tutta la corsia pari a 2.5 kN/m²
- nell'area rimanente della carreggiata, non occupata dalle colonne si considera, quando sfavorevole, un carico uniformemente distribuito di 2.5 kN/m².

Le colonne e il loro numero andranno distribuite sull'impalcato, tenendo conto del loro ingombro in modo da massimizzare le sollecitazioni.

6.4.2.1 Carico distribuito equivalente agli automezzi convenzionali

Nel caso in cui ci si trova in ponti aventi un'unica campata con schema statico per carichi verticali del tipo in semplice appoggio, è possibile assimilare i tandem viaggianti in senso longitudinale mediante l'utilizzo di un carico distribuito nella corsia convenzionale uniforme; tale carico genera in ogni sezione appartenente alle travi principali il valore del momento flettente pari al valore ottenibile mediante l'involuppo delle sollecitazioni flettenti provocate dal passaggio degli assi tandem di progetto.

Il valore del carico distribuito equivalente è pari a doppio del valore del carico tandem diviso il prodotto tra luce di calcolo e larghezza della corsia convenzionale. I valori nel seguito indicati verranno utilizzati nel modello agli elementi finiti come carichi distribuiti e posizionati in corrispondenza delle corsie di carico scelte in base alla ripartizione dei carichi.

6.4.2.2 Carico lineare equivalente agli asse Tandem

Ulteriore semplificazione possibile, sempre a favore di sicurezza, è quella di assimilare i due assi tandem ad un unico asse posto nel baricentro geometrico degli stessi che è in grado di assicurare valori conservativi del momento flettente in mezzeria e del taglio agli appoggi; tale carico viene posizionato in corrispondenza delle sezioni significative dell'impalcato ovvero in prossimità degli appoggi (carico W1 e carico W5), in prossimità dei giunti tra i conci (carico W2 e carico W4), e nella mezzeria (carichi W3).

6.4.2.3 Ripartizione trasversale dei carichi

Per definire la ripartizione dei carichi sulle travi possono essere utilizzati metodi generali, come ad esempio il metodo degli elementi finiti oppure lo schema a graticcio, oppure metodi più semplici specificatamente dedicati ad impalcato con geometria regolare.

6.4.2.3.1 Metodo di Massonnet

I parametri utilizzati in questo metodo, tra i quali Θ (qui di seguito specificato), sono estremamente significativi nel comportamento bidimensionale e mettono in risalto le caratteristiche geometriche e statiche che determinano questo comportamento.

Parametro di irrigidimento $\theta = \frac{b}{L} \sqrt[4]{\frac{\rho_P}{\rho_E}}$

Il parametro di irrigidimento Θ misura la collaborazione delle travi a sopportare i carichi eccentrici.

Per bassi valori di Θ il carico si distribuisce favorevolmente su tutte le travi e la deformata trasversale tende a diventare rettilinea; per valori di Θ minori di 0,3 si può assumere una deformata praticamente rettilinea. In questo caso è possibile utilizzare direttamente il metodo di calcolo di Courbon, più semplice e rapido del metodo di Massonnet.

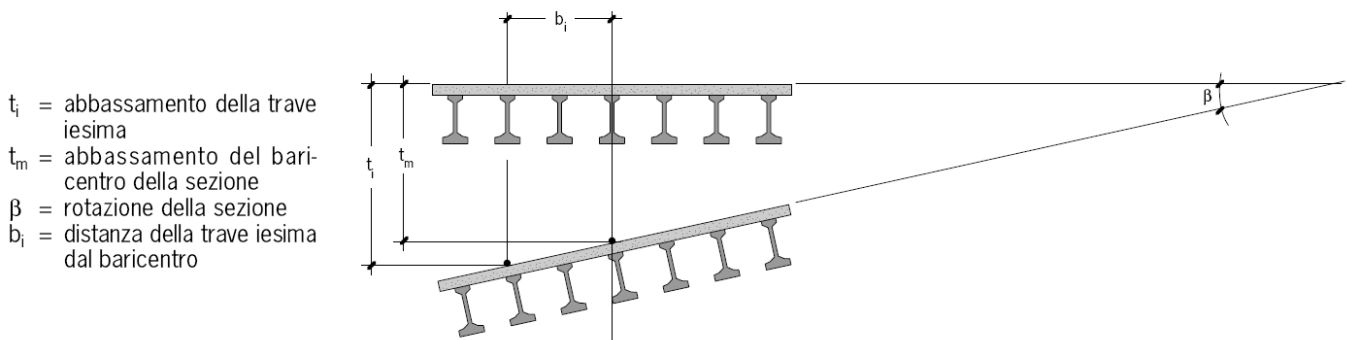
Per alti valori di Θ predomina la rigidità longitudinale delle travi per cui diminuisce la loro collaborazione e la deformata trasversale assume un andamento curvilineo.

Tale metodo di calcolo non verrà qui utilizzato in quanto è un'approssimazione del metodo agli elementi finiti con il quale si progetterà quest'opera, ed inoltre comporta un aggravio nel calcolo dei suoi valori principali, nonché della loro elaborazione.

6.4.2.3.2 Metodo di Courbon

Col metodo di Courbon, utilizzabile per impalcato con valori di Θ minori di 0.30, si assume come ipotesi di base una deformata trasversale rigida.

Ne consegue che, in ogni sezione, l'abbassamento della trave *i*-esima può essere espresso dalla seguente equazione di congruenza:

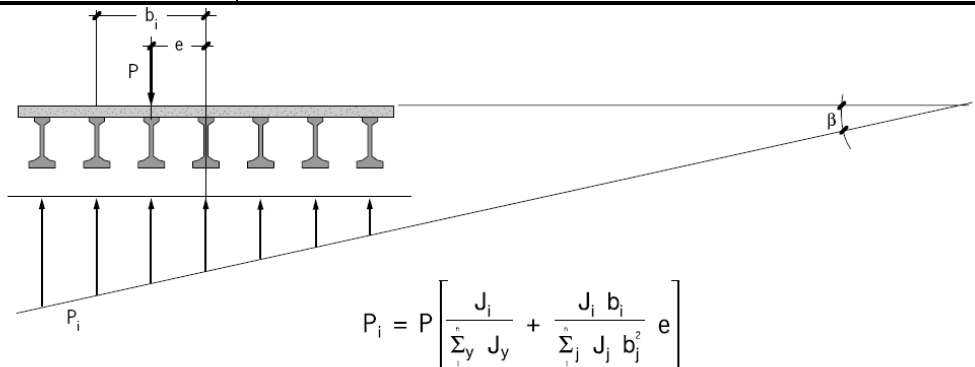


- t_i = abbassamento della trave *i*-esima
- t_m = abbassamento del baricentro della sezione
- β = rotazione della sezione
- b_i = distanza della trave *i*-esima dal baricentro

$$t_i = t_m + \beta \cdot b_i$$

Considerando agente sull'impalcato un carico P , uniformemente distribuito sulla lunghezza e distante dal baricentro della sezione, l'equazione di congruenza e le equazioni di equilibrio alla traslazione ed alla rotazione permettono di ricavare la seguente espressione:

P = carico applicato sull'impalcato
 P_i = carico gravante sulla trave i -esima
 J_i = momento d'inerzia della trave i -esima
 e = eccentricità del carico rispetto al baricentro della sezione
 n = numero travi



Nel caso frequente di travi con lo stesso momento d'inerzia l'espressione si semplifica ulteriormente nella seguente formula:

$$P_i = \frac{P}{n} \left[1 + \frac{n b_i}{\sum_y b_y^2} e \right]$$

Definito il carico agente sull'impalcato e la sua eccentricità è quindi possibile calcolare come la sua azione si ripartisce fra le travi e ricavare, per ciascuna di esse, l'azione flettente e l'azione tagliante (mediante la valutazione del termine tra parentesi quadre denominato in seguito con la lettera 'k').

Tale metodo di calcolo verrà utilizzato nella scelta degli schemi di carico trasversali come meglio specificato nel seguito.

6.4.2.3.3 Metodo agli elementi finiti

La struttura è modellata mediante elementi finiti "beam" longitudinali e trasversali a formare una struttura tridimensionale; le travi principali e i traversi sono posizionati alla loro rispettiva quota baricentrica, la soletta è suddivisa in elementi trasversali di larghezza unitaria posti alla quota del baricentro effettivo della soletta e connesse mediante braccetti rigidi alle travi principali.

Tale metodo di calcolo verrà utilizzato nel valutare l'effettiva ripartizione dei carichi una volta definiti gli schemi di carico trasversali.

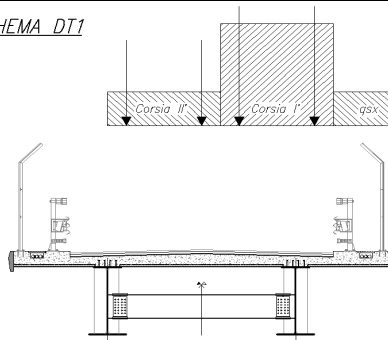
6.4.2.4 Schemi di carico trasversali

Come anticipato in precedenza, lo schema di calcolo adottato è quello di trave continua su appoggi in corrispondenza delle travi principali presenti nell'impalcato (Courbon), caricata di volta in volta da carichi distribuiti della larghezza di 3,00 mt, disposti in modo da determinare le condizioni di carico più gravose; il valore del carico distribuito è stato determinato come indicato dalla normativa con riferimento ai rapporti di intensità fra le varie stese di carico.

Si assumono carichi uniformemente distribuiti sulla 1ª corsia e sulla 2ª corsia; le reazioni possono quindi essere valutate in funzione della formula di Courbon che definisce le aliquote di trasmissione dei carichi agenti sull'impalcato alle travi principali. Nel quadro di un accettabile comportamento trasversale della soletta, tali aliquote valgono sia per i carichi distribuiti che concentrati.

Nelle figure seguenti, tenendo conto della simmetria trasversale, si riportano schematicamente le posizioni considerate nel calcolo.

SCHEMA DT1



SCHEMA TRASVERSALE DEI CARICHI DA TRAFFICO (DT1)

ASSE TANDEM I° COLONNA	300	[kN]
ASSE TANDEM II° COLONNA	200	[kN]
-	0	[kN]
DISTRIBUITO I° COLONNA	9	[kN/m ²]
DISTRIBUITO II°-III°- rimanente	2.5	[kN/m ²]
Lx (striscia trasversale)	3	[m]
Ly (striscia longitudinale)	1	[m]
Area ripartizione (TANDEM)	3	[m ²]
Larghezza strutturale	9.5	[m]
Larghezza carreggiata	6.5	[m]
numero massimo di corsie di carico	2	[-]
numero corsie di carico	2	[-]
Larghezza corsia convenzionale	3	[m]
dist. bordo carr. tandem	0	[m]
zona rimanente carreggiata	0.5	[m]
zona rimanente dx	1.5	[m]
NUMERO TRAVI	2	[-]
INTERASSE TRAVI	5	[m]
Asse Baricentro travi da Bordo SX	4.75	[m]
SEMILUNGHEZZA TRAVI	23.1	[m]

COEFFICIENTI DI RIPARTIZIONE NELLO SCHEMA DI CARICO CONSIDERATO

Carichi ripartiti		Fj	qj	Xi	dj	Δ	DT1
		[kN/m]	[kN/m]	[m]	[m]	[m]	
Qsx	zona sx	0.00	2.50	0.75	-4.00	1.50	1
Q1	ASSE TANDEM I° COLONNA	200.00	9.00	3.00	-1.75	3.00	1
Q2	ASSE TANDEM II° COLONNA	133.33	2.50	6.00	1.25	3.00	1
Q3	-	0.00	0.00	9.00	4.25	3.00	1
Qres	restante carreggiata	0.00	2.50	10.75	6.00	0.00	0
Qdx	zona dx	0.00	2.50	11.50	6.75	0.00	0

Reazioni sugli appoggi

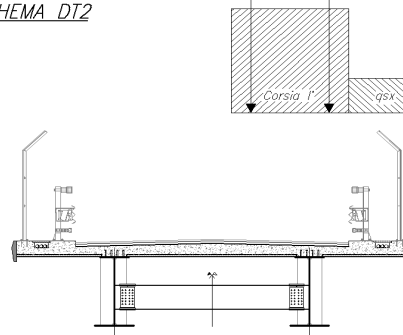
Appoggi	Xi [m ²]	xi [m]	xi [m ²]	k (qj)	k (Fj)	k (Fj)	k (Fj)	k (qj)	k (qj)
1	2.25	-2.50	6.25	1.30	0.85	0.25	-0.35	0.00	0.00
2	7.25	2.50	6.25	-0.30	0.15	0.75	1.35	0.00	0.00

CARICO DA TRAFFICO EQUIVALENTE

con L= 45 m e w= 3 m

QEQ(600)	2*(600kN)/(L*w)	8.89	[kN/m ²]
QEQ(400)	2*(400kN)/(L*w)	5.93	[kN/m ²]
QEQ(200)	2*(200kN)/(L*w)	-	[kN/m ²]

SCHEMA DT2


SCHEMA TRASVERSALE DEI CARICHI DA TRAFFICO (DT2)

ASSE TANDEM I° COLONNA	300	[kN]
-	0	[kN]
-	0	[kN]
DISTRIBUITO I° COLONNA	9	[kN/m ²]
DISTRIBUITO II°-III°- rimanente	2.5	[kN/m ²]
Lx (striscia trasversale)	3	[m]
Ly (striscia longitudinale)	1	[m]
Area ripartizione (TANDEM)	3	[m ²]
Larghezza strutturale	9.5	[m]
Larghezza carreggiata	6.5	[m]
numero massimo di corsie di carico	2	[-]
numero corsie di carico	1	[-]
Larghezza corsia convenzionale	3	[m]
dist. bordo carr. tandem	0	[m]
zona rimanente carreggiata	3.5	[m]
zona rimanente dx	1.5	[m]
NUMERO TRAVI	2	[-]
INTERASSE TRAVI	5	[m]
Asse Baricentro travi da Bordo SX	4.75	[m]
SEMILUNGHEZZA TRAVI	23.1	[m]

COEFFICIENTI DI RIPARTIZIONE NELLO SCHEMA DI CARICO CONSIDERATO

Carichi ripartiti		Fj	qj	Xi	dj	Δ	DT2
		[kN/m]	[kN/m]	[m]	[m]	[m]	
Qsx	zona sx	0.00	2.50	0.75	-4.00	1.50	1
Q1	ASSE TANDEM I° COLONNA	200.00	9.00	3.00	-1.75	3.00	1
Q2	-	0.00	0.00	6.00	1.25	0.00	0
Q3	-	0.00	0.00	9.00	4.25	0.00	0
Qres	restante carreggiata	0.00	2.50	12.25	7.50	0.00	0
Qdx	zona dx	0.00	2.50	13.00	8.25	0.00	0

Reazioni sugli appoggi

Appoggi	Xi [m ²]	xi [m]	xi [m ²]	k (qj)	k (Fj)	k (Fj)	k (Fj)	k (qj)	k (qj)
1	2.25	-2.50	6.25	1.30	0.85	0.00	0.00	0.00	0.00
2	7.25	2.50	6.25	-0.30	0.15	0.00	0.00	0.00	0.00

CARICO DA TRAFFICO EQUIVALENTE

con L= 45 m e w= 3 m

QEQ(600)	2*(600kN)/(L*w)	8.89	[kN/m ²]
QEQ(400)	2*(400kN)/(L*w)	-	[kN/m ²]
QEQ(200)	2*(200kN)/(L*w)	-	[kN/m ²]



PROGETTO DEFINITIVO
RADDOPPIO LINEA GENOVA – VENTIMIGLIA
TRATTA FINALE LIGURE - ANDORA

Nuova viabilità – Ponte stradale
Relazione di calcolo impalcato

COMMESSA	LOTTO	CODIFICA	DOCUMENTO	REV.	FOGLIO
IV01	00	D 09 CL	NVX309001	B	25 di 144

6.4.3 Azione longitudinale di frenamento o di accelerazione

L'azione di frenamento o di accelerazione q_3 , definita al paragrafo 5.1.3.5. del D.M.14.01.08, è funzione del carico agente sulla corsia convenzionale n.1 e, per i ponti di 1ª categoria, è uguale a:

$$180 \text{ kN} < [q_3 = 0,6 \times (2Q_{1k}) + 0,10q_{1k} \times w_1 \times L] < 900 \text{ kN}$$

Dove w_1 è la larghezza della corsia ed L è la lunghezza della zona caricata.

La forza, applicata a livello della pavimentazione ed agente lungo l'asse della corsia, è assunta uniformemente distribuita sulla lunghezza caricata, pari alla luce di calcolo, e include gli effetti di interazione.

Il valore dell'azione di frenamento o di accelerazione verrà nel seguito valutato tra i carichi di progetto agenti sulle sottostrutture.

6.4.4 Forze centrifughe

Il ponte è in rettilineo e pertanto tale forza risulta assente.

6.4.5 Resistenze parassite dei vincoli

Vengono trascurate nell'analisi longitudinale dell'impalcato.

6.4.6 Azioni sui parapetti. Urto di veicolo in svio

Vengono trascurate nell'analisi longitudinale dell'impalcato.

6.4.7 Altre azioni variabili

Vengono trascurate nell'analisi longitudinale dell'impalcato.

6.5 Variazioni termiche (ϵ_3)

I criteri per la determinazione degli effetti della temperatura sono contenuti nelle NTC cap. 3.5 (rif. Eurocodici EN 1991-1-5).

6.5.1 variazione termica uniforme

Per il calcolo delle escursioni dei giunti e degli apparecchi d'appoggio la variazione termica uniforme volumetrica considerata è pari a $\pm 25^\circ$.

CALCOLO SOLLECITAZIONI NELLA SOLETTA PER VARIAZIONI TERMICA UNIFORME

variazione termica lineare positiva su sezione	ΔT	± 25	[C°]
deformazione da temperatura uniforme	$\epsilon_{\Delta T} = \alpha_t \Delta T$	0,00030	[-]

6.5.2 variazione termica non uniforme.

L'impalcato si considera soggetto ad un gradiente termico tra soletta in calcestruzzo e travi metalliche pari a ± 10 °C, utilizzando l'approccio n.2 riportato negli Eurocodici (EN 1991-1-5 cap. 6.1.4.2).

La coazione prodotta dal gradiente termico si traduce, nel caso di gradiente termico positivo (soletta a temperatura maggiore di quella della trave metallica), in uno sforzo di compressione agente sulla sola soletta di calcestruzzo che si aggiunge ad una tenso-flessione agente, invece, sull'intera sezione composta acciaio-calcestruzzo.

Quest'ultima è stata considerata nelle verifiche della sezione mista attraverso delle forze longitudinali e delle coppie concentrate alle estremità delle due travi pari al prodotto dalle precedenti forza longitudinali per la distanza effettiva tra baricentro della sezione mista nella fase considerata e il baricentro della soletta.



Figura 2-2 - Azioni statiche equivalenti alla variazione termica positiva



Figura 2-3 - Azioni statiche equivalenti alla variazione termica negativa

CALCOLO SOLLECITAZIONI NELLA SOLETTA PER VARIAZIONI TERMICHE

coefficiente di dilatazione termica	α_t	0,0000120	[1/°C]
variazione termica positiva su soletta	ΔT	±10	[°C]
deformazione da temperatura	$\epsilon_{\Delta T} = \alpha_t \Delta T$	0,00012	[-]
Sforzo assiale a variazione termica impedita	$N_{r,\Delta T} = A_c \epsilon_{\Delta T} E_s / \eta_0$	±15121	[kN]
Tensione su soletta a sforzo assiale impedito	$\sigma_{c,\Delta T} = \epsilon_{\Delta T} E_s / \eta_0$	-±3,96	[MPa]

6.6 Carico Neve

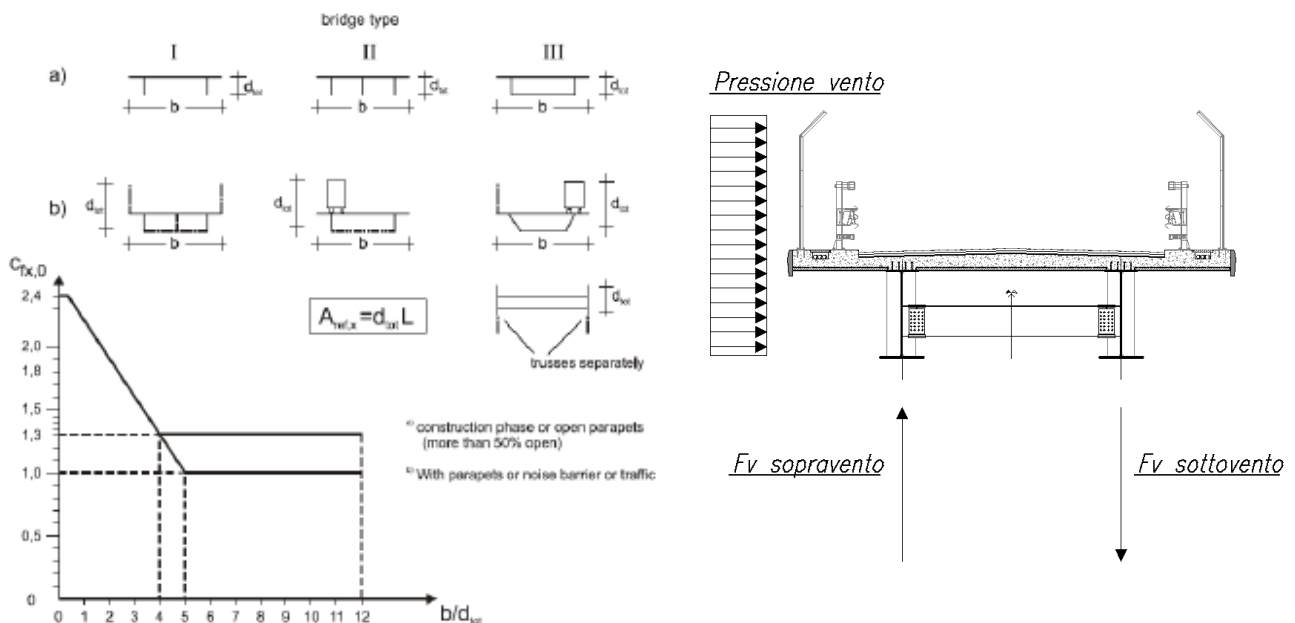
Il carico neve non viene considerato in quanto si presuppone la sua non contemporaneità con i carichi da traffico di gran lunga maggiormente penalizzanti.

6.7 Azione del vento

Il carico provocato dal vento sarà valutato tenendo conto di quanto prescritto dalle Norme Tecniche per le Costruzioni, (DM 14 Gennaio 2008) al § 3.3.

La pressione del vento è data dall'espressione: $p = q_b c_e c_p c_d$ dove q_b è la pressione cinetica di riferimento di cui al § 3.3.6;

- c_e è il coefficiente di esposizione di cui al § 3.3.7;
- c_d è il coefficiente dinamico con cui si tiene conto degli effetti riduttivi associati alla non contemporaneità delle massime pressioni locali e degli effetti amplificativi dovuti alle vibrazioni strutturali.
- c_p è il coefficiente di forma (o coefficiente aerodinamico), funzione della tipologia e della geometria della costruzione e del suo orientamento rispetto alla direzione del vento: nel caso delle strutture da ponte si fa riferimento alle indicazioni contenute negli Eurocodici dove viene indicato un valore del coefficiente di forma in funzione della larghezza dell'impalcato e della superficie esposta al vento come in seguito riportato.



La forza verticale lineare sulle travi dovuta al vento incrementa il carico in modo inversamente proporzionale alla distanza delle stesse.

CALCOLO AZIONE DEL VENTO
Zona

7

Larghezza complessiva impalcato :	B _{IMPALCATO}	9.50	[m]
Spessore medio impalcato :	S _{IMPALCATO}	0.32	[m]
Spessore medio pavimentazione :	S _{PAVIMENTAZIONE}	0.12	[m]
Altezza travi principali :	H _{TRAVI}	2.40	[m]
Altezza sagoma mezzo transitante :	H _{CARICHI TRAFFICO}	3.00	[m]
Altezza totale superficie esposta al vento :	d _{TOT}	5.84	[m]
Rapporto dimensioni impalcato :	B _{IMPALCATO} / d _{TOT}	1.63	[-]

Altitudine del sito s.l.m.(m) :

50

V _{b,0}	ao	ka
------------------	----	----

Periodo di ritorno TR (anni) :

100

28	1000	0.015
----	------	-------

Classe di rugosità del terreno :

Aree prive di ostacolo

Categoria di esposizione del sito :

II

kr	zo	zmin
0.19	0.05	4

Altezza intradosso trave - Z ₁	Z ₁	9.00	[m]
Altezza carico transitante - Z _{MAX}	Z _{MAX}	14.84	[m]
Velocità di riferimento	V _{b,0}	28.00	[m/s]
Coefficiente amplificativo per TR	a _R	1.04	[-]
Velocità di riferimento corretta	V _b (T _R)	29.08	[m/s]
Coefficiente di topografia	C _t	1.00	[-]
Coefficiente di esposizione z=Z _{MIN}	C _{ev} (Z _{min})	1.80	[-]
	C _{ev}		
Coefficiente di esposizione z=Z ₁	(Z ₁)	2.29	[-]
Coefficiente di esposizione z=Z _{MAX}	C _{ev} (Z _{max})	2.61	[-]
Coefficiente dinamico	C _d	1.00	[-]
Pressione cinetica di riferimento	q (z)	0.53	[kN/m ²]
Coefficiente di forma	C _p	2.05	[-]
Pressione di calcolo in z=Z _{min}	P (Z _{min})	1.95	[kN/m ²]
Pressione di calcolo in z=Z ₁	P (Z ₁)	2.48	[kN/m ²]
Pressione di calcolo in z=Z _{max}	P (Z _{max})	2.83	[kN/m ²]
Pressione di calcolo MEDIA	P (media)	2.65	[kN/m ²]

L'azione del vento risulta la medesima sia a ponte scarico che carico essendo presenti barriere laterali di altezza pari alla sagoma del carico transitante.

6.8 Azione Sismica

Con riferimento alla normativa vigente (NTC-2008), le azioni sismiche di progetto si definiscono a partire dalla “pericolosità sismica di base” del sito di costruzione.

Essa costituisce l’elemento di conoscenza primario per la determinazione delle azioni sismiche.

La pericolosità sismica è definita in termini di accelerazione orizzontale massima attesa a_g in condizioni di campo libero su sito di riferimento rigido con superficie topografica orizzontale (di categoria A quale definita al § 3.2.2 - NTC 2008), nonché di ordinate dello spettro di risposta elastico in accelerazione ad essa corrispondente $S_e(T)$, con riferimento a prefissate probabilità di eccedenza P_{VR} , come definite nel § 3.2.1 (NTC 2008), nel periodo di riferimento V_R , come definito nel § 2.4 (NTC 2008).

Le forme spettrali sono definite, per ciascuna delle probabilità di superamento nel periodo di riferimento P_{VR} , a partire dai valori dei seguenti parametri su sito di riferimento rigido orizzontale:

a_g accelerazione orizzontale massima al sito;

F_o valore massimo del fattore di amplificazione dello spettro in accelerazione orizzontale.

T_c^* periodo di inizio del tratto a velocità costante dello spettro in accelerazione orizzontale.

Le azioni indotte dal sisma sulla struttura sono state applicate come forze nodali applicate alle masse, considerate concentrate ai nodi. Tali forze sono state calcolate mediante un’analisi dinamica lineare con spettro di risposta.

Gli spettri di risposta di progetto sono stati definiti per tutti gli stati limite considerati, e, note la latitudine e la longitudine del sito, si sono ricavati i valori dei parametri necessari alla definizione dell’azione sismica e quindi del relativo spettro di risposta.

Negli allegati di calcolo sono indicati I valori di a_g , F_o e T_c^* necessari per la determinazione delle azioni sismiche.

6.8.1 Vita nominale

La vita nominale di un’opera strutturale V_N è intesa come il numero di anni nel quale la struttura, purché soggetta alla manutenzione ordinaria, deve potere essere usata per lo scopo al quale è destinata.

La vita nominale dei diversi tipi di opere è riportata nella Tab. 2.4.I di seguito riportata.

Tabella 2.4.I – Vita nominale V_N per diversi tipi di opere

TIPI DI COSTRUZIONE		Vita Nominale V_N (in anni)
1	Opere provvisorie – Opere provvisionali - Strutture in fase costruttiva ¹	≤ 10
2	Opere ordinarie, ponti, opere infrastrutturali e dighe di dimensioni contenute o di importanza normale	≥ 50
3	Grandi opere, ponti, opere infrastrutturali e dighe di grandi dimensioni o di importanza strategica	≥ 100

Le strutture di progetto avranno vita nominale $V_N=50$.

6.8.2 Classe d'uso

In presenza di azioni sismiche, con riferimento alle conseguenze di una interruzione di operatività o di un eventuale collasso, le costruzioni sono suddivise in classi d'uso così definite:

Classe I: Costruzioni con presenza solo occasionale di persone, edifici agricoli.

Classe II: Costruzioni il cui uso preveda normali affollamenti, senza contenuti pericolosi per l'ambiente e senza funzioni pubbliche e sociali essenziali. Industrie con attività non pericolose per l'ambiente. Ponti, opere infrastrutturali, reti viarie non ricadenti in Classe d'uso III o in Classe d'uso IV, reti ferroviarie la cui interruzione non provochi situazioni di emergenza. Dighe il cui collasso non provochi conseguenze rilevanti.

Classe III: Costruzioni il cui uso preveda affollamenti significativi. Industrie con attività pericolose per l'ambiente. Reti viarie extraurbane non ricadenti in Classe d'uso IV. Ponti e reti ferroviarie la cui interruzione provochi situazioni di emergenza. Dighe rilevanti per le conseguenze di un loro eventuale collasso.

Classe IV: Costruzioni con funzioni pubbliche o strategiche importanti, anche con riferimento alla gestione della protezione civile in caso di calamità. Industrie con attività particolarmente pericolose per l'ambiente. Reti viarie di tipo A o B, di cui al D.M. 5 novembre 2001, n. 6792, "Norme funzionali e geometriche per la costruzione delle strade", e di tipo C quando appartenenti ad itinerari di collegamento tra capoluoghi di provincia non altresì serviti da strade di tipo A o B. Ponti e reti ferroviarie di importanza critica per il mantenimento delle vie di comunicazione, particolarmente dopo un evento sismico. Dighe connesse al funzionamento di acquedotti e a impianti di produzione di energia elettrica.

Le strutture di progetto sono definite in Classe II.

6.8.3 Periodo di riferimento

Le azioni sismiche su ciascuna costruzione vengono valutate in relazione ad un periodo di riferimento V_R che si ricava, per ciascun tipo di costruzione, moltiplicandone la vita nominale V_N per il coefficiente d'uso C_U :

$$V_R = V_N \times C_U$$

Il valore del coefficiente d'uso C_U è definito, al variare della classe d'uso, come mostrato in Tab. 2.4.II.

Tab. 2.4.II – Valori del coefficiente d'uso C_U

CLASSE D'USO	I	II	III	IV
COEFFICIENTE C_U	0,7	1,0	1,5	2,0

Le strutture di progetto, definite in Classe IV e vita nominale $V_N=50$, hanno a $V_R = 50$.

6.8.4 Valutazione dei parametri di pericolosità sismica

Fissata la vita di riferimento V_R , i due parametri T_R e P_{V_R} sono immediatamente esprimibili, l'uno in funzione dell'altro, mediante l'espressione:

$$T_R = - \frac{V_R}{\ln(1 - P_{V_R})}$$

Tabella 3.2.I – Probabilità di superamento P_{V_R} al variare dello stato limite considerato

Stati Limite		P_{V_R} : Probabilità di superamento nel periodo di riferimento V_R
Stati limite di esercizio	SLO	81%
	SLD	63%
Stati limite ultimi	SLV	10%
	SLC	5%

Per il sito in esame, in base parametri precedentemente adottati, il periodo TR in corrispondenza dello stato limite ultimo SLV è pari a TR = 949 anni.

Le seguenti tabelle indicano i valori dei parametri sismici di base e gli spettri di risposta elastici per i diversi stati limite e periodi di ritorno.

Tipo di costruzione 2

Vn Default (50)

Classe d'uso II

Località: Savona, Villanova D'albenga
 Latitudine (deg) 44,0521°; Longitudine (deg) 8,1478°
 (N 44° 3' 8"; E 8° 8' 52") ED50 Dettagli...

Zona sismica Zona 2

Edificio esistente

Livello di conoscenza LC1 (FC = 1,35)

Vr 50.0

Stato limite	Pvr(%)	Tr(anni)	Ag/g	Fo	Tc*(sec)
SLO	Default (81)	30	0.0255	2.47	0.18
SLD	Default (63)	50	0.0357	2.564	0.207
SLV	Default (10)	475	0.1346	2.426	0.28
SLC	Default (5)	975	0.1836	2.462	0.3

6.8.5 Caratterizzazione sismica del terreno

6.8.5.1 Categorie di Sottosuolo

Ai fini della definizione dell'azione sismica di progetto, si rende necessario valutare l'effetto della risposta sismica locale.

Per la definizione dell'azione sismica si può fare riferimento a un approccio semplificato, che si basa sull'individuazione delle categorie di sottosuolo di riferimento in accordo a quanto indicato nel § 3.2.2 delle Norme Tecniche:

Categoria A: Ammassi rocciosi affioranti o terreni molto rigidi caratterizzati da valori di $V_{s,30}$ superiori a 800 m/s, eventualmente comprendenti in superficie uno strato di alterazione, con spessore massimo pari a 3 m.

Categoria B: Rocce tenere e depositi di terreni a grana grossa molto addensati o terreni a grana fina molto consistenti con spessori superiori a 30 m, caratterizzati da un graduale miglioramento delle proprietà meccaniche con la profondità e da valori di $V_{s,30}$ compresi tra 360 m/s e 800 m/s (ovvero $NSPT_{,30} > 50$ nei terreni a grana grossa e $cu_{,30} > 250$ kPa nei terreni a grana fina).

Categoria C: Depositati di terreni a grana grossa mediamente addensati o terreni a grana fina mediamente consistenti con spessori superiori a 30 m, caratterizzati da un graduale miglioramento delle proprietà meccaniche con la profondità e da valori di $V_{s,30}$ compresi tra 180 m/s e 360 m/s (ovvero $15 < NSPT_{,30} < 50$ nei terreni a grana grossa e $70 < cu_{,30} < 250$ kPa nei terreni a grana fina).

Categoria D: Depositati di terreni a grana grossa scarsamente addensati o di terreni a grana fina scarsamente consistenti, con spessori superiori a 30 m, caratterizzati da un graduale miglioramento delle proprietà meccaniche con la profondità e da valori di $V_{s,30}$ inferiori a 180 m/s (ovvero $NSPT_{,30} < 15$ nei terreni a grana grossa e $cu_{,30} < 70$ kPa nei terreni a grana fina).

Categoria E: Terreni dei sottosuoli di tipo C o D per spessore non superiore a 20 m, posti sul substrato di riferimento (con $V_s > 800$ m/s).

Categoria S1: Depositati di terreni caratterizzati da valori di $V_{s,30}$ inferiori a 100 m/s (ovvero $10 < cu_{,30} < 20$ kPa), che includono uno strato di almeno 8 m di terreni a grana fina di bassa consistenza, oppure che includono almeno 3 m di torba o di argille altamente organiche.

Categoria S2: Depositati di terreni suscettibili di liquefazione, di argille sensitive o qualsiasi altra categoria di sottosuolo non classificabile nei tipi precedenti.

In base alla stratigrafia considerata e ai dati relativi alle NSPT e alle C_u indicati dalle indagini geologiche, i terreni di progetto possono essere caratterizzati come appartenenti a terreni di **Categoria B**.

6.8.5.2 Condizioni topografiche

In condizioni topografiche superficiali semplici si può adottare la seguente classificazione

T1: Superficie pianeggiante, pendii e rilievi isolati e inclinazione media $i \leq 15^\circ$;

T2: Pendii con inclinazione media $i > 15^\circ$;

T3: Rilievi con larghezza in cresta molto minore che alla base e inclinazione media $15^\circ \leq i \leq 30^\circ$;

T4: Rilievi con larghezza in cresta molto minore che alla base e inclinazione media $i > 30^\circ$;

Le su esposte categorie topografiche si riferiscono a configurazioni geometriche prevalentemente bidimensionali, creste o dorsali allungate, e devono essere considerate nella definizione dell'azione sismica se di altezza maggiore di 30 m.

L'area interessata risulta classificabile come **T3**.

6.8.5.3 Amplificazione Stratigrafica e Topografica

In riferimento a quanto indicato nel §3.2.3.2.1 delle NTC-2008 per la definizione dello spettro elastico in accelerazione è necessario valutare il valore del coefficiente $S=S_S \times S_T$ e di C_C in base alla categoria di sottosuolo e alle condizioni topografiche; si fa riferimento nella valutazione dei coefficienti alle tabelle che seguono.

Tabella 3.2.V – Espressioni di S_S e di C_C

Categoria sottosuolo	S_S	C_C
A	1,00	1,00
B	$1,00 \leq 1,40 - 0,40 \cdot F_o \cdot \frac{a_g}{g} \leq 1,20$	$1,10 \cdot (T_C^*)^{-0,20}$
C	$1,00 \leq 1,70 - 0,60 \cdot F_o \cdot \frac{a_g}{g} \leq 1,50$	$1,05 \cdot (T_C^*)^{-0,33}$
D	$0,90 \leq 2,40 - 1,50 \cdot F_o \cdot \frac{a_g}{g} \leq 1,80$	$1,25 \cdot (T_C^*)^{-0,50}$
E	$1,00 \leq 2,00 - 1,10 \cdot F_o \cdot \frac{a_g}{g} \leq 1,60$	$1,15 \cdot (T_C^*)^{-0,40}$

Tabella 3.2.VI – Valori massimi del coefficiente di amplificazione topografica S_T

Categoria topografica	Ubicazione dell'opera o dell'intervento	S_T
T1	-	1,0
T2	In corrispondenza della sommità del pendio	1,2
T3	In corrispondenza della cresta del rilievo	1,2
T4	In corrispondenza della cresta del rilievo	1,4

Categoria del suolo: B - sabbie dense o argille consistenti

SLO		SLD	
Ss orizzontale SLO	Default (1.20)	Ss orizzontale SLD	Default (1.20)
Tb orizzontale SLO	s Default (0.093)	Tb orizzontale SLD	s Default (0.104)
Tc orizzontale SLO	s Default (0.279)	Tc orizzontale SLD	s Default (0.312)
Td orizzontale SLO	s Default (1.702)	Td orizzontale SLD	s Default (1.743)

SLV		SLC	
Ss orizzontale SLV	Default (1.20)	Ss orizzontale SLC	Default (1.20)
Tb orizzontale SLV	s Default (0.132)	Tb orizzontale SLC	s Default (0.140)
Tc orizzontale SLV	s Default (0.397)	Tc orizzontale SLC	s Default (0.420)
Td orizzontale SLV	s Default (2.138)	Td orizzontale SLC	s Default (2.334)

Verticale

Ss verticale	Default (1.00)
Tb verticale	s Default (0.050)
Tc verticale	s Default (0.150)
Td verticale	s Default (1.000)

Categoria topografica: T3

S_T : Default (1.20)

Il coefficiente $S = S_S \times S_T = 1,2 \times 1,2 = 1,44$ (SLV).



PROGETTO DEFINITIVO
RADDOPPIO LINEA GENOVA – VENTIMIGLIA
TRATTA FINALE LIGURE - ANDORA

Nuova viabilità – Ponte stradale
Relazione di calcolo impalcato

COMMESSA	LOTTO	CODIFICA	DOCUMENTO	REV.	FOGLIO
IV01	00	D 09 CL	NVX309001	B	34 di 144

6.8.6 Classe di duttilità

L'impalcato oggetto della presente relazione, soggetta all'azione sismica, è dotato di appositi dispositivi dissipativi (isolatori elastomerici) agli appoggi, e quindi è stata progettata considerando il telaio metallico (sovrastuttura) avente un comportamento strutturale non dissipativo. La struttura del ponte deve essere concepita e dimensionata in modo tale che sotto l'azione sismica per lo SLV essa dia luogo alla formazione di un meccanismo dissipativo stabile, nel quale la dissipazione sia limitata agli appositi apparecchi dissipativi (isolatori elastomerici).

6.8.7 Fattore di struttura

Nel comportamento strutturale dissipativo, gli effetti combinati delle azioni sismiche e delle altre azioni sono calcolati tenendo conto delle non linearità di comportamento (di materiale sempre, geometriche quando rilevanti); in tal modo è possibile ridurre le azioni sismiche scalando gli spettri di risposta elastici.

LA STRUTTURA DELL'IMPALCATO E' CONSIDERATA IN OGNI SUA PARTE NON DISSIPATIVA (q=1) IN ENTRAMBE LE DIREZIONI DI AZIONE DEL SISMA;

6.8.8 Valutazione dell'azione Sismica

Si utilizzerà un'analisi dinamica lineare con spettro di progetto $S_d(T)$ ottenuto sostituendo nello spettro elastico $S_e(T)$ definito nel §3.2.3.2 il parametro η con $1/q$, dove q è il fattore di struttura conforme alla tipologia della struttura, al suo grado di iperstaticità, alla regolarità e non linearità del materiale. Il fattore di struttura utilizzato nell'analisi dinamica verrà preso pari a $q=1$ (struttura non dissipativa).

Come citato nelle NTC-2008 al §7.3.1, "quando si utilizza l'analisi lineare per sistemi non dissipativi, come avviene per gli stati limite di esercizio, gli effetti delle azioni sismiche sono calcolati, quale che sia la modellazione per esse utilizzata, riferendosi allo spettro di progetto ottenuto assumendo un fattore di struttura q unitario (§3.2.3.4)."; la resistenza delle membrature e dei collegamenti deve essere valutata in accordo con le regole presentate nei capitoli relativi alle strutture non soggette ad azioni sismiche, non essendo necessario soddisfare i requisiti di duttilità fissati nei paragrafi successivi."

Nel seguito sono riportati i dati sismici riassuntivi e completi riguardanti l'opera in oggetto.

DATI SITO

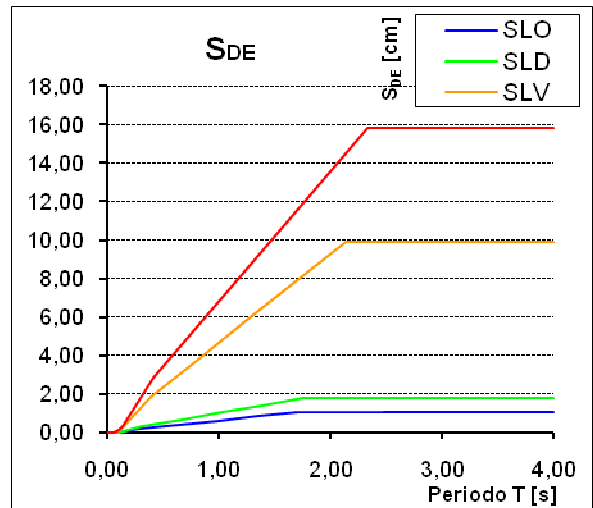
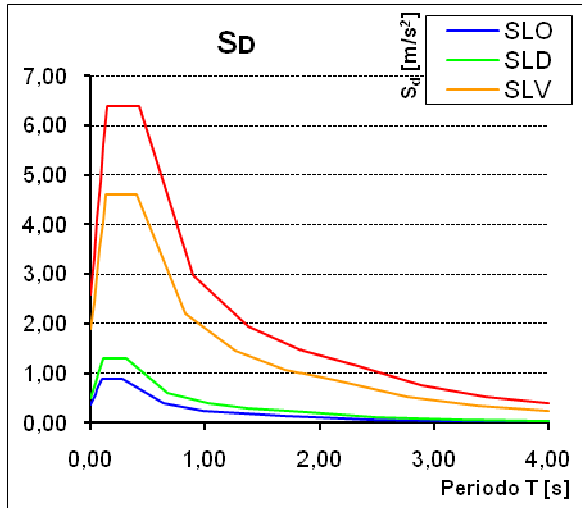
Latitudine [DEG sessadecimale]	N	44.0521
Longitudine [DEG sessadecimale]	E	8.1478
Cat. suolo di fondazione (A,...E)		B
Categoria topografica (T1,...T4)		T3
Coeff. di amplificazione topografica	S _T	1.2

DATI STRUTTURA

Fattore di struttura	q	1
smorz. viscoso	ξ	5%
Fattore di smorz. visc.	η	1

DATI TIPOLOGIA DI UTILIZZO

Vita nominale dell'opera (10, 50, 100)	V _N	50	Classe d'uso (I, II, III, IV)		II
Periodo di riferimento	V _R	50	Coefficiente d'uso	C _U	1



DATI SPETTRALI

		SLO	SLD	SLV	SLC
Probabilità di superamento	P _{Vr}	0.810	0.630	0.100	0.050
Periodo di ritorno	T _R [anni]	30	50	475	975
Accelerazione	a _g [m/s ²]	0.250	0.350	1.320	1.801
Fattore di amplif.	F ₀	2.470	2.564	2.426	2.462
Periodo in. velocità costante	T _C * [s]	0.180	0.207	0.280	0.300
Coefficiente di sottosuolo	C _c	1.550	1.507	1.419	1.399
Periodi	T _C [s]	0.279	0.312	0.397	0.420
	T _B [s]	0.093	0.104	0.132	0.140
	T _D [s]	1.702	1.743	2.139	2.335
	S _s	1.200	1.200	1.200	1.200
Coeff. di amplif. stratigrafica	S = S _T S _s	1.440	1.440	1.440	1.440

6.9 Combinazioni di carico

Le combinazioni di carico sono stabilite, in modo da garantire la sicurezza, secondo quanto prescritto dal D.M. 14 gennaio 2008 (Norme Tecniche per le Costruzioni). Si precisa che nella determinazione delle combinazioni di carico, si indica come carico q_1 la disposizione dei carichi mobili $q_{1,a}$; $q_{1,b}$; $q_{1,d}$; $q_{1,e}$; che, caso per caso, risulta più gravosa ai fini delle verifiche. Per le fasi transitorie di costruzione del manufatto le combinazioni sono riferite ai carichi reali o a carichi convenzionali equivalenti. Per i valori da assegnare ai carichi convenzionali si sono considerati valori commisurati a periodi di ritorno, riferibili alla fase di costruzione del manufatto. In accordo al § 2.5.3 del D.M. 14/01/08 “Combinazioni delle azioni”, ai fini delle verifiche degli stati limite si definiscono le seguenti combinazioni delle azioni:

Combinazione fondamentale, generalmente impiegata per gli stati limite ultimi (S.L.U.):

$$\gamma G_1 \times G_1 + \gamma G_2 \times G_2 + \gamma P \times P + \gamma Q_1 \times Q_{k1} + \gamma Q_2 \times \psi_{02} \times Q_{k2} + \gamma Q_3 \times \psi_{03} \times Q_{k3} + \dots \quad (2.5.1)$$

Combinazione caratteristica (rara), generalmente impiegata per gli stati limite di esercizio (S.L.E.) irreversibili:

$$G_1 + G_2 + P + Q_{k1} + \psi_{02} \times Q_{k2} + \psi_{03} \times Q_{k3} + \dots \quad (2.5.2)$$

Combinazione frequente, generalmente impiegata per gli stati limite di esercizio (S.L.E.) reversibili:

$$G_1 + G_2 + P + \psi_{11} \times Q_{k1} + \psi_{22} \times Q_{k2} + \psi_{23} \times Q_{k3} + \dots \quad (2.5.3)$$

Combinazione quasi permanente (S.L.E.), generalmente impiegata per gli effetti a lungo termine:

$$G_1 + G_2 + P + \psi_{21} \times Q_{k1} + \psi_{22} \times Q_{k2} + \psi_{23} \times Q_{k3} + \dots \quad (2.5.4)$$

Combinazione sismica, impiegata per gli stati limite ultimi e di esercizio connessi all’azione sismica E (v. § 3.2 D.M. 14/01/08):

$$E + G_1 + G_2 + P + \psi_{21} \times Q_{k1} + \psi_{22} \times Q_{k2} + \dots \quad (2.5.5)$$

Combinazione eccezionale, impiegata per gli stati limite ultimi connessi alle azioni eccezionali di progetto Ad (v. § 3.6 D.M. 14/01/08):

$$G_1 + G_2 + P + Ad + \psi_{21} \times Q_{k1} + \psi_{22} \times Q_{k2} + \dots \quad (2.5.6)$$

Nelle combinazioni per S.L.E., si intende che vengono omessi i carichi Q_{kj} che danno un contributo favorevole ai fini delle verifiche e, se del caso, i carichi G_2 .

Ai fini della determinazione dei valori caratteristici delle azioni dovute al traffico, si dovranno considerare, generalmente, le combinazioni riportate in Tab. 5.1.IV D.M. 14/01/08. In particolare è stato definito il gruppo di azioni 1, avente il valore caratteristico del modello di carico principale (M_1 e M_2) e il gruppo di azioni 2, che combina il valore frequente del modello di carico principale ($1,0125 M_1$ e $1,0125 M_2$) con il valore caratteristico del frenamento. La Tab. 5.1.V D.M. 14/01/08 fornisce i valori dei coefficienti parziali delle azioni da assumere nell’analisi per la determinazione degli effetti delle azioni nelle verifiche agli stati limite ultimi. Nella Tab. 5.1.V D.M. 14/01/08 il significato dei simboli è il seguente:

γG_1 coefficiente parziale del peso proprio della struttura, del terreno e dell’acqua, quando pertinente;

γG_2 coefficiente parziale dei pesi propri degli elementi non strutturali;

γQ coefficiente parziale delle azioni variabili da traffico;

γQ_i coefficiente parziale delle azioni variabili.

I valori dei coefficienti ψ_{0j} , ψ_{1j} e ψ_{2j} per le diverse categorie di azioni sono riportati nella Tab. 5.1.VI D.M. 14/01/08.

		Coefficiente	EQU (1)	A1 STR	A2 GEO
Carichi permanenti	favorevoli	γ_{G1}	0,90	1,00	1,00
	sfavorevoli		1,10	1,35	1,00
Carichi permanenti non strutturali (2)	favorevoli	γ_{G2}	0,00	0,00	0,00
	sfavorevoli		1,50	1,50	1,30
Carichi variabili da traffico	favorevoli	γ_Q	0,00	0,00	0,00
	sfavorevoli		1,35	1,35	1,15
Carichi variabili	favorevoli	γ_{Qi}	0,00	0,00	0,00
	sfavorevoli		1,50	1,50	1,30
Distorsioni e presollecitazioni di progetto	favorevoli	$\gamma_{\epsilon 1}$	0,90	1,00	1,00
	sfavorevoli		1,00 (3)	1,00 (4)	1,00
Ritiro e viscosità, Variazioni termiche, Cedimenti vincolari	favorevoli	$\gamma_{\epsilon 2}, \gamma_{\epsilon 3}, \gamma_{\epsilon 4}$	0,00	0,00	0,00
	sfavorevoli		1,20	1,20	1,00

(1) Equilibrio che non coinvolga i parametri di deformabilità e resistenza del terreno; altrimenti si applicano i valori di GEO

(2) Nel caso in cui i carichi permanenti non strutturali (ad es. carichi permanenti portati) siano compiutamente definiti si potranno adottare gli stessi coefficienti validi per le azioni permanenti

(3) 1,30 per instabilità in strutture con precompressione esterna

(4) 1,20 per effetti locali

Azioni	Gruppo di azioni (Tabella 5.1.IV)	Coefficiente ψ_0 di combinazione	Coefficiente ψ_1 (valori frequenti)	Coefficiente ψ_2 (valori quasi permanenti)
Azioni da traffico (Tabella 5.1.IV)	Schema 1 (Carichi tandem)	0,75	0,75	0,0
	Schemi 1, 5 e 6 (Carichi distribuiti)	0,40	0,40	0,0
	Schemi 3 e 4 (carichi concentrati)	0,40	0,40	0,0
	Schema 2	0,0	0,75	0,0
	2	0,0	0,0	0,0
	3	0,0	0,0	0,0
	4 (folla)	--	0,75	0,0
Vento q_5	Vento a ponte scarico SLU e SLE	0,6	0,2	0,0
	Esecuzione	0,8	----	0,0
	Vento a ponte carico	0,6		
Neve q_5	SLU e SLE	0,0	0,0	0,0
	Esecuzione	0,8	0,6	0,5
Temperatura	T_k	0,6	0,6	0,5

Ai fini della determinazione dei valori caratteristici delle azioni dovute al traffico, si dovranno considerare, generalmente, le combinazioni riportate in Tab. 5.1.IV (NTC 2008). A causa della natura dell'opera, i gruppi di azioni da prendere in esame risultano esclusivamente i gruppi 1, 2a e 4.

Tabella 5.1.IV – Valori caratteristici delle azioni dovute al traffico

Gruppo di azioni	Carichi sulla carreggiata					Carichi su marciapiedi e piste ciclabili
	Carichi verticali			Carichi orizzontali		Carichi verticali
	Modello principale (Schemi di carico 1, 2, 3, 4, 6)	Veicoli speciali	Folla (Schema di carico 5)	Frenatura q_3	Forza centrifuga q_4	Carico uniformemente distribuito
1	Valore caratteristico					Schema di carico 5 con valore di combinazione 2,5 kN/m ²
2 a	Valore frequente			Valore caratteristico		
2 b	Valore frequente				Valore caratteristico	
3 (*)						Schema di carico 5 con valore caratteristico 5,0 kN/m ²
4 (**)			Schema di carico 5 con valore caratteristico 5,0 kN/m ²			Schema di carico 5 con valore caratteristico 5,0 kN/m ²
5 (***)	Da definirsi per il singolo progetto	Valore caratteristico o nominale				

(*) Ponti di 3^a categoria
(**) Da considerare solo se richiesto dal particolare progetto (ad es. ponti in zona urbana)
(***) Da considerare solo se si considerano veicoli speciali

6.9.1 Combinazioni relative agli stati limite ultimi

Le verifiche agli stati limite devono essere eseguite per tutte le più gravose condizioni di carico che possono agire sulla struttura, valutando gli effetti delle combinazioni definite. In particolare, nelle verifiche agli stati limite ultimi si distinguono:

- lo stato limite di equilibrio come corpo rigido: EQU
- lo stato limite di resistenza della struttura compresi gli elementi di fondazione: STR
- lo stato limite di resistenza del terreno: GEO

La Tabella 2.6.I, e le successive Tabelle 5.1.V e 5.2.V di cui al D.M. 14/01/08, forniscono i valori dei coefficienti parziali delle azioni da assumere per la determinazione degli effetti delle azioni nelle verifiche agli stati limite ultimi. Per le verifiche nei confronti dello stato limite ultimo di equilibrio come corpo rigido (EQU) si utilizzano i coefficienti parziali γ_F relativi alle azioni riportati nella colonna EQU delle Tabelle sopra citate. Nelle verifiche nei

confronti degli stati limite ultimi strutturali (STR) e geotecnici (GEO) si possono adottare, in alternativa, due diversi approcci progettuali. Nell'Approccio 1 si impiegano due diverse combinazioni di gruppi di coefficienti parziali, rispettivamente definiti per le azioni (A), per la resistenza dei materiali (M) e, eventualmente, per la resistenza globale del sistema (R). Nella Combinazione 1 dell'Approccio 1, per le azioni si impiegano i coefficienti γ_F riportati nella colonna A1 delle Tabelle sopra citate. Nella Combinazione 2 dell'Approccio 1, si impiegano invece i coefficienti γ_F riportati nella colonna A2. Nell'Approccio 2 si impiega un'unica combinazione dei gruppi di coefficienti parziali definiti per le Azioni (A), per la resistenza dei materiali (M) e, eventualmente, per la resistenza globale (R). In tale approccio, per le azioni si impiegano i coefficienti γ_F riportati nella colonna A1.

		Coefficiente γ_F	EQU	A1 STR	A2 GEO
Carichi permanenti	favorevoli	γ_{G1}	0,9	1,0	1,0
	sfavorevoli	γ_{G1}	1,1	1,3	1,0
Carichi permanenti non strutturali (1)	favorevoli	γ_{G2}	0,0	0,0	0,0
	sfavorevoli	γ_{G2}	1,5	1,5	1,3
Carichi variabili	favorevoli	γ_{Qi}	0,0	0,0	0,0
	sfavorevoli	γ_{Qi}	1,5	1,5	1,3

(1) Nel caso in cui i carichi permanenti non strutturali (ad es. carichi permanenti portati) siano compiutamente definiti si potranno adottare per essi gli stessi coefficienti validi per le azioni permanenti.

Nella Tab. 2.6.I D.M. 14/01/08 il significato dei simboli e il seguente:

γ_{G1} coefficiente parziale del peso proprio della struttura, nonché del peso proprio del terreno e dell'acqua, quando pertinenti;

γ_{G2} coefficiente parziale dei pesi propri degli elementi non strutturali;

γ_{Qi} coefficiente parziale delle azioni variabili.

Nel caso in cui l'azione sia costituita dalla spinta del terreno, per la scelta dei coefficienti parziali di sicurezza valgono le indicazioni riportate nel Cap. 6 D.M. 14/01/08. Il coefficiente parziale della precompressione si assume pari a $\gamma_P = 1,0$.

6.9.2 Combinazioni contenenti l'azione sismica

Il metodo d'analisi lineare di riferimento per determinare gli effetti dell'azione sismica, sia su sistemi dissipativi sia su sistemi non dissipativi, e l'analisi modale con spettro di risposta o "analisi lineare dinamica". L'analisi dinamica lineare consiste nella determinazione dei modi di vibrare della costruzione (analisi modale), nel calcolo degli effetti dell'azione sismica, rappresentata dallo spettro di risposta di progetto, per ciascuno dei modi di vibrare individuati, nella combinazione di questi effetti. Devono essere considerati tutti i modi con massa partecipante significativa. E opportuno a tal riguardo considerare tutti i modi con massa partecipante superiore al 5% e comunque un numero di modi la cui massa partecipante totale sia superiore all'85%. Per la combinazione degli effetti relativi ai singoli modi deve essere utilizzata una combinazione quadratica completa degli effetti relativi a ciascun modo, quale quella indicata nell'espressione (7.3.3) di cui al D.M. 14/01/08

$$E = \left(\sum_j \sum_i \rho_{ij} \cdot E_i \cdot E_j \right)^{0,5}$$

con:

E_j valore dell'effetto relativo al modo j ;

ρ_{ij} coefficiente di correlazione tra il modo i e il modo j , calcolato con formule di comprovata validità quale:

$$\rho_{ij} = \frac{8\xi^2 \beta_{ij}^{3/2}}{(1 + \beta_{ij})[(1 - \beta_{ij})^2 + 4\xi^2 \beta_{ij}]}$$

ξ smorzamento viscoso dei modi i e j;

β_{ij} e il rapporto tra l'inverso dei periodi di ciascuna coppia i-j di modi ($\beta_{ij} = T_j/T_i$).

Se la risposta viene valutata mediante analisi statica o dinamica in campo lineare, essa può essere calcolata separatamente per ciascuna delle tre componenti; la risposta a ciascuna componente, ove necessario (v. § 3.2.5.1 D.M. 14/01/08), è combinata con gli effetti pseudo statici indotti dagli spostamenti relativi prodotti dalla variabilità spaziale della componente stessa, utilizzando la radice quadrata della somma dei quadrati. Gli effetti sulla struttura (sollecitazioni, deformazioni, spostamenti, ecc.) sono combinati successivamente, applicando l'espressione (7.3.15) di cui al D.M. 14/01/08, con rotazione dei coefficienti moltiplicativi e conseguente individuazione degli effetti più gravosi.

$$1,00 E_x + 0,30 E_y + 0,30 E_z$$

6.9.3 Combinazione dell'azione sismica con le altre azioni

Le verifiche agli stati limite ultimi o di esercizio devono essere effettuate per la combinazione dell'azione sismica con le altre azioni (3.2.16) del D.M. 14/01/08:

$$E + G_1 + G_2 + P + \sum \psi_{2j} \times Q_{kj}$$

Gli effetti dell'azione sismica saranno valutati tenendo conto delle masse associate ai seguenti carichi gravitazionali (3.2.17 D.M. 14/01/08):

$$G_1 + G_2 + \psi_{2j} \times Q_{kj}$$

Nel caso dei ponti, nelle espressioni 3.2.16 e 3.2.17 si assumerà per i carichi dovuti al transito dei mezzi $\psi_{2j} = 0,2$, quando rilevante.

Per la determinazione degli effetti delle azioni sismiche si farà di regola riferimento alle sole masse corrispondenti ai pesi propri ed ai sovraccarichi permanenti, considerando nullo il valore quasi permanente delle masse corrispondenti ai carichi da traffico (§ 5.1.3.8 D.M. 14/01/08).

Di seguito si riportano le combinazioni generate dalle azioni elementari agenti sul ponte al fine di condurre in seconda fase le verifiche di resistenza e deformative della struttura.

COEFFICIENTI DI COMBINAZIONE PER LE VERIFICHE ALLO SLU (STR) DELL'IMPALCATO

	γ	ψ	$\gamma \cdot \psi$
Peso proprio	1,35	1,00	1,35
Permanenti definiti	1,35	1,00	1,35
Effetti primari del ritiro	1,20	1,00	1,20
Accidentali mezzi	1,35	1,00	1,35 (Azione base accidentali)
Vento	1,5	0,60	0,90
Deformazioni termiche	1,20	0,60	0,72



**PROGETTO DEFINITIVO
RADDOPPIO LINEA GENOVA – VENTIMIGLIA
TRATTA FINALE LIGURE - ANDORA**

**Nuova viabilità – Ponte stradale
Relazione di calcolo impalcato**

COMMESSA	LOTTO	CODIFICA	DOCUMENTO	REV.	FOGLIO
IV01	00	D 09 CL	NVX309001	B	41 di 144

7 ANALISI NUMERICA

Il Metodo semiprobabilistico agli stati limite è stato utilizzato per il progetto e la verifica degli elementi strutturali; le sollecitazioni agenti sulla struttura sono state valutate mediante la scelta di analisi agli elementi finiti utilizzando il programma di calcolo Sismicad della Concrete s.r.l.

La modellazione vede le due travi principali ciascuna appoggiata al pulvino mediante vincoli rotazionali a "cerniera"; gli appoggi sono modellati mediante l'utilizzo di elementi unidirezionali con caratteristiche conformi alla tipologia di isolatore elastomerico scelto.

Le spalle sono costituite da un sistema strutturale in cui i pali sono modellato come elementi "beam" con molle longitudinali e trasversali a simulare l'interazione palo-terreno, la platea su pali è modellata attraverso elementi "shell" orizzontali, mentre muri e paraghiaia nella modellazione sono creati attraverso elementi "shell" verticali connessi tra di loro rispettando eventuali dissassamenti rispetto al piano medio;

L'impalcato è modellato mediante elementi "beam" longitudinali e trasversali; le travi principali sono inserite alla quota del baricentro geometrico, i traversi sono posti alla quota relativa al loro baricentro e collegati attraverso braccetti rigidi alle travi principali, la soletta è discretizzata attraverso elementi beam trasversali posti alla quota della soletta e collegati anch'essi attraverso braccetti rigidi alle travi principali.

E' trascurata la rigidezza nel piano della soletta d'impalcato in modo da massimizzare le azioni nelle travi, nei traversi e nei controventi di piano;

7.1 Codice di calcolo

Si tratta di un programma di calcolo strutturale che nella versione più estesa è dedicato al progetto e verifica degli elementi in cemento armato, acciaio, muratura e legno di opere civili. Il programma utilizza come analizzatore e solutore del modello strutturale un proprio solutore agli elementi finiti tridimensionale fornito col pacchetto.

Il programma è sostanzialmente diviso in tre moduli: un pre processore che consente l'introduzione della geometria e dei carichi e crea il file dati di input al solutore; il solutore agli elementi finiti; un post processore che a soluzione avvenuta elabora i risultati eseguendo il progetto e la verifica delle membrature e producendo i grafici ed i tabulati di output.

7.2 Modellazione della Struttura

Il programma schematizza la struttura attraverso l'introduzione nell'ordine di fondazioni, poste anche a quote diverse, platee, platee nervate, plinti e travi di fondazione poggianti tutte su suolo elastico alla Winkler, di elementi verticali, pilastri e pareti in c.a. anche con fori, di orizzontamenti costituiti da solai orizzontali e inclinati (falde), e relative travi di piano e di falda; è ammessa anche l'introduzione di elementi prismatici in c.a. di interpiano con possibilità di collegamento in inclinato a solai posti a quote diverse.

I nodi strutturali possono essere connessi solo a travi, pilastri e pareti, simulando così impalcati infinitamente deformabili nel piano, oppure a elementi lastra di spessore dichiarato dall'utente simulando in tal modo impalcati a rigidezza finita.

I nodi appartenenti agli impalcati orizzontali possono essere connessi rigidamente ad uno o più nodi principali giacenti nel piano dell'impalcato; generalmente un nodo principale coincide con il baricentro delle masse. Tale opzione, oltre a ridurre significativamente i tempi di elaborazione, elimina le approssimazioni numeriche connesse all'utilizzo di elementi lastra quando si richiede l'analisi a impalcati infinitamente rigidi.

7.3 Modellazione delle Azioni



**PROGETTO DEFINITIVO
RADDOPPIO LINEA GENOVA – VENTIMIGLIA
TRATTA FINALE LIGURE - ANDORA**

**Nuova viabilità – Ponte stradale
Relazione di calcolo impalcato**

COMMESSA	LOTTO	CODIFICA	DOCUMENTO	REV.	FOGLIO
IV01	00	D 09 CL	NVX309001	B	42 di 144

Per quanto concerne i carichi, in fase di immissione dati, vengono definite, in numero a scelta dell'utente, condizioni di carico elementari le quali, in aggiunta alle azioni sismiche e variazioni termiche, vengono combinate attraverso coefficienti moltiplicativi per fornire le combinazioni richieste per le verifiche successive. L'effetto di disassamento delle forze orizzontali, indotto ad esempio dai torcenti di piano per costruzioni in zona sismica, viene simulato attraverso l'introduzione di eccentricità planari aggiuntive le quali costituiscono ulteriori condizioni elementari di carico da cumulare e combinare secondo i criteri del paragrafo precedente.

Tipologicamente sono ammessi sulle travi e sulle pareti carichi uniformemente distribuiti e carichi trapezoidali; lungo le aste e nei nodi di incrocio delle membrature sono anche definibili componenti di forze e coppie concentrate comunque dirette nello spazio. Sono previste distribuzioni di temperatura, di intensità a scelta dell'utente, agenti anche su singole porzioni di struttura.

Il calcolo delle sollecitazioni si basa sulle seguenti ipotesi e modalità:

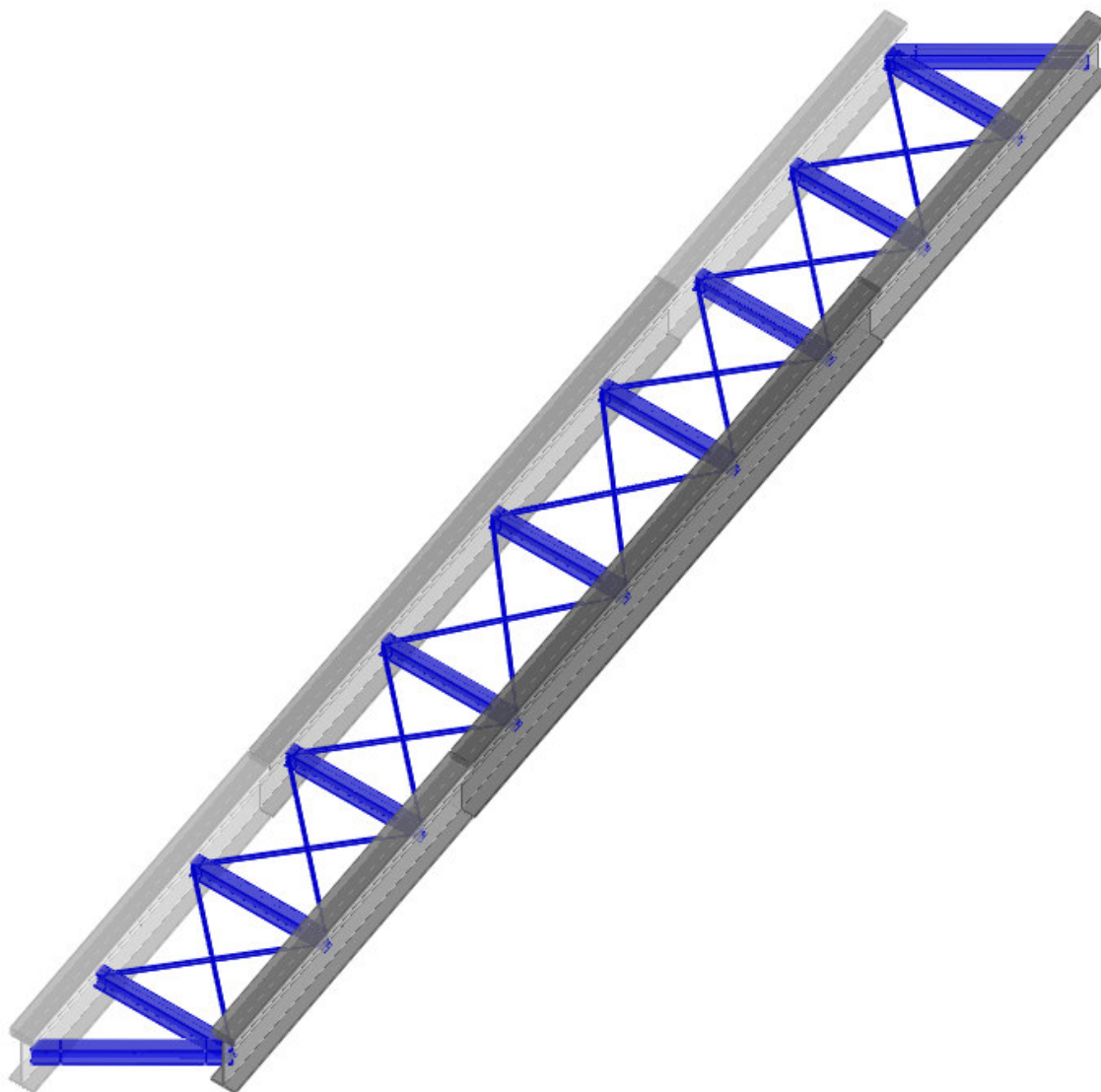
- travi e pilastri deformabili a sforzo normale, flessione deviata, taglio deviato e momento torcente. Sono previsti coefficienti riduttivi dei momenti di inerzia a scelta dell'utente per considerare la riduzione della rigidezza flessionale e torsionale per effetto della fessurazione del conglomerato cementizio. E' previsto un moltiplicatore della rigidezza assiale dei pilastri per considerare, se pure in modo approssimato, l'accorciamento dei pilastri per sforzo normale durante la costruzione.
- le travi di fondazione su suolo alla Winkler sono risolte in forma chiusa tramite uno specifico elemento finito;
- Le pareti in c.a. sono analizzate schematizzandole come elementi lastra-piastra discretizzati con passo massimo assegnato in fase di immissione dati;
- i pali sono modellati suddividendo l'asta in più aste immerse in terreni di stratigrafia definita dall'utente. Nei nodi di divisione tra le aste vengono inserite molle assialsimmetriche elastoplastiche precaricate dalla spinta a riposo che hanno come pressione limite minima la spinta attiva e come pressione limite massima la spinta passiva modificabile attraverso opportuni coefficienti.
- le piastre sono discretizzate in un numero finito di elementi lastra-piastra con passo massimo assegnato in fase di immissione dati; nel caso di platee di fondazione i nodi sono collegati al suolo da molle aventi rigidezze alla traslazione verticale ed richiesta anche orizzontale.
- I disassamenti tra elementi asta sono gestiti automaticamente dal programma attraverso la introduzione di collegamenti rigidi locali.- Alle estremità di elementi asta è possibile inserire svincolamenti tradizionali così come cerniere parziali (che trasmettono una quota di ciò che trasmetterebbero in condizioni di collegamento rigido) o cerniere plastiche.
- Alle estremità di elementi bidimensionali è possibile inserire svincolamenti con cerniere parziali del momento flettente avente come asse il bordo dell'elemento.
- Il calcolo degli effetti del sisma è condotto, a scelta dell'utente, con analisi statica lineare, con analisi dinamica modale o con analisi statica non lineare, in accordo alle varie normative adottate.
- Le masse, nel caso di impalcato dichiarati rigidi sono concentrate nei nodi principali di piano altrimenti vengono considerate diffuse nei nodi giacenti sull'impalcato stesso. Nel caso di analisi sismica vengono anche controllati gli spostamenti di interpiano.

8 CALCOLO DELLA RISPOSTA STRUTTURALE

Per il calcolo delle sollecitazioni strutturali è stato impiegato, come precedentemente descritto, il programma di calcolo agli elementi finiti SISMICAD della Concrete s.r.l.

8.1 Dati-Input dell'analisi

Le informazioni relative ai dati di input, definizione dei materiali ed elementi, condizioni e combinazioni di carico, ecc. sono contenute nell'allegato FASCICOLO DEI CALCOLI.



Dettaglio 3d dell'impalcato metallico

8.2 Condizioni di carico elementari

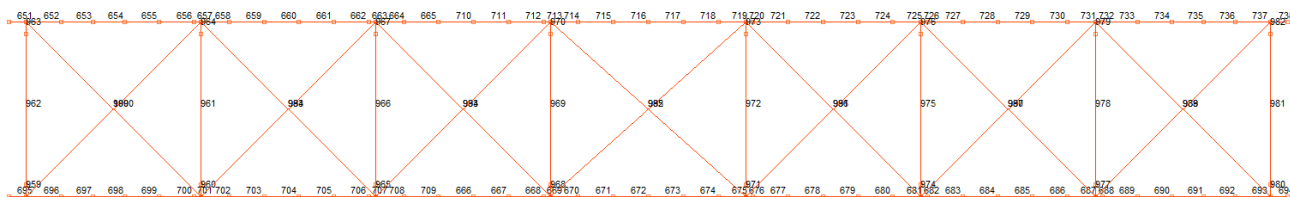
Nel seguito sono riportate figure in cui si evince il tipo e la posizione dei carichi elementari significativi utilizzati nel modello di calcolo agli elementi finiti.

8.3 Risultati dell'analisi

Si riportano di seguito i grafici del MODELLO e delle SOLLECITAZIONI nelle condizioni di carico significative presenti negli elementi dell'impalcato metallico.

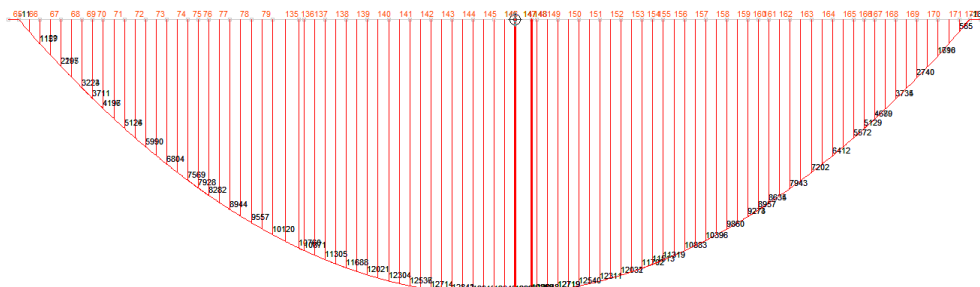
8.3.1 Numerazione delle aste nelle travi d'impalcato

Gli elementi finiti in cui è suddivisa la trave metallica oggetto delle verifiche sono indicati nella parte superiore del grafico seguente; in particolare gli elementi di testata hanno numerazione pari rispettivamente a n°652 e n°737, e gli elementi di campata numerazione pari a n°716 e n°717.

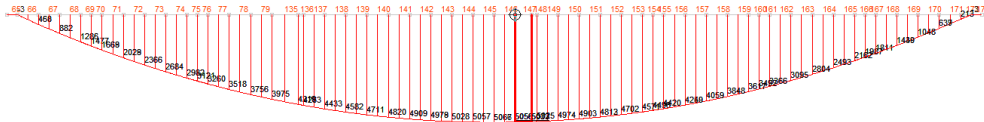


8.3.2 Diagrammi delle sollecitazioni

Nel seguito sono riportati i valori delle sollecitazioni presenti nella trave maggiormente caricata mediante diagrammi di sintesi; in tali diagrammi vengono infatti evidenziate le sollecitazioni di progetto presenti in ciascuna sezione nelle condizioni di carico elementari significative.



Proprietà	
Sollecitazione asta	
Asta	147
Contesto	Condizione Pesi strutturali
Parametro	M3
Sezione	Iniziale
Posizione	0
M3	12923.0496
Esistenti:	
Sezione iniziale	12923.0496
Sezione di mezzena	12896.744
Sezione finale	12868.8912
Asta della quale sono visualizzati i parametri di sollecitazione.	



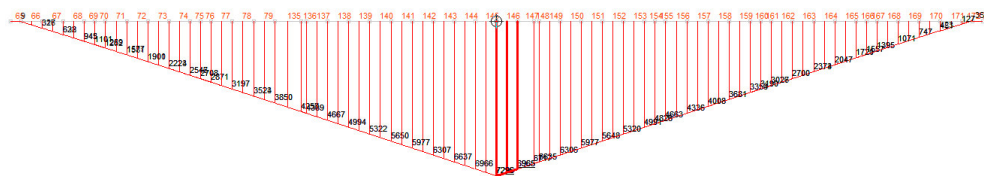
Proprietà	
Sollecitazione asta	
<input checked="" type="checkbox"/> Asta	147
<input type="checkbox"/> Contesto	Condizione Permanenti portat
<input type="checkbox"/> Parametro	M3
<input type="checkbox"/> Sezione	Iniziale
<input type="checkbox"/> Posizione	0
<input type="checkbox"/> M3	5055.7364
<input type="checkbox"/> Estremi	
<input type="checkbox"/> Contesto	
<input type="checkbox"/> M3	-660.3188; 12923.0496
<input type="checkbox"/> Sezione iniziale	5055.7364
<input type="checkbox"/> Sezione di mezziera	5044.95
<input type="checkbox"/> Sezione finale	5032.8572
Contesto	
Contesto per il quale sono visualizzati i valori del parametro di sollecitazione nelle varie sezioni.	



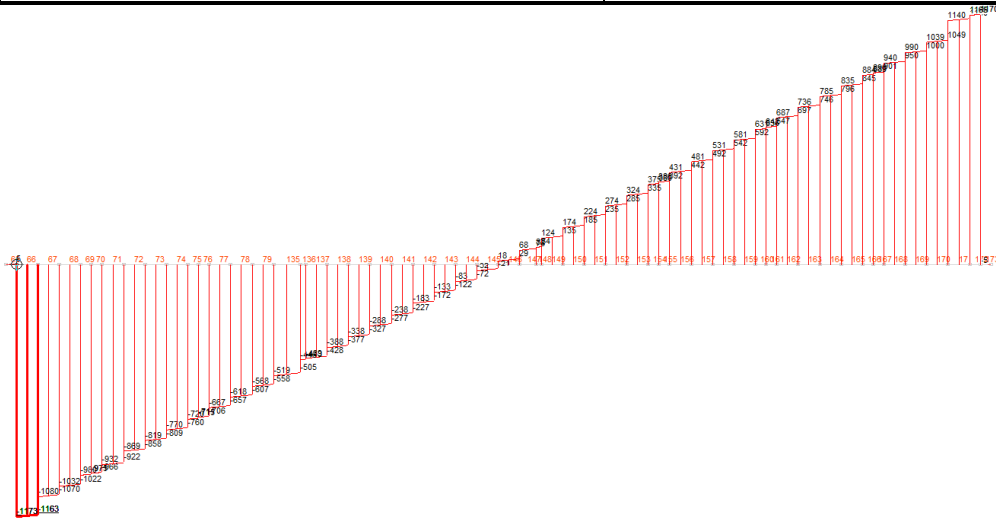
Proprietà	
Sollecitazione asta	
<input checked="" type="checkbox"/> Asta	147
<input type="checkbox"/> Contesto	Condizione ACC_D01
<input type="checkbox"/> Parametro	M3
<input type="checkbox"/> Sezione	Iniziale
<input type="checkbox"/> Posizione	0
<input type="checkbox"/> M3	7703.6688
<input type="checkbox"/> Estremi	
<input type="checkbox"/> Sezione iniziale	7703.6688
<input type="checkbox"/> Sezione di mezziera	7685.4664
<input type="checkbox"/> Sezione finale	7667.264
Asta	
Asta della quale sono visualizzati i parametri di sollecitazione.	



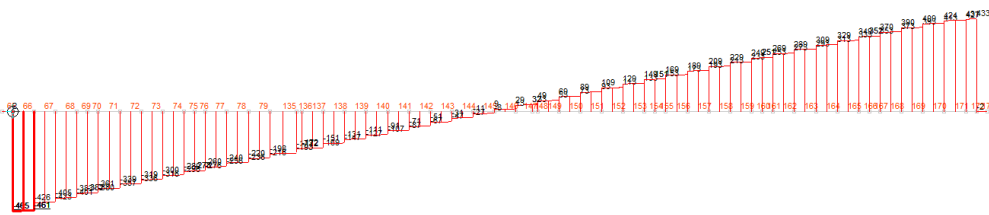
Proprietà	
Sollecitazione asta	
<input checked="" type="checkbox"/> Asta	147
<input type="checkbox"/> Contesto	Condizione ACC_T01
<input type="checkbox"/> Parametro	M3
<input type="checkbox"/> Sezione	Iniziale
<input type="checkbox"/> Posizione	0
<input type="checkbox"/> M3	7251.9192
<input type="checkbox"/> Estremi	
<input type="checkbox"/> Sezione iniziale	7251.9192
<input type="checkbox"/> Sezione di mezziera	7235.5544
<input type="checkbox"/> Sezione finale	7219.1888
Asta	
Asta della quale sono visualizzati i parametri di sollecitazione.	



Proprietà	
Sollecitazione asta	
<input checked="" type="checkbox"/> Asta	146
<input type="checkbox"/> Contesto	Condizione W3
<input type="checkbox"/> Parametro	M3
<input type="checkbox"/> Sezione	Iniziale
<input type="checkbox"/> Posizione	0
<input type="checkbox"/> M3	7295.9912
<input type="checkbox"/> Estremi	
<input type="checkbox"/> Sezione iniziale	7295.9912
<input type="checkbox"/> Sezione di mezziera	7130.4992
<input type="checkbox"/> Sezione finale	6965.0072
Asta	
Asta della quale sono visualizzati i parametri di sollecitazione.	



Proprietà	
Sollecitazione asta	
Asta	66
Contesto	Condizione Pesi strutturali
Parametro	F2
Sezione	Iniziale
Posizione	0
F2	-1173.18
Estremi	
Sezione iniziale	-1173.18
Sezione di mezzieria	-1168.08
Sezione finale	-1162.98
Asta	
Asta della quale sono visualizzati i parametri di sollecitazione.	



Proprietà	
Sollecitazione asta	
Asta	66
Contesto	Condizione Permanenti portat
Parametro	F2
Sezione	Iniziale
Posizione	0
F2	-464.95
Estremi	
Sezione iniziale	-464.95
Sezione di mezzieria	-463.15
Sezione finale	-461.35
Asta	
Asta della quale sono visualizzati i parametri di sollecitazione.	

Le sollecitazioni risultano conformi alla tipologia utilizzata.

8.3.3 Sollecitazioni nei conci nelle condizioni elementari di carico

Nel seguito sono elencate le sollecitazioni flettenti e taglianti presenti nelle condizioni elementari di carico alle estremità degli elementi scelti per le verifiche.

SOLLECITAZIONI NEI CONCI NELLE CONDIZIONI ELEMENTARI DI CARICO

MOMENTI FLETTENTI																		
CONCIO	n°NODO	Sigla ELEMENTO	Li	xl	Pesi strutturali	M Proprio	M Permanenti	M FOLLA	M ACC_T02	M ACC_T01	M ACC_D02	M ACC_D01	M VENTO	M TANDEM W1	M TANDEM W2	M TANDEM W3	M TANDEM W4	M TANDEM W5
A	1	1_xi=0_xj=3,5	3,50	0,00		-11	-3	-6	23	13	31	23	138	5	11	9	3	0
A	2	2_xi=3,5_xj=8,5	5,00	3,50		3711	1477	1834	1636	2033	2003	2167	438	1309	1638	1101	560	73
A	3	3_xi=8,5_xj=12	3,50	8,50		7928	3121	3896	3537	4408	4318	4682	681	1217	4017	2708	1379	180
B	4	4_xi=12_xj=13,5	1,50	12,00		10120	3975	4968	4546	5657	5548	6014	816	1094	5702	3850	1961	256
B	5	5_xi=13,5_xj=18,5	5,00	13,50		10871	4263	5328	4884	6077	5960	6460	859	1041	5433	4339	2210	288
B	6	6_xi=18,5_xj=22,5	4,00	18,50		12537	4909	6142	5648	7028	6891	7470	944	868	4547	5977	3044	396
B	7	7_xi=22,5_xj=24,25	1,75	22,50		12946	5067	6341	5838	7266	7122	7721	947	731	3845	7296	3714	483
B	8	8_xi=24,25_xj=30	5,75	24,25		12869	5033	6299	5797	7219	7071	7667	928	672	3538	6717	4008	521
B	9	9_xi=30_xj=33,5	3,50	30,00		11513	4496	5630	5173	6454	6306	6843	790	478	2536	4826	4978	646
B	10	10_xi=33,5_xj=35	1,50	33,50		9860	3848	4821	4418	5524	5383	5846	648	362	1929	3681	5573	722
A	11	11_xi=35_xj=40	5,00	35,00		8957	3492	4376	4001	5010	4872	5294	572	312	1669	3190	4837	755
A	12	12_xi=40_xj=45	5,00	40,00		5129	1987	2494	2239	2839	2718	2968	260	146	805	1557	2391	864
A	13	13_xi=45_xj=45	0,00	45,00		-1	0	0	0	0	0	0	0	0	0	0	0	0
TAGLIO																		
CONCIO	n°NODO	Sigla ELEMENTO	Li	xl	Pesi strutturali	Permanenti	FOLLA	ACC_T02	ACC_T01	ACC_D02	ACC_D01	VENTO	W1	W2	W3	W4	W5	
A	1	1_xi=0_xj=3,5	3,50	0,00		-1173	-465	-574	-510	-627	-628	-678	-97	-621	-482	-330	-170	-22
A	2	2_xi=3,5_xj=8,5	5,00	3,50		-971	-382	-478	-470	-578	-541	-586	-62	-621	-482	-330	-170	-22
A	3	3_xi=8,5_xj=12	3,50	8,50		-711	-278	-349	-413	-508	-403	-435	-46	-621	-482	-330	-170	-22
B	4	4_xi=12_xj=13,5	1,50	12,00		-519	-198	-246	-374	-459	-281	-305	-32	-621	-482	-330	-170	-22
B	5	5_xi=13,5_xj=18,5	5,00	13,50		-439	-172	-215	-357	-439	-248	-268	-27	-621	-482	-330	-170	-22
B	6	6_xi=18,5_xj=22,5	4,00	18,50		-183	-71	-87	-300	-369	-102	-110	-9	-621	-482	-330	-170	-22
B	7	7_xi=22,5_xj=24,25	1,75	22,50		18	9	13	255	313	16	17	7	37	179	331	491	957
B	8	8_xi=24,25_xj=30	5,75	24,25		82	32	38	275	338	41	45	13	37	179	331	491	957
B	9	9_xi=30_xj=33,5	3,50	30,00		386	151	189	340	418	214	231	34	37	179	331	491	957
B	10	10_xi=33,5_xj=35	1,50	33,50		581	229	289	379	466	331	358	48	37	179	331	491	957
A	11	11_xi=35_xj=40	5,00	35,00		642	251	314	396	487	358	387	53	37	179	331	491	957
A	12	12_xi=40_xj=45	5,00	40,00		896	352	440	453	557	498	539	70	37	179	331	491	957
A	13	13_xi=45_xj=45	0,00	45,00		-5	-2	-574	-510	-627	-628	-678	-2	-621	-482	-330	-170	-22

**Nuova viabilità – Ponte stradale
Relazione di calcolo impalcato**

COMMESSA LOTTO CODIFICA DOCUMENTO REV. FOGLIO
IV01 00 D 09 CL NVX309001 B 49 di 144

11	SLE_P1	1,00	1,00	1,00	0,00	0,00	0,00	0,60	0,00	0,00	1,00	0,00	0,00	0,00	0,00	1,00	0,00	0,00	0,00
12	SLE_P2	1,00	1,00	1,00	0,00	0,00	0,00	0,60	0,00	0,00	1,00	0,00	0,00	0,00	0,00	1,00	0,00	0,00	0,00
13	SLE_P3	1,00	1,00	1,00	0,00	0,00	0,00	0,60	0,00	0,00	1,00	0,00	0,00	0,00	0,00	1,00	0,00	0,00	0,00
14	SLE_P4	1,00	1,00	1,00	0,00	0,00	0,00	0,60	0,00	0,00	1,00	0,00	0,00	0,00	0,00	0,00	0,00	1,00	0,00
15	SLE_P5	1,00	1,00	1,00	0,00	0,00	0,00	0,60	0,00	0,00	1,00	0,00	0,00	0,00	0,00	0,00	0,00	0,00	1,00

8.3.5 Combinazioni di carico con sollecitazioni massime

Si riportano le combinazioni di carico che massimizzano e minimizzano il momento flettente ed il taglio nelle sezioni di verifica presenti nella trave maggiormente sollecitata.

COMBINAZIONI DI CARICO CHE CONDUCONO A VALORI ESTREMI DI MOMENTO E TAGLIO NELLA SEZIONE

CONCIO	n°NODO	Sigla ELEMENTO	Li		COMBINAZIONI DI CARICO	
						xl
A	1	1_xi=0_xj=3,5	3,50	Mmax	21	0,00
A	1	1_xi=0_xj=3,5	3,50	Mmin	11	0,00
A	1	1_xi=0_xj=3,5	3,50	Tmax	21	0,00
A	1	1_xi=0_xj=3,5	3,50	Tmin	11	0,00
A	2	2_xi=3,5_xj=8,5	5,00	Mmax	4	3,50
A	2	2_xi=3,5_xj=8,5	5,00	Mmin	11	3,50
A	2	2_xi=3,5_xj=8,5	5,00	Tmax	4	3,50
A	2	2_xi=3,5_xj=8,5	5,00	Tmin	11	3,50
A	3	3_xi=8,5_xj=12	3,50	Mmax	4	8,50
A	3	3_xi=8,5_xj=12	3,50	Mmin	11	8,50
A	3	3_xi=8,5_xj=12	3,50	Tmax	4	8,50
A	3	3_xi=8,5_xj=12	3,50	Tmin	11	8,50
B	4	4_xi=12_xj=13,5	1,50	Mmax	23	12,00
B	4	4_xi=12_xj=13,5	1,50	Mmin	11	12,00
B	4	4_xi=12_xj=13,5	1,50	Tmax	23	12,00
B	4	4_xi=12_xj=13,5	1,50	Tmin	11	12,00
B	5	5_xi=13,5_xj=18,5	5,00	Mmax	4	13,50
B	5	5_xi=13,5_xj=18,5	5,00	Mmin	11	13,50
B	5	5_xi=13,5_xj=18,5	5,00	Tmax	4	13,50
B	5	5_xi=13,5_xj=18,5	5,00	Tmin	11	13,50
B	6	6_xi=18,5_xj=22,5	4,00	Mmax	4	18,50
B	6	6_xi=18,5_xj=22,5	4,00	Mmin	11	18,50
B	6	6_xi=18,5_xj=22,5	4,00	Tmax	4	18,50
B	6	6_xi=18,5_xj=22,5	4,00	Tmin	11	18,50
B	7	7_xi=22,5_xj=24,25	1,75	Mmax	25	22,50
B	7	7_xi=22,5_xj=24,25	1,75	Mmin	11	22,50
B	7	7_xi=22,5_xj=24,25	1,75	Tmax	25	22,50
B	7	7_xi=22,5_xj=24,25	1,75	Tmin	11	22,50
B	8	8_xi=24,25_xj=30	5,75	Mmax	4	24,25
B	8	8_xi=24,25_xj=30	5,75	Mmin	11	24,25
B	8	8_xi=24,25_xj=30	5,75	Tmax	4	24,25
B	8	8_xi=24,25_xj=30	5,75	Tmin	11	24,25
B	9	9_xi=30_xj=33,5	3,50	Mmax	4	30,00
B	9	9_xi=30_xj=33,5	3,50	Mmin	11	30,00
B	9	9_xi=30_xj=33,5	3,50	Tmax	4	30,00
B	9	9_xi=30_xj=33,5	3,50	Tmin	11	30,00
B	10	10_xi=33,5_xj=35	1,50	Mmax	27	33,50
B	10	10_xi=33,5_xj=35	1,50	Mmin	11	33,50
B	10	10_xi=33,5_xj=35	1,50	Tmax	27	33,50
B	10	10_xi=33,5_xj=35	1,50	Tmin	11	33,50
A	11	11_xi=35_xj=40	5,00	Mmax	4	35,00
A	11	11_xi=35_xj=40	5,00	Mmin	11	35,00
A	11	11_xi=35_xj=40	5,00	Tmax	4	35,00
A	11	11_xi=35_xj=40	5,00	Tmin	11	35,00
A	12	12_xi=40_xj=45	5,00	Mmax	4	40,00
A	12	12_xi=40_xj=45	5,00	Mmin	11	40,00
A	12	12_xi=40_xj=45	5,00	Tmax	4	40,00
A	12	12_xi=40_xj=45	5,00	Tmin	11	40,00
A	13	13_xi=45_xj=45	0,00	Mmax	29	45,00
A	13	13_xi=45_xj=45	0,00	Mmin	11	45,00
A	13	13_xi=45_xj=45	0,00	Tmax	29	45,00
A	13	13_xi=45_xj=45	0,00	Tmin	11	45,00

Le combinazioni che massimizzano il momento flettente corrispondono a quelle che massimizzano anche il taglio.



PROGETTO DEFINITIVO
RADDOPPIO LINEA GENOVA – VENTIMIGLIA
TRATTA FINALE LIGURE - ANDORA

Nuova viabilità – Ponte stradale
Relazione di calcolo impalcato

COMMESSA	LOTTO	CODIFICA	DOCUMENTO	REV.	FOGLIO
IV01	00	D 09 CL	NVX309001	B	50 di 144

9 VERIFICHE STRUTTURALI

Le analisi e le verifiche sono state condotte con il metodo degli stati limite (SLU ed SLE) utilizzando i coefficienti parziali della normativa di cui al DM 14.01.2008 come in dettaglio specificato negli allegati tabulati di calcolo.

L'analisi delle sollecitazioni è stata effettuata in campo elastico lineare, per l'analisi sismica si è effettuata una analisi dinamica modale.

I tabulati di calcolo completi relativi alle verifiche degli elementi strutturali e dei collegamenti nelle diverse combinazioni di carico sono riportati integralmente in allegato.

9.1 Verifiche delle membrature in Acciaio

Le verifiche delle membrature in acciaio sono condotte agli stati limite in accordo al D.M. 14-01-08 e secondo Eurocodice 3.

9.1.1 Verifiche di resistenza delle membrature di classe 1 e 2

Per la verifica allo stato limite ultimo la resistenza di calcolo delle membrature si pone nella forma (§4.1.4.1.1 NTC 08): $R_D = R_k / \gamma_M$

dove R_k è il valore caratteristico della resistenza – trazione, compressione, flessione, taglio e torsione – della membratura, determinata dai valori caratteristici delle resistenza dei materiali f_{yk} e dalle caratteristiche geometriche degli elementi strutturali, dipendenti dalla classe della sezione; γ_M è il fattore parziale globale relativo al modello di resistenza adottato (**Tabella 4.2.V** NTC 08).

Le verifiche relative alla trazione semplice, compressione semplice, taglio e torsione vengono condotte secondo quanto riportato nel capitolo 4 del D.M. 14-01-08 con eventuali riferimenti all'Eurocodice 3 dove non esaustive le indicazioni della norma in ottemperanza a quanto riportato al capitolo 12 del DM 14-01-08.

Nella verifica a **presso o tenso flessione retta**, per le sezioni ad I o ad H di classe 1 e 2 doppiamente simmetriche, soggette a presso o tensoflessione nel piano dell'anima, la corrispondente resistenza convenzionale di calcolo a flessione retta può essere valutata come:

$$M_{N,y,Rd} = M_{pl,y,Rd} (1-n) / (1-0,5 a) \leq M_{pl,y,Rd} \quad (4.2.34 \text{ NTC08})$$

$M_{N,z,Rd} = M_{pl,z,Rd}$ per $n \leq a$, (4.2.35 NTC08) o mediante la (4.2.36 NTC08) per $n > a$, essendo $M_{pl,y,Rd}$ il momento resistente plastico a flessione semplice nel piano dell'anima, $M_{pl,z,Rd}$ il momento resistente plastico a flessione semplice nel piano delle ali, e posto $n = N_{Ed} / N_{pl,Rd}$ (4.2.37 NTC08); $a = (A - 2 b t_f) / A \leq 0,5$ (4.2.38 NTC08) dove A è l'area lorda della sezione, b è la larghezza delle ali, t_f è lo spessore delle ali.

La verifica a **presso o tenso flessione deviata** è effettuata mediante l'espressione:

$$[(M_y/M_{Ry}) + (M_x/M_{Rx})] \leq 1 \quad (4.2.40 \text{ NTC08}).$$

Nella verifica a **Flessione, taglio e sforzo assiale** nel calcolo del momento flettente resistente devono essere considerati gli effetti di sforzo assiale e taglio, se presenti.

Nel caso in cui il taglio di calcolo, V_{Ed} , sia inferiore al 50% della resistenza di calcolo a taglio, $V_{c,Rd}$, la resistenza a flessione della sezione può essere calcolata con le formule per la tenso/presso flessione. Se la sollecitazione di taglio supera il 50% della resistenza a taglio, si assume una tensione di snervamento ridotta per l'interazione tra flessione e taglio: $f_{y,red} = (1 - \rho) f_{yk}$ dove $\rho = (2V_{Ed} / V_{c,Rd} - 1)^2$ (4.2.41 NTC08)

Per le sezioni di classe 3 e classe 4 le verifiche devono essere condotte con riferimento alla resistenza elastica (verifica tensionale); per le sezioni di classe 4 si possono utilizzare le proprietà geometriche efficaci della sezione trasversale.

Ogni sezione (per pilastri e travi) è verificata per la presenza contemporanea delle sei sollecitazioni (N , M_x , M_y , V_x , V_y , M_t).

9.1.2 Verifiche di resistenza delle membrature di classe 3 e 4

La resistenza di calcolo della sezione in acciaio nei confronti delle tensioni normali e funzione della classificazione della sezione trasversale. Nel caso in esame tale resistenza è valutata in campo elastico, tenendo conto degli effetti dell'instabilità locale, per le sezioni di classe 4.

La verifica è soddisfatta se risulta:

$$\eta_1 = \frac{N_{Ed}}{f_y A_{eff}} + \frac{M_{Ed} + N_{Ed} e_N}{f_y W_{eff}} \leq 1,0$$

$$\gamma_{M0}$$

con N_{Ed} e M_{Ed} sollecitazioni assiali e flessionali di progetto A_{eff} e W_{eff} proprietà efficaci della sezione trasversale; e_N spostamento della posizione del baricentro; γ_{M0} coefficiente parziale di sicurezza, pari ad 1.05.

Per le valutazioni delle caratteristiche effettive delle sezioni si è fatto riferimento al punto 4.4 dell'EC3 1-5. L'area di anima o flangia compressa è data dall'espressione: $A_{c,eff} = \rho A_c$, in cui il fattore di riduzione ρ è dato dalle seguenti espressioni (nel caso di piattabande connesse alla soletta mediante pioli è possibile considerare le ali compresse come irrigidite e non soggette quindi al fenomeno locale di instabilità).

- Per le anime delle travi

$$\rho = 1,0 \quad \text{for } \bar{\lambda}_p \leq 0,673$$

$$\rho = \frac{\bar{\lambda}_p - 0,055(3 + \psi)}{\bar{\lambda}_p^2} \leq 1,0 \quad \text{for } \bar{\lambda}_p > 0,673, \text{ where } (3 + \psi) \geq 0$$

- Per le ali delle travi

$$\rho = 1,0 \quad \text{for } \lambda_p \leq 0,748$$

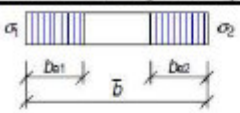
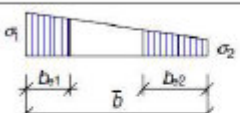
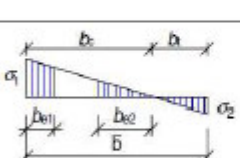
$$\rho = \frac{\bar{\lambda}_p - 0,188}{\bar{\lambda}_p^2} \leq 1,0 \quad \text{for } \bar{\lambda}_p > 0,748$$

Dove:

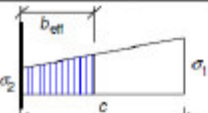
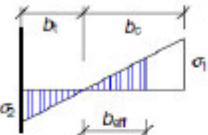
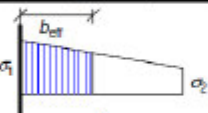
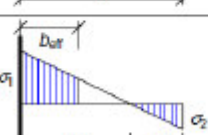
$$\bar{\lambda}_p = \sqrt{\frac{f_y}{\sigma_{cr}}} = \frac{\bar{b}/t}{28,4 \varepsilon \sqrt{k_\sigma}}$$

ψ rapporto tra le distribuzioni delle tensioni nella sezione; b^- assunto h_w per le anime delle travi e assunto c per le flange delle piattabande; k_σ fattore di buckling funzione della distribuzione delle tensioni ψ ; t spessore; σ_c tensione critica della lastra valutata con buckling elastico.

I fattori di buckling possono essere ricavati dai seguenti prospetti:

Stress distribution (compression positive)		Effective ^p width b_{eff}				
		$\psi = 1:$ $b_{eff} = \rho \bar{b}$ $b_{e1} = 0,5 b_{eff} \quad b_{e2} = 0,5 b_{eff}$				
		$1 > \psi \geq 0:$ $b_{eff} = \rho \bar{b}$ $b_{e1} = \frac{2}{5 - \psi} b_{eff} \quad b_{e2} = b_{eff} - b_{e1}$				
		$\psi < 0:$ $b_{eff} = \rho b_c = \rho \bar{b} / (1 - \psi)$ $b_{e1} = 0,4 b_{eff} \quad b_{e2} = 0,6 b_{eff}$				
$\psi = \sigma_2 / \sigma_1$	1	$1 > \psi > 0$	0	$0 > \psi > -1$	-1	$-1 > \psi > -3$
Buckling factor k_σ	4,0	$8,2 / (1,05 + \psi)$	7,81	$7,81 - 6,29\psi + 9,78\psi^2$	23,9	$5,98 (1 - \psi)^2$

Prospetto per anime delle travi

Stress distribution (compression positive)		Effective ^p width b_{eff}				
		$1 > \psi \geq 0:$ $b_{eff} = \rho c$				
		$\psi < 0:$ $b_{eff} = \rho b_c = \rho c / (1 - \psi)$				
$\psi = \sigma_2 / \sigma_1$	1	0	-1	$1 \geq \psi \geq -3$		
Buckling factor k_τ	0,43	0,57	0,85	$0,57 - 0,21\psi + 0,07\psi^2$		
		$1 > \psi \geq 0:$ $b_{eff} = \rho c$				
		$\psi < 0:$ $b_{eff} = \rho b_c = \rho c / (1 - \psi)$				
$\psi = \sigma_2 / \sigma_1$	1	$1 > \psi > 0$	0	$0 > \psi > -1$	-1	
Buckling factor k_σ	0,43	$0,578 / (\psi + 0,34)$	1,70	$1,7 - 5\psi + 17,1\psi^2$	23,8	

Prospetto per flange piattabande delle travi

I risultati delle verifiche relative sono riportati nell'allegato (Verifica Impalcato).

9.1.3 Verifica per sollecitazioni taglianti

La sollecitazione tagliante e supposta agente solo sull'anima della trave metallica.

La resistenza di progetto a taglio per anime irrigidite e non è definita come somma di due contributi (anima $V_{bw,Rd}$, e piattabande $V_{bf,Rd}$):

$$V_{b,Rd} = V_{bw,Rd} + V_{bf,Rd} \leq \frac{\eta f_{yw} h_w t}{\sqrt{3} \gamma_{M1}}$$

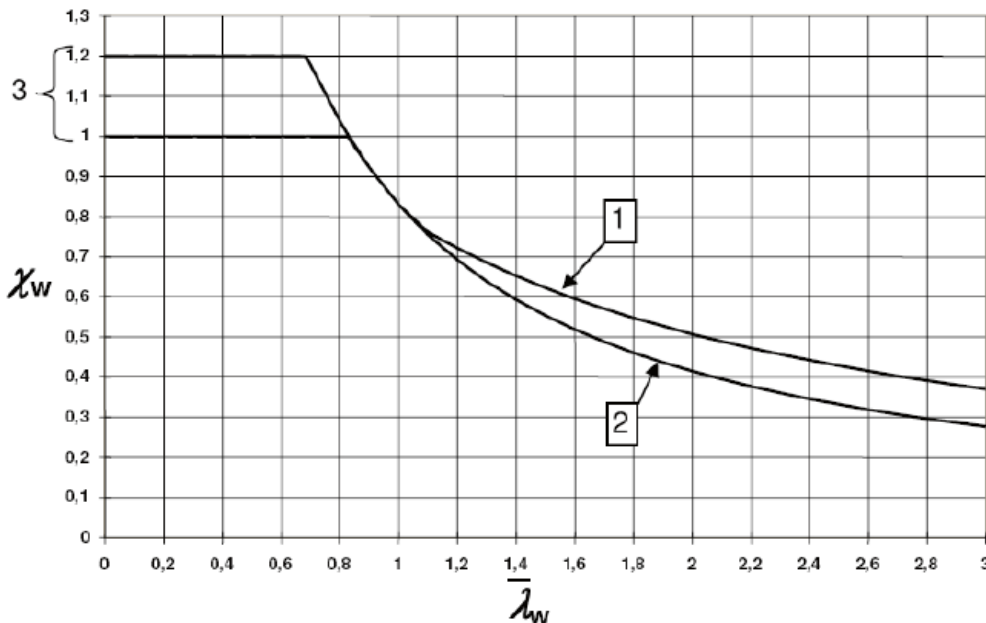
dove:

$\eta=1.20$ per gradi di acciaio inferiori a S460; h_w e t sono rispettivamente l'altezza e lo spessore dell'anima; γ_{M1} è il fattore parziale di sicurezza assunto pari a 1,1.

Il contributo dell'anima è pari a:

$$V_{bw,Rd} = \frac{\chi_w f_{yw} h_w t}{\sqrt{3} \gamma_{M1}}$$

Il fattore χ_w che tiene conto del contributo dell'anima a taglio e ricavabile dal seguente grafico:



Andamento del fattore χ_w

La snellezza d'anima può essere assunta pari a:

$$\bar{\lambda}_w = \frac{h_w}{37,4 t \varepsilon \sqrt{k_\tau}}$$

k_τ fattore d'instabilità a taglio del pannello ricavabile con le seguenti espressioni e funzione della geometria della sezione e degli irrigidimenti:

Nuova viabilità – Ponte stradale
Relazione di calcolo impalcato

COMMESSA	LOTTO	CODIFICA	DOCUMENTO	REV.	FOGLIO
IV01	00	D 09 CL	NVX309001	B	54 di 144

$$k_{\tau} = 5,34 + 4,00 (h_w / a)^2 + k_{zst} \quad \text{when } a / h_w \geq 1$$

$$k_{\tau} = 4,00 + 5,34 (h_w / a)^2 + k_{zst} \quad \text{when } a / h_w < 1$$

Il contributo resistente dalle flange puo essere impiegato quando la piattabanda non e completamente impiegata per resistere a flessione. In questo caso il contributo aggiuntivo per la resistenza a taglio offerto dalle flange puo essere cosi determinato.

$$V_{bf,Rd} = \frac{b_f t_f^2 f_{yf}}{c \gamma_{M1}} \left(1 - \left(\frac{M_{Ed}}{M_{f,Rd}} \right)^2 \right)$$

$M_{f,Rd}$ momento resistente della sezione costituita dalle sole flange

$$c = a \left(0,25 + \frac{1,6 b_f t_f^2 f_{yf}}{t h_w^2 f_{yw}} \right)$$

La verifica di resistenza e posta in forma adimensionale come rapporto tra le azioni sollecitanti e la capacita resistente, dove V_{Ed} sollecitazione tagliante di progetto:

Il rapporto di sfruttamento plastico a taglio $\eta_3 = \frac{V_{Ed}}{V_{bw,Rd}}$ deve risultare inferiore all'unita.

I risultati delle verifiche relative sono riportati nell'allegato (Verifica Impalcato).

9.1.4 Verifica per sollecitazioni composte di taglio e presso-flessione

Per valori di η_3 inferiori a 0.5 non è necessario controllare l'interazione tra le sollecitazioni normali e tangenziali; per valori superiori si adotta la seguente espressione del dominio di resistenza:

$$\bar{\eta}_1 + \left(1 - \frac{M_{f,Rd}}{M_{pl,Rd}} \right) (2\bar{\eta}_3 - 1)^2 \leq 1,0 \quad \text{for } \bar{\eta}_1 \geq \frac{M_{f,Rd}}{M_{pl,Rd}}$$

in cui $M_{f,Rd}$ e il momento resistente di progetto delle sole flange efficaci; $M_{pl,Rd}$ e la resistenza plastica della sezione trasversale composta dall'area effettiva delle flange e dall'intera anima senza tener conto della classe di quest'ultima.

$$\bar{\eta}_1 = \frac{M_{Ed}}{M_{pl,Rd}}$$

$$\bar{\eta}_3 = \frac{V_{Ed}}{V_{bw,Rd}}$$

Sulle travi principali sono state condotte anche le verifiche delle tensioni ideali in campo elastico allo SLU e SLE, in riferimento al seguente criterio

$$\sigma_{x,Ed}^2 + \sigma_{z,Ed}^2 - \sigma_{z,Ed}\sigma_{z,Ed} + 3\tau_{Ed}^2 \leq (f_{yk} / \gamma_{M0})^2$$

dove:

$\sigma_{x,Ed}$ e il valore di calcolo della tensione normale nel punto in esame, agente in direzione parallela all'asse della membratura; $\sigma_{z,Ed}$ e il valore di calcolo della tensione normale nel punto in esame, agente in direzione ortogonale all'asse della membratura; τ_{Ed} e il valore di calcolo della tensione tangenziale nel punto in esame, agente nel piano della sezione della membratura.

Il rapporto di sfruttamento elastico per tensioni normali $\eta_1 = \frac{\sigma_{Ed}}{f_y / \gamma_{M0}}$ deve risultare inferiore all'unità.

I risultati delle verifiche relative sono riportati nell'allegato (Verifica Impalcato).

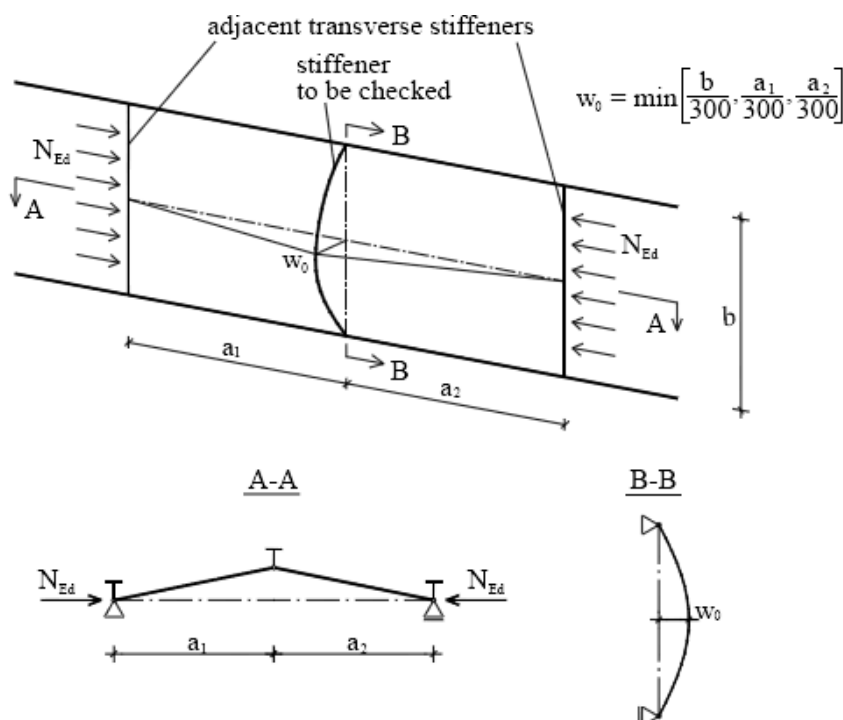
9.1.5 Verifica degli irrigidimenti

La verifica consta nell'individuazione del minimo tra due criteri atti a garantire il primo stabilita e minimi di deformabilità, il secondo resistenza all'azione assiale sollecitante l'irrigidimento.

Il primo criterio porta a dover garantire un'inerzia minima dell'irrigidimento, data dalla seguente espressione:

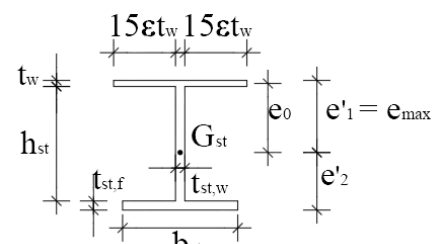
$$I_{st} = \frac{\sigma_m}{E} \left(\frac{b}{\pi} \right)^4 \left(1 + w_0 \frac{300}{b} u \right)$$

dove:



$$\sigma_m = \frac{\sigma_{cr,c}}{\sigma_{cr,p}} \frac{N_{Ed}}{b} \left(\frac{1}{a_1} + \frac{1}{a_2} \right)$$

$$u = \frac{\pi^2 E e_{max} \gamma_{M1}}{b 300 f_y} \geq 1.$$



Inoltre in presenza di azioni taglianti sulla trave, si deve considerare il traverso soggetto ad un'azione assiale aggiuntiva pari a:

$$N_{st,Ed} = V_{Ed} - \frac{h_w t_w f_{yw}}{\bar{\lambda}_w^2 \gamma_{M1} \sqrt{3}}$$

i due criteri indicati si considerano soddisfatti verificando che:

$$\sigma_{max} = \frac{N_{st,Ed}}{A_{st}} + \frac{\sum N_{st,Ed} e_{max} w_0}{I_{st}} \cdot \frac{1}{1 - \frac{\sum N_{st,Ed}}{N_{cr,st}}} (1 + 1,1 q_m) \leq \frac{f_y}{\gamma_{M1}}$$

$$w = w_0 \frac{1}{\frac{N_{cr,st}}{\sum N_{st,Ed}} - 1} (1 + 1,25 q_m) \leq \frac{b}{300}$$

dove:

$$\sum N_{st,Ed} = N_{st,Ed} + \Delta N_{st,Ed} \quad \Delta N_{st,Ed} = \frac{\sigma_m h_w^2}{\pi^2} \quad q_m = \frac{N_{st,Ed} \cdot e_0}{\sum N_{st,Ed} \cdot w_0}$$

Come ultima verifica si deve garantire adeguata rigidità degli irrigidimenti mediante il rispetto delle seguenti disequazioni:

$$I_{st} \geq 1,5 \cdot \frac{h_w^3 \cdot t^3}{a^2} \quad \text{per } \frac{a}{h_w} < \sqrt{2}$$

$$I_{st} \geq 0,75 \cdot h_w \cdot t^3 \quad \text{per } \frac{a}{h_w} \geq \sqrt{2}$$

Relativamente alle problematiche connesse con la stabilità nei confronti del buckling torsionale, si considera la formulazione più generale proposta da EN 1993-1-5 cap. 9.2.1(9):

$$\sigma_{cr} = \frac{1}{I_p} \left(GI_t + \frac{\pi^2 EI_w}{h_w^2} \right) \geq 6 \cdot f_y$$

dove:

$$I_y = \frac{h_{st}^3 t_{st,w} + b_{st} t_{st,f}^3}{12} + h_{st} t_{st,w} \left(e_1 - \frac{h_{st}}{2} \right)^2 + b_{st} t_{st,f} \left(e_2 - \frac{t_{st,f}}{2} \right)^2 + A_{st} e_1^2$$

$$I_z = \frac{h_{st} t_{st,w}^3 + b_{st}^3 h_{st,f}}{12} \quad I_p = I_y + I_z \quad I_t = \frac{1}{3} (h_{st} t_{st,w}^3 + b_{st} t_{st,f}^3) \quad I_w = \frac{b_{st}^3 t_{st,f}}{12} \left(h_{st} + \frac{t_{st,f}}{2} \right)^2$$

la verifica precedente è tuttavia molto conservativa considerando le tensioni effettive presenti negli irrigidimenti; per tal motivo la verifica può essere effettuata sostituendo ad f_y il valore massimo della tensione effettiva amplificato del coefficiente di sicurezza per instabilità, ovvero:

$$\sigma_{cr} \geq 6 \sigma_{max} \gamma_{M1}$$

Le caratteristiche dello stiffener vengono valutate con riferimento allo schema di figura, conteggiando una porzione di anima collaborante pari a $15 \varepsilon t_w$ [EN 1993-1-5 9.1(2)].

I risultati delle verifiche relative sono riportati nell'allegato (Verifica Impalcato).

9.1.6 Verifica connessione trave soletta

Le specifiche relative al detailing della connessione trave-soletta sono contenute in NTC-08, 4.3.4.1.2 e C.4.3.4. delle relative istruzioni; per quanto riguarda i riferimenti Eurocodice, i cui contenuti sono perfettamente identici, si fa riferimento a EN 1994-1 e EN 1994-2. Le piolature adottate sono tutte a completo ripristino di resistenza.

Il ciclo di verifica delle piolature comprende i seguenti passi:

- Verifica tensioni S.L.U. (valido per sezioni con $\eta_1 \leq 1$)

Deduzione del massimo scorrimento "elastico" a taglio allo S.L.U. sul singolo piolo, nell'ambito delle condizioni M_{max}/M_{min} , V_{max}/V_{min} , e confronto con la portanza del piolo allo S.L.U.:

$$v_{L,Ed}(x) = V_{Ed}(x) S/J$$

In cui S e J sono univocamente definite sulla base delle caratteristiche "uncracked".

Tale approccio risulta ovviamente valido solamente per le sezioni che non attingono alle proprie risorse extra elastiche ($\eta_1 \leq 1$).

Le verifiche verranno effettuate con riferimento alle prescrizioni contenute al § 4.3.4.3.3 delle NTC08 facendo riferimento alle tensioni di scorrimento attive da quando la soletta diventa collaborante, ovvero nella condizione di carico di lunga durata relativo ai pesi portati permanenti e quello di breve durata relativo ai carichi accidentali.

Le verifiche di resistenza dei pioli sono condotte seguendo un criterio di valutazione delle sollecitazioni di tipo elastico come previsto nelle NTC08.

Le resistenze del singolo piolo sono determinate con le espressioni contenute nell' EC4-1 al punto 6.6.3 per cui la resistenza di progetto del piolo può essere determinata come il minimo tra le seguenti espressioni:

$$P_{Rd} = \frac{0,8 f_{td} \pi d^2 / 4}{\gamma_V} \quad P_{Rd} = \frac{0,29 \alpha d^2 \sqrt{f_{ck} E_{cm}}}{\gamma_V} \quad \alpha = 0,2 \left(\frac{h_{sc}}{d} + 1 \right) \text{ per } 3 \leq h_{sc}/d \leq 4$$

$$\alpha = 1 \text{ per } h_{sc}/d > 4$$

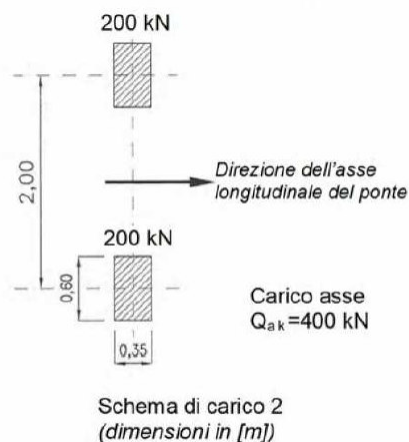
Il dimensionamento dell'armatura di assorbimento degli sforzi di scorrimento è condotta con le indicazioni contenute al punto 6.6.6.2 dell' EC4-1. Determinati gli sforzi di taglio lungo i piani di scorrimento è necessario inserire un'armatura minima A_s/sf di cucitura che nel caso in esame è abbondantemente garantita dalla presenza dei ferri di armatura trasversali presenti nella soletta d'impalcato.

I risultati delle verifiche relative sono riportati nell'allegato (Verifica Impalcato).

9.2 Verifiche locali della soletta di impalcato

Le verifiche della soletta in c.a. sono condotte agli stati limite in accordo al D.M. 14-01-08 considerando agente lo schema di carico n°1 usato anche nelle verifiche globali e lo schema di carico n°2 in seguito riportato.

Schema di Carico 2: è costituito da un singolo asse applicato su specifiche impronte di pneumatico di forma rettangolare, di larghezza 0,60 m ed altezza 0,35 m, come mostrato in Fig. 5.1.2. Questo schema va considerato autonomamente con asse longitudinale nella posizione più gravosa ed è da assumere a riferimento solo per verifiche locali. Qualora sia più gravoso si considererà il peso di una singola ruota di 200 kN.



I carichi concentrati da considerarsi ai fini delle verifiche locali ed associati agli Schemi di Carico 1, 2, 3 e 4 si assumono uniformemente distribuiti sulla superficie della rispettiva impronta. La diffusione attraverso la pavimentazione e lo spessore della soletta si considera avvenire secondo un angolo di 45°, fino al piano medio della struttura della soletta sottostante (Fig. 5.1.3.a). Nel caso di piastra ortotropa la diffusione va considerata fino al piano medio della lamiera superiore d'impalcato (Fig. 5.1.3.b).

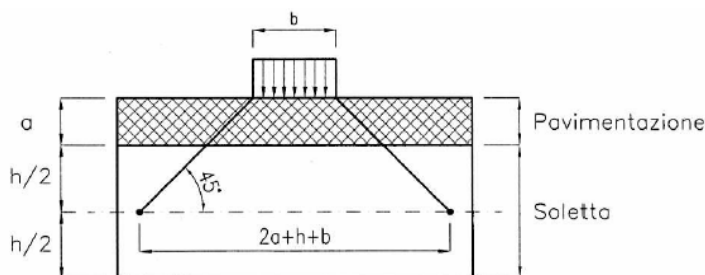


Figura 5.1.3a – Diffusione dei carichi concentrati nelle solette

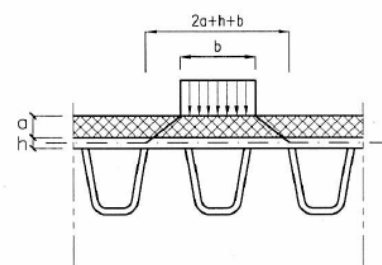


Figura 5.1.3b – Diffusione dei carichi concentrati negli impalcati a piastra ortotropa

L'armatura trasversale della soletta dell'impalcato che ha un'altezza media pari a 32 cm, è costituita da ferri $\Phi 16$ passo 20 cm sia superiormente che inferiormente in entrambe le direzioni con sovrapposizioni trasversali agli appoggi e rinforzo di ferri $\Phi 16$ passo 20 cm in campata. Nelle zone di giunto il diametro dei ferri di ponte pari a $\Phi 20$ per una larghezza di circa tre metri.

Il calcolo delle sollecitazioni è stato eseguito con il software di calcolo strutturale SISMICAD attraverso la schematizzazione in un modello agli elementi finiti della soletta, con lo scopo di ottenere le sollecitazioni flessionali trasversali e longitudinali massime in campata e sugli appoggi sia nella zona tipica che nella zona di giunto (la lunghezza della soletta modellata simula un tratto d'impalcato standard in quanto si vuole cogliere di

volta in volta il comportamento ai bordi e nelle zone intermedie, e infatti dai grafici si evince come il carico locale si esaurisca velocemente lungo l'asse dell'impalcato).

Il codice di calcolo effettua l'analisi elastica lineare di strutture tridimensionali con nodi a sei gradi di libertà. Gli elementi considerati sono di tipo Plate aventi comportamento membrana e piastra. I carichi sono applicati sia ai nodi come carichi lineari e d'area. I vincoli esterni posizionati ad interasse medio di circa un metro schematizzati con elementi Beam, simulano il comportamento di maggiore rigidità relativa tra soletta e travi.

Il modello agli elementi finiti è stato sottoposto ai seguenti carichi:

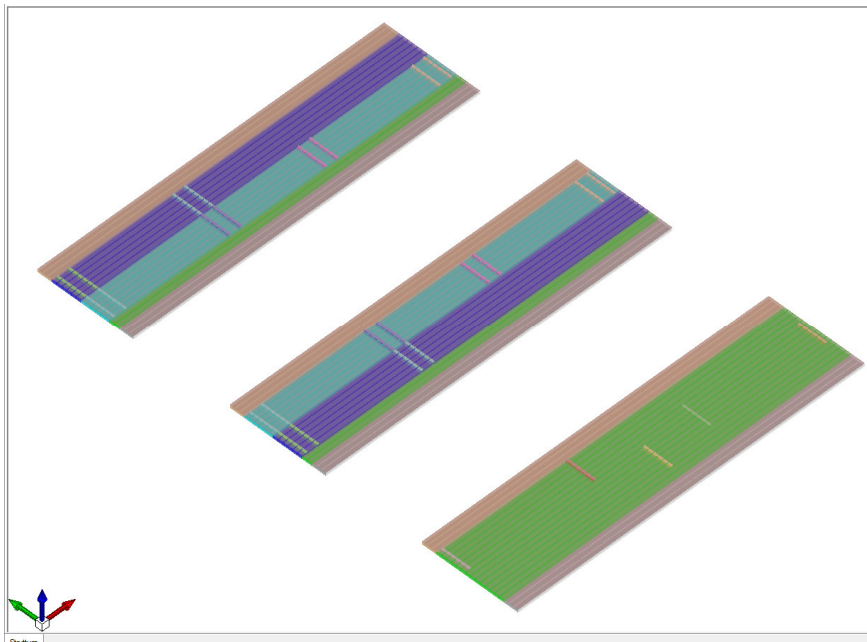
- *carichi permanenti*, costituiti dal peso proprio del getto aggiuntivo della soletta e dal peso della pavimentazione, del guard-rail e della barriera.

- *carichi mobili*, costituiti dai carichi tipici degli schemi di traffico considerati, applicati secondo tre configurazioni di carico:

A) con carichi tandem e distribuiti (schema n°1) applicati in modo da ottenere le massime sollecitazioni flettenti negative in corrispondenza delle travi metalliche sia in posizioni intermedie rispetto alla lunghezza dell'impalcato, sia in prossimità dei giunti.

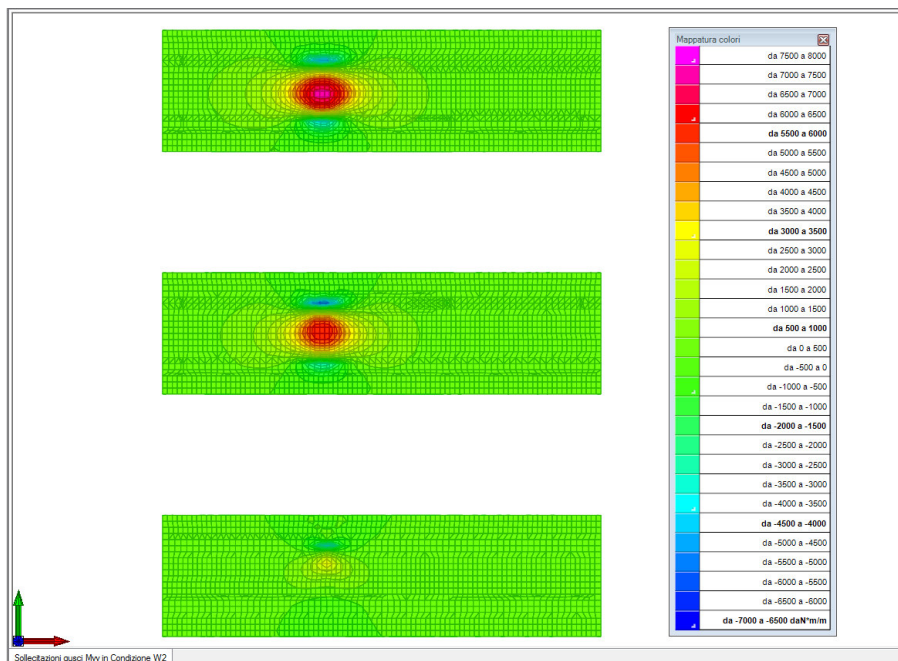
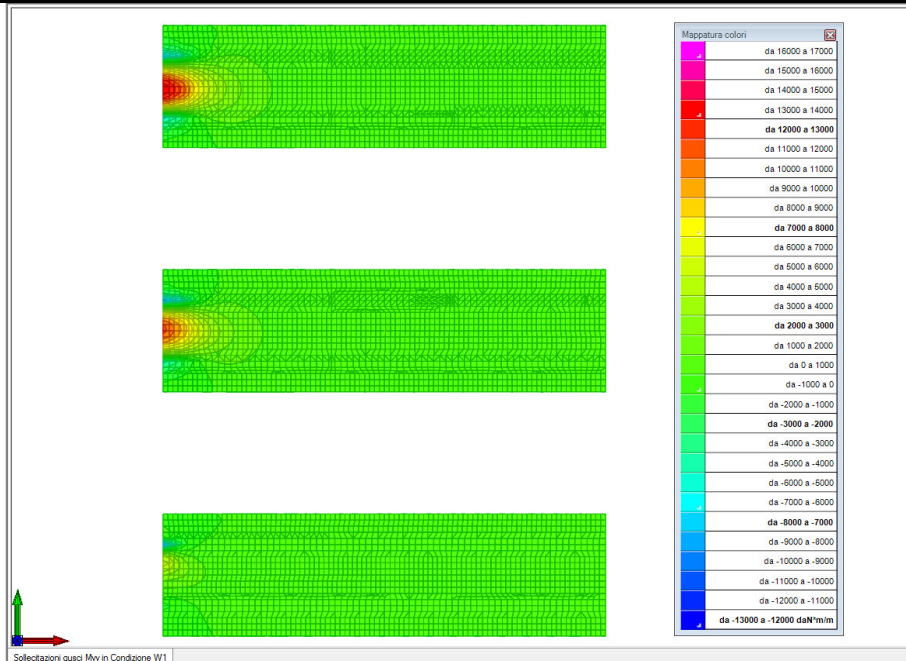
B) con carichi tandem e distribuiti (schema n°1) applicati in modo da ottenere le massime sollecitazioni flettenti positive in corrispondenza delle travi metalliche sia in posizioni intermedie rispetto alla lunghezza dell'impalcato, sia in prossimità dei giunti.

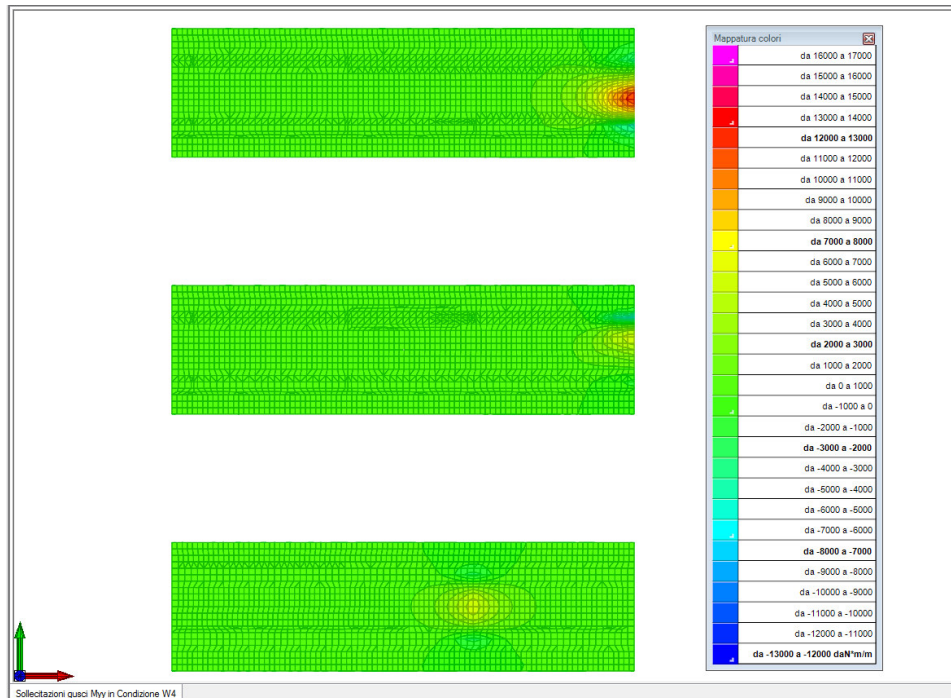
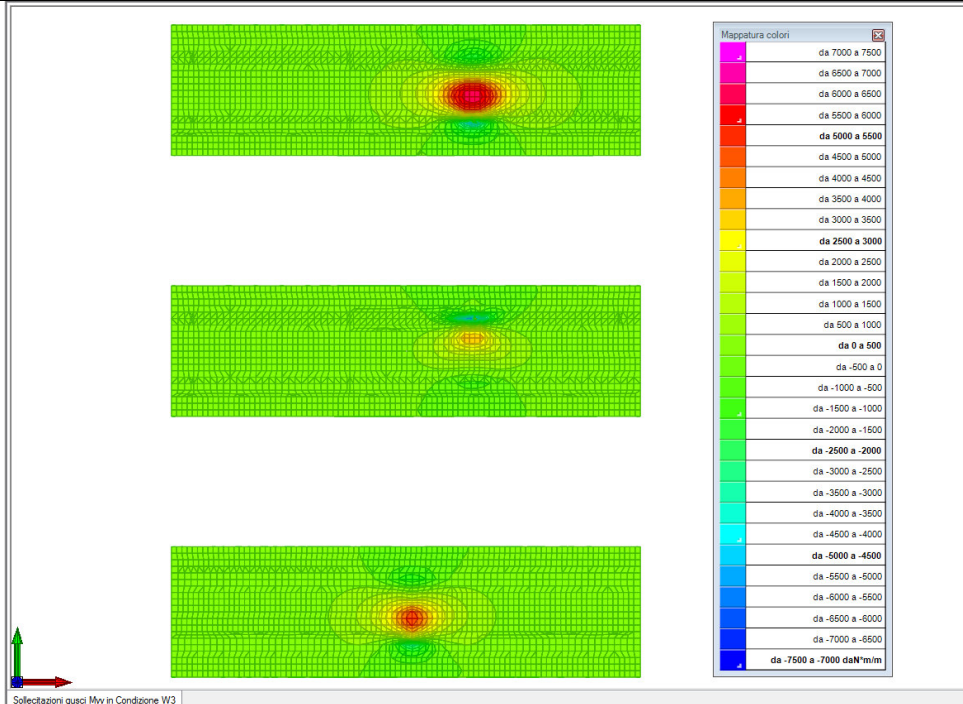
C) con carichi asse singolo (schema n°2) posizionato per massimizzare le sollecitazioni flettenti positive e negative sia in posizioni intermedie rispetto alla lunghezza dell'impalcato, sia in prossimità dei giunti.

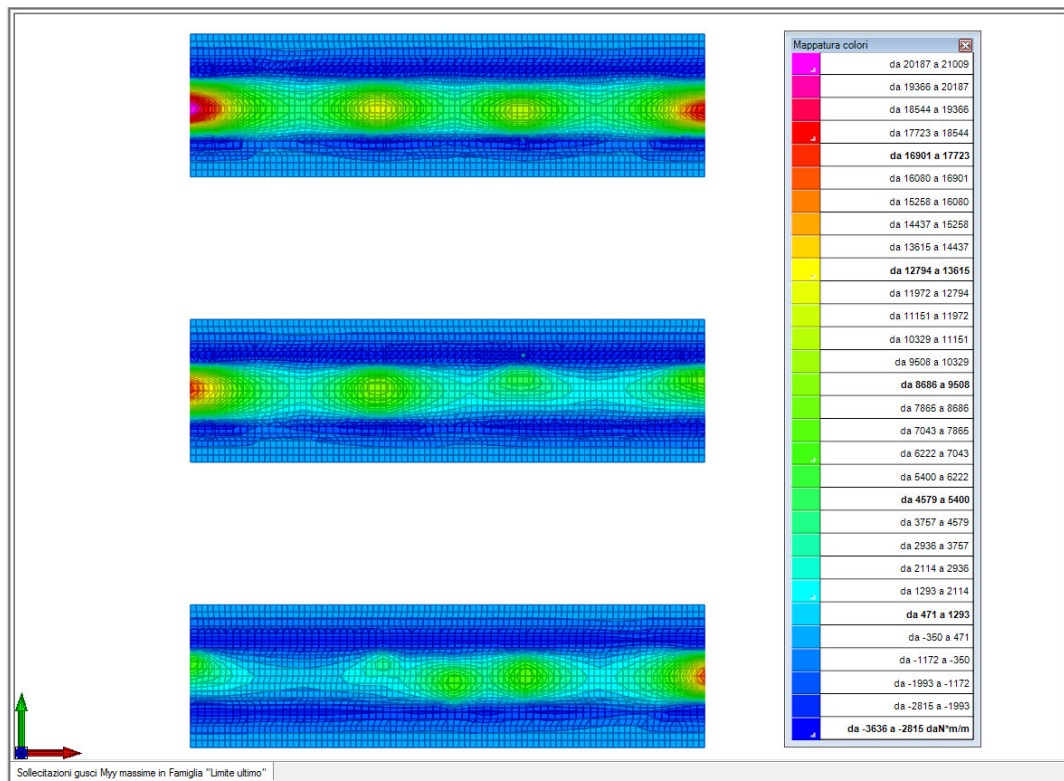
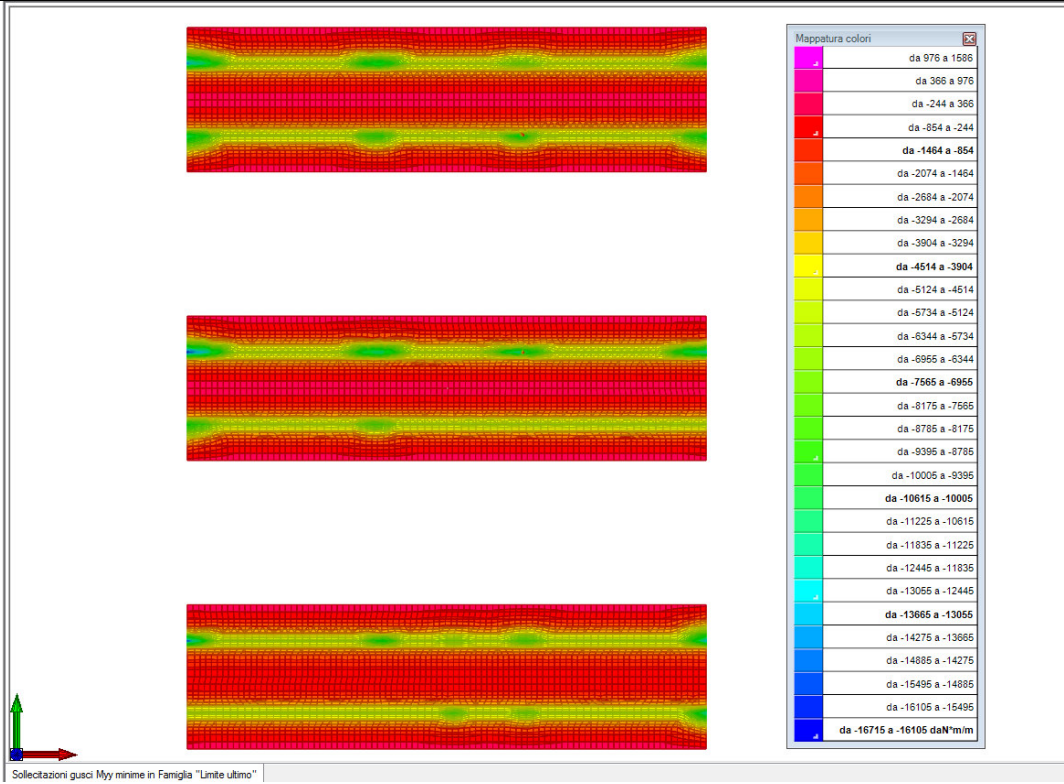


9.2.1 Sollecitazioni flettenti trasversali

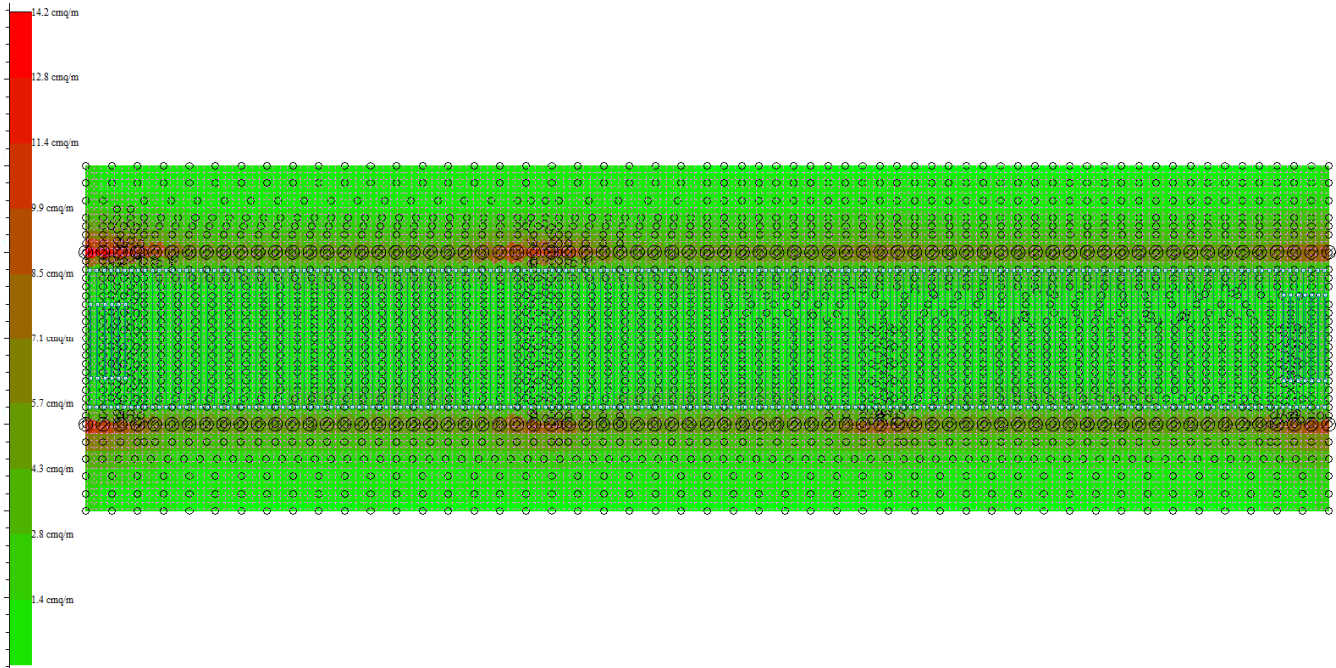
Nel seguito si riportano i diagrammi dei momenti flettenti trasversali nella soletta nelle condizioni di carico elementari da traffico e l'involuppo dei momenti flettenti minimi e massimi nelle combinazioni di carico SLU.





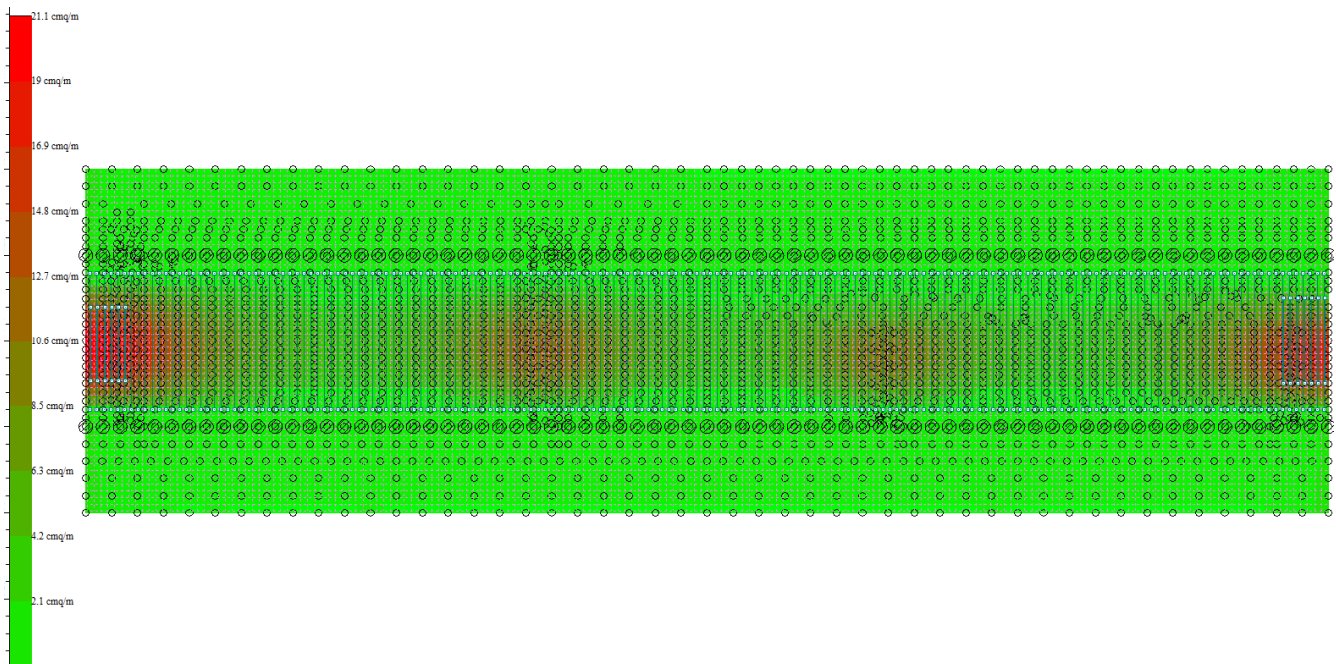


9.2.2 Armatura superiore trasversale minima per verifica a flessione SLU



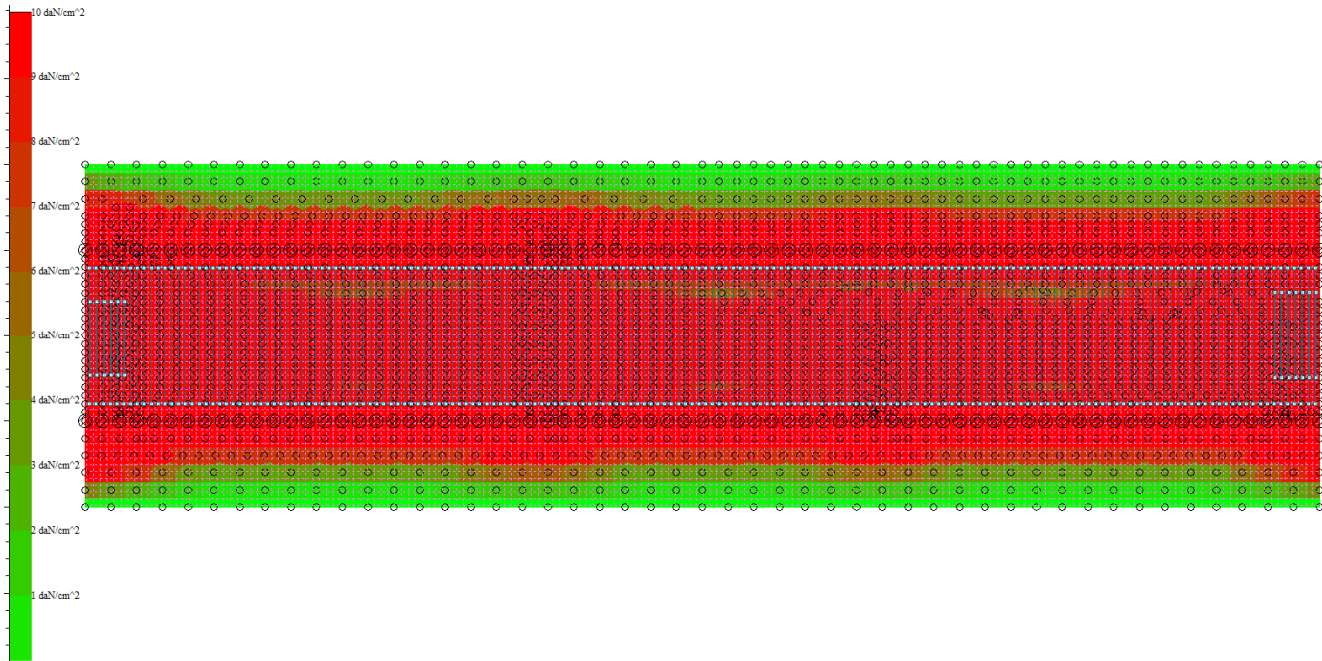
Le armature posizionate soddisfano i minimi richiesti dalle verifiche.

9.2.3 Armatura inferiore trasversale minima per verifica a flessione SLU



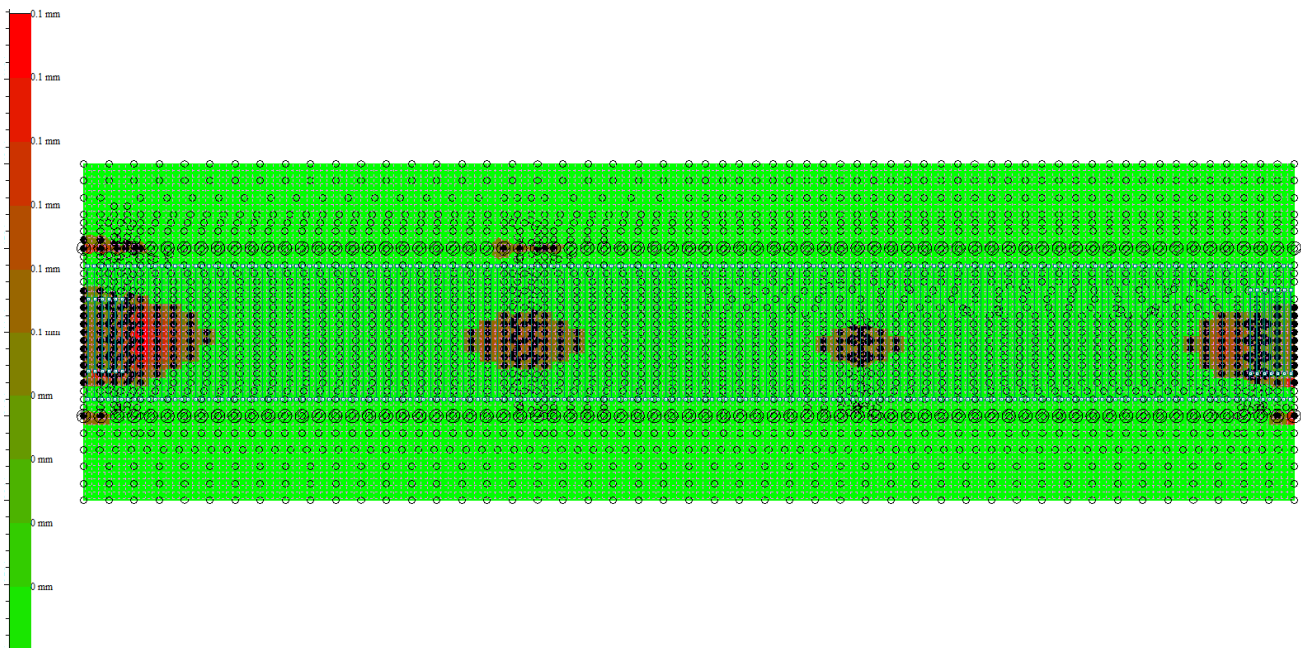
Le armature posizionate soddisfano i minimi richiesti dalle verifiche.

9.2.4 Trazioni massime nel cls per verifica tensionale SLE



Le trazioni trasversali nella soletta risultano compatibili con i valori di progetto.

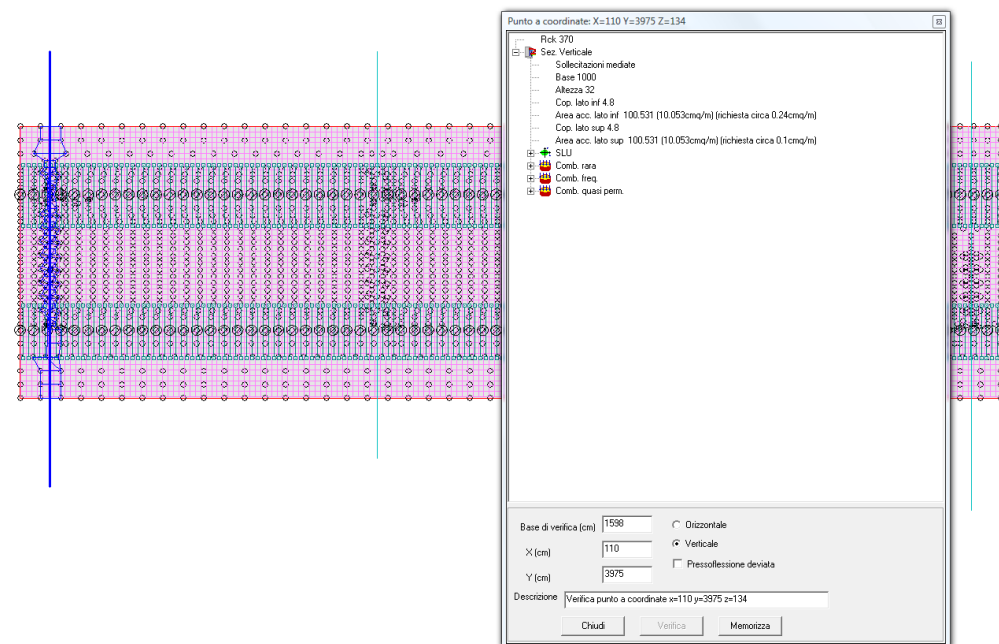
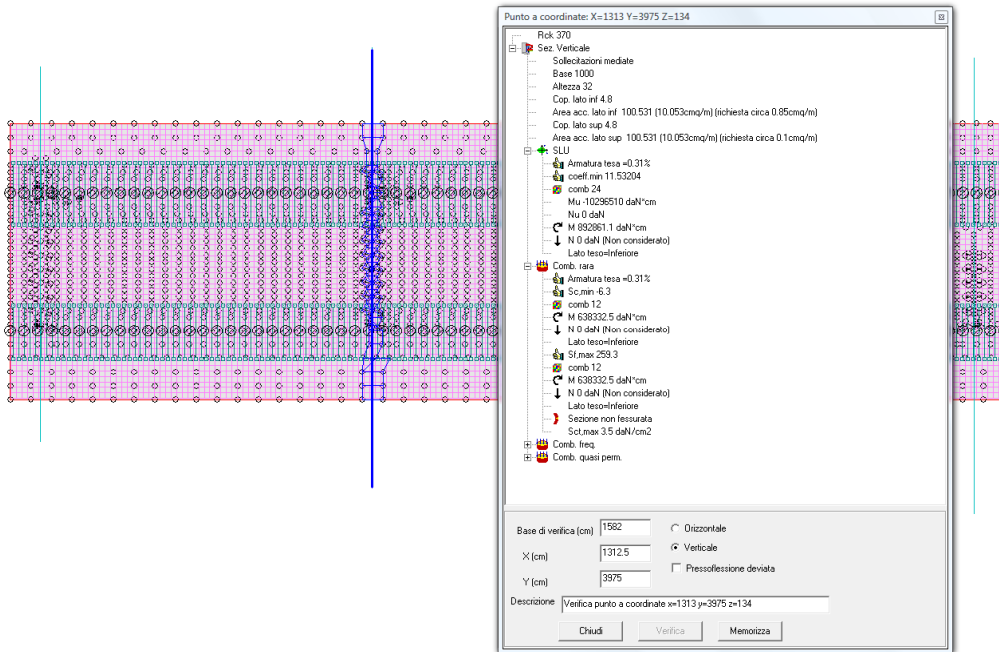
9.2.5 Ampiezza massima fessure nel cls per verifica a fessurazione SLE



L'ampiezza massima delle fessure nella soletta risulta inferiore ai valori limite di progetto ($w_{max} = 0,20$ mm).

9.2.6 Sintesi verifica soletta

Nel seguito si riportano le verifiche nella sezione intermedia della soletta d'impalcato e in prossimità del giunto.



**Nuova viabilità – Ponte stradale
Relazione di calcolo impalcato**

COMMESSA	LOTTO	CODIFICA	DOCUMENTO	REV.	FOGLIO
IV01	00	D 09 CL	NVX309001	B	66 di 144

9.2.6.1 Verifiche sezioni

1.1 Verifiche piastre e pareti C.A.

nod.	nodo del modello FEM
sez.	tipo di sezione (o = orizzontale, v = verticale)
B	base della sezione
H	altezza della sezione
Af+	area di acciaio dal lato B (inferiore per le piastre)
Af-	area di acciaio dal lato A (superiore per le piastre)
c+	copriferro dal lato B (inferiore per le piastre)
c-	copriferro dal lato A (superiore per le piastre)
sc	tensione sul calcestruzzo in esercizio
comb ; c	combinazione di carico
c.s.	coefficiente di sicurezza
N	sforzo normale di calcolo
M	momento flettente di calcolo
Mu	momento flettente ultimo
Nu	sforzo normale ultimo
sf	tensione sull'acciaio in esercizio
Wk	apertura caratteristica delle fessure
Sm	distanza media fra le fessure
st	sigma a trazione nel calcestruzzo in condizioni non fessurate
fck	resistenza caratteristica cilindrica del calcestruzzo
fdc	resistenza a compressione di calcolo del calcestruzzo
fctd	resistenza a trazione di calcolo del calcestruzzo
Hcr	altezza critica
q.Hcr	*quota della sezione alla altezza critica
hw	altezza della parete
lw	lunghezza della parete
n.p.	numero di piani
hs	altezza dell'interpiano
Mxd	momento di progetto attorno all'asse x (fuori piano)
Myd	momento di progetto attorno all'asse y (nel piano)
NEd	sforzo normale di progetto
MEd	Momento flettente di progetto di progetto
VEd	sforzo di taglio di progetto
Ngrav.	sforzo normale dovuto ai carichi gravitazionali
NReale.	sforzo normale derivante dall'analisi
VRcd	resistenza a taglio dovuta alle bielle di calcestruzzo
epsilon	coefficiente di maggiorazione del taglio derivante dall'analisi
alfaS	MEd/(VEd*lw) formula 7.4.15
At	area tesa di acciaio
roh	rapporto tra area della sezione orizzotale dell'armatura di anima e l'area della sezione di calcestruzzo
rov	rapporto tra area della sezione verticale dell'armatura di anima e l'area della sezione di calcestruzzo
VRsd	resistenza a taglio della sezione con armature
Somma(Asj)- Ai	somma delle aree delle barre verticali che attraversano la superficie di scorrimento
csi	altezza della parte compressa normalizzata all'altezza della sezione
Vdd	contributo dell'effetto spinotto delle armature verticali
Vfd	contributo della resistenza per attrito
Vid	contributo delle armature inclinate presenti alla base
VRd,s	valore di progetto della resistenza a taglio nei confronti dello scorrimento
l	luce netta della trave di collegamento
h	altezza della trave di collegamento
b	spessore della trave di collegamento
d	altezza utile della trave di collegamento
Asi	area complessiva della armatura a X
M,plast	momenti resistenti della trave a filo appoggio
T,plast	sforzi di taglio nella trave derivanti da gerarchia delle resistenze

soletta
Valori in daN, cm
C32/40: rck 400
fyk 4500

Verifica di stato limite ultimo

nod	sez	B	H	Af+	Af-	c+	c-	c.s.	comb	N	M	Nu	Mu
5338	o	50	32	14.1	6.0	4.8	4.8	1.283	22	0	1036079	0	-1329239
	v	100	32	10.1	10.1	4.8	4.8	1510.436	21	0	682	0	-1029651
5341	o	100	32	20.1	10.1	4.8	4.8	1.176	22	0	1657256	0	-1949504
	v	100	32	10.1	10.1	4.8	4.8	2.301	21	0	447575	0	-1029651
5432	o	100	32	20.1	10.1	4.8	4.8	1.179	22	0	1653119	0	-1949504
	v	100	32	10.1	10.1	4.8	4.8	2.342	21	0	439569	0	-1029651
5591	o	100	32	30.2	10.1	4.8	4.8	1.943	28	0	1457309	0	-2831415
	v	100	32	10.1	10.1	4.8	4.8	4.629	27	0	222414	0	-1029651

Combinazione rara

nod	sez	B	H	Af+	Af-	c+	c-	sc	c	N	M	sf	c	N	M	Wk (mm)	st	Sm (mm)	c
5338	o	50	32	14.1	6.0	4.8	4.8	-102.3	11	0.00E00	7.67E05	2328.2	11	0.00E00	7.67E05	0.07	0.0	71.7	11
	v	100	32	10.1	10.1	4.8	4.8	0.0	11	0.00E00	5.05E02	2.1	11	0.00E00	5.05E02	0.00	0.0	0.0	11
5341	o	100	32	20.1	10.1	4.8	4.8	-93.0	11	0.00E00	1.23E06	2565.1	11	0.00E00	1.23E06	0.11	0.0	115.0	11
	v	100	32	10.1	10.1	4.8	4.8	-32.7	11	0.00E00	3.32E05	1346.8	11	0.00E00	3.32E05	0.00	18.3	0.0	10
5432	o	100	32	20.1	10.1	4.8	4.8	-92.8	11	0.00E00	1.22E06	2560.1	11	0.00E00	1.22E06	0.11	0.0	115.0	11
	v	100	32	10.1	10.1	4.8	4.8	-32.1	11	0.00E00	3.26E05	1322.7	11	0.00E00	3.26E05	0.00	18.0	0.0	10
5591	o	100	32	30.2	10.1	4.8	4.8	-71.6	14	0.00E00	1.08E06	1533.6	14	0.00E00	1.08E06	0.04	0.0	70.5	14
	v	100	32	10.1	10.1	4.8	4.8	-16.2	14	0.00E00	1.65E05	669.3	14	0.00E00	1.65E05	0.00	9.1	0.0	1

Combinazione frequente

nod	sez	B	H	Af+	Af-	c+	c-	sc	c	N	M	sf	c	N	M	Wk (mm)	st	Sm (mm)	c
5338	o	50	32	14.1	6.0	4.8	4.8	-72.4	6	0.00E00	5.43E05	1648.7	6	0.00E00	5.43E05	0.04	0.0	71.7	6
	v	100	32	10.1	10.1	4.8	4.8	0.0	6	0.00E00	3.72E02	1.5	6	0.00E00	3.72E02	0.00	0.0	0.0	6
5341	o	100	32	20.1	10.1	4.8	4.8	-65.0	6	0.00E00	8.57E05	1792.2	6	0.00E00	8.57E05	0.07	0.0	115.0	6
	v	100	32	10.1	10.1	4.8	4.8	-24.1	6	0.00E00	2.44E05	991.1	6	0.00E00	2.44E05	0.00	13.5	0.0	12
5432	o	100	32	20.1	10.1	4.8	4.8	-65.1	6	0.00E00	8.59E05	1795.0	6	0.00E00	8.59E05	0.07	0.0	115.0	6
	v	100	32	10.1	10.1	4.8	4.8	-23.7	6	0.00E00	2.40E05	974.3	6	0.00E00	2.40E05	0.00	13.3	0.0	12
5591	o	100	32	30.2	10.1	4.8	4.8	-49.9	3	0.00E00	7.52E05	1068.9	3	0.00E00	7.52E05	0.02	0.0	70.5	3



**PROGETTO DEFINITIVO
RADDOPPIO LINEA GENOVA – VENTIMIGLIA
TRATTA FINALE LIGURE - ANDORA**

**Nuova viabilità – Ponte stradale
Relazione di calcolo impalcato**

COMMESSA	LOTTO	CODIFICA	DOCUMENTO	REV.	FOGLIO
IV01	00	D 09 CL	NVX309001	B	67 di 144

v 100 32 10.1 10.1 4.8 4.8 -11.9 3 0.00E00 1.21E05 492.2 3 0.00E00 1.21E05 0.00 6.7 0.0 1

Combinazione quasi permanente

nod sez	B	H	Af+	Af-	c+	c-	sc	c	N	M	sf	c	N	M	Wk (mm)	st	Sm (mm)	c	
5338	o	50	32	14.1	6.0	4.8	4.8	-0.2	1	0.00E00	-1.34E03	9.2	1	0.00E00	-1.34E03	0.00	0.1	0.0	1
	v	100	32	10.1	10.1	4.8	4.8	0.0	1	0.00E00	7.46E01	0.2	1	0.00E00	7.46E01	0.00	0.0	0.0	1
5341	o	100	32	20.1	10.1	4.8	4.8	-0.3	1	0.00E00	-2.96E03	12.1	1	0.00E00	-2.96E03	0.00	0.2	0.0	1
	v	100	32	10.1	10.1	4.8	4.8	-0.1	1	0.00E00	9.90E02	4.0	1	0.00E00	9.90E02	0.00	0.1	0.0	1
5432	o	100	32	20.1	10.1	4.8	4.8	0.0	1	0.00E00	-4.57E02	1.9	1	0.00E00	-4.57E02	0.00	0.0	0.0	1
	v	100	32	10.1	10.1	4.8	4.8	-0.1	1	0.00E00	1.16E03	4.7	1	0.00E00	1.16E03	0.00	0.1	0.0	1
5591	o	100	32	30.2	10.1	4.8	4.8	-0.3	1	0.00E00	-3.11E03	12.7	1	0.00E00	-3.11E03	0.00	0.2	0.0	1
	v	100	32	10.1	10.1	4.8	4.8	-0.2	1	0.00E00	2.47E03	10.1	1	0.00E00	2.47E03	0.00	0.1	0.0	1

Stampa delle verifiche manuali

Verifica di stato limite ultimo

Verifica punto a coordinate x=110 y=4025 z=134

sez	B	H	Af+	Af-	c+	c-	sc	c	N	M	Nu	Mu
v1000	32	100.5	100.5	4.8	4.8	4.8	41.399	22	0	248714	0	-10296510

Verifica punto a coordinate x=1313 y=4025 z=134

sez	B	H	Af+	Af-	c+	c-	sc	c	N	M	Nu	Mu
v1000	32	100.5	100.5	4.8	4.8	4.8	11.532	24	0	892861	0	-10296510

Verifica punto a coordinate x=2313 y=3950 z=134

sez	B	H	Af+	Af-	c+	c-	sc	c	N	M	Nu	Mu
v1000	32	100.5	100.5	4.8	4.8	4.8	15.498	26	0	664395	0	-10296510

Verifica punto a coordinate x=3495 y=3911 z=134

sez	B	H	Af+	Af-	c+	c-	sc	c	N	M	Nu	Mu
v1000	32	100.5	100.5	4.8	4.8	4.8	49.525	28	0	207907	0	-10296510

Combinazione rara

Verifica punto a coordinate x=110 y=4025 z=134

sez	B	H	Af+	Af-	c+	c-	sc	c	N	M	sf	c	N	M	Wk (mm)	st	Sm (mm)	c
v1000	32	100.5	100.5	4.8	4.8	4.8	-1.6	11	0.00E00	1.67E05	67.8	11	0.00E00	1.67E05	0.00	0.9	0.0	15

Verifica punto a coordinate x=1313 y=4025 z=134

sez	B	H	Af+	Af-	c+	c-	sc	c	N	M	sf	c	N	M	Wk (mm)	st	Sm (mm)	c
v1000	32	100.5	100.5	4.8	4.8	4.8	-6.3	12	0.00E00	6.38E05	259.3	12	0.00E00	6.38E05	0.00	3.5	0.0	15

Verifica punto a coordinate x=2313 y=3950 z=134

sez	B	H	Af+	Af-	c+	c-	sc	c	N	M	sf	c	N	M	Wk (mm)	st	Sm (mm)	c
v1000	32	100.5	100.5	4.8	4.8	4.8	-4.6	13	0.00E00	4.71E05	191.2	13	0.00E00	4.71E05	0.00	2.6	0.0	15

Verifica punto a coordinate x=3495 y=3911 z=134

sez	B	H	Af+	Af-	c+	c-	sc	c	N	M	sf	c	N	M	Wk (mm)	st	Sm (mm)	c
v1000	32	100.5	100.5	4.8	4.8	4.8	-1.4	14	0.00E00	1.38E05	56.0	14	0.00E00	1.38E05	0.00	0.8	0.0	15

Combinazione frequente

Verifica punto a coordinate x=110 y=4025 z=134

sez	B	H	Af+	Af-	c+	c-	sc	c	N	M	sf	c	N	M	Wk (mm)	st	Sm (mm)	c
v1000	32	100.5	100.5	4.8	4.8	4.8	-1.0	6	0.00E00	9.95E04	40.4	6	0.00E00	9.95E04	0.00	0.6	0.0	14

Verifica punto a coordinate x=1313 y=4025 z=134

sez	B	H	Af+	Af-	c+	c-	sc	c	N	M	sf	c	N	M	Wk (mm)	st	Sm (mm)	c
v1000	32	100.5	100.5	4.8	4.8	4.8	-4.4	5	0.00E00	4.43E05	179.8	5	0.00E00	4.43E05	0.00	2.4	0.0	14

Verifica punto a coordinate x=2313 y=3950 z=134

sez	B	H	Af+	Af-	c+	c-	sc	c	N	M	sf	c	N	M	Wk (mm)	st	Sm (mm)	c
v1000	32	100.5	100.5	4.8	4.8	4.8	-3.1	4	0.00E00	3.17E05	128.8	4	0.00E00	3.17E05	0.00	1.8	0.0	14

Verifica punto a coordinate x=3495 y=3911 z=134

sez	B	H	Af+	Af-	c+	c-	sc	c	N	M	sf	c	N	M	Wk (mm)	st	Sm (mm)	c
v1000	32	100.5	100.5	4.8	4.8	4.8	-0.8	12	0.00E00	-8.18E04	33.2	12	0.00E00	-8.18E04	0.00	0.5	0.0	14

Combinazione quasi permanente

Verifica punto a coordinate x=110 y=4025 z=134

sez	B	H	Af+	Af-	c+	c-	sc	c	N	M	sf	c	N	M	Wk (mm)	st	Sm (mm)	c
v1000	32	100.5	100.5	4.8	4.8	4.8	-0.7	2	0.00E00	-6.64E04	27.0	2	0.00E00	-6.64E04	0.00	0.4	0.0	2

Verifica punto a coordinate x=1313 y=4025 z=134

sez	B	H	Af+	Af-	c+	c-	sc	c	N	M	sf	c	N	M	Wk (mm)	st	Sm (mm)	c
v1000	32	100.5	100.5	4.8	4.8	4.8	-0.9	2	0.00E00	-8.89E04	36.1	2	0.00E00	-8.89E04	0.00	0.5	0.0	2

Verifica punto a coordinate x=2313 y=3950 z=134

sez	B	H	Af+	Af-	c+	c-	sc	c	N	M	sf	c	N	M	Wk (mm)	st	Sm (mm)	c
v1000	32	100.5	100.5	4.8	4.8	4.8	-0.8	2	0.00E00	-8.24E04	33.5	2	0.00E00	-8.24E04	0.00	0.5	0.0	2

Verifica punto a coordinate x=3495 y=3911 z=134

sez	B	H	Af+	Af-	c+	c-	sc	c	N	M	sf	c	N	M	Wk (mm)	st	Sm (mm)	c
v1000	32	100.5	100.5	4.8	4.8	4.8	-0.6	2	0.00E00	-6.26E04	25.4	2	0.00E00	-6.26E04	0.00	0.3	0.0	2

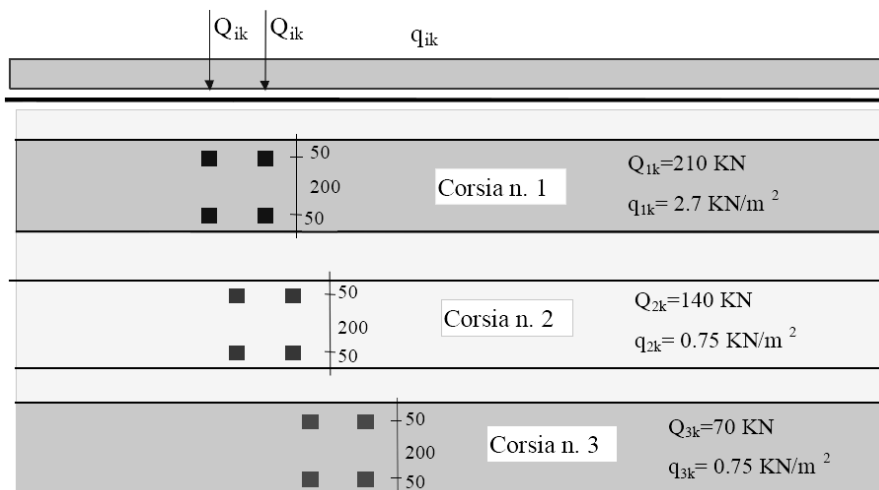
9.3 Verifiche a Fatica

Con riferimento alle prescrizioni contenute al § 5.1.4.3 delle NTC08 e al §1 e 3 dell' EC3-1-9 per la struttura in oggetto si è ritenuto di applicare verifiche per vita illimitata e per danneggiamento.

9.3.1 Modello di carico a fatica

I modelli di carico applicabili sono quelli previsti dalle NTC08 al § 5.1.4.3; si è scelto di applicare il modello di carico a fatica 1 in seguito descritto.

- Modello di carico di fatica 1: distribuzione dei carichi geometricamente uguale ai treni di carico previsti per le verifiche di resistenza ma con valori ridotti dei carichi; i carichi concentrati degli assi tandem (TS) vengono ridotti del 30%, mentre i carichi distribuiti (UDL) sono ridotti del 70%.



Modello di carico di fatica 1

9.3.2 Coefficienti parziali per la resistenza a fatica

Per i coefficienti parziali di resistenza dei materiali a fatica si è fatto riferimento a quanto prescritto nell' EC3 1-9 al § 3. Il prospetto seguente mostra i coefficienti parziali per la resistenza da applicare nelle verifiche a fatica dei singoli elementi strutturali.

Tabella C4.2.XII – Coefficienti parziali γ_{Mf} per verifiche a fatica

	Conseguenza della rottura per fatica	
	Moderate	Significative
Danneggiamento accettabile (strutture poco sensibili alla rottura per fatica)	$\gamma_{Mf}=1,00$	$\gamma_{Mf}=1,15$
Vita utile (strutture sensibili alla rottura per fatica)	$\gamma_{Mf}=1,15$	$\gamma_{Mf}=1,35$

Per comodità di calcolo il coefficiente di resistenza adottato $\gamma_m = 1,35$ è stato tenuto in conto nelle verifiche nel seguito riportante andando a ridurre il $\Delta\sigma_c$ previsto per i singoli dettagli costruttivi.

9.3.3 Dettagli di fatica adottati per le verifiche

Si riportano i dettagli di fatica adottati per le verifiche a fatica delle singole componenti strutturali.

Piattanande - tensioni normali	categoria/dettaglio:	125
Anima - tensioni tangenziali	categoria/dettaglio:	100
Saldatura composizione anima-piattittabande	categoria/dettaglio:	80
Connettori a piolo	categoria/dettaglio:	90

La verifica a vita illimitata si esegue controllando che sia:

$$\Delta\sigma_{\max,d} = \gamma_{Mf} \Delta\sigma_{\max} \leq \Delta\sigma_D$$

$$\Delta\tau_{\max,d} = \gamma_{Mf} \Delta\tau_{\max} \leq \Delta\tau_D = \Delta\tau_L$$

dove $\Delta\sigma_{\max,d}$ e $\Delta\tau_{\max,d}$ sono, rispettivamente, i valori di progetto delle massime escursioni di tensioni normali e di tensioni tangenziali indotte nel dettaglio considerato dallo spettro di carico per le verifiche a vita illimitata, talvolta denominato spettro frequente, e $\Delta\sigma_D$ e $\Delta\tau_D$ i limiti di fatica ad ampiezza costante.

$$\Delta\sigma = \Delta\sigma_C \cdot \left(\frac{2 \cdot 10^6}{N} \right)^{\frac{1}{m}} \quad \text{per } N \leq 5 \cdot 10^6$$

$$\Delta\sigma = \Delta\sigma_D \cdot \left(\frac{5 \cdot 10^6}{N} \right)^{\frac{1}{m+2}} \quad \text{per } 5 \cdot 10^6 \leq N \leq 10^8$$

$$\Delta\sigma = \Delta\sigma_L \quad \text{per } N > 10^8$$

dove $m = 3$, cosicché risulta:

$$\Delta\sigma_D = 0,737 \cdot \Delta\sigma_C; \quad \Delta\sigma_L = 0,549 \cdot \Delta\sigma_C$$

Le curve S-N per tensioni tangenziali sono caratterizzate, oltre che dalla classe $\Delta\tau_C$, dal limite per i calcoli di fatica $\Delta\tau_L$ corrispondente a $N=10^8$ cicli.

L'equazione della curva S-N è la seguente:

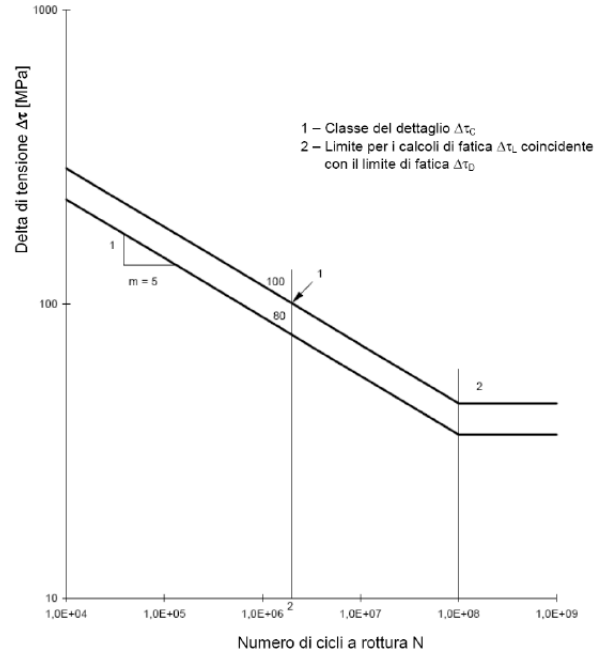
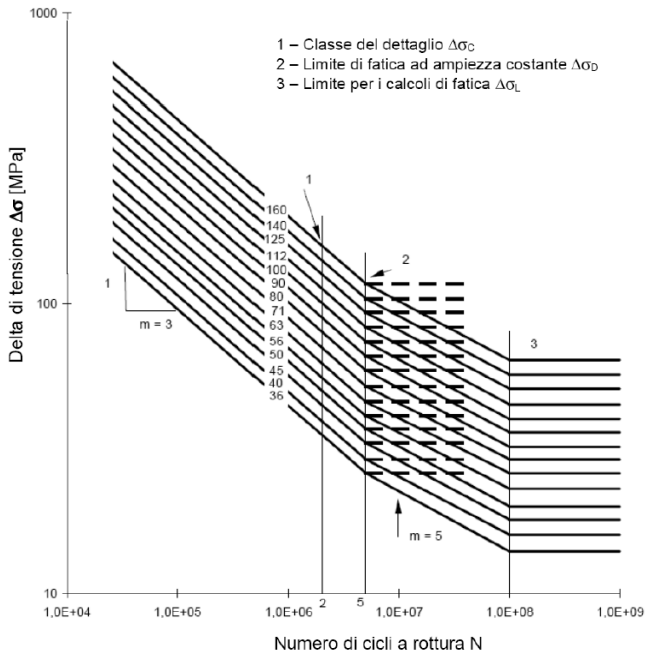
$$\Delta\tau = \Delta\tau_C \left(\frac{2 \cdot 10^6}{N} \right)^{\frac{1}{m}} \quad \text{per } N \leq 10^8, \quad (C4.2.97)$$

$$\Delta\tau = \Delta\tau_L \quad \text{per } N > 10^8$$

dove $m=5$, cosicché risulta

$$\Delta\tau_L = 0,457 \Delta\tau_C. \quad (C4.2.98)$$

Si riportano di seguito le Curve S-N per dettagli/elementi soggetti a tensioni normali e le Curve S-N per dettagli/elementi soggetti a tensioni tangenziali.



La verifica a danneggiamento si conduce mediante la formula di Palmgren-Miner, controllando che risulti verificata la seguente relazione:

$$D = \sum_i \frac{n_i}{N_i} \leq 1,0$$

dove n_i è il numero di cicli di ampiezza $\Delta\sigma_{i,d}$ indotti dallo spettro di carico per le verifiche a danneggiamento nel corso della vita prevista per il dettaglio e N_i è il numero di cicli di ampiezza $\Delta\sigma_{i,d}$ a rottura, ricavato dalla curva S-N caratteristica del dettaglio.

9.3.4 Verifiche a fatica dei conchi metallici

Le verifiche riguardano vengono svolte come detto mediante la distribuzione dei carichi geometricamente uguale ai treni di carico previsti per le verifiche di resistenza, ma con valori ridotti dei carichi (TS x 70%, UDL x 30%).

Nel caso di variazioni simultanee di tensioni normali e tangenziali, la valutazione della resistenza a fatica dovrà considerare i loro effetti congiunti adottando idonei criteri di combinazione del danno.

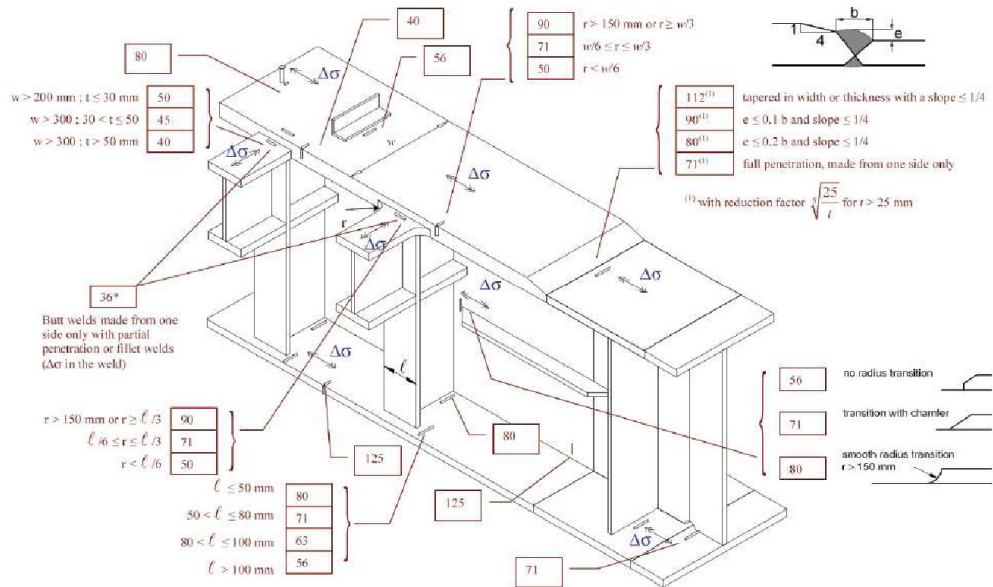
Nel caso di variazioni non simultanee del campo di tensioni normali e tangenziali si potranno sommare i danneggiamenti D_σ e D_τ prodotti dai cicli di tensione normale e dai cicli di tensione tangenziale, valutati separatamente controllando che (NTC2008-C4.2.104):

$$D = D_\sigma + D_\tau \leq 1,0$$

Nella valutazione della resistenza a fatica dovrà tenersi conto dello spessore del metallo base nel quale può innescarsi una potenziale lesione. Nel caso che l'influenza dello spessore sulla resistenza a fatica non sia trascurabile, la classe del dettaglio deve essere ridotta secondo la formula (NTC2008- C4.2.105):

$$\Delta\sigma_{C,red} = k_s \cdot \Delta\sigma_C$$

dove il coefficiente riduttivo k_s dipende dal dettaglio strutturale considerato ed i cui valori indicativi sono indicati, per alcuni dettagli costruttivi, nel documento EN1993-1-9.



I risultati delle verifiche relative sono riportati nell'allegato (Verifica Impalcato).

10 S.L.E. – DEFORMABILITÀ

La normativa vigente non fornisce limitazioni per le verifiche di deformabilità delle travi da ponte. È comunque considerata buona norma verifica che, relativamente alla combinazione rara, la massima freccia di calcolo δ_{2d} dovuta ai carichi variabili sia inferiore a $L/500$. In relazione allora ai valori caratteristici delle frecce in mezzeria valutate per il caso di carico δ_{2k} , si calcolano per sovrapposizione degli effetti, le frecce in mezzeria dovute ai carichi variabili nella combinazione di carico più gravosa.

$$\delta_{2d, D} = 2,35 \text{ cm (carichi da traffico distribuiti)}$$

$$\delta_{2d, T} = 2,20 \text{ cm (carichi da traffico tandem in mezzeria)}$$

$$\delta_{2d} = \delta_{2d, D} + \delta_{2d, T} = 4,55 \text{ cm}$$

La verifica risulta quindi soddisfatta in quanto:

$$\delta_{2d} < \delta_{\max} = L/500 = 9,00 \text{ cm}$$

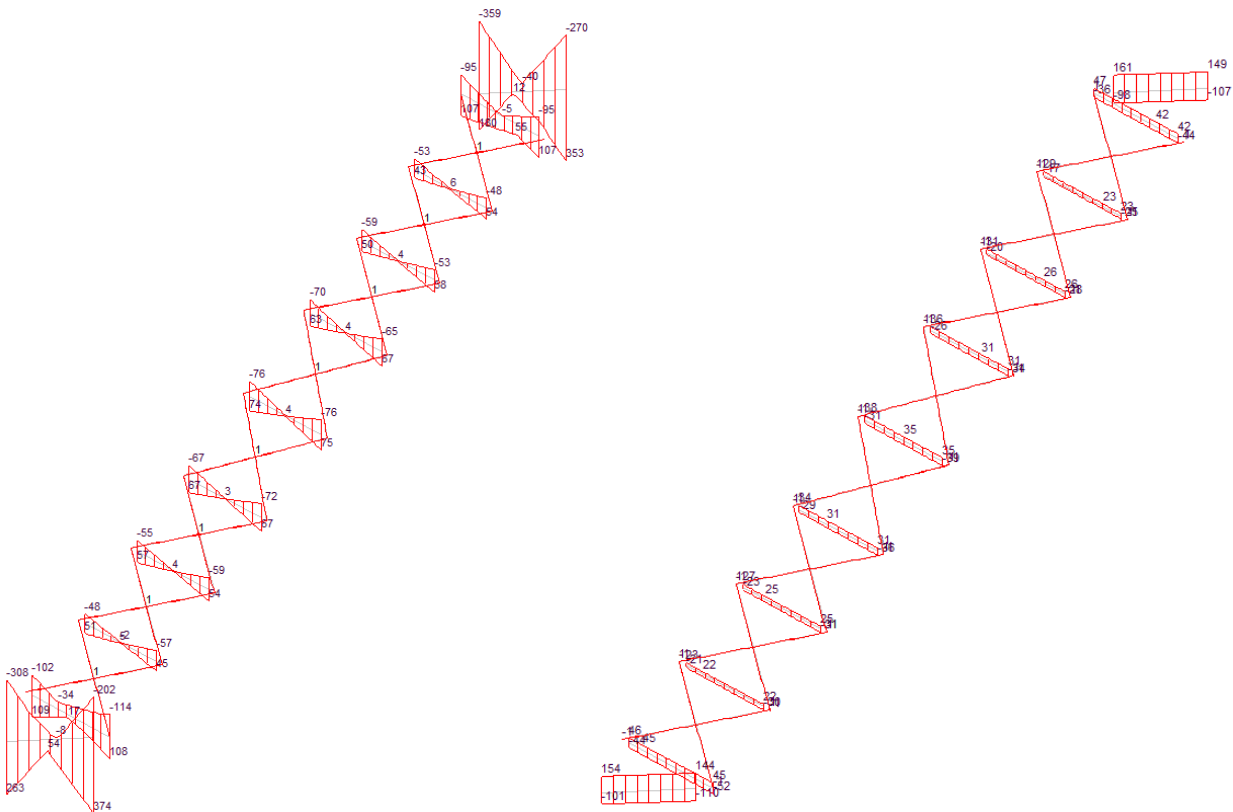
11 VERIFICA DEI TRASVERSI E DEI CONTROVENTI

11.1 S.L.U. – Resistenza delle sezioni

Analogamente a quanto svolto per le sezioni delle travi principali di impalcato, le verifiche di resistenza delle sezioni dei trasversi sono state svolte con il calcolo elastico: le tensioni normali sono state calcolate con la formula di Navier, mentre la tensione tangenziale è valutata come somma del contributo dovuto al taglio e di quello dovuto al momento torcente.

Sempre in riferimento allo S.L.U., nelle combinazioni di carico più gravose (variabili momento massimo/minimo, variabili taglio massimo/minimo + variazione termica positiva/negativa) si valuta la tensione ideale sulla sezione e si verifica che sia minore della tensione caratteristica di snervamento dell'acciaio opportunamente ridotta dal coefficiente di sicurezza del materiale.

Nel seguito di riportano i diagrammi di involuppo delle sollecitazioni flettenti e taglianti relative per i trasversi in asse appoggio e per i trasversi di campata:



Involuppo Momento

Involuppo Taglio

Dai diagrammi di involuppo si evince che gli elementi trasversali sono soggetti alle seguenti sollecitazioni estreme:

M_{\max} trasversi di appoggio: 380 kNm

T_{\max} trasversi di appoggio: 170 kN

M_{\max} trasversi di campate: 110 kNm

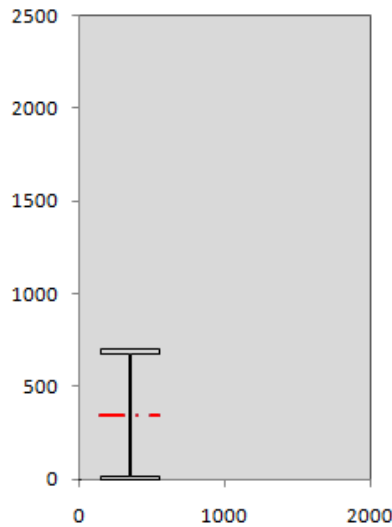
T_{\max} trasversi di campata: 55 kN

I risultati per i trasversi in asse appoggio e per i trasversi di campata sono dettagliatamente riportati in seguito.

11.1.1 Traverso di appoggio

VERIFICA PROFILO METALLICO (SLU):		CONCIO TA	
CLASSIFICAZIONE DELLA SEZIONE			
Valore di snervamento dell'acciaio	f_y	355	[Mpa]
Coefficiente ϵ	ϵ	0,814	[-]
Classificazione dell'anima			
Altezza dell'anima depurata dei raccordi o delle saldature	c	644	[mm]
Spessore dell'anima	t_w	15	[mm]
Rapporto tra altezza e spessore	c/t_w	42,93	[-]
Classificazione dell'anima per elemento soggetto a flessione	CLASSE	1	[-]
Classificazione dell'anima per elemento soggetto a compressione	CLASSE	4	[-]
Classificazione dell'anima per elemento soggetto a presso-flessione	CLASSE	1	[-]
Classificazione delle ali			
Ala superiore - Rapporto tra semi larghezza e spessore	c/t	9,225	[-]
Ala inferiore - Rapporto tra semi larghezza e spessore	c/t	9,225	[-]
Classificazione delle ali	CLASSE	3	[-]
Classe finale della sezione	CLASSE	3	[-]

Sollecitazioni riferite al baricentro della sezione lorda della trave metallica (SLU) dedotte dalle tensioni agenti.



$N_{sd_{concio}} = (\sigma_{II} + \Delta\sigma_{SI} \cdot Y_a / H_{TOT}) / A_a$		
$M_{sd_{concio}} = -\Delta\sigma_{SI} \cdot J_x / H_{TOT}$		
$(\sigma_s + \sigma_t) / 2 = \sigma_N$	0	[daN/cm ²]
$(\sigma_s - \sigma_t) / 2 = \sigma_M$	568	[daN/cm ²]
$\sigma_{ss} - \sigma_{II} = \Delta\sigma_{SI}$	-1204	[daN/cm ²]

Caratteristiche lorde profilo in flessione semplice

Area lorda profilo :	259,00	[cm ²]
Inerzia profilo :	220950	[cm ⁴]
Baricentro x flessione :	350,00	[mm]
Altezza totale profilo :	700	[mm]

	SLU	SLE	
NORMALE SU CONCIO : $N_{sd_{concio}}$	0	0	[kN]
MOMENTO SU CONCIO : $M_{sd_{concio}}$	380	380	[kNm]
NORMALE SU SOLETTA : $N_{sd_{soletta}}$	0	0	[kN]
NORMALE ALA SUP. : $N_{sd_{ss}}$	-468	-468	[kN]
NORMALE ALA INF. : $N_{sd_{II}}$	468	468	[kN]
NORMALE ANIMA : $N_{sd_{anima}}$	0	0	[kN]
MOMENTO ANIMA : $M_{sd_{anima}}$	62	62	[kNm]

Calcolo larghezza effettiva delle ali per shear lag delle ali

Calcolo delle tensioni nella sezione calcolate considerando la larghezza effettiva (ridotta) a causa dello shear lag.

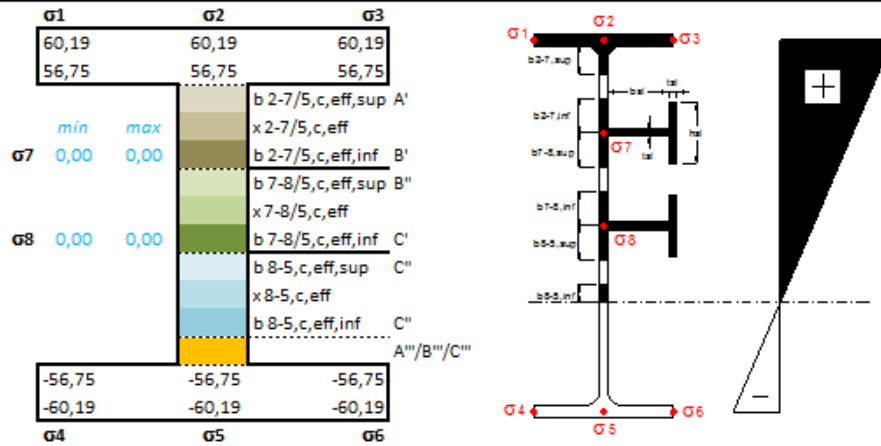
Effectives width for elastic shear lag				→	Z_g	350,00	[mm]
Ala sup sx	Ala sup dx	Ala inf sx	Ala inf dx		A_{eff}^s	259,00	[cm ²]
α_0 1,000	α_0 1,000	α_0 1,000	α_0 1,000		I_{yy}^s	220950	[cm ⁴]
k 0,004	k 0,004	k 0,004	k 0,004		I_{zz}^s	21352	[cm ⁴]
β_1 1,000	β_1 1,000	β_1 1,000	β_1 1,000		W_{yy}^s	6313	[cm ³]
β_2 2,055	β_2 2,055	β_2 2,055	β_2 2,055		W_{yy}^s	6695	[cm ³]
β_0 1,000	β_0 1,000	β_0 1,000	β_0 1,000		W_{yy}^s	6695	[cm ³]
$\beta = \beta_2$ 2,055	β 2,055	β 2,055	β 2,055		W_{zz}^s	6313	[cm ³]
β 1,000	β 1,000	β 1,000	β 1,000		W_{zz}^s	1068	[cm ³]
$b_{eff,1-2,SUS}$ 200	$b_{eff,2-3,SUS}$ 200	$b_{eff,4-5,SUS}$ 200	$b_{eff,3-4,SUS}$ 200		W_{zz}^s	1068	[cm ³]
$b_{eff,1-2,SUU}$ 200	$b_{eff,2-3,SUU}$ 200	$b_{eff,4-5,SUU}$ 200	$b_{eff,3-4,SUU}$ 200		W_{zz}^s	28469	[cm ³]

Effettiva larghezza delle ali

β	1	
$b_{sup,eff,SUS}$	400 mm	100 % effective
$b_{sup,eff,SUU}$	400 mm	100 % effective
β	1	
$b_{inf,eff,SUS}$	400 mm	100 % effective
$b_{inf,eff,SUU}$	400 mm	100 % effective

N_{ed}	0	[kN]
M_{ed}	380	[kNm]
V_{ed}	110	[kN]

Calcolo tensioni nella sezione per instabilità dei sottopannelli



IRRIGID. LONGITUDINALI	-	-	-	-	-
no ribs					
IRRIGID. TRASVERSALI	b_{st}	t_{st}	h_{st}	a	-
no rigid end post	300	20	0	2500	

Plattabanda non irriqidita

Wing Subpanles

Top sx flange		Top dx flange		Bottom sx flange		Bottom dx flange	
b_{2-2}	200 mm	b_{2-2}	200 mm	b_{4-2}	200 mm	b_{2-2}	200 mm
ψ_{2-2}	1,000	ψ_{2-2}	1,000				
$k\sigma_{2-2}$	0,430	$k\sigma_{2-2}$	0,430				
$\lambda_{\overline{D}}$	0,660 mm	$\lambda_{\overline{D}}$	0,660				
ρ_{2-2}	1,000	ρ_{2-2}	1,000				
$b_{2-2,c,eff}$	200 mm	$b_{2-2,c,eff}$	200 mm	$b_{4-2,c,eff}$	200 mm	$b_{2-2,c,eff}$	200 mm
$x_{2-2,c,eff}$	0 mm	$x_{2-2,c,eff}$	0 mm	$x_{4-2,c,eff}$	0 mm	$x_{2-2,c,eff}$	0 mm

Web Subpanles

	A	B	C
$b_{2-7/5}$	330 mm	$b_{7-8/5}$ 0 mm	b_{8-5} 0 mm
$\psi_{2-7/5}$	-1,000	$\psi_{7-8/5}$ 0,000	ψ_{8-5} 0,000
$k_{\sigma_{2-7/5}}$	23,900	$k_{\sigma_{7-8/5}}$ 7,810	$k_{\sigma_{8-5}}$ 7,810
$b_{2-7/5,sup}$	132 mm	$b_{7-8/5,sup}$ 0 mm	$b_{8-5,sup}$ 0 mm
$b_{2-7/5,inf}$	198 mm	$b_{7-8/5,inf}$ 0 mm	$b_{8-5,inf}$ 0 mm
$\lambda_{\overline{D}_{2-7/5}}$	0,390	$\lambda_{\overline{D}_{7-8/5}}$ 0,000	$\lambda_{\overline{D}_{8-5}}$ 0,000
$\rho_{2-7/5}$	1,000	$\rho_{7-8/5}$ 1,000	ρ_{8-5} 1,000
$b_{2-7/5,c,eff}$	330 mm	$b_{7-8/5,c,eff}$ 0 mm	$b_{8-5,c,eff}$ 0 mm
$b_{2-7/5,c,eff,sup}$	132 mm	$b_{7-8/5,c,eff}$ 0 mm	$b_{8-5,c,eff,s}$ 0 mm
$x_{2-7/5,c,eff}$	0 mm	$x_{7-8/5,c,eff}$ 0 mm	$x_{8-5,c,eff}$ 0 mm
$b_{2-7/5,c,eff,inf}$	198 mm	$b_{7-8/5,c,eff}$ 0 mm	$b_{8-5,c,eff,inf}$ 0 mm

A. n. sez. lorda presso/tenso flessione

Z_n	350 [mm]
-------	----------

Baricentro sezione lorda

$Z_{g,0}$	350 [mm]
-----------	----------

A. n. sez. eff. presso/tenso flessione

Z_n	350 [mm]
-------	----------

Baricentro sezione efficace

$Z_{g,eff}$	350 [mm]
-------------	----------

Eccentricità tra baricentri

Δe_N	0 [mm]
--------------	--------

Caratteristiche Statiche Sezione Efficace

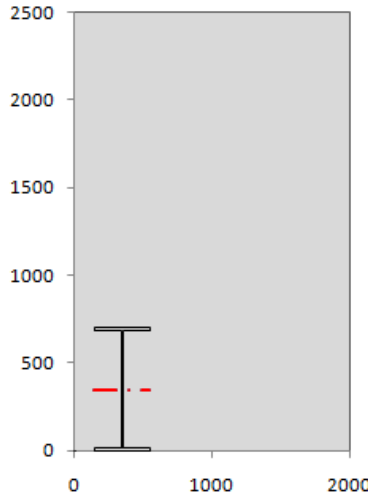
	Aree	Momenti statici	Momenti inerzia		
Ala sup eff	80 [cm ²]	5520 [cm ³]	92507 [cm ⁴]	$A_{eff,red}$	259,00 [cm ²]
Ala inf eff	80 [cm ²]	80 [cm ³]	92507 [cm ⁴]	$Z_{g,eff}$	350,00 [mm]
A'	19,8 [cm ²]	1216 [cm ³]	14087 [cm ⁴]	$W_{eff,inf}$	6312,87 [cm ³]
A'''	79,2 [cm ²]	2249 [cm ³]	21850 [cm ⁴]	$W_{eff,sup}$	6312,87 [cm ³]
B'	0 [cm ²]	0 [cm ³]	0 [cm ⁴]	I_{eff}	220950,33 [cm ⁴]
stiffener 1	0 [cm ²]	0 [cm ³]	0 [cm ⁴]		
B''	0 [cm ²]	0 [cm ³]	0 [cm ⁴]		
B'''	0 [cm ²]	0 [cm ³]	0 [cm ⁴]	$N_{e,d}$	8358,64 [kN]
C'	0 [cm ²]	0 [cm ³]	0 [cm ⁴]	$M_{e,d}$	2037,33 [kNm]
stiffener 2	0 [cm ²]	0 [cm ³]	0 [cm ⁴]	$\sigma_{ss,RED}$	-60,19 [Mpa]
C''	0 [cm ²]	0 [cm ³]	0 [cm ⁴]	$\sigma_{ll,RED}$	60,19 [Mpa]
C'''	0 [cm ²]	0 [cm ³]	0 [cm ⁴]		
$\eta_{11} [N_{Ed}/A_{eff} + (M_{y,Ed} + N_{Ed} \cdot \Delta e_N) / W_{eff,sup}] / f_d =$				$\eta_{1,sup}$	0,187 [-]
$\eta_{11} [N_{Ed}/A_{eff} + (M_{y,Ed} + N_{Ed} \cdot \Delta e_N) / W_{eff,inf}] / f_d =$				$\eta_{1,inf}$	0,187 [-]

Verifica ad instabilità anima per tensioni di taglio SLU							
Instabilità pannello dell'anima		Pannello non irrigidito					
h_w/t_w	< 72 ε/η	No shear buckling verification needed					
σ_z	98,04 Mpa						
x_{sl}	0,00	baricentro eventuale ribs					
I_{sl}	0,00 cm ⁴	momento inerzia ribs					
$k_{t,sl}$	0,00						
k_t	5,62						
τ_{cr}	551 MPa						
λ_w	0,61						
χ_w	1,20						
c	723 mm						
$M_{t,rd}$	1839 KNm	(My viene trasferito dalle sole flange)					
χ_t	0,037						
$V_{sw,rd}$	2214 KN	contributo resistenza a taglio dell'anima					
$V_{st,rd}$	68 KN	contributo resistenza a taglio delle ali					
$V_{b,rd}$	2282 KN						
η_s	0,07	OK		$V_{ED} < V_{s,Rd}/2$			
Interazione tra M-V-N							
$M_{t,rd}$	1839 KNm	c_t	546,2 mm	$M_{sl,rd}$	2392 KNm	η_s	0,07
z_{sl}	350 mm	$W_{sl,y}$	7074 cm ³	η_1	0,16	$\eta_{V-M-N} : 0,33$	

11.1.2 Traverso di campata

VERIFICA PROFILO METALLICO (SLU):		CONCIO TC	
CLASSIFICAZIONE DELLA SEZIONE			
Valore di snervamento dell'acciaio	f_y	355	[Mpa]
Coefficiente ϵ	ϵ	0,814	[-]
Classificazione dell'anima			
Altezza dell'anima depurata dei raccordi o delle saldature	c	654	[mm]
Spessore dell'anima	t_w	15	[mm]
Rapporto tra altezza e spessore	c/t_w	43,6	[-]
Classificazione dell'anima per elemento soggetto a flessione	CLASSE	1	[-]
Classificazione dell'anima per elemento soggetto a compressione	CLASSE	4	[-]
Classificazione dell'anima per elemento soggetto a presso-flessione	CLASSE	1	[-]
Classificazione delle ali			
Ala superiore - Rapporto tra semi larghezza e spessore	c/t_f	12,3	[-]
Ala inferiore - Rapporto tra semi larghezza e spessore	c/t_f	12,3	[-]
Classificazione delle ali	CLASSE	4	[-]
Classe finale della sezione	CLASSE	4	[-]

Sollecitazioni riferite al baricentro della sezione lorda della trave metallica (SLU) dedotte dalle tensioni agenti



$N_{sd\ concio} = (\sigma_{II} + \Delta\sigma_{SI}) Y_a / H_{TOT} / A_a$		
$M_{sd\ concio} = -\Delta\sigma_{SI} J_y / H_{TOT}$		
$(\sigma_s + \sigma_t) / 2 = \sigma_N$	0	[daN/cm ²]
$(\sigma_s - \sigma_t) / 2 = \sigma_{M1}$	319	[daN/cm ²]
$\sigma_{SS} - \sigma_{II} = \Delta\sigma_{SI}$	-667	[daN/cm ²]
Caratteristiche lorde profilo in flessione semplice		
Area lorda profilo :	220,50	[cm ²]
Inerzia profilo :	178385	[cm ⁴]
Baricentro x flessione :	350,00	[mm]
Altezza totale profilo :	700	[mm]

	SLU	SLE	
NORMALE SU CONCIO : $N_{sd\ concio}$	0	0	[kN]
MOMENTO SU CONCIO : $M_{sd\ concio}$	170	170	[kNm]
NORMALE SU SOLETTA : $N_{sd\ soletta}$	0	0	[kN]
NORMALE ALA SUP. : $N_{sd\ ss}$	-196	-196	[kN]
NORMALE ALA INF. : $N_{sd\ II}$	196	196	[kN]
NORMALE ANIMA : $N_{sd\ anima}$	0	0	[kN]
MOMENTO ANIMA : $M_{sd\ anima}$	36	36	[kNm]

Calcolo larghezza effettiva delle ali per shear lag delle ali

Calcolo delle tensioni nella sezione calcolate considerando la larghezza effettiva (ridotta) a causa dello shear lag.

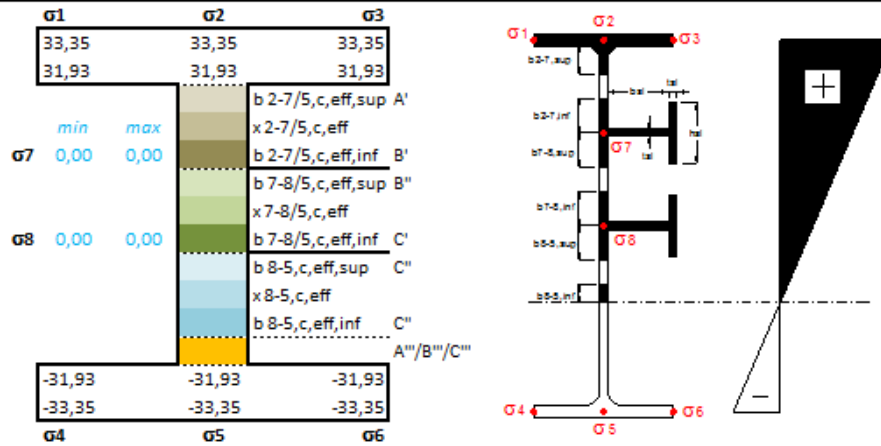
Effectives width for elastic shear lag					
Ala sup sx	Ala sup dx	Ala inf sx	Ala inf dx		
α_0 1,000	α_0 1,000	α_0 1,000	α_0 1,000	Z_g -	350,00 [mm]
k 0,004	k 0,004	k 0,004	k 0,004	A_{eff}^s -	220,50 [cm ²]
β_1 1,000	β_1 1,000	β_1 1,000	β_1 1,000	I_{yy}^s -	178385 [cm ⁴]
β_2 2,055	β_2 2,055	β_2 2,055	β_2 2,055	I_{zz}^s -	16019 [cm ⁴]
β_0 1,000	β_0 1,000	β_0 1,000	β_0 1,000	W_{yy}^s eff.2.sup -	5097 [cm ³]
$\beta = \beta_2$ 2,055	β 2,055	β 2,055	β 2,055	W_{yy}^s eff.2.inf -	5325 [cm ³]
β 1,000	β 1,000	β 1,000	β 1,000	W_{yy}^s eff.5.sup -	5325 [cm ³]
$b_{eff.1-2,SUS}$ 200	$b_{eff.2-3,SUS}$ 200	$b_{eff.4-5,SUS}$ 200	$b_{eff.6-7,SUS}$ 200	W_{yy}^s eff.5.inf -	5097 [cm ³]
$b_{eff.1-2,SU}$ 200	$b_{eff.2-3,SU}$ 200	$b_{eff.4-5,SU}$ 200	$b_{eff.6-7,SU}$ 200	W_{zz}^s eff.1/4 -	801 [cm ³]
				W_{zz}^s eff.3/6 -	801 [cm ³]
				W_{zz}^s eff.7-8 -	21358 [cm ³]

Effettiva larghezza delle ali

β	1		
$b_{sup,eff,SUS}$	400 mm	100 % effective	
$b_{sup,eff,SU}$	400 mm	100 % effective	
β	1		
$b_{inf,eff,SUS}$	400 mm	100 % effective	
$b_{inf,eff,SU}$	400 mm	100 % effective	

N_{ed}	0	[kN]
M_{ed}	170	[kNm]
V_{ed}	55	[kN]

Calcolo tensioni nella sezione per instabilità dei sottopannelli



IRRIGID. LONGITUDINALI	-	-	-	-	-
no ribs					
IRRIGID. TRASVERSALI	b _{st}	t _{st}	h _{st}	a	-
no rigid end post	300	20	0	2500	

Piattabanda non irriqidita

Wing Subpanles

Top sx flange		Top dx flange		Bottom sx flange		Bottom dx flange	
b ₂₋₂	200 mm	b ₂₋₂	200 mm	b ₄₋₂	200 mm	b ₂₋₂	200 mm
ψ ₂₋₂	1,000	ψ ₂₋₂	1,000				
kσ ₂₋₂	0,430	kσ ₂₋₂	0,430			Piattabanda tesa	Piattabanda tesa
λ _D	0,880 mm	λ _D	0,880			interamente reagente	interamente reagente
ρ ₂₋₂	0,894	ρ ₂₋₂	0,894				
b _{2-2,c,eff}	179 mm	b _{2-2,c,eff}	179 mm	b _{4-2,c,eff}	200 mm	b _{2-2,c,eff}	200 mm
x _{2-2,c,eff}	21 mm	x _{2-2,c,eff}	21 mm	x _{4-2,c,eff}	0 mm	x _{2-2,c,eff}	0 mm

Web Subpanles

	A	B	C
b _{2-7/5}	335 mm	b _{7-8/5} 0 mm	b ₈₋₅ 0 mm
ψ _{2-7/5}	-1,000	ψ _{7-8/5} 0,000	ψ ₈₋₅ 0,000
k _{σ 2-7/5}	23,900	k _{σ 7-8/5} 7,810	k _{σ 8-5} 7,810
b _{2-7/5,sup}	134 mm	b _{7-8/5,sup} 0 mm	b _{8-5,sup} 0 mm
b _{2-7/5,inf}	201 mm	b _{7-8/5,inf} 0 mm	b _{8-5,inf} 0 mm
λ _{D 2-7/5}	0,395	λ _{D 7-8/5} 0,000	λ _{D 8-5} 0,000
ρ _{2-7/5}	1,000	ρ _{7-8/5} 1,000	ρ ₈₋₅ 1,000
b _{2-7/5,c,eff}	335 mm	b _{7-8/5,c,eff} 0 mm	b _{8-5,c,eff} 0 mm
b _{2-7/5,c,eff,sup}	134 mm	b _{7-8/5,c,eff} 0 mm	b _{8-5,c,eff,s} 0 mm
x _{2-7/5,c,eff}	0 mm	x _{7-8/5,c,eff} 0 mm	x _{8-5,c,eff} 0 mm
b _{2-7/5,c,eff,inf}	201 mm	b _{7-8/5,c,eff} 0 mm	b _{8-5,c,eff,inf} 0 mm

A. n. sez. lorda presso/tenso flessione

Z _n	350 [mm]
----------------	----------

Baricentro sezione lorda

Z _{g, *}	350 [mm]
-------------------	----------

A. n. sez. eff. presso/tenso flessione

Z _n	374 [mm]
----------------	----------

Baricentro sezione efficace

Z _{g, eff}	340 [mm]
---------------------	----------

Eccentricità tra baricentri

Δe _N	10 [mm]
-----------------	---------

Caratteristiche Statiche Sezione Efficace

	Aree	Momenti statici	Momenti inerzia		
Ala sup eff	53,62 [cm ²]	3713 [cm ³]	66712 [cm ⁴]	A _{eff,red}	214,12 [cm ²]
Ala inf eff	60 [cm ²]	45 [cm ³]	66261 [cm ⁴]	Z _{g, eff}	339,79 [mm]
A'	20,1 [cm ²]	1242 [cm ³]	15858 [cm ⁴]	W _{eff,inf}	5022,91 [cm ³]
A''	80,4 [cm ²]	2275 [cm ³]	21842 [cm ⁴]	W _{eff,sup}	4738,17 [cm ³]
B'	0 [cm ²]	0 [cm ³]	0 [cm ⁴]	I _{eff}	170673,51 [cm ⁴]
stiffener 1	0 [cm ²]	0 [cm ³]	0 [cm ⁴]		
B''	0 [cm ²]	0 [cm ³]	0 [cm ⁴]		
B'''	0 [cm ²]	0 [cm ³]	0 [cm ⁴]	N _{ed}	6910,14 [kN]
C'	0 [cm ²]	0 [cm ³]	0 [cm ⁴]	M _{ed}	1529,14 [kNm]
stiffener 2	0 [cm ²]	0 [cm ³]	0 [cm ⁴]	σ _{ss,RED}	-35,88 [Mpa]
C''	0 [cm ²]	0 [cm ³]	0 [cm ⁴]	σ _{ll,RED}	33,84 [Mpa]
C'''	0 [cm ²]	0 [cm ³]	0 [cm ⁴]		
$\eta_{11} [N_{Ed}/A_{eff} + (M_{y,Ed} + N_{Ed} \cdot \Delta e_N) / W_{eff,sup}] / f_d =$				η _{1,sup}	0,111 [-]
$\eta_{11} [N_{Ed}/A_{eff} + (M_{y,Ed} + N_{Ed} \cdot \Delta e_N) / W_{eff,inf}] / f_d =$				η _{1,inf}	0,105 [-]

Verifica ad instabilità anima per tensioni di taglio SLU							
Instabilità pannello dell'anima		Pannello non irrigidito					
h_w/t_w	< 72 ε/η	No shear buckling verification needed					
σ_z	95,13 Mpa						
x_{sl}	0,00	baricentro eventuale ribs					
I_{sl}	0,00 cm ⁴	momento inerzia ribs					
$k_{t,sl}$	0,00						
k_t	5,63						
τ_{cr}	535 MPa						
λ_w	0,62						
χ_w	1,20						
c	673 mm						
$M_{t,rd}$	1242 KNm	(My viene trasferito dalle sole flange)					
χ_t	0,020						
$V_{ow,rd}$	2247 KN	contributo resistenza a taglio dell'anima					
$V_{ot,rd}$	38 KN	contributo resistenza a taglio delle ali					
$V_{b,rd}$	2285 KN						
η_s	0,02	OK		$V_{ED} < V_{o,Rd}/2$			
Interazione tra M-V-N							
$M_{t,rd}$	1242 KNm	c_t	525,5 mm	$M_{sl,rd}$	1959 KNm	η_s	0,02
z_{rel}	350 mm	$W_{pl,y}$	5793 cm ³	η_1	0,09	$\eta_{V-M-N} : 0,42$	

11.1.3 Controventi

Nel seguito si effettuano le verifiche dei controventi metallici e delle giunzioni di connessione con i piatti di estremità; lo sforzo normale di calcolo è pari al massimo valore di compressione presente nell'involuppo e relativo alle tipologie di controvento utilizzate; si ricorda che le verifiche sono conservative in quanto nel modello agli elementi finiti non è stato considerato il contributo della soletta d'impalcato.

PROPRIETA' MECCANICHE DEL MATERIALE

Normativa di riferimento del tipo di acciaio	:	UNI EN 10025-2	NTC 11.3.4.1
Designazione alfanumerica del tipo acciaio	:	S 355	NTC 11.3.4.1 - Tab. 11.3.IX
Tipo di profilato	:	Sezione aperta	NTC 11.3.4.1 - Tab. 11.3.IX
Spessore nominale dell'elemento	:	$t \leq 40$ mm	NTC 11.3.4.1 - Tab. 11.3.IX
Tensione caratteristica di snervamento	$f_{yk} =$	355 N/mm ²	NTC 11.3.4.1 - Tab. 11.3.IX
Tensione caratteristica di rottura	$f_{tk} =$	510 N/mm ²	NTC 11.3.4.1 - Tab. 11.3.IX
Modulo di elasticità normale (di Young)	$E =$	210000 N/mm ²	NTC 11.3.4.1
Coefficiente di Poisson	$\nu =$	0.3	NTC 11.3.4.1
Modulo di elasticità trasversale	$G =$	80769 N/mm ²	NTC 11.3.4.1
Densità	$\rho =$	7850 kg/m ³	NTC 11.3.4.1

DATI GEOMETRICI E STATICI DELLA SEZIONE

Tipologia e designazione del profilato

Tipologia della sezione	:	ad L	
Designazione del profilato	:	L 100 x 100 x 10	
Opere sicuramente protette contro la corrosione o non esposte agli agenti atmosferici	:	NO	NTC 4.2.9.1
Spessore minimo del profilato	:	4.0 mm	VERIFICA

Caratteristiche geometriche principali

Altezza della sezione trasversale	$h =$	100.0 mm
Larghezza della sezione trasversale	$b =$	100.0 mm
Spessore dell'anima	$t_w =$	10.0 mm
Spessore delle ali	$t_f =$	0.0 mm
Raggio di raccordo	$r =$	12.0 mm
-	$r_0 =$	mm
-	$r_1 =$	mm
Altezza della porzione saldabile	$d =$	0.0 mm
Area della sezione trasversale	$A =$	19.15 cm ²

Caratteristiche statiche rispetto all'asse y-y

Momento d'inerzia	$I_y =$	176.68 cm ⁴
Modulo di resistenza elastico	$W_{el,y} =$	24.62 cm ³
-	$W_{pl,y} =$	cm ³
Raggio d'inerzia	$i_y =$	3.04 cm

Caratteristiche statiche rispetto all'asse z-z

Momento d'inerzia	$I_z =$	176.68 cm ⁴
Modulo di resistenza elastico	$W_{el,z} =$	24.62 cm ³

Nuova viabilità – Ponte stradale
Relazione di calcolo impalcato

COMMESSA	LOTTO	CODIFICA	DOCUMENTO	REV.	FOGLIO
IV01	00	D 09 CL	NVX309001	B	80 di 144

-	$W_{pl,z} =$	cm3	
Raggio d'inerzia	$i_z = 3.04$	cm	

Altre caratteristiche statiche

Area della sezione resistente al taglio lungo z	$A_{vz} = 0.00$	cm2	NTC 4.2.4.1.2
Area della sezione resistente al taglio lungo y	$A_{vy} = 0.00$	cm2	NTC 4.2.4.1.2
Momento d'inerzia torsionale	$I_t = 0.00$	cm4	
-	$I_w = 0$	cm6	
-	$C_t = 0.00$	cm3	

LUNGHEZZA E CONDIZIONI DI VINCOLO

Geometria e condizioni di vincolo dell'asta

Tipologia di membratura	: principale	-	NTC 4.2.4.1.3.1
Condizioni di vincolo nel piano xz (rif. asse y-y)	inc-inc	-	NTC 4.2.4.1.3.1
Condizioni di vincolo nel piano xy (rif. asse z-z)	: inc-inc	-	NTC 4.2.4.1.3.1
Lunghezza dell'asta	$L = 6500$	mm	

CLASSIFICAZIONE DELLA SEZIONE DELL'ASTA

Parametri di calcolo

Tensione caratteristica di snervamento	$f_{yk} = 355$	N/mm2	NTC 11.3.4.1 - Tab. 11.3.IX
Coefficiente $e = (235/f_{yk})0.5$	$e = 0.81$	-	NTC 4.2.3.1 - Tab. 4.2.I e 4.2.II

CLASSIFICAZIONE DELLA SEZIONE

Altezza della sezione	$h = 100.0$	mm	NTC 4.2.3.1 - Tab. 4.2.III
Base della sezione	$b = 100.0$	mm	NTC 4.2.3.1 - Tab. 4.2.III
Spessore della sezione	$t = 10.0$	mm	NTC 4.2.3.1 - Tab. 4.2.III
Classificazione della sezione per compressione	Classe : 2	-	NTC 4.2.3.1 - Tab. 4.2.II e 4.2.III

VERIFICA DI RESISTENZA

Azione di compressione di calcolo	$N_{Ed} = 18000$	daN	
Classificazione della sezione per compressione	: Classe 2	-	NTC 4.2.3.1
Resistenza di calcolo a compressione	$N_{c,Rd} = 64760$	daN	NTC 4.2.4.1.2 - Eq. (4.2.11)
Indice di verifica $N_{Ed}/N_{c,Rd}$	$= 0.28$	≤ 1	NTC 4.2.4.1.2 - Eq. (4.2.10)

Verifica di resistenza a compressione

SODDISFATTA

VERIFICA DI STABILITA'

Instabilità intorno all'asse y-y

Inflessione intorno all'asse	: y-y	-	
Coefficiente di vincolo nel piano xz	$b_y = 0.50$	-	
Lunghezza d'inflessione dell'asta nel piano xz	$L_{0,y} = 325$	cm	NTC 4.2.4.1.3.1
Carico critico euleriano dell'asta	$N_{cr,y} = 34668$	daN	NTC 4.2.4.1.3.1
Rapporto $N_{Ed}/N_{cr,y}$	$= 0.519$	> 0.04	NTC 4.2.4.1.3.1
Snellezza limite dell'asta	$l_{lim} = 200$	-	NTC 4.2.4.1.3.1
Snellezza dell'asta intorno y-y	$l_y = 107$	≤ 200	VERIFICA
Snellezza adimensionale dell'asta	$\Gamma_y = 1.401$	> 0.2	NTC 4.2.4.1.3.1 - Eq. (4.2.46)
Necessità della verifica di stabilità	: SI	-	NTC 4.2.4.1.3.1

**Nuova viabilità – Ponte stradale
Relazione di calcolo impalcato**

COMMESSA	LOTTO	CODIFICA	DOCUMENTO	REV.	FOGLIO
IV01	00	D 09 CL	NVX309001	B	81 di 144

Curva di instabilità	: b	-	NTC 4.2.4.1.3.1 - Tab. 4.2.VI
Fattore di imperfezione	$a_y = 0.34$	-	NTC 4.2.4.1.3.1 - Tab. 4.2.VI
Coefficiente	$F_y = 1.685$	-	NTC 4.2.4.1.3.1
Fattore di riduzione per l'instabilità intorno y-y	$c_y = 0.381$	-	NTC 4.2.4.1.3.1 - Eq. (4.2.45)

Instabilità intorno all'asse z-z

Inflessione intorno all'asse	: z-z	-	
Coefficiente di vincolo nel piano xy	$b_z = 0.50$	-	
Lunghezza d'inflessione dell'asta nel piano xy	$L_{0,z} = 325$	cm	NTC 4.2.4.1.3.1
Carico critico euleriano dell'asta	$N_{cr,z} = 34668$	daN	NTC 4.2.4.1.3.1
Rapporto $N_{Ed}/N_{cr,z}$	$= 0.519$	> 0.04	NTC 4.2.4.1.3.1
Snellezza limite dell'asta	$l_{lim} = 200$	-	NTC 4.2.4.1.3.1
Snellezza dell'asta intorno z-z	$l_z = 107$	≤ 200	VERIFICA
Snellezza adimensionale dell'asta	$l'_z = 1.401$	> 0.2	NTC 4.2.4.1.3.1 - Eq. (4.2.46)
Necessità della verifica di stabilità	: SI	-	NTC 4.2.4.1.3.1
Curva di instabilità	: b	-	NTC 4.2.4.1.3.1 - Tab. 4.2.VI
Fattore di imperfezione	$a_z = 0.34$	-	NTC 4.2.4.1.3.1 - Tab. 4.2.VI
Coefficiente	$F_z = 1.685$	-	NTC 4.2.4.1.3.1
Fattore di riduzione per l'instabilità intorno z-z	$c_z = 0.381$	-	NTC 4.2.4.1.3.1 - Eq. (4.2.45)

Verifica di stabilità

Azione di compressione di calcolo	$N_{Ed} = 18000$	daN	
Fattore di riduzione per l'instabilità dell'asta	$c_{min} = 0.381$	-	NTC 4.2.4.1.3.1 - Eq. (4.2.45)
Classificazione della sezione per compressione	: Classe 2	-	NTC 4.2.3.1
Resistenza all'instabilità dell'asta compressa	$N_{b,Rd} = 24705$	daN	NTC 4.2.4.1.3.1 - Eq. (4.2.43)
Indice di verifica $N_{Ed}/N_{b,Rd}$	$= 0.73$	≤ 1	NTC 4.2.4.1.3.1 - Eq. (4.2.42)

Verifica di stabilità a compressione

SODDISFATTA

Proprietà meccaniche dei bulloni

Tipo di bulloni	: alta resistenza		NTC 11.3.4.1 - Tab. 11.3.XIIa
Classe dei bulloni	: 10.9		NTC 11.3.4.1 - Tab. 11.3.XIIa
Tensione di snervamento delle viti	$f_{yb} = 900$	N/mm ²	NTC 11.3.4.1 - Tab. 11.3.XIIb
Tensione di rottura delle viti	$f_{tb} = 1000$	N/mm ²	NTC 11.3.4.1 - Tab. 11.3.XIIb

FORATURA DELLA SEZIONE PER COLLEGAMENTI BULLONATI

Dati generali del collegamento bullonato

Presenza del collegamento bullonato	: SI	
Piani di foratura	: ala orizzontale	

Foratura della sezione lungo l'ala orizzontale

Tipologia dei fori	: allineati		EC 3-1-1 6.2.2.2
Tipologia di accoppiamento foro-bullone	: ordinario		NTC 4.2.8.1.1
Diametro dei bulloni	: M16		UNI 5592:1968
Gioco foro-bullone	$d-d_0 = 1.0$	mm	NTC 4.2.8.1.1
Diametro del foro	$d_0 = 17.0$	mm	NTC 4.2.8.1.1
Spessore	$t_f = 10.0$	mm	NTC 4.2.8.1.1

Nuova viabilità – Ponte stradale
Relazione di calcolo impalcato

COMMESSA	LOTTO	CODIFICA	DOCUMENTO	REV.	FOGLIO
IV01	00	D 09 CL	NVX309001	B	82 di 144

Numero dei fori lungo l'ala orizzontale	$n = 2$	-	EC 3-1-1 6.2.2.2
-	$\Sigma s^2/4p = 0.0$	mm	EC 3-1-1 6.2.2.2
Riduzione dell'area lorda della sezione	= 340	mm ²	EC 3-1-1 6.2.2.2

Calcolo dell'area netta della sezione trasversale

Area lorda della sezione trasversale	$A = 1915$	mm ²	
Area netta della sezione trasversale	$A_{net} = 1575$	mm ²	EC 3-1-1 6.2.2.2

VERIFICA DI RESISTENZA

Azione di trazione di calcolo	$N_{Ed} = 18000$	daN	
Resistenza plastica della sezione lorda	$N_{pl,Rd} = 64760$	daN	NTC 4.2.4.1.2 - Eq. (4.2.7)
Resistenza a rottura della sezione netta	$N_{u,Rd} = 57851$	daN	NTC 4.2.4.1.2 - Eq. (4.2.8)
Resistenza di calcolo a trazione	$N_{t,Rd} = 57851$	daN	NTC 4.2.4.1.2
Indice di verifica di resistenza $N_{Ed}/N_{t,Rd}$	= 0.31	≤ 1	NTC 4.2.4.1.2 - Eq. (4.2.6)
Verifica di resistenza a trazione	SODDISFATTA		NTC 4.2.4.1.2 - Eq. (4.2.6)



PROGETTO DEFINITIVO
RADDOPPIO LINEA GENOVA – VENTIMIGLIA
TRATTA FINALE LIGURE - ANDORA

Nuova viabilità – Ponte stradale
Relazione di calcolo impalcato

COMMESSA	LOTTO	CODIFICA	DOCUMENTO	REV.	FOGLIO
IV01	00	D 09 CL	NVX309001	B	83 di 144

12 UNIONI A TAGLIO PER ATTRITO AD ALTA RESISTENZA

12.1 Generalità

Le giunzioni tra i conci della trave e quelle tra i trasversi e la trave stessa sono realizzate mediante unioni bullonate che necessitano di essere verificate, per le combinazioni allo S.L.U., nei confronti di:

- resistenza a taglio dei bulloni;
- rifollamento della lamiera;
- resistenza dei coprigiunti d'anima.

12.1.1 Giunti trave-trave

I giunti trave-trave sono realizzati mediante piastre bullonate sull'anima e sulle ali.

Le verifiche vengono effettuate, per le due giunzioni tra i conci, per le diverse combinazioni di carico analizzate.

S.L.U. – Resistenza a taglio dei bulloni della giunzione dell'anima

La sollecitazione agente sul bullone più sollecitato è scomponibile in due componenti ortogonali N_{1h} e N_{1v} , funzioni della geometria della giunzione e dell'azione che sollecita la bullonatura ($M_c = M_a + T \cdot e$) in base alla ripartizione della rigidità sull'anima ($M_a = M \cdot J_a / J_{tot}$):

$$N_{max} = \sqrt{N_{1h}^2 + N_{1v}^2}$$

Le resistenze di calcolo sono valutate in base alla NTC cap. 4.2.8.1.1 , ovvero:

La resistenza di calcolo a taglio del bullone allo SLU (NTC 4.2.60):

$$F_{v,Rd} = 0,6 f_{tb} A / \gamma_{M2}$$

La resistenza di calcolo a rifollamento del bullone allo SLU (NTC 4.2.61):

$$F_{b,Rd} = k \alpha f_{tk} d t / \gamma_{M2},$$

La resistenza di calcolo a scorrimento del bullone allo SLE (NTC 4.2.56 e 4.2.67):

$$F_{p,Cd} = 0,7 \cdot \frac{f_{tb} \cdot A_{res}}{\gamma_{M7}} \quad F_{s,Rd} = n \mu F_{p,C} / \gamma_{M3}.$$

utilizzando un coefficiente di attrito μ tra le piastre a contatto nelle unioni “pre-caricate” assunto pari a 0,45 ipotizzando le giunzioni sabbiate al metallo bianco e protette sino al serraggio dei bulloni.

Le verifiche dei giunti maggiormente sollecitati tra le travi principali sono di seguito riportate.

**Nuova viabilità – Ponte stradale
 Relazione di calcolo impalcato**

COMMESSA	LOTTO	CODIFICA	DOCUMENTO	REV.	FOGLIO
IV01	00	D 09 CL	NVX309001	B	84 di 144

VERIFICA GIUNTO BULLONATO		: CONCIO A		4_xi=12_xj=13,5	
Elemento :	4_xi=12_xj=13,5	27	OK	0	0
Combinazione :	Mmax	27	OK	0	0
Concio :	A	27	OK	0	0
Effetti primari :	$\varepsilon \Delta T(-) + \varepsilon$ RITIRO				

SFORZO NORMALE SU CONCIO METALLICO :

Nsdconcio

SLU	SLE
5819,92	4078,12

[kN]

MOMENTO FLETTENTE SU CONCIO METALLICO :

Msdconcio

26253,76	19754,46
-----------------	-----------------

[kNm]

Ripartizione delle azioni sulle ali

Momento d'inerzia del profilo	ly	1,10004E+11	[mm ⁴]
Momento d'inerzia delle ali	ly,ali	8,94E+10	[mm ⁴]
Area del profilo	A	111170	[mm ²]
Area della ala superiore	Aala sup	24500	[mm ²]
Area della ala inferiore	Aala inf	45000	[mm ²]

Sollecitazioni di calcolo ripartite negli elementi del giunto		SLU	SLE	
Momento assorbito dalle ali	Mf,Ed	21332,24	16051,29	[kNm]
Forza normale assorbita dalla ala sup	Nf,Ed	-6872,51	-5237,52	[kN]
Forza normale assorbita dalla ala inf	Nf,Ed	12695,95	9431,12	[kN]

Ripartizione delle azioni sull'anima		SLU	SLE	
Forza di taglio assorbita dall'anima	Vw,Ed	2057,46	1521,91	[kN]
Forza normale assorbita dall'anima	Nw,Ed	-3,51	FALSO	[kN]
Momento assorbito dall'anima	Mw,Ed	4441,46	3341,94	[kNm]

VERIFICA COPRIGIUNTO ALA SUPERIORE
CARATTERISTICHE DEL COPRIGIUNTO E DEI BULLONI D'ALA

Diametro del bullone	d	27	[mm]
Diametro del foro	d ₀	28	[mm]
Area del gambo filettato	As	459	[mm ²]
Numero di bulloni su metà giunto	nb	32	[-]
Numero di bulloni trasversali	nb _{,trasv}	4	[-]
Numero piani di taglio per bullone	n	2	[-]
Distanza bullone dal bordo lungo asse trave	e1	55	[mm]
Distanza bullone dal bordo trasversale asse trave	e2	55	[mm]
Passo bulloni in direzione asse trave	p1	80	[mm]
Passo bulloni in direzione trasversale asse trave	p2	100	[mm]
Passo bulloni in direzione asse trave prossimi alla linea dei concii	p3	110	[mm]
Distanza dal bordo bulloni prossimi alla linea dei concii	e'1	50	[mm]
Distanza dal bordo interno bulloni coprigiunto interno	e'2	50	[mm]
Distanza trasversale bulloni prossimi ad asse trave	e3	200	[mm]
Resistenza a rottura del bullone	f _{tb}	1000	[MPa]

d	27	[mm]
d ₀	28	[mm]
As	459	[mm ²]
nb	32	[-]
nb _{,trasv}	4	[-]
n	2	[-]
e1	55	[mm]
e2	55	[mm]
p1	80	[mm]
p2	100	[mm]
p3	110	[mm]
e'1	50	[mm]
e'2	50	[mm]
e3	200	[mm]
f _{tb}	1000	[MPa]

CARATTERISTICHE GEOMETRICHE DEL COPRIGIUNTO

Lunghezza del coprigiunto esterno	Lc	1340	[mm]
Larghezza del coprigiunto esterno	bc	510	[mm]
Spessore del coprigiunto esterno	tc	35	[mm]
Lunghezza del coprigiunto interno	Lc	1340	[mm]
Larghezza del coprigiunto interno	b'c	205	[mm]
Spessore del coprigiunto interno	tc	35	[mm]

Lc	1340	[mm]
bc	510	[mm]
tc	35	[mm]
Lc	1340	[mm]
b'c	205	[mm]
tc	35	[mm]

Nuova viabilità – Ponte stradale
Relazione di calcolo impalcato

COMMESSA	LOTTO	CODIFICA	DOCUMENTO	REV.	FOGLIO
IV01	00	D 09 CL	NVX309001	B	85 di 144

Resistenza a snervamento dell'acciaio	f_{yk}	355	[MPa]
Resistenza a rottura dell'acciaio	f_{tk}	510	[MPa]

Resistenza del giunto offerta dai bulloni

Coefficiente di riduzione per la resistenza a taglio	α	0,5	[-]
Coefficiente di attrito tra piastre per scorrimento	μ	0,45	[-]
Resistenza a taglio per ciascun piano di taglio	F_v, R_d	183,60	[kN]
Coefficiente di riduzione per la lunghezza del giunto	bL_f	0,96	[-]
Coefficiente di riduzione adottato $\min(0,75; bL_f)$	bL_f, ad	0,96	[-]
Coefficiente riduzione per la resistenza a scorrimento	$0,7 \mu$	0,32	[-]
Resistenza a scorrimento per ciascun piano di taglio	F_v, R_d	119,49	[-]
Resistenza a taglio globale dei bulloni	$F_{1j}, R_d \text{ sup SLU}$	11293,4	[kN]
Resistenza a scorrimento globale dei bulloni	$F_{1j}, R_d \text{ sup SCO}$	7350,1	[kN]

Resistenza della sezione netta delle ali

Area della sezione netta della ala superiore	$A_{f, net}$	20580,00	[mm ²]
Resistenza sezione netta ala superiore	$F_{t, net}, R_d \text{ s}$	7556,98	[kN]

Resistenza a rifollamento delle ali

Coefficiente di riduzione per geometria	α_g	0,60	[-]
Resistenza di ogni singolo bullone ala sup	$F_{b, Rd \text{ s}}$	573,75	[kN]
Resistenza a rifollamento ala superiore	F_{3j}, R_d	18360,00	[kN]

Resistenza a rifollamento dei coprigiunti

Coefficiente di riduzione per geometria	α_c	0,65	[-]
Resistenza di ogni singolo bullone	$F_{b, c}, R_d$	1262,25	[kN]
Resistenza a rifollamento coprigiunto d'ala superiore	F_{4j}, R_d	80784,00	[kN]

Resistenza della sezione lorda dei coprigiunti

Area della sezione lorda dei coprigiunti	A_c	32200,00	[mm ²]
Massima trazione coprigiunti superiori	$F_{t, c}, R_d$	10886,67	[kN]

Resistenza della sezione netta dei coprigiunti

Area della sezione netta dei coprigiunti	$A_{c, net}$	24360,00	[mm ²]
Massima trazione assunta dai coprigiunti	$F_{t, c, net}, R_d$	8944,99	[kN]

VERIFICA COPRIGIUNTO ALA INFERIORE
CARATTERISTICHE DEL COPRIGIUNTO E DEI BULLONI D'ALA

Diametro del bullone	d	27	[mm]
Diametro del foro	d_0	28	[mm]
Area del gambo filettato	A_s	459	[mm ²]
Numero di bulloni su metà giunto	nb	48	[-]
Numero di bulloni trasversali	$nb_{, trasv}$	6	[-]
Numero piani di taglio per bullone	n	2	[-]
Distanza bullone dal bordo lungo asse trave	e1	55	[mm]
Distanza bullone dal bordo trasversale asse trave	e2	55	[mm]
Passo bulloni in direzione asse trave	p1	80	[mm]
Passo bulloni in direzione trasversale asse trave	p2	100	[mm]
Passo bulloni in direzione asse trave prossimi alla linea dei conci	p3	110	[mm]
Distanza dal bordo bulloni prossimi alla linea dei conci	e'1	50	[mm]
Distanza dal bordo interno bulloni coprigiunto interno	e'2	50	[mm]
Distanza trasversale bulloni prossimi ad asse trave	e3	200	[mm]
Resistenza a rottura del bullone	f_{tb}	1000	[MPa]

CARATTERISTICHE GEOMETRICHE DEL COPRIGIUNTO

Lunghezza del coprigiunto esterno	Lc	1340	[mm]
Larghezza del coprigiunto esterno	bc	710	[mm]
Spessore del coprigiunto esterno	tc	40	[mm]
Lunghezza del coprigiunto interno	Lc	1340	[mm]
Larghezza del coprigiunto interno	b'c	305	[mm]
Spessore del coprigiunto interno	tc	40	[mm]

Nuova viabilità – Ponte stradale
Relazione di calcolo impalcato

COMMESSA	LOTTO	CODIFICA	DOCUMENTO	REV.	FOGLIO
IV01	00	D 09 CL	NVX309001	B	86 di 144

Resistenza a snervamento dell'acciaio	f_{yk}	355	[MPa]
Resistenza a rottura dell'acciaio	f_{tk}	510	[MPa]

Resistenza del giunto offerta dai bulloni

Coefficiente di riduzione per la resistenza a taglio	α	0,5	[-]
Coefficiente di attrito tra piastre per scorrimento	μ	0,45	[-]
Resistenza a taglio per ciascun piano di taglio	F_v, R_d	183,60	[kN]
Coefficiente di riduzione per la lunghezza del giunto	bL_f	0,96	[-]
Coefficiente di riduzione adottato $\min(0,75; bL_f)$	bL_f, ad	0,96	[-]
Coefficiente riduzione per la resistenza a scorrimento	$0,7 \mu$	0,32	[-]
Resistenza a scorrimento per ciascun piano di taglio	F_v, R_d	119,49	[-]
Resistenza a taglio globale dei bulloni	$F_{1j}, R_d \text{ sup SLU}$	16940,2	[kN]
Resistenza a scorrimento globale dei bulloni	$F_{1j}, R_d \text{ sup SCO}$	11025,1	[kN]

Resistenza della sezione netta delle ali

Area della sezione netta della ala inferiore	$A_{f, net}$	36600,00	[mm ²]
Resistenza sezione netta ala inferiore	$F_{t, net}, R_d i$	13439,52	[kN]

Resistenza a rifollamento delle ali

Coefficiente di riduzione per geometria	α_g	0,60	[-]
Resistenza di ogni singolo bullone ala inf	$F_{b, Rd i}$	819,64	[kN]
Resistenza a rifollamento ala inferiore	F_{3j}, R_d	39342,86	[kN]

Resistenza a rifollamento dei coprigiunti

Coefficiente di riduzione per geometria	α_c	0,65	[-]
Resistenza di ogni singolo bullone	$F_{b, c}, R_d$	1442,57	[kN]
Resistenza a rifollamento coprigiunto d'ala inferiore	F_{4j}, R_d	138486,86	[kN]

Resistenza della sezione lorda dei coprigiunti

Area della sezione lorda dei coprigiunti	A_c	52800,00	[mm ²]
Massima trazione coprigiunti inferiori	$F_{t, c}, R_d$	17851,43	[kN]

Resistenza della sezione netta dei coprigiunti

Area della sezione netta dei coprigiunti	$A_{c, net}$	39360,00	[mm ²]
Massima trazione assunta dai coprigiunti	$F_{t, c, net}, R_d$	14452,99	[kN]

VERIFICA COPRIGIUNTI D'ANIMA

Numero di sezioni resistenti	n_v	2,00	[-]
Eccentricità di VSd	e	13,50	[cm]
Numero totale di bulloni	n_b	63	[-]
Baricentro bullonatura	$Z_{G, b}$	84,00	[cm]
Baricentro bullonatura	$X_{G, b}$	13,50	[cm]
Ordinata massima	$z_{b, max}$	80,00	[cm]
Ascissa massima	$x_{b, max}$	8,00	[cm]
Momento d'inerzia bulloneria	$J_{b, tot}$	150528,00	[cm ²]

Sollecitazioni di calcolo ripartite negli elementi del giunto

		SLU	SLE	
Forza Normale di Calcolo	NSd	-3,51	0,00	[kN]
Forza di Taglio di Calcolo	VSd	2057,46	1521,91	[kN]
Momento flettente di Calcolo	MSd	4441,46	3341,94	[kNm]
Momento torcente parassita	TSd	27776	20546	[kNcm]
Momento totale di calcolo	Mtot, Sd	471921	354740	[kNcm]
Taglio in z dovuto a Vsd	Vbz, V	16,33	12,08	[kN]
Taglio in x dovuto a Nsd	Vbx, N	-0,03	0,00	[kN]
Taglio in z dovuto a Msd, tot	Vbz, M	12,54	9,43	[kN]
Taglio in x dovuto a Msd, tot	Vbx, M	125,40	94,27	[kN]
Reazione per sezione di taglio	Rb, tot	129	97	[kN]

Verifica dei bulloni

Coefficiente di riduzione per la resistenza a taglio	α	0,50	[-]
Resistenza a taglio per ciascun piano di taglio	$F_v, R_d \text{ SLU}$	183,60	[kN]
Coefficiente riduzione per la resistenza a scorrimento	$0,7 \mu$	0,32	[-]

Nuova viabilità – Ponte stradale
Relazione di calcolo impalcato

COMMESSA	LOTTO	CODIFICA	DOCUMENTO	REV.	FOGLIO
IV01	00	D 09 CL	NVX309001	B	87 di 144

Resistenza a scorrimento per ciascun piano di taglio	Fv,Rd	119,49	[kN]
Azione sollecitante per taglio	Fv,Ed SLU	128,66	[kN]
Azione sollecitante per scorrimento	Fv,Ed SLE	97	[kN]

Verifica a rifollamento dell'anima della trave

Azione di rifollamento in direzione verticale	Fbz,Ed	57,74	[kN]
Azione di rifollamento in direzione orizzontale	Fby,Ed	250,75	[kN]
Coefficiente di riduzione per geometria verticale	az	0,702	[-]
Coefficiente di riduzione per geometria orizzontale	ax	0,536	[-]
Resistenza a rifollamento verticale	Fbz,Rd	348,18	[kN]
Resistenza a rifollamento orizzontale	Fby,Rd	265,56	[kN]

Verifica a rifollamento dei coprigiunti

Azione di rifollamento in direzione verticale	Fbz,Ed	57,74	[kN]
Azione di rifollamento in direzione orizzontale	Fby,Ed	250,75	[kN]
Coefficiente di riduzione per geometria verticale	az	0,595	[-]
Coefficiente di riduzione per geometria orizzontale	ax	0,595	[-]
Resistenza a rifollamento verticale	Fbz,Rd	491,79	[kN]
Resistenza a rifollamento orizzontale	Fby,Rd	491,79	[kN]

Verifica della sezione lorda dei coprigiunti

Modulo di resistenza plastico dei coprigiunti	Wc,pl	21675000	[mm ³]
Area di taglio dei coprigiunti	Ac,v	51000	[mm ²]
Momento resistente dei coprigiunti	Mc,pl,Rd	6995,113636	[kNm]
Taglio resistente dei coprigiunti	Vc,pl,Rd	9502,66	[kN]
Momento plastico trasferito all'anima della trave	Mw,pl,Rd	4441,46	[kNm]
Taglio sollecitante di progetto	VEd	2057,4585	[kN]

Verifica della sezione netta dei coprigiunti

Modulo di resistenza netto dei coprigiunti	Wc,net,pl	16567800	[mm ³]
Area di taglio netta dei coprigiunti	Ac,v	33360	[mm ²]
Momento resistente dei coprigiunti	Mc,pl,Rd	6759,66	[kNm]
Taglio resistente dei coprigiunti	Vc,pl,Rd	7858,25	[kN]
Momento plastico trasferito all'anima della trave	Mw,pl,Rd	4441,46	[kNm]

SINTESI DELLE VERIFICHE NEL GIUNTO
Verifica delle giunzioni d'ala superiore ed inferiore

Resistenza bulloni a taglio ala superiore	η	60,85%	[-]	OK
Resistenza bulloni a taglio ala inferiore	η	74,95%	[-]	OK
Resistenza sezione netta ala superiore	η	90,94%	[-]	OK
Resistenza sezione netta ala inferiore	η	94,47%	[-]	OK
Massima trazione coprigiunti superiori	η	63,13%	[-]	OK
Massima trazione coprigiunti inferiori	η	71,12%	[-]	OK
Trazione area netta coprigiunti superiori	η	76,83%	[-]	OK
Trazione area netta coprigiunti inferiori	η	87,84%	[-]	OK
Resistenza bulloni a scorrimento ala superiore	η	71,26%	[-]	OK
Resistenza bulloni a scorrimento ala inferiore	η	85,54%	[-]	OK
Resistenza a rifollamento ala superiore	η	51,37%	[-]	OK
Resistenza a rifollamento ala inferiore	η	23,97%	[-]	OK
Resistenza a rifollamento coprigiunto d'ala superiore	η	11,67%	[-]	OK
Resistenza a rifollamento coprigiunto d'ala inferiore	η	6,81%	[-]	OK
Tasso di lavoro massimo	η	94,47%	[-]	OK

Verifica della giunzione d'anima

Verifica a taglio dei bulloni	η	70,07%	[-]	OK
Verifica a scorrimento	η	80,92%	[-]	OK
Verifica a rifollamento dell'anima della trave	η	16,58%	[-]	OK
	η	94,42%	[-]	OK

Nuova viabilità – Ponte stradale
Relazione di calcolo impalcato

COMMESSA LOTTO CODIFICA DOCUMENTO REV. FOGLIO
IV01 00 D 09 CL NVX309001 B 88 di 144

Verifica a rifollamento dei coprighiunti	η	11,74%	[-]	OK
	η	50,99%	[-]	OK
Verifica della sezione lorda dei coprighiunti	η_{MOMENTO}	63,49%	[-]	OK
	η_{TAGLIO}	21,65%	[-]	OK
Verifica della sezione netta dei coprighiunti	η_{MOMENTO}	65,71%	[-]	OK
	η_{TAGLIO}	26,18%	[-]	OK
Tasso di lavoro massimo	η	94,42%		OK

VERIFICA GIUNTO BULLONATO		CONCIO	A	4 xi=12 xj=13,5	
Elemento :	4_xi=12_xj=13,5		27	OK	0 0
Combinazione :	Mmax		27	OK	0 0
Concio :	A		27	OK	0 0
Effetti primari :	$\varepsilon \Delta T(+)$				

SFORZO NORMALE SU CONCIO METALLICO :

Nsdconcio **9072,96** [kN] **6788,99** [kN]

MOMENTO FLETTENTE SU CONCIO METALLICO :

Msdconcio **21199,06** [kNm] **15542,20** [kNm]

Ripartizione delle azioni sulle ali			
Momento d'inerzia del profilo	I_y	1,10004E+11	[mm ⁴]
Momento d'inerzia delle ali	$I_{y,ali}$	8,94E+10	[mm ⁴]
Area del profilo	A	111170	[mm ²]
Area della ala superiore	Aala sup	24500	[mm ²]
Area della ala inferiore	Aala inf	45000	[mm ²]

Sollecitazioni di calcolo ripartite negli elementi del giunto				
Momento assorbito dalle ali	Mf,Ed	17225,09	12628,67	[kNm]
Forza normale assorbita dalla ala sup	Nf,Ed	-4585,47	-3331,65	[kN]
Forza normale assorbita dalla ala inf	Nf,Ed	12021,92	8869,43	[kN]

Ripartizione delle azioni sull'anima				
Forza di taglio assorbita dall'anima	Vw,Ed	2057,46	1521,91	[kN]
Forza normale assorbita dall'anima	Nw,Ed	1636,51	FALSO	[kN]
Momento assorbito dall'anima	Mw,Ed	3586,33	2629,34	[kNm]

VERIFICA COPRIGIUNTO ALA SUPERIORE

CARATTERISTICHE DEL COPRIGIUNTO E DEI BULLONI D'ALA

Diametro del bullone	d	27	[mm]
Diametro del foro	d ₀	28	[mm]
Area del gambo filettato	A _s	459	[mm ²]
Numero di bulloni su metà giunto	nb	32	[-]
Numero di bulloni trasversali	nb _{,trasv}	4	[-]
Numero piani di taglio per bullone	n	2	[-]
Distanza bullone dal bordo lungo asse trave	e1	55	[mm]
Distanza bullone dal bordo trasversale asse trave	e2	55	[mm]
Passo bulloni in direzione asse trave	p1	80	[mm]
Passo bulloni in direzione trasversale asse trave	p2	100	[mm]
Passo bulloni in direzione asse trave prossimi alla linea dei concii	p3	110	[mm]
Distanza dal bordo bulloni prossimi alla linea dei concii	e'1	50	[mm]
Distanza dal bordo interno bulloni coprigiunto interno	e'2	50	[mm]
Distanza trasversale bulloni prossimi ad asse trave	e3	200	[mm]
Resistenza a rottura del bullone	f _{tb}	1000	[MPa]

CARATTERISTICHE GEOMETRICHE DEL COPRIGIUNTO

**Nuova viabilità – Ponte stradale
 Relazione di calcolo impalcato**

COMMESSA	LOTTO	CODIFICA	DOCUMENTO	REV.	FOGLIO
IV01	00	D 09 CL	NVX309001	B	89 di 144

Lunghezza del coprighiunto esterno	Lc	1340	[mm]
Larghezza del coprighiunto esterno	bc	510	[mm]
Spessore del coprighiunto esterno	tc	35	[mm]
Lunghezza del coprighiunto interno	Lc	1340	[mm]
Larghezza del coprighiunto interno	b'c	205	[mm]
Spessore del coprighiunto interno	tc	35	[mm]
Resistenza a snervamento dell'acciaio	f _{yk}	355	[MPa]
Resistenza a rottura dell'acciaio	f _{tk}	510	[MPa]

Resistenza del giunto offerta dai bulloni

Coefficiente di riduzione per la resistenza a taglio	α	0,5	[-]
Coefficiente di attrito tra piastre per scorrimento	μ	0,45	[-]
Resistenza a taglio per ciascun piano di taglio	F _{v,Rd}	183,60	[kN]
Coefficiente di riduzione per la lunghezza del giunto	bLf	0,96	[-]
Coefficiente di riduzione adottato min(0,75;bLf)	bLf,ad	0,96	[-]
Coefficiente riduzione per la resistenza a scorrimento	0,7 μ	0,32	[-]
Resistenza a scorrimento per ciascun piano di taglio	F _{v,Rd}	119,49	[-]
Resistenza a taglio globale dei bulloni	F _{1j,Rd sup SLU}	11293,4	[kN]
Resistenza a scorrimento globale dei bulloni	F _{1j,Rd sup SCO}	7350,1	[kN]

Resistenza della sezione netta delle ali

Area della sezione netta della ala superiore	A _{f,net}	20580,00	[mm ²]
Resistenza sezione netta ala superiore	F _{t,net,Rd s}	7556,98	[kN]

Resistenza a rifollamento delle ali

Coefficiente di riduzione per geometria	α _g	0,60	[-]
Resistenza di ogni singolo bullone ala sup	F _{b,Rd s}	573,75	[kN]
Resistenza a rifollamento ala superiore	F _{3j,Rd}	18360,00	[kN]

Resistenza a rifollamento dei coprighiunti

Coefficiente di riduzione per geometria	α _c	0,65	[-]
Resistenza di ogni singolo bullone	F _{b,c,Rd}	1262,25	[kN]
Resistenza a rifollamento coprighiunto d'ala superiore	F _{4j,Rd}	80784,00	[kN]

Resistenza della sezione lorda dei coprighiunti

Area della sezione lorda dei coprighiunti	A _c	32200,00	[mm ²]
Massima trazione coprighiunti superiori	F _{t,c,Rd}	10886,67	[kN]

Resistenza della sezione netta dei coprighiunti

Area della sezione netta dei coprighiunti	A _{c,net}	24360,00	[mm ²]
Massima trazione assunta dai coprighiunti	F _{t,c,net,Rd}	8944,99	[kN]

VERIFICA COPRIGIUNTO ALA INFERIORE
CARATTERISTICHE DEL COPRIGIUNTO E DEI BULLONI D'ALA

Diametro del bullone	d	27	[mm]
Diametro del foro	d ₀	28	[mm]
Area del gambo filettato	A _s	459	[mm ²]
Numero di bulloni su metà giunto	nb	48	[-]
Numero di bulloni trasversali	nb _{,trasv}	6	[-]
Numero piani di taglio per bullone	n	2	[-]
Distanza bullone dal bordo lungo asse trave	e1	55	[mm]
Distanza bullone dal bordo trasversale asse trave	e2	55	[mm]
Passo bulloni in direzione asse trave	p1	80	[mm]
Passo bulloni in direzione trasversale asse trave	p2	100	[mm]
Passo bulloni in direzione asse trave prossimi alla linea dei conci	p3	110	[mm]
Distanza dal bordo bulloni prossimi alla linea dei conci	e'1	50	[mm]
Distanza dal bordo interno bulloni coprighiunto interno	e'2	50	[mm]
Distanza trasversale bulloni prossimi ad asse trave	e3	200	[mm]
Resistenza a rottura del bullone	f _{tb}	1000	[MPa]

CARATTERISTICHE GEOMETRICHE DEL COPRIGIUNTO

Nuova viabilità – Ponte stradale
Relazione di calcolo impalcato

COMMESSA	LOTTO	CODIFICA	DOCUMENTO	REV.	FOGLIO
IV01	00	D 09 CL	NVX309001	B	90 di 144

Lunghezza del coprighiunto esterno	Lc	1340	[mm]
Larghezza del coprighiunto esterno	bc	710	[mm]
Spessore del coprighiunto esterno	tc	40	[mm]
Lunghezza del coprighiunto interno	Lc	1340	[mm]
Larghezza del coprighiunto interno	b'c	305	[mm]
Spessore del coprighiunto interno	tc	40	[mm]
Resistenza a snervamento dell'acciaio	f _{yk}	355	[MPa]
Resistenza a rottura dell'acciaio	f _{tk}	510	[MPa]

Resistenza del giunto offerta dai bulloni

Coefficiente di riduzione per la resistenza a taglio	α	0,5	[-]
Coefficiente di attrito tra piastre per scorrimento	μ	0,45	[-]
Resistenza a taglio per ciascun piano di taglio	F _{v,Rd}	183,60	[kN]
Coefficiente di riduzione per la lunghezza del giunto	bLf	0,96	[-]
Coefficiente di riduzione adottato min(0,75;bLf)	bLf,ad	0,96	[-]
Coefficiente riduzione per la resistenza a scorrimento	0,7 μ	0,32	[-]
Resistenza a scorrimento per ciascun piano di taglio	F _{v,Rd}	119,49	[-]
Resistenza a taglio globale dei bulloni	F _{1j,Rd sup SLU}	16940,2	[kN]
Resistenza a scorrimento globale dei bulloni	F _{1j,Rd sup SCO}	11025,1	[kN]

Resistenza della sezione netta delle ali

Area della sezione netta della ala inferiore	A _{f,net}	36600,00	[mm ²]
Resistenza sezione netta ala inferiore	F _{t,net,Rd i}	13439,52	[kN]

Resistenza a rifollamento delle ali

Coefficiente di riduzione per geometria	α _g	0,60	[-]
Resistenza di ogni singolo bullone ala inf	F _{b,Rd i}	819,64	[kN]
Resistenza a rifollamento ala inferiore	F _{3j,Rd}	39342,86	[kN]

Resistenza a rifollamento dei coprighiunti

Coefficiente di riduzione per geometria	α _c	0,65	[-]
Resistenza di ogni singolo bullone	F _{b,c,Rd}	1442,57	[kN]
Resistenza a rifollamento coprighiunto d'ala inferiore	F _{4j,Rd}	138486,86	[kN]

Resistenza della sezione lorda dei coprighiunti

Area della sezione lorda dei coprighiunti	A _c	52800,00	[mm ²]
Massima trazione coprighiunti inferiori	F _{t,c,Rd}	17851,43	[kN]

Resistenza della sezione netta dei coprighiunti

Area della sezione netta dei coprighiunti	A _{c,net}	39360,00	[mm ²]
Massima trazione assunta dai coprighiunti	F _{t,c,net,Rd}	14452,99	[kN]

VERIFICA COPRIGIUNTI D'ANIMA

Numero di sezioni resistenti	nv	2,00	[-]
Eccentricità di VSd	e	13,50	[cm]
Numero totale di bulloni	nb	63	[-]
Baricentro bullonatura	ZG,b	84,00	[cm]
Baricentro bullonatura	XG,b	13,50	[cm]
Ordinata massima	zb,max	80,00	[cm]
Ascissa massima	xb,max	8,00	[cm]
Momento d'inerzia bulloneria	J _{b,tot}	150528,00	[cm ²]

Sollecitazioni di calcolo ripartite negli elementi del giunto

		SLU	SLE	
Forza Normale di Calcolo	NSd	1636,51	0,00	[kN]
Forza di Taglio di Calcolo	VSd	2057,46	1521,91	[kN]
Momento flettente di Calcolo	MSd	3586,33	2629,34	[kNm]
Momento torcente parassita	TSd	27776	20546	[kNcm]
Momento totale di calcolo	M _{tot,Sd}	386409	283480	[kNcm]
Taglio in z dovuto a Vsd	V _{bz,V}	16,33	12,08	[kN]
Taglio in x dovuto a Nsd	V _{bx,N}	12,99	0,00	[kN]
Taglio in z dovuto a Msd,tot	V _{bz,M}	10,27	7,53	[kN]

**Nuova viabilità – Ponte stradale
 Relazione di calcolo impalcato**

COMMESSA	LOTTO	CODIFICA	DOCUMENTO	REV.	FOGLIO
IVOI	00	D 09 CL	NVX309001	B	91 di 144

Taglio in x dovuto a Msd,tot	Vbx,M	102,68	75,33	[kN]
Reazione per sezione di taglio	Rb,tot	119	78	[kN]
Verifica dei bulloni				
Coefficiente di riduzione per la resistenza a taglio	α		0,50	[-]
Resistenza a taglio per ciascun piano di taglio	Fv,Rd SLU		183,60	[kN]
Coefficiente riduzione per la resistenza a scorrimento	0,7 μ		0,32	[-]
Resistenza a scorrimento per ciascun piano di taglio	Fv,Rd		119,49	[kN]
Azione sollecitante per taglio	Fv,Ed SLU		118,69	[kN]
Azione sollecitante per scorrimento	Fv,Ed SLE		78	[kN]
Verifica a rifollamento dell'anima della trave				
Azione di rifollamento in direzione verticale	Fbz,Ed		53,19	[kN]
Azione di rifollamento in direzione orizzontale	Fby,Ed		231,34	[kN]
Coefficiente di riduzione per geometria verticale	az		0,702	[-]
Coefficiente di riduzione per geometria orizzontale	ax		0,536	[-]
Resistenza a rifollamento verticale	Fbz,Rd		348,18	[kN]
Resistenza a rifollamento orizzontale	Fby,Rd		265,56	[kN]
Verifica a rifollamento dei coprigiunti				
Azione di rifollamento in direzione verticale	Fbz,Ed		53,19	[kN]
Azione di rifollamento in direzione orizzontale	Fby,Ed		231,34	[kN]
Coefficiente di riduzione per geometria verticale	az		0,595	[-]
Coefficiente di riduzione per geometria orizzontale	ax		0,595	[-]
Resistenza a rifollamento verticale	Fbz,Rd		491,79	[kN]
Resistenza a rifollamento orizzontale	Fby,Rd		491,79	[kN]
Verifica della sezione lorda dei coprigiunti				
Modulo di resistenza plastico dei coprigiunti	Wc,pl		21675000	[mm ³]
Area di taglio dei coprigiunti	Ac,v		51000	[mm ²]
Momento resistente dei coprigiunti	Mc,pl,Rd		6995,113636	[kNm]
Taglio resistente dei coprigiunti	Vc,pl,Rd		9502,66	[kN]
Momento plastico trasferito all'anima della trave	Mw,pl,Rd		3586,33	[kNm]
Taglio sollecitante di progetto	VEd		2057,4585	[kN]
Verifica della sezione netta dei coprigiunti				
Modulo di resistenza netto dei coprigiunti	Wc,net,pl		16567800	[mm ³]
Area di taglio netta dei coprigiunti	Ac,v		33360	[mm ²]
Momento resistente dei coprigiunti	Mc,pl,Rd		6759,66	[kNm]
Taglio resistente dei coprigiunti	Vc,pl,Rd		7858,25	[kN]
Momento plastico trasferito all'anima della trave	Mw,pl,Rd		3586,33	[kNm]
SINTESI DELLE VERIFICHE NEL GIUNTO				
Verifica delle giunzioni d'ala superiore ed inferiore				
Resistenza bulloni a taglio ala superiore	η	40,60%	[-]	OK
Resistenza bulloni a taglio ala inferiore	η	70,97%	[-]	OK
Resistenza sezione netta ala superiore	η	60,68%	[-]	OK
Resistenza sezione netta ala inferiore	η	89,45%	[-]	OK
Massima trazione coprigiunti superiori	η	42,12%	[-]	OK
Massima trazione coprigiunti inferiori	η	67,34%	[-]	OK
Trazione area netta coprigiunti superiori	η	51,26%	[-]	OK
Trazione area netta coprigiunti inferiori	η	83,18%	[-]	OK
Resistenza bulloni a scorrimento ala superiore	η	45,33%	[-]	OK
Resistenza bulloni a scorrimento ala inferiore	η	80,45%	[-]	OK
Resistenza a rifollamento ala superiore	η	48,31%	[-]	OK
Resistenza a rifollamento ala inferiore	η	22,54%	[-]	OK
Resistenza a rifollamento coprigiunto d'ala superiore	η	10,98%	[-]	OK
Resistenza a rifollamento coprigiunto d'ala inferiore	η	6,40%	[-]	OK
Tasso di lavoro massimo	η	89,45%	[-]	OK

Verifica della giunzione d'anima				
Verifica a taglio dei bulloni	η	64,64%	[-]	OK
Verifica a scorrimento	η	65,14%	[-]	OK
Verifica a rifollamento dell'anima della trave	η	15,28%	[-]	OK
	η	87,11%	[-]	OK
Verifica a rifollamento dei coprigiunti	η	10,82%	[-]	OK
	η	47,04%	[-]	OK
Verifica della sezione lorda dei coprigiunti	η_{MOMENTO}	51,27%	[-]	OK
	η_{TAGLIO}	21,65%	[-]	OK
Verifica della sezione netta dei coprigiunti	η_{MOMENTO}	53,05%	[-]	OK
	η_{TAGLIO}	26,18%	[-]	OK
Tasso di lavoro massimo	η	87,11%		OK

VERIFICA GIUNTO BULLONATO					
		: CONCIO	A	4_xi=12_xj=13,5	
Elemento :	4_xi=12_xj=13,5		27	OK	0 0
Combinazione :	Mmax		27	OK	0 0
Concio :	A		27	OK	0 0
Effetti primari :	assenti				

SFORZO NORMALE SU CONCIO METALLICO :

Nsdconcio

SLU	SLE	
8476,06	6291,57	[kN]
22119,54	16309,27	[kNm]

MOMENTO FLETTENTE SU CONCIO METALLICO :

Msdconcio

Ripartizione delle azioni sulle ali			
Momento d'inerzia del profilo	I_y	1,10004E+11	[mm ⁴]
Momento d'inerzia delle ali	$I_{y,ali}$	8,94E+10	[mm ⁴]
Area del profilo	A	111170	[mm ²]
Area della ala superiore	Aala sup	24500	[mm ²]
Area della ala inferiore	Aala inf	45000	[mm ²]

Sollecitazioni di calcolo ripartite negli elementi del giunto				
Momento assorbito dalle ali	Mf,Ed	17973,02	13251,94	[kNm]
Forza normale assorbita dalla ala sup	Nf,Ed	-5002,94	-3679,54	[kN]
Forza normale assorbita dalla ala inf	Nf,Ed	12142,84	8970,19	[kN]

Ripartizione delle azioni sull'anima				
Forza di taglio assorbita dall'anima	Vw,Ed	2057,46	1521,91	[kN]
Forza normale assorbita dall'anima	Nw,Ed	1336,17	FALSO	[kN]
Momento assorbito dall'anima	Mw,Ed	3742,05	2759,11	[kNm]

VERIFICA COPRIGIUNTO ALA SUPERIORE
CARATTERISTICHE DEL COPRIGIUNTO E DEI BULLONI D'ALA

Diametro del bullone	d	27	[mm]
Diametro del foro	d ₀	28	[mm]
Area del gambo filettato	A _s	459	[mm ²]
Numero di bulloni su metà giunto	nb	32	[-]
Numero di bulloni trasversali	nb _{trasv}	4	[-]
Numero piani di taglio per bullone	n	2	[-]
Distanza bullone dal bordo lungo asse trave	e1	55	[mm]
Distanza bullone dal bordo trasversale asse trave	e2	55	[mm]
Passo bulloni in direzione asse trave	p1	80	[mm]
Passo bulloni in direzione trasversale asse trave	p2	100	[mm]

**Nuova viabilità – Ponte stradale
 Relazione di calcolo impalcato**

COMMESSA	LOTTO	CODIFICA	DOCUMENTO	REV.	FOGLIO
IV01	00	D 09 CL	NVX309001	B	93 di 144

Passo bulloni in direzione asse trave prossimi alla linea dei concii	p3	110	[mm]
Distanza dal bordo bulloni prossimi alla linea dei concii	e'1	50	[mm]
Distanza dal bordo interno bulloni coprigiunto interno	e'2	50	[mm]
Distanza trasversale bulloni prossimi ad asse trave	e3	200	[mm]
Resistenza a rottura del bullone	f _{tb}	1000	[MPa]

CARATTERISTICHE GEOMETRICHE DEL COPRIGIUNTO

Lunghezza del coprigiunto esterno	Lc	1340	[mm]
Larghezza del coprigiunto esterno	bc	510	[mm]
Spessore del coprigiunto esterno	tc	35	[mm]
Lunghezza del coprigiunto interno	Lc	1340	[mm]
Larghezza del coprigiunto interno	b'c	205	[mm]
Spessore del coprigiunto interno	tc	35	[mm]
Resistenza a snervamento dell'acciaio	f _{yk}	355	[MPa]
Resistenza a rottura dell'acciaio	f _{tk}	510	[MPa]

Resistenza del giunto offerta dai bulloni

Coefficiente di riduzione per la resistenza a taglio	α	0,5	[-]
Coefficiente di attrito tra piastre per scorrimento	μ	0,45	[-]
Resistenza a taglio per ciascun piano di taglio	Fv,Rd	183,60	[kN]
Coefficiente di riduzione per la lunghezza del giunto	bLf	0,96	[-]
Coefficiente di riduzione adottato min(0,75;bLf)	bLf,ad	0,96	[-]
Coefficiente riduzione per la resistenza a scorrimento	0,7 μ	0,32	[-]
Resistenza a scorrimento per ciascun piano di taglio	Fv,Rd	119,49	[-]
Resistenza a taglio globale dei bulloni	F1j,Rd sup SLU	11293,4	[kN]
Resistenza a scorrimento globale dei bulloni	F1j,Rd sup SCO	7350,1	[kN]

Resistenza della sezione netta delle ali

Area della sezione netta della ala superiore	Af,net	20580,00	[mm ²]
Resistenza sezione netta ala superiore	Ft,net,Rd s	7556,98	[kN]

Resistenza a rifollamento delle ali

Coefficiente di riduzione per geometria	αg	0,60	[-]
Resistenza di ogni singolo bullone ala sup	Fb,Rd s	573,75	[kN]
Resistenza a rifollamento ala superiore	F3j,Rd	18360,00	[kN]

Resistenza a rifollamento dei coprigiunti

Coefficiente di riduzione per geometria	αc	0,65	[-]
Resistenza di ogni singolo bullone	Fb,c,Rd	1262,25	[kN]
Resistenza a rifollamento coprigiunto d'ala superiore	F4j,Rd	80784,00	[kN]

Resistenza della sezione lorda dei coprigiunti

Area della sezione lorda dei coprigiunti	Ac	32200,00	[mm ²]
Massima trazione coprigiunti superiori	Ft,c,Rd	10886,67	[kN]

Resistenza della sezione netta dei coprigiunti

Area della sezione netta dei coprigiunti	Ac,net	24360,00	[mm ²]
Massima trazione assunta dai coprigiunti	Ft,c,net,Rd	8944,99	[kN]

VERIFICA COPRIGIUNTO ALA INFERIORE
CARATTERISTICHE DEL COPRIGIUNTO E DEI BULLONI D'ALA

Diametro del bullone	d	27	[mm]
Diametro del foro	d _o	28	[mm]
Area del gambo filettato	As	459	[mm ²]
Numero di bulloni su metà giunto	nb	48	[-]
Numero di bulloni trasversali	nb _{trasv}	6	[-]
Numero piani di taglio per bullone	n	2	[-]
Distanza bullone dal bordo lungo asse trave	e1	55	[mm]
Distanza bullone dal bordo trasversale asse trave	e2	55	[mm]
Passo bulloni in direzione asse trave	p1	80	[mm]
Passo bulloni in direzione trasversale asse trave	p2	100	[mm]

Nuova viabilità – Ponte stradale
Relazione di calcolo impalcato

COMMESSA	LOTTO	CODIFICA	DOCUMENTO	REV.	FOGLIO
IV01	00	D 09 CL	NVX309001	B	94 di 144

Passo bulloni in direzione asse trave prossimi alla linea dei concii	p3	110	[mm]
Distanza dal bordo bulloni prossimi alla linea dei concii	e'1	50	[mm]
Distanza dal bordo interno bulloni coprigiunto interno	e'2	50	[mm]
Distanza trasversale bulloni prossimi ad asse trave	e3	200	[mm]
Resistenza a rottura del bullone	f _{tb}	1000	[MPa]

CARATTERISTICHE GEOMETRICHE DEL COPRIGIUNTO

Lunghezza del coprigiunto esterno	Lc	1340	[mm]
Larghezza del coprigiunto esterno	bc	710	[mm]
Spessore del coprigiunto esterno	tc	40	[mm]
Lunghezza del coprigiunto interno	Lc	1340	[mm]
Larghezza del coprigiunto interno	b'c	305	[mm]
Spessore del coprigiunto interno	tc	40	[mm]
Resistenza a snervamento dell'acciaio	f _{yk}	355	[MPa]
Resistenza a rottura dell'acciaio	f _{tk}	510	[MPa]

Resistenza del giunto offerta dai bulloni

Coefficiente di riduzione per la resistenza a taglio	α	0,5	[-]
Coefficiente di attrito tra piastre per scorrimento	μ	0,45	[-]
Resistenza a taglio per ciascun piano di taglio	Fv,Rd	183,60	[kN]
Coefficiente di riduzione per la lunghezza del giunto	bLf	0,96	[-]
Coefficiente di riduzione adottato min(0,75;bLf)	bLf,ad	0,96	[-]
Coefficiente riduzione per la resistenza a scorrimento	0,7 μ	0,32	[-]
Resistenza a scorrimento per ciascun piano di taglio	Fv,Rd	119,49	[-]
Resistenza a taglio globale dei bulloni	F1j,Rd sup SLU	16940,2	[kN]
Resistenza a scorrimento globale dei bulloni	F1j,Rd sup SCO	11025,1	[kN]

Resistenza della sezione netta delle ali

Area della sezione netta della ala inferiore	Af,net	36600,00	[mm ²]
Resistenza sezione netta ala inferiore	Ft,net,Rd i	13439,52	[kN]

Resistenza a rifollamento delle ali

Coefficiente di riduzione per geometria	αg	0,60	[-]
Resistenza di ogni singolo bullone ala inf	Fb,Rd i	819,64	[kN]
Resistenza a rifollamento ala inferiore	F3j,Rd	39342,86	[kN]

Resistenza a rifollamento dei coprigiunti

Coefficiente di riduzione per geometria	αc	0,65	[-]
Resistenza di ogni singolo bullone	Fb,c,Rd	1442,57	[kN]
Resistenza a rifollamento coprigiunto d'ala inferiore	F4j,Rd	138486,86	[kN]

Resistenza della sezione lorda dei coprigiunti

Area della sezione lorda dei coprigiunti	Ac	52800,00	[mm ²]
Massima trazione coprigiunti inferiori	Ft,c,Rd	17851,43	[kN]

Resistenza della sezione netta dei coprigiunti

Area della sezione netta dei coprigiunti	Ac,net	39360,00	[mm ²]
Massima trazione assunta dai coprigiunti	Ft,c,net,Rd	14452,99	[kN]

VERIFICA COPRIGIUNTI D'ANIMA

Numero di sezioni resistenti	nv	2,00	[-]
Eccentricità di VSd	e	13,50	[cm]
Numero totale di bulloni	nb	63	[-]
Baricentro bullonatura	ZG,b	84,00	[cm]
Baricentro bullonatura	XG,b	13,50	[cm]
Ordinata massima	zb,max	80,00	[cm]
Ascissa massima	xb,max	8,00	[cm]
Momento d'inerzia bulloneria	Jb,tot	150528,00	[cm ²]

Sollecitazioni di calcolo ripartite negli elementi del giunto

		SLU	SLE	
Forza Normale di Calcolo	NSd	1336,17	0,00	[kN]
Forza di Taglio di Calcolo	VSd	2057,46	1521,91	[kN]

Nuova viabilità – Ponte stradale
Relazione di calcolo impalcato

COMMESSA	LOTTO	CODIFICA	DOCUMENTO	REV.	FOGLIO
IV01	00	D 09 CL	NVX309001	B	95 di 144

Momento flettente di Calcolo	MSd	3742,05	2759,11	[kNm]
Momento torcente parassita	TSd	27776	20546	[kNcm]
Momento totale di calcolo	Mtot,Sd	401981	296456	[kNcm]
Taglio in z dovuto a Vsd	Vbz,V	16,33	12,08	[kN]
Taglio in x dovuto a Nsd	Vbx,N	10,60	0,00	[kN]
Taglio in z dovuto a Msd,tot	Vbz,M	10,68	7,88	[kN]
Taglio in x dovuto a Msd,tot	Vbx,M	106,82	78,78	[kN]
Reazione per sezione di taglio	Rb,tot	120	81	[kN]

Verifica dei bulloni

Coefficiente di riduzione per la resistenza a taglio	α	0,50	[-]
Resistenza a taglio per ciascun piano di taglio	Fv,Rd SLU	183,60	[kN]
Coefficiente riduzione per la resistenza a scorrimento	0,7 μ	0,32	[-]
Resistenza a scorrimento per ciascun piano di taglio	Fv,Rd	119,49	[kN]
Azione sollecitante per taglio	Fv,Ed SLU	120,49	[kN]
Azione sollecitante per scorrimento	Fv,Ed SLE	81	[kN]

Verifica a rifollamento dell'anima della trave

Azione di rifollamento in direzione verticale	Fbz,Ed	54,02	[kN]
Azione di rifollamento in direzione orizzontale	Fby,Ed	234,85	[kN]
Coefficiente di riduzione per geometria verticale	az	0,702	[-]
Coefficiente di riduzione per geometria orizzontale	ax	0,536	[-]
Resistenza a rifollamento verticale	Fbz,Rd	348,18	[kN]
Resistenza a rifollamento orizzontale	Fby,Rd	265,56	[kN]

Verifica a rifollamento dei coprigiunti

Azione di rifollamento in direzione verticale	Fbz,Ed	54,02	[kN]
Azione di rifollamento in direzione orizzontale	Fby,Ed	234,85	[kN]
Coefficiente di riduzione per geometria verticale	az	0,595	[-]
Coefficiente di riduzione per geometria orizzontale	ax	0,595	[-]
Resistenza a rifollamento verticale	Fbz,Rd	491,79	[kN]
Resistenza a rifollamento orizzontale	Fby,Rd	491,79	[kN]

Verifica della sezione lorda dei coprigiunti

Modulo di resistenza plastico dei coprigiunti	Wc,pl	21675000	[mm ³]
Area di taglio dei coprigiunti	Ac,v	51000	[mm ²]
Momento resistente dei coprigiunti	Mc,pl,Rd	6995,113636	[kNm]
Taglio resistente dei coprigiunti	Vc,pl,Rd	9502,66	[kN]
Momento plastico trasferito all'anima della trave	Mw,pl,Rd	3742,05	[kNm]
Taglio sollecitante di progetto	VEd	2057,4585	[kN]

Verifica della sezione netta dei coprigiunti

Modulo di resistenza netto dei coprigiunti	Wc,net,pl	16567800	[mm ³]
Area di taglio netta dei coprigiunti	Ac,v	33360	[mm ²]
Momento resistente dei coprigiunti	Mc,pl,Rd	6759,66	[kNm]
Taglio resistente dei coprigiunti	Vc,pl,Rd	7858,25	[kN]
Momento plastico trasferito all'anima della trave	Mw,pl,Rd	3742,05	[kNm]

SINTESI DELLE VERIFICHE NEL GIUNTO

Verifica delle giunzioni d'ala superiore ed inferiore

Resistenza bulloni a taglio ala superiore	η	44,30%	[-]	OK
Resistenza bulloni a taglio ala inferiore	η	71,68%	[-]	OK
Resistenza sezione netta ala superiore	η	66,20%	[-]	OK
Resistenza sezione netta ala inferiore	η	90,35%	[-]	OK
Massima trazione coprigiunti superiori	η	45,95%	[-]	OK
Massima trazione coprigiunti inferiori	η	68,02%	[-]	OK
Trazione area netta coprigiunti superiori	η	55,93%	[-]	OK
Trazione area netta coprigiunti inferiori	η	84,02%	[-]	OK

Nuova viabilità – Ponte stradale
Relazione di calcolo impalcato

COMMESSA	LOTTO	CODIFICA	DOCUMENTO	REV.	FOGLIO
IV01	00	D 09 CL	NVX309001	B	96 di 144

Resistenza bulloni a scorrimento ala superiore	η	50,06%	[-]	OK
Resistenza bulloni a scorrimento ala inferiore	η	81,36%	[-]	OK
Resistenza a rifollamento ala superiore	η	48,86%	[-]	OK
Resistenza a rifollamento ala inferiore	η	22,80%	[-]	OK
Resistenza a rifollamento coprigiunto d'ala superiore	η	11,10%	[-]	OK
Resistenza a rifollamento coprigiunto d'ala inferiore	η	6,48%	[-]	OK
Tasso di lavoro massimo	η	90,35%	[-]	OK

Verifica della giunzione d'anima

Verifica a taglio dei bulloni	η	65,63%	[-]	OK
Verifica a scorrimento	η	68,01%	[-]	OK
Verifica a rifollamento dell'anima della trave	η	15,52%	[-]	OK
	η	88,43%	[-]	OK
Verifica a rifollamento dei coprigiunti	η	10,98%	[-]	OK
	η	47,75%	[-]	OK
Verifica della sezione lorda dei coprigiunti	η MOMENTO	53,50%	[-]	OK
	η TAGLIO	21,65%	[-]	OK
Verifica della sezione netta dei coprigiunti	η MOMENTO	55,36%	[-]	OK
	η TAGLIO	26,18%	[-]	OK
Tasso di lavoro massimo	η	88,43%		OK

VERIFICA GIUNTO BULLONATO

 : CONCIO **B**

4 xi=12 xj=13,5

Elemento :	4_xi=12_xj=13,5	27	OK	0	0
Combinazione :	Mmax	27	OK	0	0
Concio :	B	27	OK	0	0
Effetti primari :	$\varepsilon \Delta T(-) + \varepsilon$ RITIRO				

SFORZO NORMALE SU CONCIO METALLICO :

Nsdconcio

SLU	SLE	
5033,90	3461,50	[kN]
27373,27	20645,54	[kNm]

MOMENTO FLETTENTE SU CONCIO METALLICO :

Msdconcio

Ripartizione delle azioni sulle ali

Momento d'inerzia del profilo	I_y	1,37279E+11	[mm ⁴]
Momento d'inerzia delle ali	$I_{y,ali}$	1,16E+11	[mm ⁴]
Area del profilo	A	133400	[mm ²]
Area della ala superiore	Aala sup	32000	[mm ²]
Area della ala inferiore	Aala inf	60000	[mm ²]

Sollecitazioni di calcolo ripartite negli elementi del giunto		SLU	SLE	
Momento assorbito dalle ali	Mf,Ed	23217,89	17511,46	[kNm]
Forza normale assorbita dalla ala sup	Nf,Ed	-7853,62	-6003,78	[kN]
Forza normale assorbita dalla ala inf	Nf,Ed	13389,67	9948,04	[kN]

Ripartizione delle azioni sull'anima		SLU	SLE	
Forza di taglio assorbita dall'anima	Vw,Ed	2057,46	1521,91	[kN]
Forza normale assorbita dall'anima	Nw,Ed	-502,15	FALSO	[kN]
Momento assorbito dall'anima	Mw,Ed	3639,13	2744,71	[kNm]

VERIFICA COPRIGIUNTO ALA SUPERIORE
CARATTERISTICHE DEL COPRIGIUNTO E DEI BULLONI D'ALA

Diametro del bullone	d	27	[mm]
Diametro del foro	d ₀	28	[mm]
Area del gambo filettato	As	459	[mm ²]

Nuova viabilità – Ponte stradale
Relazione di calcolo impalcato

COMMESSA	LOTTO	CODIFICA	DOCUMENTO	REV.	FOGLIO
IV01	00	D 09 CL	NVX309001	B	97 di 144

Numero di bulloni su metà giunto	nb	32	[-]
Numero di bulloni trasversali	nb _{trasy}	4	[-]
Numero piani di taglio per bullone	n	2	[-]
Distanza bullone dal bordo lungo asse trave	e1	55	[mm]
Distanza bullone dal bordo trasversale asse trave	e2	55	[mm]
Passo bulloni in direzione asse trave	p1	80	[mm]
Passo bulloni in direzione trasversale asse trave	p2	100	[mm]
Passo bulloni in direzione asse trave prossimi alla linea dei concii	p3	110	[mm]
Distanza dal bordo bulloni prossimi alla linea dei concii	e'1	50	[mm]
Distanza dal bordo interno bulloni coprigiunto interno	e'2	50	[mm]
Distanza trasversale bulloni prossimi ad asse trave	e3	200	[mm]
Resistenza a rottura del bullone	f _{tb}	1000	[MPa]

CARATTERISTICHE GEOMETRICHE DEL COPRIGIUNTO

Lunghezza del coprigiunto esterno	Lc	1340	[mm]
Larghezza del coprigiunto esterno	bc	510	[mm]
Spessore del coprigiunto esterno	tc	35	[mm]
Lunghezza del coprigiunto interno	Lc	1340	[mm]
Larghezza del coprigiunto interno	b'c	205	[mm]
Spessore del coprigiunto interno	tc	35	[mm]
Resistenza a snervamento dell'acciaio	f _{yk}	355	[MPa]
Resistenza a rottura dell'acciaio	f _{tk}	510	[MPa]

Resistenza del giunto offerta dai bulloni

Coefficiente di riduzione per la resistenza a taglio	α	0,5	[-]
Coefficiente di attrito tra piastre per scorrimento	μ	0,45	[-]
Resistenza a taglio per ciascun piano di taglio	Fv,Rd	183,60	[kN]
Coefficiente di riduzione per la lunghezza del giunto	bLf	0,96	[-]
Coefficiente di riduzione adottato min(0,75;bLf)	bLf,ad	0,96	[-]
Coefficiente riduzione per la resistenza a scorrimento	0,7 μ	0,32	[-]
Resistenza a scorrimento per ciascun piano di taglio	Fv,Rd	119,49	[-]
Resistenza a taglio globale dei bulloni	F1j,Rd sup SLU	11293,4	[kN]
Resistenza a scorrimento globale dei bulloni	F1j,Rd sup SCO	7350,1	[kN]

Resistenza della sezione netta delle ali

Area della sezione netta della ala superiore	Af,net	27520,00	[mm ²]
Resistenza sezione netta ala superiore	Ft,net,Rd s	10105,34	[kN]

Resistenza a rifollamento delle ali

Coefficiente di riduzione per geometria	α_g	0,60	[-]
Resistenza di ogni singolo bullone ala sup	Fb,Rd s	655,71	[kN]
Resistenza a rifollamento ala superiore	F3j,Rd	20982,86	[kN]

Resistenza a rifollamento dei coprigiunti

Coefficiente di riduzione per geometria	α_c	0,65	[-]
Resistenza di ogni singolo bullone	Fb,c,Rd	1262,25	[kN]
Resistenza a rifollamento coprigiunto d'ala superiore	F4j,Rd	80784,00	[kN]

Resistenza della sezione lorda dei coprigiunti

Area della sezione lorda dei coprigiunti	Ac	32200,00	[mm ²]
Massima trazione coprigiunti superiori	Ft,c,Rd	10886,67	[kN]

Resistenza della sezione netta dei coprigiunti

Area della sezione netta dei coprigiunti	Ac,net	24360,00	[mm ²]
Massima trazione assunta dai coprigiunti	Ft,c,net,Rd	8944,99	[kN]

VERIFICA COPRIGIUNTO ALA INFERIORE
CARATTERISTICHE DEL COPRIGIUNTO E DEI BULLONI D'ALA

Diametro del bullone	d	27	[mm]
Diametro del foro	d ₀	28	[mm]
Area del gambo filettato	As	459	[mm ²]

Nuova viabilità – Ponte stradale
Relazione di calcolo impalcato

COMMESSA	LOTTO	CODIFICA	DOCUMENTO	REV.	FOGLIO
IV01	00	D 09 CL	NVX309001	B	98 di 144

Numero di bulloni su metà giunto	nb	48	[-]
Numero di bulloni trasversali	nb _{trasy}	6	[-]
Numero piani di taglio per bullone	n	2	[-]
Distanza bullone dal bordo lungo asse trave	e1	55	[mm]
Distanza bullone dal bordo trasversale asse trave	e2	55	[mm]
Passo bulloni in direzione asse trave	p1	80	[mm]
Passo bulloni in direzione trasversale asse trave	p2	100	[mm]
Passo bulloni in direzione asse trave prossimi alla linea dei concii	p3	110	[mm]
Distanza dal bordo bulloni prossimi alla linea dei concii	e'1	50	[mm]
Distanza dal bordo interno bulloni coprigiunto interno	e'2	50	[mm]
Distanza trasversale bulloni prossimi ad asse trave	e3	200	[mm]
Resistenza a rottura del bullone	f _{tb}	1000	[MPa]

CARATTERISTICHE GEOMETRICHE DEL COPRIGIUNTO

Lunghezza del coprigiunto esterno	Lc	1340	[mm]
Larghezza del coprigiunto esterno	bc	710	[mm]
Spessore del coprigiunto esterno	tc	40	[mm]
Lunghezza del coprigiunto interno	Lc	1340	[mm]
Larghezza del coprigiunto interno	b'c	305	[mm]
Spessore del coprigiunto interno	tc	40	[mm]
Resistenza a snervamento dell'acciaio	f _{yk}	355	[MPa]
Resistenza a rottura dell'acciaio	f _{tk}	510	[MPa]

Resistenza del giunto offerta dai bulloni

Coefficiente di riduzione per la resistenza a taglio	α	0,5	[-]
Coefficiente di attrito tra piastre per scorrimento	μ	0,45	[-]
Resistenza a taglio per ciascun piano di taglio	Fv,Rd	183,60	[kN]
Coefficiente di riduzione per la lunghezza del giunto	bLf	0,96	[-]
Coefficiente di riduzione adottato min(0,75;bLf)	bLf,ad	0,96	[-]
Coefficiente riduzione per la resistenza a scorrimento	0,7 μ	0,32	[-]
Resistenza a scorrimento per ciascun piano di taglio	Fv,Rd	119,49	[-]
Resistenza a taglio globale dei bulloni	F1j,Rd sup SLU	16940,2	[kN]
Resistenza a scorrimento globale dei bulloni	F1j,Rd sup SCO	11025,1	[kN]

Resistenza della sezione netta delle ali

Area della sezione netta della ala inferiore	Af,net	49920,00	[mm ²]
Resistenza sezione netta ala inferiore	Ft,net,Rd i	18330,62	[kN]

Resistenza a rifollamento delle ali

Coefficiente di riduzione per geometria	α_g	0,60	[-]
Resistenza di ogni singolo bullone ala inf	Fb,Rd i	983,57	[kN]
Resistenza a rifollamento ala inferiore	F3j,Rd	47211,43	[kN]

Resistenza a rifollamento dei coprigiunti

Coefficiente di riduzione per geometria	α_c	0,65	[-]
Resistenza di ogni singolo bullone	Fb,c,Rd	1442,57	[kN]
Resistenza a rifollamento coprigiunto d'ala inferiore	F4j,Rd	138486,86	[kN]

Resistenza della sezione lorda dei coprigiunti

Area della sezione lorda dei coprigiunti	Ac	52800,00	[mm ²]
Massima trazione coprigiunti inferiori	Ft,c,Rd	17851,43	[kN]

Resistenza della sezione netta dei coprigiunti

Area della sezione netta dei coprigiunti	Ac,net	39360,00	[mm ²]
Massima trazione assunta dai coprigiunti	Ft,c,net,Rd	14452,99	[kN]

VERIFICA COPRIGIUNTI D'ANIMA

Numero di sezioni resistenti	nv	2,00	[-]
Eccentricità di VSd	e	13,50	[cm]
Numero totale di bulloni	nb	63	[-]
Baricentro bullonatura	ZG,b	84,00	[cm]

Nuova viabilità – Ponte stradale
Relazione di calcolo impalcato

COMMESSA	LOTTO	CODIFICA	DOCUMENTO	REV.	FOGLIO
IV01	00	D 09 CL	NVX309001	B	99 di 144

Baricentro bullonatura		XG,b	13,50	[cm]
Ordinata massima		zb,max	80,00	[cm]
Ascissa massima		xb,max	8,00	[cm]
Momento d'inerzia bulloneria		Jb,tot	150528,00	[cm ²]

Sollecitazioni di calcolo ripartite negli elementi del giunto		SLU	SLE	
Forza Normale di Calcolo	NSd	-502,15	0,00	[kN]
Forza di Taglio di Calcolo	VSd	2057,46	1521,91	[kN]
Momento flettente di Calcolo	MSd	3639,13	2744,71	[kNm]
Momento torcente parassita	TSd	27776	20546	[kNcm]
Momento totale di calcolo	Mtot,Sd	391688	295017	[kNcm]
Taglio in z dovuto a Vsd	Vbz,V	16,33	12,08	[kN]
Taglio in x dovuto a Nsd	Vbx,N	-3,99	0,00	[kN]
Taglio in z dovuto a Msd,tot	Vbz,M	10,41	7,84	[kN]
Taglio in x dovuto a Msd,tot	Vbx,M	104,08	78,40	[kN]
Reazione per sezione di taglio	Rb,tot	104	81	[kN]

Verifica dei bulloni

Coefficiente di riduzione per la resistenza a taglio	α	0,50	[-]
Resistenza a taglio per ciascun piano di taglio	Fv,Rd SLU	183,60	[kN]
Coefficiente riduzione per la resistenza a scorrimento	0,7 μ	0,32	[-]
Resistenza a scorrimento per ciascun piano di taglio	Fv,Rd	119,49	[kN]
Azione sollecitante per taglio	Fv,Ed SLU	103,61	[kN]
Azione sollecitante per scorrimento	Fv,Ed SLE	81	[kN]

Verifica a rifollamento dell'anima della trave

Azione di rifollamento in direzione verticale	Fbz,Ed	53,47	[kN]
Azione di rifollamento in direzione orizzontale	Fby,Ed	200,20	[kN]
Coefficiente di riduzione per geometria verticale	az	0,702	[-]
Coefficiente di riduzione per geometria orizzontale	ax	0,536	[-]
Resistenza a rifollamento verticale	Fbz,Rd	348,18	[kN]
Resistenza a rifollamento orizzontale	Fby,Rd	265,56	[kN]

Verifica a rifollamento dei coprigiunti

Azione di rifollamento in direzione verticale	Fbz,Ed	53,47	[kN]
Azione di rifollamento in direzione orizzontale	Fby,Ed	200,20	[kN]
Coefficiente di riduzione per geometria verticale	az	0,595	[-]
Coefficiente di riduzione per geometria orizzontale	ax	0,595	[-]
Resistenza a rifollamento verticale	Fbz,Rd	491,79	[kN]
Resistenza a rifollamento orizzontale	Fby,Rd	491,79	[kN]

Verifica della sezione lorda dei coprigiunti

Modulo di resistenza plastico dei coprigiunti	Wc,pl	21675000	[mm ³]
Area di taglio dei coprigiunti	Ac,v	51000	[mm ²]
Momento resistente dei coprigiunti	Mc,pl,Rd	6995,113636	[kNm]
Taglio resistente dei coprigiunti	Vc,pl,Rd	9502,66	[kN]
Momento plastico trasferito all'anima della trave	Mw,pl,Rd	3639,13	[kNm]
Taglio sollecitante di progetto	VEd	2057,4585	[kN]

Verifica della sezione netta dei coprigiunti

Modulo di resistenza netto dei coprigiunti	Wc,net,pl	16567800	[mm ³]
Area di taglio netta dei coprigiunti	Ac,v	33360	[mm ²]
Momento resistente dei coprigiunti	Mc,pl,Rd	6759,66	[kNm]
Taglio resistente dei coprigiunti	Vc,pl,Rd	7858,25	[kN]
Momento plastico trasferito all'anima della trave	Mw,pl,Rd	3639,13	[kNm]

SINTESI DELLE VERIFICHE NEL GIUNTO

Verifica delle giunzioni d'ala superiore ed inferiore

Resistenza bulloni a taglio ala superiore	η	69,54%	[-]	OK
Resistenza bulloni a taglio ala inferiore	η	79,04%	[-]	OK

**Nuova viabilità – Ponte stradale
 Relazione di calcolo impalcato**

COMMESSA	LOTTO	CODIFICA	DOCUMENTO	REV.	FOGLIO
IV01	00	D 09 CL	NVX309001	B	100 di 144

Resistenza sezione netta ala superiore	η	77,72%	[-]	OK
Resistenza sezione netta ala inferiore	η	73,05%	[-]	OK
Massima trazione coprigiunti superiori	η	72,14%	[-]	OK
Massima trazione coprigiunti inferiori	η	75,01%	[-]	OK
Trazione area netta coprigiunti superiori	η	87,80%	[-]	OK
Trazione area netta coprigiunti inferiori	η	92,64%	[-]	OK
Resistenza bulloni a scorrimento ala superiore	η	81,68%	[-]	OK
Resistenza bulloni a scorrimento ala inferiore	η	90,23%	[-]	OK
Resistenza a rifollamento ala superiore	η	47,41%	[-]	OK
Resistenza a rifollamento ala inferiore	η	21,07%	[-]	OK
Resistenza a rifollamento coprigiunto d'ala superiore	η	12,31%	[-]	OK
Resistenza a rifollamento coprigiunto d'ala inferiore	η	7,18%	[-]	OK
Tasso di lavoro massimo	η	92,64%	[-]	OK

Verifica della giunzione d'anima

Verifica a taglio dei bulloni	η	56,43%	[-]	OK
Verifica a scorrimento	η	67,69%	[-]	OK
Verifica a rifollamento dell'anima della trave	η	15,36%	[-]	OK
	η	75,39%	[-]	OK
Verifica a rifollamento dei coprigiunti	η	10,87%	[-]	OK
	η	40,71%	[-]	OK
Verifica della sezione lorda dei coprigiunti	$\eta_{MOMENTO}$	52,02%	[-]	OK
	η_{TAGLIO}	21,65%	[-]	OK
Verifica della sezione netta dei coprigiunti	$\eta_{MOMENTO}$	53,84%	[-]	OK
	η_{TAGLIO}	26,18%	[-]	OK
Tasso di lavoro massimo	η	75,39%		OK

VERIFICA GIUNTO BULLONATO		: CONCIO B		4 xi=12 xj=13,5	
Elemento :	4_xi=12_xj=13,5	27	OK	0	0
Combinazione :	Mmax	27	OK	0	0
Concio :	B	27	OK	0	0
Effetti primari :	$\varepsilon \Delta T(+)$				

SFORZO NORMALE SU CONCIO METALLICO

:

MOMENTO FLETTENTE SU CONCIO METALLICO :

	SLU	SLE	
Nsdconcio	8800,44	6600,29	[kN]
Msdconcio	21403,40	15670,65	[kNm]

Ripartizione delle azioni sulle ali

Momento d'inerzia del profilo	I_y	1,37279E+11	[mm ⁴]
Momento d'inerzia delle ali	$I_{y,ali}$	1,16E+11	[mm ⁴]
Area del profilo	A	133400	[mm ²]
Area della ala superiore	Aala sup	32000	[mm ²]
Area della ala inferiore	Aala inf	60000	[mm ²]

Sollecitazioni di calcolo ripartite negli elementi del giunto		SLU	SLE	
Momento assorbito dalle ali	Mf,Ed	18154,27	13291,78	[kNm]
Forza normale assorbita dalla ala sup	Nf,Ed	-4973,95	-3604,05	[kN]
Forza normale assorbita dalla ala inf	Nf,Ed	12657,38	9337,80	[kN]

Ripartizione delle azioni sull'anima		SLU	SLE	
Forza di taglio assorbita dall'anima	Vw,Ed	2057,46	1521,91	[kN]
Forza normale assorbita dall'anima	Nw,Ed	1117,00	FALSO	[kN]
Momento assorbito dall'anima	Mw,Ed	2845,46	2083,33	[kNm]

VERIFICA COPRIGIUNTO ALA SUPERIORE
CARATTERISTICHE DEL COPRIGIUNTO E DEI BULLONI D'ALA

Diametro del bullone	d	27	[mm]
Diametro del foro	d ₀	28	[mm]
Area del gambo filettato	A _s	459	[mm ²]
Numero di bulloni su metà giunto	nb	32	[-]
Numero di bulloni trasversali	nb _{,trasm}	4	[-]
Numero piani di taglio per bullone	n	2	[-]
Distanza bullone dal bordo lungo asse trave	e1	55	[mm]
Distanza bullone dal bordo trasversale asse trave	e2	55	[mm]
Passo bulloni in direzione asse trave	p1	80	[mm]
Passo bulloni in direzione trasversale asse trave	p2	100	[mm]
Passo bulloni in direzione asse trave prossimi alla linea dei concii	p3	110	[mm]
Distanza dal bordo bulloni prossimi alla linea dei concii	e'1	50	[mm]
Distanza dal bordo interno bulloni coprigiunto interno	e'2	50	[mm]
Distanza trasversale bulloni prossimi ad asse trave	e3	200	[mm]
Resistenza a rottura del bullone	f _{tb}	1000	[MPa]

CARATTERISTICHE GEOMETRICHE DEL COPRIGIUNTO

Lunghezza del coprigiunto esterno	L _c	1340	[mm]
Larghezza del coprigiunto esterno	bc	510	[mm]
Spessore del coprigiunto esterno	tc	35	[mm]
Lunghezza del coprigiunto interno	L _c	1340	[mm]
Larghezza del coprigiunto interno	b'c	205	[mm]
Spessore del coprigiunto interno	tc	35	[mm]
Resistenza a snervamento dell'acciaio	f _{yk}	355	[MPa]
Resistenza a rottura dell'acciaio	f _{tk}	510	[MPa]

Resistenza del giunto offerta dai bulloni

Coefficiente di riduzione per la resistenza a taglio	α	0,5	[-]
Coefficiente di attrito tra piastre per scorrimento	μ	0,45	[-]
Resistenza a taglio per ciascun piano di taglio	F _{v,Rd}	183,60	[kN]
Coefficiente di riduzione per la lunghezza del giunto	bL _f	0,96	[-]
Coefficiente di riduzione adottato min(0,75;bL _f)	bL _{f,ad}	0,96	[-]
Coefficiente riduzione per la resistenza a scorrimento	0,7 μ	0,32	[-]
Resistenza a scorrimento per ciascun piano di taglio	F _{v,Rd}	119,49	[-]
Resistenza a taglio globale dei bulloni	F _{1j,Rd sup SLU}	11293,4	[kN]
Resistenza a scorrimento globale dei bulloni	F _{1j,Rd sup SCO}	7350,1	[kN]

Resistenza della sezione netta delle ali

Area della sezione netta della ala superiore	A _{f,net}	27520,00	[mm ²]
Resistenza sezione netta ala superiore	F _{t,net,Rd s}	10105,34	[kN]

Resistenza a rifollamento delle ali

Coefficiente di riduzione per geometria	α _g	0,60	[-]
Resistenza di ogni singolo bullone ala sup	F _{b,Rd s}	655,71	[kN]
Resistenza a rifollamento ala superiore	F _{3j,Rd}	20982,86	[kN]

Resistenza a rifollamento dei coprigiunti

Coefficiente di riduzione per geometria	α _c	0,65	[-]
Resistenza di ogni singolo bullone	F _{b,c,Rd}	1262,25	[kN]
Resistenza a rifollamento coprigiunto d'ala superiore	F _{4j,Rd}	80784,00	[kN]

Resistenza della sezione lorda dei coprigiunti

Area della sezione lorda dei coprigiunti	A _c	32200,00	[mm ²]
Massima trazione coprigiunti superiori	F _{t,c,Rd}	10886,67	[kN]

Resistenza della sezione netta dei coprigiunti

Area della sezione netta dei coprigiunti	A _{c,net}	24360,00	[mm ²]
Massima trazione assunta dai coprigiunti	F _{t,c,net,Rd}	8944,99	[kN]

VERIFICA COPRIGIUNTO ALA INFERIORE

CARATTERISTICHE DEL COPRIGIUNTO E DEI BULLONI D'ALA

Diametro del bullone	d	27	[mm]
Diametro del foro	d ₀	28	[mm]
Area del gambo filettato	As	459	[mm ²]
Numero di bulloni su metà giunto	nb	48	[-]
Numero di bulloni trasversali	nb _{trasm}	6	[-]
Numero piani di taglio per bullone	n	2	[-]
Distanza bullone dal bordo lungo asse trave	e1	55	[mm]
Distanza bullone dal bordo trasversale asse trave	e2	55	[mm]
Passo bulloni in direzione asse trave	p1	80	[mm]
Passo bulloni in direzione trasversale asse trave	p2	100	[mm]
Passo bulloni in direzione asse trave prossimi alla linea dei conci	p3	110	[mm]
Distanza dal bordo bulloni prossimi alla linea dei conci	e'1	50	[mm]
Distanza dal bordo interno bulloni coprigiunto interno	e'2	50	[mm]
Distanza trasversale bulloni prossimi ad asse trave	e3	200	[mm]
Resistenza a rottura del bullone	f _{tb}	1000	[MPa]

CARATTERISTICHE GEOMETRICHE DEL COPRIGIUNTO

Lunghezza del coprigiunto esterno	Lc	1340	[mm]
Larghezza del coprigiunto esterno	bc	710	[mm]
Spessore del coprigiunto esterno	tc	40	[mm]
Lunghezza del coprigiunto interno	Lc	1340	[mm]
Larghezza del coprigiunto interno	b'c	305	[mm]
Spessore del coprigiunto interno	tc	40	[mm]
Resistenza a snervamento dell'acciaio	f _{yk}	355	[MPa]
Resistenza a rottura dell'acciaio	f _{tk}	510	[MPa]

Resistenza del giunto offerta dai bulloni

Coefficiente di riduzione per la resistenza a taglio	α	0,5	[-]
Coefficiente di attrito tra piastre per scorrimento	μ	0,45	[-]
Resistenza a taglio per ciascun piano di taglio	F _{v,Rd}	183,60	[kN]
Coefficiente di riduzione per la lunghezza del giunto	bLf	0,96	[-]
Coefficiente di riduzione adottato min(0,75;bLf)	bLf,ad	0,96	[-]
Coefficiente riduzione per la resistenza a scorrimento	0,7 μ	0,32	[-]
Resistenza a scorrimento per ciascun piano di taglio	F _{v,Rd}	119,49	[-]
Resistenza a taglio globale dei bulloni	F _{1j,Rd sup SLU}	16940,2	[kN]
Resistenza a scorrimento globale dei bulloni	F _{1j,Rd sup SCO}	11025,1	[kN]

Resistenza della sezione netta delle ali

Area della sezione netta della ala inferiore	A _{f,net}	49920,00	[mm ²]
Resistenza sezione netta ala inferiore	F _{t,net,Rd i}	18330,62	[kN]

Resistenza a rifollamento delle ali

Coefficiente di riduzione per geometria	α _g	0,60	[-]
Resistenza di ogni singolo bullone ala inf	F _{b,Rd i}	983,57	[kN]
Resistenza a rifollamento ala inferiore	F _{3j,Rd}	47211,43	[kN]

Resistenza a rifollamento dei coprigiunti

Coefficiente di riduzione per geometria	α _c	0,65	[-]
Resistenza di ogni singolo bullone	F _{b,c,Rd}	1442,57	[kN]
Resistenza a rifollamento coprigiunto d'ala inferiore	F _{4j,Rd}	138486,86	[kN]

Resistenza della sezione lorda dei coprigiunti

Area della sezione lorda dei coprigiunti	A _c	52800,00	[mm ²]
Massima trazione coprigiunti inferiori	F _{t,c,Rd}	17851,43	[kN]

Resistenza della sezione netta dei coprigiunti

Area della sezione netta dei coprigiunti	A _{c,net}	39360,00	[mm ²]
Massima trazione assunta dai coprigiunti	F _{t,c,net,Rd}	14452,99	[kN]

Nuova viabilità – Ponte stradale
Relazione di calcolo impalcato

COMMESSA	LOTTO	CODIFICA	DOCUMENTO	REV.	FOGLIO
IV01	00	D 09 CL	NVX309001	B	103 di 144

VERIFICA COPRIGIUNTI D'ANIMA

Numero di sezioni resistenti	nv	2,00	[-]
Eccentricità di VSd	e	13,50	[cm]
Numero totale di bulloni	nb	63	[-]
Baricentro bullonatura	ZG,b	84,00	[cm]
Baricentro bullonatura	XG,b	13,50	[cm]
Ordinata massima	zb,max	80,00	[cm]
Ascissa massima	xb,max	8,00	[cm]
Momento d'inerzia bulloneria	Jb,tot	150528,00	[cm ²]

Sollecitazioni di calcolo ripartite negli elementi del giunto

		SLU	SLE	
Forza Normale di Calcolo	NSd	1117,00	0,00	[kN]
Forza di Taglio di Calcolo	VSd	2057,46	1521,91	[kN]
Momento flettente di Calcolo	MSd	2845,46	2083,33	[kNm]
Momento torcente parassita	TSd	27776	20546	[kNcm]
Momento totale di calcolo	Mtot,Sd	312322	228878	[kNcm]
Taglio in z dovuto a Vsd	Vbz,V	16,33	12,08	[kN]
Taglio in x dovuto a Nsd	Vbx,N	8,87	0,00	[kN]
Taglio in z dovuto a Msd,tot	Vbz,M	8,30	6,08	[kN]
Taglio in x dovuto a Msd,tot	Vbx,M	82,99	60,82	[kN]
Reazione per sezione di taglio	Rb,tot	95	63	[kN]

Verifica dei bulloni

Coefficiente di riduzione per la resistenza a taglio	α	0,50	[-]
Resistenza a taglio per ciascun piano di taglio	Fv,Rd SLU	183,60	[kN]
Coefficiente riduzione per la resistenza a scorrimento	0,7 μ	0,32	[-]
Resistenza a scorrimento per ciascun piano di taglio	Fv,Rd	119,49	[kN]
Azione sollecitante per taglio	Fv,Ed SLU	95,10	[kN]
Azione sollecitante per scorrimento	Fv,Ed SLE	63	[kN]

Verifica a rifollamento dell'anima della trave

Azione di rifollamento in direzione verticale	Fbz,Ed	49,26	[kN]
Azione di rifollamento in direzione orizzontale	Fby,Ed	183,72	[kN]
Coefficiente di riduzione per geometria verticale	az	0,702	[-]
Coefficiente di riduzione per geometria orizzontale	ax	0,536	[-]
Resistenza a rifollamento verticale	Fbz,Rd	348,18	[kN]
Resistenza a rifollamento orizzontale	Fby,Rd	265,56	[kN]

Verifica a rifollamento dei coprigiunti

Azione di rifollamento in direzione verticale	Fbz,Ed	49,26	[kN]
Azione di rifollamento in direzione orizzontale	Fby,Ed	183,72	[kN]
Coefficiente di riduzione per geometria verticale	az	0,595	[-]
Coefficiente di riduzione per geometria orizzontale	ax	0,595	[-]
Resistenza a rifollamento verticale	Fbz,Rd	491,79	[kN]
Resistenza a rifollamento orizzontale	Fby,Rd	491,79	[kN]

Verifica della sezione lorda dei coprigiunti

Modulo di resistenza plastico dei coprigiunti	Wc,pl	21675000	[mm ³]
Area di taglio dei coprigiunti	Ac,v	51000	[mm ²]
Momento resistente dei coprigiunti	Mc,pl,Rd	6995,113636	[kNm]
Taglio resistente dei coprigiunti	Vc,pl,Rd	9502,66	[kN]
Momento plastico trasferito all'anima della trave	Mw,pl,Rd	2845,46	[kNm]
Taglio sollecitante di progetto	VEd	2057,4585	[kN]

Verifica della sezione netta dei coprigiunti

Modulo di resistenza netto dei coprigiunti	Wc,net,pl	16567800	[mm ³]
Area di taglio netta dei coprigiunti	Ac,v	33360	[mm ²]
Momento resistente dei coprigiunti	Mc,pl,Rd	6759,66	[kNm]
Taglio resistente dei	Vc,pl,Rd	7858,25	[kN]

**Nuova viabilità – Ponte stradale
 Relazione di calcolo impalcato**

COMMESSA	LOTTO	CODIFICA	DOCUMENTO	REV.	FOGLIO
IVOI	00	D 09 CL	NVX309001	B	104 di 144

coprigiunti

Momento plastico trasferito all'anima della trave

Mw,pl,Rd

2845,46

[kNm]

SINTESI DELLE VERIFICHE NEL GIUNTO
Verifica delle giunzioni d'ala superiore ed inferiore

Resistenza bulloni a taglio ala superiore	η	44,04%	[-]	OK
Resistenza bulloni a taglio ala inferiore	η	74,72%	[-]	OK
Resistenza sezione netta ala superiore	η	49,22%	[-]	OK
Resistenza sezione netta ala inferiore	η	69,05%	[-]	OK
Massima trazione coprigiunti superiori	η	45,69%	[-]	OK
Massima trazione coprigiunti inferiori	η	70,90%	[-]	OK
Trazione area netta coprigiunti superiori	η	55,61%	[-]	OK
Trazione area netta coprigiunti inferiori	η	87,58%	[-]	OK
Resistenza bulloni a scorrimento ala superiore	η	49,03%	[-]	OK
Resistenza bulloni a scorrimento ala inferiore	η	84,70%	[-]	OK
Resistenza a rifollamento ala superiore	η	44,50%	[-]	OK
Resistenza a rifollamento ala inferiore	η	19,78%	[-]	OK
Resistenza a rifollamento coprigiunto d'ala superiore	η	11,56%	[-]	OK
Resistenza a rifollamento coprigiunto d'ala inferiore	η	6,74%	[-]	OK
Tasso di lavoro massimo	η	87,58%	[-]	OK

Verifica della giunzione d'anima

Verifica a taglio dei bulloni	η	51,80%	[-]	OK
Verifica a scorrimento	η	53,12%	[-]	OK
Verifica a rifollamento dell'anima della trave	η	14,15%	[-]	OK
	η	69,18%	[-]	OK
Verifica a rifollamento dei coprigiunti	η	10,02%	[-]	OK
	η	37,36%	[-]	OK
Verifica della sezione lorda dei coprigiunti	η MOMENTO	40,68%	[-]	OK
	η TAGLIO	21,65%	[-]	OK
Verifica della sezione netta dei coprigiunti	η MOMENTO	42,09%	[-]	OK
	η TAGLIO	26,18%	[-]	OK
Tasso di lavoro massimo	η	69,18%		OK

VERIFICA GIUNTO BULLONATO

: CONCIO

B

4 xi=12 xj=13,5

Elemento :	4_xi=12_xj=13,5	27	OK	0	0
Combinazione :	Mmax	27	OK	0	0
Concio :	B	27	OK	0	0
Effetti primari :	assenti				

SFORZO NORMALE SU CONCIO METALLICO :

Nsdconcio

SLU	SLE
8099,44	6016,12

[kN]

MOMENTO FLETTENTE SU CONCIO METALLICO :

Msdconcio

22507,77
16590,96

[kNm]

Ripartizione delle azioni sulle ali

Momento d'inerzia del profilo	ly	1,37279E+11	[mm ⁴]
Momento d'inerzia delle ali	ly,ali	1,16E+11	[mm ⁴]
Area del profilo	A	133400	[mm ²]
Area della ala superiore	Aala sup	32000	[mm ²]
Area della ala inferiore	Aala inf	60000	[mm ²]

Sollecitazioni di calcolo ripartite negli elementi del giunto

		SLU	SLE	
Momento assorbito dalle ali	Mf,Ed	19091,00	14072,38	[kNm]

Nuova viabilità – Ponte stradale
Relazione di calcolo impalcato

COMMESSA	LOTTO	CODIFICA	DOCUMENTO	REV.	FOGLIO
IV01	00	D 09 CL	NVX309001	B	105 di 144

Forza normale assorbita dalla ala sup	Nf,Ed	-5507,67	-4048,83	[kN]
Forza normale assorbita dalla ala inf	Nf,Ed	12790,95	9449,11	[kN]

Ripartizione delle azioni sull'anima		SLU	SLE	
Forza di taglio assorbita dall'anima	Vw,Ed	2057,46	1521,91	[kN]
Forza normale assorbita dall'anima	Nw,Ed	816,16	FALSO	[kN]
Momento assorbito dall'anima	Mw,Ed	2992,29	2205,68	[kNm]

VERIFICA COPRIGIUNTO ALA SUPERIORE
CARATTERISTICHE DEL COPRIGIUNTO E DEI BULLONI D'ALA

Diametro del bullone	d	27	[mm]
Diametro del foro	d ₀	28	[mm]
Area del gambo filettato	As	459	[mm ²]
Numero di bulloni su metà giunto	nb	32	[-]
Numero di bulloni trasversali	nb _{trasy}	4	[-]
Numero piani di taglio per bullone	n	2	[-]
Distanza bullone dal bordo lungo asse trave	e1	55	[mm]
Distanza bullone dal bordo trasversale asse trave	e2	55	[mm]
Passo bulloni in direzione asse trave	p1	80	[mm]
Passo bulloni in direzione trasversale asse trave	p2	100	[mm]
Passo bulloni in direzione asse trave prossimi alla linea dei conci	p3	110	[mm]
Distanza dal bordo bulloni prossimi alla linea dei conci	e'1	50	[mm]
Distanza dal bordo interno bulloni coprigiunto interno	e'2	50	[mm]
Distanza trasversale bulloni prossimi ad asse trave	e3	200	[mm]
Resistenza a rottura del bullone	f _{tb}	1000	[MPa]

CARATTERISTICHE GEOMETRICHE DEL COPRIGIUNTO

Lunghezza del coprigiunto esterno	Lc	1340	[mm]
Larghezza del coprigiunto esterno	bc	510	[mm]
Spessore del coprigiunto esterno	tc	35	[mm]
Lunghezza del coprigiunto interno	Lc	1340	[mm]
Larghezza del coprigiunto interno	b'c	205	[mm]
Spessore del coprigiunto interno	tc	35	[mm]
Resistenza a snervamento dell'acciaio	f _{yk}	355	[MPa]
Resistenza a rottura dell'acciaio	f _{tk}	510	[MPa]

Resistenza del giunto offerta dai bulloni

Coefficiente di riduzione per la resistenza a taglio	α	0,5	[-]
Coefficiente di attrito tra piastre per scorrimento	μ	0,45	[-]
Resistenza a taglio per ciascun piano di taglio	Fv,Rd	183,60	[kN]
Coefficiente di riduzione per la lunghezza del giunto	bLf	0,96	[-]
Coefficiente di riduzione adottato min(0,75;bLf)	bLf,ad	0,96	[-]
Coefficiente riduzione per la resistenza a scorrimento	0,7 μ	0,32	[-]
Resistenza a scorrimento per ciascun piano di taglio	Fv,Rd	119,49	[-]
Resistenza a taglio globale dei bulloni	F1j,Rd sup SLU	11293,4	[kN]
Resistenza a scorrimento globale dei bulloni	F1j,Rd sup SCO	7350,1	[kN]

Resistenza della sezione netta delle ali

Area della sezione netta della ala superiore	Af,net	27520,00	[mm ²]
Resistenza sezione netta ala superiore	Ft,net,Rd s	10105,34	[kN]

Resistenza a rifollamento delle ali

Coefficiente di riduzione per geometria	αg	0,60	[-]
Resistenza di ogni singolo bullone ala sup	Fb,Rd s	655,71	[kN]
Resistenza a rifollamento ala superiore	F3j,Rd	20982,86	[kN]

Resistenza a rifollamento dei coprigiunti

Coefficiente di riduzione per geometria	αc	0,65	[-]
---	----	------	-----

Nuova viabilità – Ponte stradale
Relazione di calcolo impalcato

COMMESSA	LOTTO	CODIFICA	DOCUMENTO	REV.	FOGLIO
IVOI	00	D 09 CL	NVX309001	B	106 di 144

Resistenza di ogni singolo bullone Fb,c,Rd 1262,25 [kN]

Resistenza a rifollamento coprigiunto d'ala superiore F4j,Rd 80784,00 [kN]

Resistenza della sezione lorda dei coprigiunti - -

Area della sezione lorda dei coprigiunti Ac 32200,00 [mm²]

Massima trazione coprigiunti superiori Ft,c,Rd 10886,67 [kN]

Resistenza della sezione netta dei coprigiunti - -

Area della sezione netta dei coprigiunti Ac,net 24360,00 [mm²]

Massima trazione assunta dai coprigiunti Ft,c,net,Rd 8944,99 [kN]

VERIFICA COPRIGIUNTO ALA INFERIORE
CARATTERISTICHE DEL COPRIGIUNTO E DEI BULLONI D'ALA

Diametro del bullone	d	27	[mm]
Diametro del foro	d ₀	28	[mm]
Area del gambo filettato	As	459	[mm ²]
Numero di bulloni su metà giunto	nb	48	[-]
Numero di bulloni trasversali	nb _{,trasv}	6	[-]
Numero piani di taglio per bullone	n	2	[-]
Distanza bullone dal bordo lungo asse trave	e1	55	[mm]
Distanza bullone dal bordo trasversale asse trave	e2	55	[mm]
Passo bulloni in direzione asse trave	p1	80	[mm]
Passo bulloni in direzione trasversale asse trave	p2	100	[mm]
Passo bulloni in direzione asse trave prossimi alla linea dei conci	p3	110	[mm]
Distanza dal bordo bulloni prossimi alla linea dei conci	e'1	50	[mm]
Distanza dal bordo interno bulloni coprigiunto interno	e'2	50	[mm]
Distanza trasversale bulloni prossimi ad asse trave	e3	200	[mm]
Resistenza a rottura del bullone	f _{tb}	1000	[MPa]

CARATTERISTICHE GEOMETRICHE DEL COPRIGIUNTO

Lunghezza del coprigiunto esterno	Lc	1340	[mm]
Larghezza del coprigiunto esterno	bc	710	[mm]
Spessore del coprigiunto esterno	tc	40	[mm]
Lunghezza del coprigiunto interno	Lc	1340	[mm]
Larghezza del coprigiunto interno	b'c	305	[mm]
Spessore del coprigiunto interno	tc	40	[mm]
Resistenza a snervamento dell'acciaio	f _{yk}	355	[MPa]
Resistenza a rottura dell'acciaio	f _{tk}	510	[MPa]

Resistenza del giunto offerta dai bulloni - -

Coefficiente di riduzione per la resistenza a taglio α 0,5 [-]

Coefficiente di attrito tra piastre per scorrimento μ 0,45 [-]

Resistenza a taglio per ciascun piano di taglio Fv,Rd 183,60 [kN]

Coefficiente di riduzione per la lunghezza del giunto bLf 0,96 [-]

Coefficiente di riduzione adottato min(0,75;bLf) bLf,ad 0,96 [-]

Coefficiente riduzione per la resistenza a scorrimento 0,7 μ 0,32 [-]

Resistenza a scorrimento per ciascun piano di taglio Fv,Rd 119,49 [-]

Resistenza a taglio globale dei bulloni F1j,Rd sup SLU 16940,2 [kN]

Resistenza a scorrimento globale dei bulloni F1j,Rd sup SCO 11025,1 [kN]

Resistenza della sezione netta delle ali - -

Area della sezione netta della ala inferiore Af,net 49920,00 [mm²]

Resistenza sezione netta ala inferiore Ft,net,Rd i 18330,62 [kN]

Resistenza a rifollamento delle ali - -

Coefficiente di riduzione per geometria αg 0,60 [-]

Resistenza di ogni singolo bullone ala inf Fb,Rd i 983,57 [kN]

Resistenza a rifollamento ala inferiore F3j,Rd 47211,43 [kN]

Resistenza a rifollamento dei coprigiunti - -

Coefficiente di riduzione per geometria αc 0,65 [-]

Nuova viabilità – Ponte stradale
Relazione di calcolo impalcato

COMMESSA	LOTTO	CODIFICA	DOCUMENTO	REV.	FOGLIO
IV01	00	D 09 CL	NVX309001	B	107 di 144

Resistenza di ogni singolo bullone		Fb,c,Rd	1442,57	[kN]
Resistenza a rifollamento coprigiunto d'ala inferiore		F4j,Rd	138486,86	[kN]

Resistenza della sezione lorda dei coprigiunti - -

Area della sezione lorda dei coprigiunti		Ac	52800,00	[mm ²]
Massima trazione coprigiunti inferiori		Ft,c,Rd	17851,43	[kN]

Resistenza della sezione netta dei coprigiunti - -

Area della sezione netta dei coprigiunti		Ac,net	39360,00	[mm ²]
Massima trazione assunta dai coprigiunti		Ft,c,net,Rd	14452,99	[kN]

VERIFICA COPRIGIUNTI D'ANIMA

Numero di sezioni resistenti		nv	2,00	[-]
Eccentricità di VSd		e	13,50	[cm]
Numero totale di bulloni		nb	63	[-]
Baricentro bullonatura		ZG,b	84,00	[cm]
Baricentro bullonatura		XG,b	13,50	[cm]
Ordinata massima		zb,max	80,00	[cm]
Ascissa massima		xb,max	8,00	[cm]
Momento d'inerzia bulloneria		Jb,tot	150528,00	[cm ²]

Sollecitazioni di calcolo ripartite negli elementi del giunto

		SLU	SLE	
Forza Normale di Calcolo	NSd	816,16	0,00	[kN]
Forza di Taglio di Calcolo	VSd	2057,46	1521,91	[kN]
Momento flettente di Calcolo	MSd	2992,29	2205,68	[kNm]
Momento torcente parassita	TSd	27776	20546	[kNcm]
Momento totale di calcolo	Mtot,Sd	327004	241113	[kNcm]
Taglio in z dovuto a Vsd	Vbz,V	16,33	12,08	[kN]
Taglio in x dovuto a Nsd	Vbx,N	6,48	0,00	[kN]
Taglio in z dovuto a Msd,tot	Vbz,M	8,69	6,41	[kN]
Taglio in x dovuto a Msd,tot	Vbx,M	86,90	64,07	[kN]
Reazione per sezione di taglio	Rb,tot	97	67	[kN]

Verifica dei bulloni -

Coefficiente di riduzione per la resistenza a taglio	α	0,50	[-]
Resistenza a taglio per ciascun piano di taglio	Fv,Rd SLU	183,60	[kN]
Coefficiente riduzione per la resistenza a scorrimento	0,7 μ	0,32	[-]
Resistenza a scorrimento per ciascun piano di taglio	Fv,Rd	119,49	[kN]
Azione sollecitante per taglio	Fv,Ed SLU	96,67	[kN]
Azione sollecitante per scorrimento	Fv,Ed SLE	67	[kN]

Verifica a rifollamento dell'anima della trave -

Azione di rifollamento in direzione verticale	Fbz,Ed	50,04	[kN]
Azione di rifollamento in direzione orizzontale	Fby,Ed	186,75	[kN]
Coefficiente di riduzione per geometria verticale	az	0,702	[-]
Coefficiente di riduzione per geometria orizzontale	ax	0,536	[-]
Resistenza a rifollamento verticale	Fbz,Rd	348,18	[kN]
Resistenza a rifollamento orizzontale	Fby,Rd	265,56	[kN]

Verifica a rifollamento dei coprigiunti -

Azione di rifollamento in direzione verticale	Fbz,Ed	50,04	[kN]
Azione di rifollamento in direzione orizzontale	Fby,Ed	186,75	[kN]
Coefficiente di riduzione per geometria verticale	az	0,595	[-]
Coefficiente di riduzione per geometria orizzontale	ax	0,595	[-]
Resistenza a rifollamento verticale	Fbz,Rd	491,79	[kN]
Resistenza a rifollamento orizzontale	Fby,Rd	491,79	[kN]

Verifica della sezione lorda dei coprigiunti -

Modulo di resistenza plastico dei coprigiunti	Wc,pl	21675000	[mm ³]
Area di taglio dei coprigiunti	Ac,v	51000	[mm ²]
Momento resistente dei coprigiunti	Mc,pl,Rd	6995,113636	[kNm]

Nuova viabilità – Ponte stradale
Relazione di calcolo impalcato

COMMESSA	LOTTO	CODIFICA	DOCUMENTO	REV.	FOGLIO
IV01	00	D 09 CL	NVX309001	B	108 di 144

Taglio resistente dei coprigiunti	Vc,pl,Rd	9502,66	[kN]
Momento plastico trasferito all'anima della trave	Mw,pl,Rd	2992,29	[kNm]
Taglio sollecitante di progetto	VEd	2057,4585	[kN]

Verifica della sezione netta dei coprigiunti

Modulo di resistenza netto dei coprigiunti	Wc,net,pl	16567800	[mm ³]
Area di taglio netta dei coprigiunti	Ac,v	33360	[mm ²]
Momento resistente dei coprigiunti	Mc,pl,Rd	6759,66	[kNm]
Taglio resistente dei coprigiunti	Vc,pl,Rd	7858,25	[kN]
Momento plastico trasferito all'anima della trave	Mw,pl,Rd	2992,29	[kNm]

SINTESI DELLE VERIFICHE NEL GIUNTO
Verifica delle giunzioni d'ala superiore ed inferiore

Resistenza bulloni a taglio ala superiore	η	48,77%	[-]	OK
Resistenza bulloni a taglio ala inferiore	η	75,51%	[-]	OK
Resistenza sezione netta ala superiore	η	54,50%	[-]	OK
Resistenza sezione netta ala inferiore	η	69,78%	[-]	OK
Massima trazione coprigiunti superiori	η	50,59%	[-]	OK
Massima trazione coprigiunti inferiori	η	71,65%	[-]	OK
Trazione area netta coprigiunti superiori	η	61,57%	[-]	OK
Trazione area netta coprigiunti inferiori	η	88,50%	[-]	OK
Resistenza bulloni a scorrimento ala superiore	η	55,09%	[-]	OK
Resistenza bulloni a scorrimento ala inferiore	η	85,71%	[-]	OK
Resistenza a rifollamento ala superiore	η	45,03%	[-]	OK
Resistenza a rifollamento ala inferiore	η	20,01%	[-]	OK
Resistenza a rifollamento coprigiunto d'ala superiore	η	11,70%	[-]	OK
Resistenza a rifollamento coprigiunto d'ala inferiore	η	6,82%	[-]	OK
Tasso di lavoro massimo	η	88,50%	[-]	OK

Verifica della giunzione d'anima

Verifica a taglio dei bulloni	η	52,65%	[-]	OK
Verifica a scorrimento	η	55,81%	[-]	OK
Verifica a rifollamento dell'anima della trave	η	14,37%	[-]	OK
Verifica a rifollamento dei coprigiunti	η	70,32%	[-]	OK
Verifica a rifollamento dei coprigiunti	η	10,17%	[-]	OK
Verifica a rifollamento dei coprigiunti	η	37,97%	[-]	OK
Verifica della sezione lorda dei coprigiunti	η_{MOMENTO}	42,78%	[-]	OK
Verifica della sezione lorda dei coprigiunti	η_{TAGLIO}	21,65%	[-]	OK
Verifica della sezione netta dei coprigiunti	η_{MOMENTO}	44,27%	[-]	OK
Verifica della sezione netta dei coprigiunti	η_{TAGLIO}	26,18%	[-]	OK
Tasso di lavoro massimo	η	70,32%		OK

VERIFICA GIUNTO BULLONATO		CONCIO	A	11 xi=35 xj=40	
Elemento :	11_xi=35_xj=40	27	OK	0	0
Combinazione :	Mmax	27	OK	0	0
Concio :	A	27	OK	0	0
Effetti primari :	$\varepsilon \Delta T(-) + \varepsilon$ RITIRO				

SFORZO NORMALE SU CONCIO METALLICO

:

 Nsdconcio **4744,75** **3284,02** [kN]

MOMENTO FLETTENTE SU CONCIO METALLICO :

 Msdconcio **23615,01** **17812,49** [kNm]

Ripartizione delle azioni sulle ali

Nuova viabilità – Ponte stradale
Relazione di calcolo impalcato

COMMESSA	LOTTO	CODIFICA	DOCUMENTO	REV.	FOGLIO
IV01	00	D 09 CL	NVX309001	B	109 di 144

Momento d'inerzia del profilo	ly	1,10004E+11	[mm ⁴]
Momento d'inerzia delle ali	ly,ali	8,94E+10	[mm ⁴]
Area del profilo	A	111170	[mm ²]
Area della ala superiore	Aala sup	24500	[mm ²]
Area della ala inferiore	Aala inf	45000	[mm ²]

Sollecitazioni di calcolo ripartite negli elementi del giunto		SLU	SLE	
Momento assorbito dalle ali	Mf,Ed	19188,15	14473,36	[kNm]
Forza normale assorbita dalla ala sup	Nf,Ed	-6289,79	-4809,30	[kN]
Forza normale assorbita dalla ala inf	Nf,Ed	11221,45	8344,82	[kN]

Ripartizione delle azioni sull'anima		SLU	SLE	
Forza di taglio assorbita dall'anima	Vw,Ed	2433,97	1799,41	[kN]
Forza normale assorbita dall'anima	Nw,Ed	-186,91	FALSO	[kN]
Momento assorbito dall'anima	Mw,Ed	3995,05	3013,41	[kNm]

VERIFICA COPRIGIUNTO ALA SUPERIORE
CARATTERISTICHE DEL COPRIGIUNTO E DEI BULLONI D'ALA

Diametro del bullone	d	27	[mm]
Diametro del foro	d ₀	28	[mm]
Area del gambo filettato	As	459	[mm ²]
Numero di bulloni su metà giunto	nb	32	[-]
Numero di bulloni trasversali	nb _{trasv}	4	[-]
Numero piani di taglio per bullone	n	2	[-]
Distanza bullone dal bordo lungo asse trave	e1	55	[mm]
Distanza bullone dal bordo trasversale asse trave	e2	55	[mm]
Passo bulloni in direzione asse trave	p1	80	[mm]
Passo bulloni in direzione trasversale asse trave	p2	100	[mm]
Passo bulloni in direzione asse trave prossimi alla linea dei concii	p3	110	[mm]
Distanza dal bordo bulloni prossimi alla linea dei concii	e'1	50	[mm]
Distanza dal bordo interno bulloni coprigiunto interno	e'2	50	[mm]
Distanza trasversale bulloni prossimi ad asse trave	e3	200	[mm]
Resistenza a rottura del bullone	f _{tb}	1000	[MPa]

CARATTERISTICHE GEOMETRICHE DEL COPRIGIUNTO

Lunghezza del coprigiunto esterno	Lc	1340	[mm]
Larghezza del coprigiunto esterno	bc	510	[mm]
Spessore del coprigiunto esterno	tc	35	[mm]
Lunghezza del coprigiunto interno	Lc	1340	[mm]
Larghezza del coprigiunto interno	b'c	205	[mm]
Spessore del coprigiunto interno	tc	35	[mm]
Resistenza a snervamento dell'acciaio	f _{yk}	355	[MPa]
Resistenza a rottura dell'acciaio	f _{tk}	510	[MPa]

Resistenza del giunto offerta dai bulloni

Coefficiente di riduzione per la resistenza a taglio	α	0,5	[-]
Coefficiente di attrito tra piastre per scorrimento	μ	0,45	[-]
Resistenza a taglio per ciascun piano di taglio	Fv,Rd	183,60	[kN]
Coefficiente di riduzione per la lunghezza del giunto	bLf	0,96	[-]
Coefficiente di riduzione adottato min(0,75;bLf)	bLf,ad	0,96	[-]
Coefficiente riduzione per la resistenza a scorrimento	0,7 μ	0,32	[-]
Resistenza a scorrimento per ciascun piano di taglio	Fv,Rd	119,49	[-]
Resistenza a taglio globale dei bulloni	F1j,Rd sup SLU	11293,4	[kN]
Resistenza a scorrimento globale dei bulloni	F1j,Rd sup SCO	7350,1	[kN]

Resistenza della sezione netta delle ali

**Nuova viabilità – Ponte stradale
Relazione di calcolo impalcato**

COMMESSA	LOTTO	CODIFICA	DOCUMENTO	REV.	FOGLIO
IV01	00	D 09 CL	NVX309001	B	110 di 144

Area della sezione netta della ala superiore Af,net 20580,00 [mm²]

Resistenza sezione netta ala superiore Ft,net,Rd s 7556,98 [kN]

Resistenza a rifollamento delle ali

Coefficiente di riduzione per geometria αg 0,60 [-]

Resistenza di ogni singolo bullone ala sup Fb,Rd s 573,75 [kN]

Resistenza a rifollamento ala superiore F3j,Rd 18360,00 [kN]

Resistenza a rifollamento dei coprigiunti

Coefficiente di riduzione per geometria αc 0,65 [-]

Resistenza di ogni singolo bullone Fb,c,Rd 1262,25 [kN]

Resistenza a rifollamento coprigiunto d'ala superiore F4j,Rd 80784,00 [kN]

Resistenza della sezione lorda dei coprigiunti

Area della sezione lorda dei coprigiunti Ac 32200,00 [mm²]

Massima trazione coprigiunti superiori Ft,c,Rd 10886,67 [kN]

Resistenza della sezione netta dei coprigiunti

Area della sezione netta dei coprigiunti Ac,net 24360,00 [mm²]

Massima trazione assunta dai coprigiunti Ft,c,net,Rd 8944,99 [kN]

VERIFICA COPRIGIUNTO ALA INFERIORE

CARATTERISTICHE DEL COPRIGIUNTO E DEI BULLONI D'ALA

Diametro del bullone	d	27	[mm]
Diametro del foro	d ₀	28	[mm]
Area del gambo filettato	As	459	[mm ²]
Numero di bulloni su metà giunto	nb	48	[-]
Numero di bulloni trasversali	nb _{trasv}	6	[-]
Numero piani di taglio per bullone	n	2	[-]
Distanza bullone dal bordo lungo asse trave	e1	55	[mm]
Distanza bullone dal bordo trasversale asse trave	e2	55	[mm]
Passo bulloni in direzione asse trave	p1	80	[mm]
Passo bulloni in direzione trasversale asse trave	p2	100	[mm]
Passo bulloni in direzione asse trave prossimi alla linea dei conci	p3	110	[mm]
Distanza dal bordo bulloni prossimi alla linea dei conci	e'1	50	[mm]
Distanza dal bordo interno bulloni coprigiunto interno	e'2	50	[mm]
Distanza trasversale bulloni prossimi ad asse trave	e3	200	[mm]
Resistenza a rottura del bullone	f _{tb}	1000	[MPa]

CARATTERISTICHE GEOMETRICHE DEL COPRIGIUNTO

Lunghezza del coprigiunto esterno	Lc	1340	[mm]
Larghezza del coprigiunto esterno	bc	710	[mm]
Spessore del coprigiunto esterno	tc	40	[mm]
Lunghezza del coprigiunto interno	Lc	1340	[mm]
Larghezza del coprigiunto interno	b'c	305	[mm]
Spessore del coprigiunto interno	tc	40	[mm]
Resistenza a snervamento dell'acciaio	f _{yk}	355	[MPa]
Resistenza a rottura dell'acciaio	f _{tk}	510	[MPa]

Resistenza del giunto offerta dai bulloni

Coefficiente di riduzione per la resistenza a taglio α 0,5 [-]

Coefficiente di attrito tra piastre per scorrimento μ 0,45 [-]

Resistenza a taglio per ciascun piano di taglio Fv,Rd 183,60 [kN]

Coefficiente di riduzione per la lunghezza del giunto bLf 0,96 [-]

Coefficiente di riduzione adottato min(0,75;bLf) bLf,ad 0,96 [-]

Coefficiente riduzione per la resistenza a scorrimento 0,7 μ 0,32 [-]

Resistenza a scorrimento per ciascun piano di taglio Fv,Rd 119,49 [-]

Resistenza a taglio globale dei bulloni F1j,Rd sup SLU 16940,2 [kN]

Resistenza a scorrimento globale dei bulloni F1j,Rd sup SCO 11025,1 [kN]

Resistenza della sezione netta delle ali

**Nuova viabilità – Ponte stradale
 Relazione di calcolo impalcato**

COMMESSA	LOTTO	CODIFICA	DOCUMENTO	REV.	FOGLIO
IV01	00	D 09 CL	NVX309001	B	111 di 144

Area della sezione netta della ala inferiore	Af,net	36600,00	[mm ²]
Resistenza sezione netta ala inferiore	Ft,net,Rd i	13439,52	[kN]

Resistenza a rifollamento delle ali

Coefficiente di riduzione per geometria	α_g	0,60	[-]
Resistenza di ogni singolo bullone ala inf	Fb,Rd i	819,64	[kN]
Resistenza a rifollamento ala inferiore	F3j,Rd	39342,86	[kN]

Resistenza a rifollamento dei coprigiunti

Coefficiente di riduzione per geometria	α_c	0,65	[-]
Resistenza di ogni singolo bullone	Fb,c,Rd	1442,57	[kN]
Resistenza a rifollamento coprigiunto d'ala inferiore	F4j,Rd	138486,86	[kN]

Resistenza della sezione lorda dei coprigiunti

Area della sezione lorda dei coprigiunti	Ac	52800,00	[mm ²]
Massima trazione coprigiunti inferiori	Ft,c,Rd	17851,43	[kN]

Resistenza della sezione netta dei coprigiunti

Area della sezione netta dei coprigiunti	Ac,net	39360,00	[mm ²]
Massima trazione assunta dai coprigiunti	Ft,c,net,Rd	14452,99	[kN]

VERIFICA COPRIGIUNTI D'ANIMA

Numero di sezioni resistenti	nv	2,00	[-]
Eccentricità di VSd	e	13,50	[cm]
Numero totale di bulloni	nb	63	[-]
Baricentro bullonatura	ZG,b	84,00	[cm]
Baricentro bullonatura	XG,b	13,50	[cm]
Ordinata massima	zb,max	80,00	[cm]
Ascissa massima	xb,max	8,00	[cm]
Momento d'inerzia bulloneria	Jb,tot	150528,00	[cm ²]

Sollecitazioni di calcolo ripartite negli elementi del giunto

		SLU	SLE	
Forza Normale di Calcolo	NSd	-186,91	0,00	[kN]
Forza di Taglio di Calcolo	VSd	2433,97	1799,41	[kN]
Momento flettente di Calcolo	MSd	3995,05	3013,41	[kNm]
Momento torcente parassita	TSd	32859	24292	[kNcm]
Momento totale di calcolo	Mtot,Sd	432363	325633	[kNcm]

Taglio in z dovuto a Vsd	Vbz,V	19,32	14,28	[kN]
Taglio in x dovuto a Nsd	Vbx,N	-1,48	0,00	[kN]
Taglio in z dovuto a Msd,tot	Vbz,M	11,49	8,65	[kN]
Taglio in x dovuto a Msd,tot	Vbx,M	114,89	86,53	[kN]

Reazione per sezione di taglio	Rb,tot	118	90	[kN]
--------------------------------	--------	-----	----	------

Verifica dei bulloni

Coefficiente di riduzione per la resistenza a taglio	α	0,50	[-]
Resistenza a taglio per ciascun piano di taglio	Fv,Rd SLU	183,60	[kN]
Coefficiente riduzione per la resistenza a scorrimento	0,7 μ	0,32	[-]
Resistenza a scorrimento per ciascun piano di taglio	Fv,Rd	119,49	[kN]
Azione sollecitante per taglio	Fv,Ed SLU	117,52	[kN]
Azione sollecitante per scorrimento	Fv,Ed SLE	90	[kN]

Verifica a rifollamento dell'anima della trave

Azione di rifollamento in direzione verticale	Fbz,Ed	61,61	[kN]
Azione di rifollamento in direzione orizzontale	Fby,Ed	226,82	[kN]
Coefficiente di riduzione per geometria verticale	az	0,702	[-]
Coefficiente di riduzione per geometria orizzontale	ax	0,536	[-]
Resistenza a rifollamento verticale	Fbz,Rd	348,18	[kN]
Resistenza a rifollamento orizzontale	Fby,Rd	265,56	[kN]

Verifica a rifollamento dei coprigiunti

Azione di rifollamento in direzione verticale	Fbz,Ed	61,61	[kN]
Azione di rifollamento in direzione orizzontale	Fby,Ed	226,82	[kN]

Nuova viabilità – Ponte stradale
Relazione di calcolo impalcato

COMMESSA	LOTTO	CODIFICA	DOCUMENTO	REV.	FOGLIO
IV01	00	D 09 CL	NVX309001	B	112 di 144

Coefficiente di riduzione per geometria verticale	az	0,595	[-]
Coefficiente di riduzione per geometria orizzontale	ax	0,595	[-]
Resistenza a rifollamento verticale	Fbz,Rd	491,79	[kN]
Resistenza a rifollamento orizzontale	Fby,Rd	491,79	[kN]

Verifica della sezione lorda dei coprigiunti

Modulo di resistenza plastico dei coprigiunti	Wc,pl	21675000	[mm ³]
Area di taglio dei coprigiunti	Ac,v	51000	[mm ²]
Momento resistente dei coprigiunti	Mc,pl,Rd	6995,113636	[kNm]
Taglio resistente dei coprigiunti	Vc,pl,Rd	9502,66	[kN]
Momento plastico trasferito all'anima della trave	Mw,pl,Rd	3995,05	[kNm]
Taglio sollecitante di progetto	VEd	2433,9675	[kN]

Verifica della sezione netta dei coprigiunti

Modulo di resistenza netto dei coprigiunti	Wc,net,pl	16567800	[mm ³]
Area di taglio netta dei coprigiunti	Ac,v	33360	[mm ²]
Momento resistente dei coprigiunti	Mc,pl,Rd	6759,66	[kNm]
Taglio resistente dei coprigiunti	Vc,pl,Rd	7858,25	[kN]
Momento plastico trasferito all'anima della trave	Mw,pl,Rd	3995,05	[kNm]

SINTESI DELLE VERIFICHE NEL GIUNTO
Verifica delle giunzioni d'ala superiore ed inferiore

Resistenza bulloni a taglio ala superiore	η	55,69%	[-]	OK
Resistenza bulloni a taglio ala inferiore	η	66,24%	[-]	OK
Resistenza sezione netta ala superiore	η	83,23%	[-]	OK
Resistenza sezione netta ala inferiore	η	83,50%	[-]	OK
Massima trazione coprigiunti superiori	η	57,78%	[-]	OK
Massima trazione coprigiunti inferiori	η	62,86%	[-]	OK
Trazione area netta coprigiunti superiori	η	70,32%	[-]	OK
Trazione area netta coprigiunti inferiori	η	77,64%	[-]	OK
Resistenza bulloni a scorrimento ala superiore	η	65,43%	[-]	OK
Resistenza bulloni a scorrimento ala inferiore	η	75,69%	[-]	OK
Resistenza a rifollamento ala superiore	η	45,45%	[-]	OK
Resistenza a rifollamento ala inferiore	η	21,21%	[-]	OK
Resistenza a rifollamento coprigiunto d'ala superiore	η	10,33%	[-]	OK
Resistenza a rifollamento coprigiunto d'ala inferiore	η	6,03%	[-]	OK
Tasso di lavoro massimo	η	83,50%	[-]	OK

Verifica della giunzione d'anima

Verifica a taglio dei bulloni	η	64,01%	[-]	OK
Verifica a scorrimento	η	74,92%	[-]	OK
Verifica a rifollamento dell'anima della trave	η	17,70%	[-]	OK
	η	85,41%	[-]	OK
Verifica a rifollamento dei coprigiunti	η	12,53%	[-]	OK
	η	46,12%	[-]	OK
Verifica della sezione lorda dei coprigiunti	η_{MOMENTO}	57,11%	[-]	OK
	η_{TAGLIO}	25,61%	[-]	OK
Verifica della sezione netta dei coprigiunti	η_{MOMENTO}	59,10%	[-]	OK
	η_{TAGLIO}	30,97%	[-]	OK
Tasso di lavoro massimo	η	85,41%		OK

VERIFICA GIUNTO BULLONATO : CONCIO A 11 xi=35 xj=40

Elemento :	11_xi=35_xj=40	27	OK	0	0
------------	----------------	----	----	---	---

**Nuova viabilità – Ponte stradale
Relazione di calcolo impalcato**

COMMESSA	LOTTO	CODIFICA	DOCUMENTO	REV.	FOGLIO
IV01	00	D 09 CL	NVX309001	B	113 di 144

Combinazione :	Mmax	27	OK	0	0
Concio :	A	27	OK	0	0
Effetti primari :	$\varepsilon \Delta T(+)$				

SFORZO NORMALE SU CONCIO METALLICO

Nsdconcio **7997,79** **5994,88** [kN]

MOMENTO FLETTENTE SU CONCIO METALLICO :

Msdconcio **18560,31** **13600,23** [kNm]

Ripartizione delle azioni sulle ali

Momento d'inerzia del profilo	ly	1,10004E+11	[mm ⁴]
Momento d'inerzia delle ali	ly,ali	8,94E+10	[mm ⁴]
Area del profilo	A	111170	[mm ²]
Area della ala superiore	Aala sup	24500	[mm ²]
Area della ala inferiore	Aala inf	45000	[mm ²]

Sollecitazioni di calcolo ripartite negli elementi del giunto		SLU	SLE	
Momento assorbito dalle ali	Mf,Ed	15081,00	11050,74	[kNm]
Forza normale assorbita dalla ala sup	Nf,Ed	-4002,75	-2903,43	[kN]
Forza normale assorbita dalla ala inf	Nf,Ed	10547,42	7783,13	[kN]

Ripartizione delle azioni sull'anima		SLU	SLE	
Forza di taglio assorbita dall'anima	Vw,Ed	2433,97	1799,41	[kN]
Forza normale assorbita dall'anima	Nw,Ed	1453,12	FALSO	[kN]
Momento assorbito dall'anima	Mw,Ed	3139,92	2300,81	[kNm]

VERIFICA COPRIGIUNTO ALA SUPERIORE

CARATTERISTICHE DEL COPRIGIUNTO E DEI BULLONI D'ALA

Diametro del bullone	d	27	[mm]
Diametro del foro	d ₀	28	[mm]
Area del gambo filettato	As	459	[mm ²]
Numero di bulloni su metà giunto	nb	32	[-]
Numero di bulloni trasversali	nb _{trasv}	4	[-]
Numero piani di taglio per bullone	n	2	[-]
Distanza bullone dal bordo lungo asse trave	e1	55	[mm]
Distanza bullone dal bordo trasversale asse trave	e2	55	[mm]
Passo bulloni in direzione asse trave	p1	80	[mm]
Passo bulloni in direzione trasversale asse trave	p2	100	[mm]
Passo bulloni in direzione asse trave prossimi alla linea dei concii	p3	110	[mm]
Distanza dal bordo bulloni prossimi alla linea dei concii	e'1	50	[mm]
Distanza dal bordo interno bulloni coprigiunto interno	e'2	50	[mm]
Distanza trasversale bulloni prossimi ad asse trave	e3	200	[mm]
Resistenza a rottura del bullone	f _{tb}	1000	[MPa]

CARATTERISTICHE GEOMETRICHE DEL COPRIGIUNTO

Lunghezza del coprigiunto esterno	Lc	1340	[mm]
Larghezza del coprigiunto esterno	bc	510	[mm]
Spessore del coprigiunto esterno	tc	35	[mm]
Lunghezza del coprigiunto interno	Lc	1340	[mm]
Larghezza del coprigiunto interno	b'c	205	[mm]
Spessore del coprigiunto interno	tc	35	[mm]
Resistenza a snervamento dell'acciaio	f _{yk}	355	[MPa]
Resistenza a rottura dell'acciaio	f _{tk}	510	[MPa]

Resistenza del giunto offerta dai bulloni

Coefficiente di riduzione per la resistenza a taglio	α	0,5	[-]
Coefficiente di attrito tra piastre per scorrimento	μ	0,45	[-]

Nuova viabilità – Ponte stradale
Relazione di calcolo impalcato

COMMESSA	LOTTO	CODIFICA	DOCUMENTO	REV.	FOGLIO
IV01	00	D 09 CL	NVX309001	B	114 di 144

Resistenza a taglio per ciascun piano di taglio	Fv,Rd	183,60	[kN]
Coefficiente di riduzione per la lunghezza del giunto	bLf	0,96	[-]
Coefficiente di riduzione adottato min(0,75;bLf)	bLf,ad	0,96	[-]
Coefficiente riduzione per la resistenza a scorrimento	0,7 μ	0,32	[-]
Resistenza a scorrimento per ciascun piano di taglio	Fv,Rd	119,49	[-]
Resistenza a taglio globale dei bulloni	F1j,Rd sup SLU	11293,4	[kN]
Resistenza a scorrimento globale dei bulloni	F1j,Rd sup SCO	7350,1	[kN]

Resistenza della sezione netta delle ali

Area della sezione netta della ala superiore	Af,net	20580,00	[mm ²]
Resistenza sezione netta ala superiore	Ft,net,Rd s	7556,98	[kN]

Resistenza a rifollamento delle ali

Coefficiente di riduzione per geometria	α_g	0,60	[-]
Resistenza di ogni singolo bullone ala sup	Fb,Rd s	573,75	[kN]
Resistenza a rifollamento ala superiore	F3j,Rd	18360,00	[kN]

Resistenza a rifollamento dei coprigiunti

Coefficiente di riduzione per geometria	α_c	0,65	[-]
Resistenza di ogni singolo bullone	Fb,c,Rd	1262,25	[kN]
Resistenza a rifollamento coprigiunto d'ala superiore	F4j,Rd	80784,00	[kN]

Resistenza della sezione lorda dei coprigiunti

Area della sezione lorda dei coprigiunti	Ac	32200,00	[mm ²]
Massima trazione coprigiunti superiori	Ft,c,Rd	10886,67	[kN]

Resistenza della sezione netta dei coprigiunti

Area della sezione netta dei coprigiunti	Ac,net	24360,00	[mm ²]
Massima trazione assunta dai coprigiunti	Ft,c,net,Rd	8944,99	[kN]

VERIFICA COPRIGIUNTO ALA INFERIORE
CARATTERISTICHE DEL COPRIGIUNTO E DEI BULLONI D'ALA

Diametro del bullone	d	27	[mm]
Diametro del foro	d ₀	28	[mm]
Area del gambo filettato	As	459	[mm ²]
Numero di bulloni su metà giunto	nb	48	[-]
Numero di bulloni trasversali	nb _{trasv}	6	[-]
Numero piani di taglio per bullone	n	2	[-]
Distanza bullone dal bordo lungo asse trave	e1	55	[mm]
Distanza bullone dal bordo trasversale asse trave	e2	55	[mm]
Passo bulloni in direzione asse trave	p1	80	[mm]
Passo bulloni in direzione trasversale asse trave	p2	100	[mm]
Passo bulloni in direzione asse trave prossimi alla linea dei conci	p3	110	[mm]
Distanza dal bordo bulloni prossimi alla linea dei conci	e'1	50	[mm]
Distanza dal bordo interno bulloni coprigiunto interno	e'2	50	[mm]
Distanza trasversale bulloni prossimi ad asse trave	e3	200	[mm]
Resistenza a rottura del bullone	f _{tb}	1000	[MPa]

CARATTERISTICHE GEOMETRICHE DEL COPRIGIUNTO

Lunghezza del coprigiunto esterno	Lc	1340	[mm]
Larghezza del coprigiunto esterno	bc	710	[mm]
Spessore del coprigiunto esterno	tc	40	[mm]
Lunghezza del coprigiunto interno	Lc	1340	[mm]
Larghezza del coprigiunto interno	b'c	305	[mm]
Spessore del coprigiunto interno	tc	40	[mm]
Resistenza a snervamento dell'acciaio	f _{yk}	355	[MPa]
Resistenza a rottura dell'acciaio	f _{tk}	510	[MPa]

Resistenza del giunto offerta dai bulloni

Coefficiente di riduzione per la resistenza a taglio	α	0,5	[-]
Coefficiente di attrito tra piastre per scorrimento	μ	0,45	[-]

Nuova viabilità – Ponte stradale
Relazione di calcolo impalcato

COMMESSA	LOTTO	CODIFICA	DOCUMENTO	REV.	FOGLIO
IV01	00	D 09 CL	NVX309001	B	115 di 144

Resistenza a taglio per ciascun piano di taglio	Fv,Rd	183,60	[kN]
Coefficiente di riduzione per la lunghezza del giunto	bLf	0,96	[-]
Coefficiente di riduzione adottato min(0,75;bLf)	bLf,ad	0,96	[-]
Coefficiente riduzione per la resistenza a scorrimento	0,7 μ	0,32	[-]
Resistenza a scorrimento per ciascun piano di taglio	Fv,Rd	119,49	[-]
Resistenza a taglio globale dei bulloni	F1j,Rd sup SLU	16940,2	[kN]
Resistenza a scorrimento globale dei bulloni	F1j,Rd sup SCO	11025,1	[kN]

Resistenza della sezione netta delle ali

Area della sezione netta della ala inferiore	Af,net	36600,00	[mm ²]
Resistenza sezione netta ala inferiore	Ft,net,Rd i	13439,52	[kN]

Resistenza a rifollamento delle ali

Coefficiente di riduzione per geometria	α_g	0,60	[-]
Resistenza di ogni singolo bullone ala inf	Fb,Rd i	819,64	[kN]
Resistenza a rifollamento ala inferiore	F3j,Rd	39342,86	[kN]

Resistenza a rifollamento dei coprigiunti

Coefficiente di riduzione per geometria	α_c	0,65	[-]
Resistenza di ogni singolo bullone	Fb,c,Rd	1442,57	[kN]
Resistenza a rifollamento coprigiunto d'ala inferiore	F4j,Rd	138486,86	[kN]

Resistenza della sezione lorda dei coprigiunti

Area della sezione lorda dei coprigiunti	Ac	52800,00	[mm ²]
Massima trazione coprigiunti inferiori	Ft,c,Rd	17851,43	[kN]

Resistenza della sezione netta dei coprigiunti

Area della sezione netta dei coprigiunti	Ac,net	39360,00	[mm ²]
Massima trazione assunta dai coprigiunti	Ft,c,net,Rd	14452,99	[kN]

VERIFICA COPRIGIUNTI D'ANIMA

Numero di sezioni resistenti	nv	2,00	[-]
Eccentricità di VSd	e	13,50	[cm]
Numero totale di bulloni	nb	63	[-]
Baricentro bullonatura	ZG,b	84,00	[cm]
Baricentro bullonatura	XG,b	13,50	[cm]
Ordinata massima	zb,max	80,00	[cm]
Ascissa massima	xb,max	8,00	[cm]
Momento d'inerzia bulloneria	Jb,tot	150528,00	[cm ²]

Sollecitazioni di calcolo ripartite negli elementi del giunto

	SLU	SLE	
Forza Normale di Calcolo	NSd	1453,12	0,00 [kN]
Forza di Taglio di Calcolo	VSd	2433,97	1799,41 [kN]
Momento flettente di Calcolo	MSd	3139,92	2300,81 [kNm]
Momento torcente parassita	TSd	32859	24292 [kNcm]
Momento totale di calcolo	Mtot,Sd	346851	254373 [kNcm]
Taglio in z dovuto a Vsd	Vbz,V	19,32	14,28 [kN]
Taglio in x dovuto a Nsd	Vbx,N	11,53	0,00 [kN]
Taglio in z dovuto a Msd,tot	Vbz,M	9,22	6,76 [kN]
Taglio in x dovuto a Msd,tot	Vbx,M	92,17	67,59 [kN]
Reazione per sezione di taglio	Rb,tot	108	71 [kN]

Verifica dei bulloni

Coefficiente di riduzione per la resistenza a taglio	α	0,50	[-]
Resistenza a taglio per ciascun piano di taglio	Fv,Rd SLU	183,60	[kN]
Coefficiente riduzione per la resistenza a scorrimento	0,7 μ	0,32	[-]
Resistenza a scorrimento per ciascun piano di taglio	Fv,Rd	119,49	[kN]
Azione sollecitante per taglio	Fv,Ed SLU	107,56	[kN]
Azione sollecitante per scorrimento	Fv,Ed SLE	71	[kN]

Verifica a rifollamento dell'anima della trave

Azione di rifollamento in direzione verticale	Fbz,Ed	57,07	[kN]
---	--------	-------	------

Nuova viabilità – Ponte stradale
Relazione di calcolo impalcato

COMMESSA	LOTTO	CODIFICA	DOCUMENTO	REV.	FOGLIO
IV01	00	D 09 CL	NVX309001	B	116 di 144

Azione di rifollamento in direzione orizzontale	Fby,Ed	207,40	[kN]
Coefficiente di riduzione per geometria verticale	az	0,702	[-]
Coefficiente di riduzione per geometria orizzontale	ax	0,536	[-]
Resistenza a rifollamento verticale	Fbz,Rd	348,18	[kN]
Resistenza a rifollamento orizzontale	Fby,Rd	265,56	[kN]

Verifica a rifollamento dei coprigiunti

Azione di rifollamento in direzione verticale	Fbz,Ed	57,07	[kN]
Azione di rifollamento in direzione orizzontale	Fby,Ed	207,40	[kN]
Coefficiente di riduzione per geometria verticale	az	0,595	[-]
Coefficiente di riduzione per geometria orizzontale	ax	0,595	[-]
Resistenza a rifollamento verticale	Fbz,Rd	491,79	[kN]
Resistenza a rifollamento orizzontale	Fby,Rd	491,79	[kN]

Verifica della sezione lorda dei coprigiunti

Modulo di resistenza plastico dei coprigiunti	Wc,pl	21675000	[mm ³]
Area di taglio dei coprigiunti	Ac,v	51000	[mm ²]
Momento resistente dei coprigiunti	Mc,pl,Rd	6995,113636	[kNm]
Taglio resistente dei coprigiunti	Vc,pl,Rd	9502,66	[kN]
Momento plastico trasferito all'anima della trave	Mw,pl,Rd	3139,92	[kNm]
Taglio sollecitante di progetto	VEd	2433,9675	[kN]

Verifica della sezione netta dei coprigiunti

Modulo di resistenza netto dei coprigiunti	Wc,net,pl	16567800	[mm ³]
Area di taglio netta dei coprigiunti	Ac,v	33360	[mm ²]
Momento resistente dei coprigiunti	Mc,pl,Rd	6759,66	[kNm]
Taglio resistente dei coprigiunti	Vc,pl,Rd	7858,25	[kN]
Momento plastico trasferito all'anima della trave	Mw,pl,Rd	3139,92	[kNm]

SINTESI DELLE VERIFICHE NEL GIUNTO
Verifica delle giunzioni d'ala superiore ed inferiore

Resistenza bulloni a taglio ala superiore	η	35,44%	[-]	OK
Resistenza bulloni a taglio ala inferiore	η	62,26%	[-]	OK
Resistenza sezione netta ala superiore	η	52,97%	[-]	OK
Resistenza sezione netta ala inferiore	η	78,48%	[-]	OK
Massima trazione coprigiunti superiori	η	36,77%	[-]	OK
Massima trazione coprigiunti inferiori	η	59,08%	[-]	OK
Trazione area netta coprigiunti superiori	η	44,75%	[-]	OK
Trazione area netta coprigiunti inferiori	η	72,98%	[-]	OK
Resistenza bulloni a scorrimento ala superiore	η	39,50%	[-]	OK
Resistenza bulloni a scorrimento ala inferiore	η	70,59%	[-]	OK
Resistenza a rifollamento ala superiore	η	42,39%	[-]	OK
Resistenza a rifollamento ala inferiore	η	19,78%	[-]	OK
Resistenza a rifollamento coprigiunto d'ala superiore	η	9,63%	[-]	OK
Resistenza a rifollamento coprigiunto d'ala inferiore	η	5,62%	[-]	OK
Tasso di lavoro massimo	η	78,48%	[-]	OK

Verifica della giunzione d'anima

Verifica a taglio dei bulloni	η	58,58%	[-]	OK
Verifica a scorrimento	η	59,25%	[-]	OK
Verifica a rifollamento dell'anima della trave	η	16,39%	[-]	OK
	η	78,10%	[-]	OK
Verifica a rifollamento dei coprigiunti	η	11,60%	[-]	OK
	η	42,17%	[-]	OK
Verifica della sezione lorda dei coprigiunti	η_{MOMENTO}	44,89%	[-]	OK
	η_{TAGLIO}	25,61%	[-]	OK

Nuova viabilità – Ponte stradale
Relazione di calcolo impalcato

COMMESSA	LOTTO	CODIFICA	DOCUMENTO	REV.	FOGLIO
IV01	00	D 09 CL	NVX309001	B	117 di 144

Verifica della sezione netta dei coprigiunti	η MOMENTO	46,45%	[-]	OK
	η TAGLIO	30,97%	[-]	OK
Tasso di lavoro massimo	η	78,10%		OK

VERIFICA GIUNTO BULLONATO		: CONCIO A		11 xi=35 xj=40	
Elemento :	11_xi=35_xj=40	27	OK	0	0
Combinazione :	Mmax	27	OK	0	0
Concio :	A	27	OK	0	0
Effetti primari :	assenti				

SFORZO NORMALE SU CONCIO METALLICO :

	SLU	SLE	
Nsdconcio	7400,89	5497,46	[kN]
Msdconcio	19480,79	14367,30	[kNm]

MOMENTO FLETTENTE SU CONCIO METALLICO :

Ripartizione delle azioni sulle ali			
Momento d'inerzia del profilo	ly	1,10004E+11	[mm ⁴]
Momento d'inerzia delle ali	ly,ali	8,94E+10	[mm ⁴]
Area del profilo	A	111170	[mm ²]
Area della ala superiore	Aala sup	24500	[mm ²]
Area della ala inferiore	Aala inf	45000	[mm ²]

Sollecitazioni di calcolo ripartite negli elementi del giunto				
Momento assorbito dalle ali	Mf,Ed	15828,93	11674,01	[kNm]
Forza normale assorbita dalla ala sup	Nf,Ed	-4420,22	-3251,32	[kN]
Forza normale assorbita dalla ala inf	Nf,Ed	10668,34	7883,90	[kN]

Ripartizione delle azioni sull'anima				
Forza di taglio assorbita dall'anima	Vw,Ed	2433,97	1799,41	[kN]
Forza normale assorbita dall'anima	Nw,Ed	1152,77	FALSO	[kN]
Momento assorbito dall'anima	Mw,Ed	3295,64	2430,57	[kNm]

VERIFICA COPRIGIUNTO ALA SUPERIORE
CARATTERISTICHE DEL COPRIGIUNTO E DEI BULLONI D'ALA

Diametro del bullone	d	27	[mm]
Diametro del foro	d _o	28	[mm]
Area del gambo filettato	As	459	[mm ²]
Numero di bulloni su metà giunto	nb	32	[-]
Numero di bulloni trasversali	nb _{trasv}	4	[-]
Numero piani di taglio per bullone	n	2	[-]
Distanza bullone dal bordo lungo asse trave	e1	55	[mm]
Distanza bullone dal bordo trasversale asse trave	e2	55	[mm]
Passo bulloni in direzione asse trave	p1	80	[mm]
Passo bulloni in direzione trasversale asse trave	p2	100	[mm]
Passo bulloni in direzione asse trave prossimi alla linea dei conci	p3	110	[mm]
Distanza dal bordo bulloni prossimi alla linea dei conci	e'1	50	[mm]
Distanza dal bordo interno bulloni coprigiunto interno	e'2	50	[mm]
Distanza trasversale bulloni prossimi ad asse trave	e3	200	[mm]
Resistenza a rottura del bullone	f _{tb}	1000	[MPa]

CARATTERISTICHE GEOMETRICHE DEL COPRIGIUNTO

Lunghezza del coprigiunto esterno	Lc	1340	[mm]
Larghezza del coprigiunto esterno	bc	510	[mm]
Spessore del coprigiunto esterno	tc	35	[mm]
Lunghezza del coprigiunto interno	Lc	1340	[mm]

Nuova viabilità – Ponte stradale
Relazione di calcolo impalcato

COMMESSA	LOTTO	CODIFICA	DOCUMENTO	REV.	FOGLIO
IV01	00	D 09 CL	NVX309001	B	118 di 144

Larghezza del coprigiunto interno	b'c	205	[mm]
Spessore del coprigiunto interno	tc	35	[mm]
Resistenza a snervamento dell'acciaio	f _{yk}	355	[MPa]
Resistenza a rottura dell'acciaio	f _{tk}	510	[MPa]

Resistenza del giunto offerta dai bulloni - -

Coefficiente di riduzione per la resistenza a taglio	α	0,5	[-]
Coefficiente di attrito tra piastre per scorrimento	μ	0,45	[-]
Resistenza a taglio per ciascun piano di taglio	Fv,Rd	183,60	[kN]
Coefficiente di riduzione per la lunghezza del giunto	bLf	0,96	[-]
Coefficiente di riduzione adottato min(0,75;bLf)	bLf,ad	0,96	[-]
Coefficiente riduzione per la resistenza a scorrimento	0,7 μ	0,32	[-]
Resistenza a scorrimento per ciascun piano di taglio	Fv,Rd	119,49	[-]
Resistenza a taglio globale dei bulloni	F1j,Rd sup SLU	11293,4	[kN]
Resistenza a scorrimento globale dei bulloni	F1j,Rd sup SCO	7350,1	[kN]

Resistenza della sezione netta delle ali - -

Area della sezione netta della ala superiore	Af,net	20580,00	[mm ²]
Resistenza sezione netta ala superiore	Ft,net,Rd s	7556,98	[kN]

Resistenza a rifollamento delle ali - -

Coefficiente di riduzione per geometria	αg	0,60	[-]
Resistenza di ogni singolo bullone ala sup	Fb,Rd s	573,75	[kN]
Resistenza a rifollamento ala superiore	F3j,Rd	18360,00	[kN]

Resistenza a rifollamento dei coprigiunti - -

Coefficiente di riduzione per geometria	αc	0,65	[-]
Resistenza di ogni singolo bullone	Fb,c,Rd	1262,25	[kN]
Resistenza a rifollamento coprigiunto d'ala superiore	F4j,Rd	80784,00	[kN]

Resistenza della sezione lorda dei coprigiunti - -

Area della sezione lorda dei coprigiunti	Ac	32200,00	[mm ²]
Massima trazione coprigiunti superiori	Ft,c,Rd	10886,67	[kN]

Resistenza della sezione netta dei coprigiunti - -

Area della sezione netta dei coprigiunti	Ac,net	24360,00	[mm ²]
Massima trazione assunta dai coprigiunti	Ft,c,net,Rd	8944,99	[kN]

VERIFICA COPRIGIUNTO ALA INFERIORE

CARATTERISTICHE DEL COPRIGIUNTO E DEI BULLONI D'ALA

Diametro del bullone	d	27	[mm]
Diametro del foro	d _o	28	[mm]
Area del gambo filettato	As	459	[mm ²]
Numero di bulloni su metà giunto	nb	48	[-]
Numero di bulloni trasversali	nb _{,trasv}	6	[-]
Numero piani di taglio per bullone	n	2	[-]
Distanza bullone dal bordo lungo asse trave	e1	55	[mm]
Distanza bullone dal bordo trasversale asse trave	e2	55	[mm]
Passo bulloni in direzione asse trave	p1	80	[mm]
Passo bulloni in direzione trasversale asse trave	p2	100	[mm]
Passo bulloni in direzione asse trave prossimi alla linea dei conci	p3	110	[mm]
Distanza dal bordo bulloni prossimi alla linea dei conci	e'1	50	[mm]
Distanza dal bordo interno bulloni coprigiunto interno	e'2	50	[mm]
Distanza trasversale bulloni prossimi ad asse trave	e3	200	[mm]
Resistenza a rottura del bullone	f _{tb}	1000	[MPa]

CARATTERISTICHE GEOMETRICHE DEL COPRIGIUNTO

Lunghezza del coprigiunto esterno	Lc	1340	[mm]
Larghezza del coprigiunto esterno	bc	710	[mm]
Spessore del coprigiunto esterno	tc	40	[mm]
Lunghezza del coprigiunto interno	Lc	1340	[mm]

Nuova viabilità – Ponte stradale
Relazione di calcolo impalcato

COMMESSA	LOTTO	CODIFICA	DOCUMENTO	REV.	FOGLIO
IV01	00	D 09 CL	NVX309001	B	119 di 144

Larghezza del coprigiunto interno	b'c	305	[mm]
Spessore del coprigiunto interno	tc	40	[mm]
Resistenza a snervamento dell'acciaio	f _{yk}	355	[MPa]
Resistenza a rottura dell'acciaio	f _{tk}	510	[MPa]

Resistenza del giunto offerta dai bulloni - -

Coefficiente di riduzione per la resistenza a taglio	α	0,5	[-]
Coefficiente di attrito tra piastre per scorrimento	μ	0,45	[-]
Resistenza a taglio per ciascun piano di taglio	Fv,Rd	183,60	[kN]
Coefficiente di riduzione per la lunghezza del giunto	bLf	0,96	[-]
Coefficiente di riduzione adottato min(0,75;bLf)	bLf,ad	0,96	[-]
Coefficiente riduzione per la resistenza a scorrimento	0,7 μ	0,32	[-]
Resistenza a scorrimento per ciascun piano di taglio	Fv,Rd	119,49	[-]
Resistenza a taglio globale dei bulloni	F1j,Rd sup SLU	16940,2	[kN]
Resistenza a scorrimento globale dei bulloni	F1j,Rd sup SCO	11025,1	[kN]

Resistenza della sezione netta delle ali - -

Area della sezione netta della ala inferiore	Af,net	36600,00	[mm ²]
Resistenza sezione netta ala inferiore	Ft,net,Rd i	13439,52	[kN]

Resistenza a rifollamento delle ali - -

Coefficiente di riduzione per geometria	αg	0,60	[-]
Resistenza di ogni singolo bullone ala inf	Fb,Rd i	819,64	[kN]
Resistenza a rifollamento ala inferiore	F3j,Rd	39342,86	[kN]

Resistenza a rifollamento dei coprigiunti - -

Coefficiente di riduzione per geometria	αc	0,65	[-]
Resistenza di ogni singolo bullone	Fb,c,Rd	1442,57	[kN]
Resistenza a rifollamento coprigiunto d'ala inferiore	F4j,Rd	138486,86	[kN]

Resistenza della sezione lorda dei coprigiunti - -

Area della sezione lorda dei coprigiunti	Ac	52800,00	[mm ²]
Massima trazione coprigiunti inferiori	Ft,c,Rd	17851,43	[kN]

Resistenza della sezione netta dei coprigiunti - -

Area della sezione netta dei coprigiunti	Ac,net	39360,00	[mm ²]
Massima trazione assunta dai coprigiunti	Ft,c,net,Rd	14452,99	[kN]

VERIFICA COPRIGIUNTI D'ANIMA

Numero di sezioni resistenti	nv	2,00	[-]
Eccentricità di VSd	e	13,50	[cm]
Numero totale di bulloni	nb	63	[-]
Baricentro bullonatura	ZG,b	84,00	[cm]
Baricentro bullonatura	XG,b	13,50	[cm]
Ordinata massima	zb,max	80,00	[cm]
Ascissa massima	xb,max	8,00	[cm]
Momento d'inerzia bulloneria	Jb,tot	150528,00	[cm ²]

Sollecitazioni di calcolo ripartite negli elementi del giunto

		SLU	SLE	
Forza Normale di Calcolo	NSd	1152,77	0,00	[kN]
Forza di Taglio di Calcolo	VSd	2433,97	1799,41	[kN]
Momento flettente di Calcolo	MSd	3295,64	2430,57	[kNm]
Momento torcente parassita	TSd	32859	24292	[kNcm]
Momento totale di calcolo	Mtot,Sd	362423	267349	[kNcm]
Taglio in z dovuto a Vsd	Vbz,V	19,32	14,28	[kN]
Taglio in x dovuto a Nsd	Vbx,N	9,15	0,00	[kN]
Taglio in z dovuto a Msd,tot	Vbz,M	9,63	7,10	[kN]
Taglio in x dovuto a Msd,tot	Vbx,M	96,31	71,04	[kN]
Reazione per sezione di taglio	Rb,tot	109	74	[kN]

Verifica dei bulloni - -

Coefficiente di riduzione per la resistenza a taglio	α	0,50	[-]
--	---	------	-----

Nuova viabilità – Ponte stradale
Relazione di calcolo impalcato

COMMESSA	LOTTO	CODIFICA	DOCUMENTO	REV.	FOGLIO
IVOI	00	D 09 CL	NVX309001	B	120 di 144

Resistenza a taglio per ciascun piano di taglio	Fv,Rd SLU	183,60	[kN]
Coefficiente riduzione per la resistenza a scorrimento	0,7 μ	0,32	[-]
Resistenza a scorrimento per ciascun piano di taglio	Fv,Rd	119,49	[kN]
Azione sollecitante per taglio	Fv,Ed SLU	109,36	[kN]
Azione sollecitante per scorrimento	Fv,Ed SLE	74	[kN]

Verifica a rifollamento dell'anima della trave -

Azione di rifollamento in direzione verticale	Fbz,Ed	57,90	[kN]
Azione di rifollamento in direzione orizzontale	Fby,Ed	210,91	[kN]
Coefficiente di riduzione per geometria verticale	az	0,702	[-]
Coefficiente di riduzione per geometria orizzontale	ax	0,536	[-]
Resistenza a rifollamento verticale	Fbz,Rd	348,18	[kN]
Resistenza a rifollamento orizzontale	Fby,Rd	265,56	[kN]

Verifica a rifollamento dei coprigiunti -

Azione di rifollamento in direzione verticale	Fbz,Ed	57,90	[kN]
Azione di rifollamento in direzione orizzontale	Fby,Ed	210,91	[kN]
Coefficiente di riduzione per geometria verticale	az	0,595	[-]
Coefficiente di riduzione per geometria orizzontale	ax	0,595	[-]
Resistenza a rifollamento verticale	Fbz,Rd	491,79	[kN]
Resistenza a rifollamento orizzontale	Fby,Rd	491,79	[kN]

Verifica della sezione lorda dei coprigiunti -

Modulo di resistenza plastico dei coprigiunti	Wc,pl	21675000	[mm ³]
Area di taglio dei coprigiunti	Ac,v	51000	[mm ²]
Momento resistente dei coprigiunti	Mc,pl,Rd	6995,113636	[kNm]
Taglio resistente dei coprigiunti	Vc,pl,Rd	9502,66	[kN]
Momento plastico trasferito all'anima della trave	Mw,pl,Rd	3295,64	[kNm]
Taglio sollecitante di progetto	VEd	2433,9675	[kN]

Verifica della sezione netta dei coprigiunti -

Modulo di resistenza netto dei coprigiunti	Wc,net,pl	16567800	[mm ³]
Area di taglio netta dei coprigiunti	Ac,v	33360	[mm ²]
Momento resistente dei coprigiunti	Mc,pl,Rd	6759,66	[kNm]
Taglio resistente dei coprigiunti	Vc,pl,Rd	7858,25	[kN]
Momento plastico trasferito all'anima della trave	Mw,pl,Rd	3295,64	[kNm]

SINTESI DELLE VERIFICHE NEL GIUNTO
Verifica delle giunzioni d'ala superiore ed inferiore

Resistenza bulloni a taglio ala superiore	η	39,14%	[-]	OK
Resistenza bulloni a taglio ala inferiore	η	62,98%	[-]	OK
Resistenza sezione netta ala superiore	η	58,49%	[-]	OK
Resistenza sezione netta ala inferiore	η	79,38%	[-]	OK
Massima trazione coprigiunti superiori	η	40,60%	[-]	OK
Massima trazione coprigiunti inferiori	η	59,76%	[-]	OK
Trazione area netta coprigiunti superiori	η	49,42%	[-]	OK
Trazione area netta coprigiunti inferiori	η	73,81%	[-]	OK
Resistenza bulloni a scorrimento ala superiore	η	44,24%	[-]	OK
Resistenza bulloni a scorrimento ala inferiore	η	71,51%	[-]	OK
Resistenza a rifollamento ala superiore	η	42,94%	[-]	OK
Resistenza a rifollamento ala inferiore	η	20,04%	[-]	OK
Resistenza a rifollamento coprigiunto d'ala superiore	η	9,76%	[-]	OK
Resistenza a rifollamento coprigiunto d'ala inferiore	η	5,69%	[-]	OK
Tasso di lavoro massimo	η	79,38%	[-]	OK

Verifica della giunzione d'anima -

Verifica a taglio dei bulloni	η	59,56%	[-]	OK
--------------------------------------	--------	--------	-----	----

Nuova viabilità – Ponte stradale
Relazione di calcolo impalcato

COMMESSA	LOTTO	CODIFICA	DOCUMENTO	REV.	FOGLIO
IV01	00	D 09 CL	NVX309001	B	121 di 144

Verifica a scorrimento	η	62,09%	[-]	OK
Verifica a rifollamento dell'anima della trave	η	16,63%	[-]	OK
	η	79,42%	[-]	OK
Verifica a rifollamento dei coprighiunti	η	11,77%	[-]	OK
	η	42,89%	[-]	OK
Verifica della sezione lorda dei coprighiunti	η_{MOMENTO}	47,11%	[-]	OK
	η_{TAGLIO}	25,61%	[-]	OK
Verifica della sezione netta dei coprighiunti	η_{MOMENTO}	48,75%	[-]	OK
	η_{TAGLIO}	30,97%	[-]	OK
Tasso di lavoro massimo	η	79,42%		OK

VERIFICA GIUNTO BULLONATO		: CONCIO	B	11 xi=35 xj=40	
Elemento :	11_xi=35_xj=40		27	OK	0 0
Combinazione :	Mmax		27	OK	0 0
Concio :	B		27	OK	0 0
Effetti primari :	$\varepsilon \Delta T(-) + \varepsilon$ RITIRO				

SFORZO NORMALE SU CONCIO METALLICO :
 MOMENTO FLETTENTE SU CONCIO METALLICO :

	SLU	SLE	
Nsdconcio	4006,23	2702,00	[kN]
Msdconcio	24685,69	18668,26	[kNm]

Ripartizione delle azioni sulle ali

Momento d'inerzia del profilo	I_y	1,37279E+11	[mm ⁴]
Momento d'inerzia delle ali	$I_{y,ali}$	1,16E+11	[mm ⁴]
Area del profilo	A	133400	[mm ²]
Area della ala superiore	Aala sup	32000	[mm ²]
Area della ala inferiore	Aala inf	60000	[mm ²]

Sollecitazioni di calcolo ripartite negli elementi del giunto		SLU	SLE	
Momento assorbito dalle ali	Mf,Ed	20938,29	15834,34	[kNm]
Forza normale assorbita dalla ala sup	Nf,Ed	-7210,49	-5531,45	[kN]
Forza normale assorbita dalla ala inf	Nf,Ed	11835,12	8802,79	[kN]

Ripartizione delle azioni sull'anima		SLU	SLE	
Forza di taglio assorbita dall'anima	Vw,Ed	2433,97	1799,41	[kN]
Forza normale assorbita dall'anima	Nw,Ed	-618,40	FALSO	[kN]
Momento assorbito dall'anima	Mw,Ed	3281,83	2481,84	[kNm]

VERIFICA COPRIGIUNTO ALA SUPERIORE
CARATTERISTICHE DEL COPRIGIUNTO E DEI BULLONI D'ALA

Diametro del bullone	d	27	[mm]
Diametro del foro	d ₀	28	[mm]
Area del gambo filettato	A _s	459	[mm ²]
Numero di bulloni su metà giunto	nb	32	[-]
Numero di bulloni trasversali	nb _{,trasv}	4	[-]
Numero piani di taglio per bullone	n	2	[-]
Distanza bullone dal bordo lungo asse trave	e1	55	[mm]
Distanza bullone dal bordo trasversale asse trave	e2	55	[mm]
Passo bulloni in direzione asse trave	p1	80	[mm]
Passo bulloni in direzione trasversale asse trave	p2	100	[mm]
Passo bulloni in direzione asse trave prossimi alla linea dei concii	p3	110	[mm]
Distanza dal bordo bulloni prossimi alla linea dei concii	e'1	50	[mm]
Distanza dal bordo interno bulloni coprigiunto interno	e'2	50	[mm]

Nuova viabilità – Ponte stradale
Relazione di calcolo impalcato

COMMESSA	LOTTO	CODIFICA	DOCUMENTO	REV.	FOGLIO
IV01	00	D 09 CL	NVX309001	B	122 di 144

Distanza trasversale bulloni prossimi ad asse trave	e3	200	[mm]
Resistenza a rottura del bullone	f _{tb}	1000	[MPa]

CARATTERISTICHE GEOMETRICHE DEL COPRIGIUNTO

Lunghezza del coprigiunto esterno	Lc	1340	[mm]
Larghezza del coprigiunto esterno	bc	510	[mm]
Spessore del coprigiunto esterno	tc	35	[mm]
Lunghezza del coprigiunto interno	Lc	1340	[mm]
Larghezza del coprigiunto interno	b'c	205	[mm]
Spessore del coprigiunto interno	tc	35	[mm]
Resistenza a snervamento dell'acciaio	f _{yk}	355	[MPa]
Resistenza a rottura dell'acciaio	f _{tk}	510	[MPa]

Resistenza del giunto offerta dai bulloni

Coefficiente di riduzione per la resistenza a taglio	α	0,5	[-]
Coefficiente di attrito tra piastre per scorrimento	μ	0,45	[-]
Resistenza a taglio per ciascun piano di taglio	F _v ,R _d	183,60	[kN]
Coefficiente di riduzione per la lunghezza del giunto	bL _f	0,96	[-]
Coefficiente di riduzione adottato min(0,75;bL _f)	bL _f ,ad	0,96	[-]
Coefficiente riduzione per la resistenza a scorrimento	0,7 μ	0,32	[-]
Resistenza a scorrimento per ciascun piano di taglio	F _v ,R _d	119,49	[-]
Resistenza a taglio globale dei bulloni	F _{1j} ,R _d sup SLU	11293,4	[kN]
Resistenza a scorrimento globale dei bulloni	F _{1j} ,R _d sup SCO	7350,1	[kN]

Resistenza della sezione netta delle ali

Area della sezione netta della ala superiore	A _{f,net}	27520,00	[mm ²]
Resistenza sezione netta ala superiore	F _{t,net} ,R _d s	10105,34	[kN]

Resistenza a rifollamento delle ali

Coefficiente di riduzione per geometria	α _g	0,60	[-]
Resistenza di ogni singolo bullone ala sup	F _b ,R _d s	655,71	[kN]
Resistenza a rifollamento ala superiore	F _{3j} ,R _d	20982,86	[kN]

Resistenza a rifollamento dei coprigiunti

Coefficiente di riduzione per geometria	α _c	0,65	[-]
Resistenza di ogni singolo bullone	F _{b,c} ,R _d	1262,25	[kN]
Resistenza a rifollamento coprigiunto d'ala superiore	F _{4j} ,R _d	80784,00	[kN]

Resistenza della sezione lorda dei coprigiunti

Area della sezione lorda dei coprigiunti	A _c	32200,00	[mm ²]
Massima trazione coprigiunti superiori	F _{t,c} ,R _d	10886,67	[kN]

Resistenza della sezione netta dei coprigiunti

Area della sezione netta dei coprigiunti	A _{c,net}	24360,00	[mm ²]
Massima trazione assunta dai coprigiunti	F _{t,c,net} ,R _d	8944,99	[kN]

VERIFICA COPRIGIUNTO ALA INFERIORE
CARATTERISTICHE DEL COPRIGIUNTO E DEI BULLONI D'ALA

Diametro del bullone	d	27	[mm]
Diametro del foro	d ₀	28	[mm]
Area del gambo filettato	A _s	459	[mm ²]
Numero di bulloni su metà giunto	nb	48	[-]
Numero di bulloni trasversali	nb _{,trasv}	6	[-]
Numero piani di taglio per bullone	n	2	[-]
Distanza bullone dal bordo lungo asse trave	e1	55	[mm]
Distanza bullone dal bordo trasversale asse trave	e2	55	[mm]
Passo bulloni in direzione asse trave	p1	80	[mm]
Passo bulloni in direzione trasversale asse trave	p2	100	[mm]
Passo bulloni in direzione asse trave prossimi alla linea dei concetti	p3	110	[mm]
Distanza dal bordo bulloni prossimi alla linea dei concetti	e'1	50	[mm]
Distanza dal bordo interno bulloni coprigiunto interno	e'2	50	[mm]

Nuova viabilità – Ponte stradale
Relazione di calcolo impalcato

COMMESSA	LOTTO	CODIFICA	DOCUMENTO	REV.	FOGLIO
IV01	00	D 09 CL	NVX309001	B	123 di 144

Distanza trasversale bulloni prossimi ad asse trave	e3	200	[mm]
Resistenza a rottura del bullone	f _{tb}	1000	[MPa]

CARATTERISTICHE GEOMETRICHE DEL COPRIGIUNTO

Lunghezza del coprigiunto esterno	Lc	1340	[mm]
Larghezza del coprigiunto esterno	bc	710	[mm]
Spessore del coprigiunto esterno	tc	40	[mm]
Lunghezza del coprigiunto interno	Lc	1340	[mm]
Larghezza del coprigiunto interno	b'c	305	[mm]
Spessore del coprigiunto interno	tc	40	[mm]
Resistenza a snervamento dell'acciaio	f _{yk}	355	[MPa]
Resistenza a rottura dell'acciaio	f _{tk}	510	[MPa]

Resistenza del giunto offerta dai bulloni

Coefficiente di riduzione per la resistenza a taglio	α	0,5	[-]
Coefficiente di attrito tra piastre per scorrimento	μ	0,45	[-]
Resistenza a taglio per ciascun piano di taglio	Fv,Rd	183,60	[kN]
Coefficiente di riduzione per la lunghezza del giunto	bLf	0,96	[-]
Coefficiente di riduzione adottato min(0,75;bLf)	bLf,ad	0,96	[-]
Coefficiente riduzione per la resistenza a scorrimento	0,7 μ	0,32	[-]
Resistenza a scorrimento per ciascun piano di taglio	Fv,Rd	119,49	[-]
Resistenza a taglio globale dei bulloni	F1j,Rd sup SLU	16940,2	[kN]
Resistenza a scorrimento globale dei bulloni	F1j,Rd sup SCO	11025,1	[kN]

Resistenza della sezione netta delle ali

Area della sezione netta della ala inferiore	Af,net	49920,00	[mm ²]
Resistenza sezione netta ala inferiore	Ft,net,Rd i	18330,62	[kN]

Resistenza a rifollamento delle ali

Coefficiente di riduzione per geometria	αg	0,60	[-]
Resistenza di ogni singolo bullone ala inf	Fb,Rd i	983,57	[kN]
Resistenza a rifollamento ala inferiore	F3j,Rd	47211,43	[kN]

Resistenza a rifollamento dei coprigiunti

Coefficiente di riduzione per geometria	αc	0,65	[-]
Resistenza di ogni singolo bullone	Fb,c,Rd	1442,57	[kN]
Resistenza a rifollamento coprigiunto d'ala inferiore	F4j,Rd	138486,86	[kN]

Resistenza della sezione lorda dei coprigiunti

Area della sezione lorda dei coprigiunti	Ac	52800,00	[mm ²]
Massima trazione coprigiunti inferiori	Ft,c,Rd	17851,43	[kN]

Resistenza della sezione netta dei coprigiunti

Area della sezione netta dei coprigiunti	Ac,net	39360,00	[mm ²]
Massima trazione assunta dai coprigiunti	Ft,c,net,Rd	14452,99	[kN]

VERIFICA COPRIGIUNTI D'ANIMA

Numero di sezioni resistenti	nv	2,00	[-]
Eccentricità di VSd	e	13,50	[cm]
Numero totale di bulloni	nb	63	[-]
Baricentro bullonatura	ZG,b	84,00	[cm]
Baricentro bullonatura	XG,b	13,50	[cm]
Ordinata massima	zb,max	80,00	[cm]
Ascissa massima	xb,max	8,00	[cm]
Momento d'inerzia bulloneria	Jb,tot	150528,00	[cm ²]

Sollecitazioni di calcolo ripartite negli elementi del giunto

		SLU	SLE	
Forza Normale di Calcolo	NSd	-618,40	0,00	[kN]
Forza di Taglio di Calcolo	VSd	2433,97	1799,41	[kN]
Momento flettente di Calcolo	MSd	3281,83	2481,84	[kNm]
Momento torcente parassita	TSd	32859	24292	[kNcm]
Momento totale di calcolo	Mtot,Sd	361041	272476	[kNcm]

Nuova viabilità – Ponte stradale
Relazione di calcolo impalcato

COMMESSA	LOTTO	CODIFICA	DOCUMENTO	REV.	FOGLIO
IV01	00	D 09 CL	NVX309001	B	124 di 144

Taglio in z dovuto a Vsd	Vbz,V	19,32	14,28	[kN]
Taglio in x dovuto a Nsd	Vbx,N	-4,91	0,00	[kN]
Taglio in z dovuto a Msd,tot	Vbz,M	9,59	7,24	[kN]
Taglio in x dovuto a Msd,tot	Vbx,M	95,94	72,41	[kN]
Reazione per sezione di taglio	Rb,tot	96	76	[kN]

Verifica dei bulloni

Coefficiente di riduzione per la resistenza a taglio	α	0,50	[-]
Resistenza a taglio per ciascun piano di taglio	Fv,Rd SLU	183,60	[kN]
Coefficiente riduzione per la resistenza a scorrimento	0,7 μ	0,32	[-]
Resistenza a scorrimento per ciascun piano di taglio	Fv,Rd	119,49	[kN]
Azione sollecitante per taglio	Fv,Ed SLU	95,51	[kN]
Azione sollecitante per scorrimento	Fv,Ed SLE	76	[kN]

Verifica a rifollamento dell'anima della trave

Azione di rifollamento in direzione verticale	Fbz,Ed	57,82	[kN]
Azione di rifollamento in direzione orizzontale	Fby,Ed	182,06	[kN]
Coefficiente di riduzione per geometria verticale	az	0,702	[-]
Coefficiente di riduzione per geometria orizzontale	ax	0,536	[-]
Resistenza a rifollamento verticale	Fbz,Rd	348,18	[kN]
Resistenza a rifollamento orizzontale	Fby,Rd	265,56	[kN]

Verifica a rifollamento dei coprigiunti

Azione di rifollamento in direzione verticale	Fbz,Ed	57,82	[kN]
Azione di rifollamento in direzione orizzontale	Fby,Ed	182,06	[kN]
Coefficiente di riduzione per geometria verticale	az	0,595	[-]
Coefficiente di riduzione per geometria orizzontale	ax	0,595	[-]
Resistenza a rifollamento verticale	Fbz,Rd	491,79	[kN]
Resistenza a rifollamento orizzontale	Fby,Rd	491,79	[kN]

Verifica della sezione lorda dei coprigiunti

Modulo di resistenza plastico dei coprigiunti	Wc,pl	21675000	[mm ³]
Area di taglio dei coprigiunti	Ac,v	51000	[mm ²]
Momento resistente dei coprigiunti	Mc,pl,Rd	6995,113636	[kNm]
Taglio resistente dei coprigiunti	Vc,pl,Rd	9502,66	[kN]
Momento plastico trasferito all'anima della trave	Mw,pl,Rd	3281,83	[kNm]
Taglio sollecitante di progetto	VEd	2433,9675	[kN]

Verifica della sezione netta dei coprigiunti

Modulo di resistenza netto dei coprigiunti	Wc,net,pl	16567800	[mm ³]
Area di taglio netta dei coprigiunti	Ac,v	33360	[mm ²]
Momento resistente dei coprigiunti	Mc,pl,Rd	6759,66	[kNm]
Taglio resistente dei coprigiunti	Vc,pl,Rd	7858,25	[kN]
Momento plastico trasferito all'anima della trave	Mw,pl,Rd	3281,83	[kNm]

SINTESI DELLE VERIFICHE NEL GIUNTO
Verifica delle giunzioni d'ala superiore ed inferiore

Resistenza bulloni a taglio ala superiore	η	63,85%	[-]	OK
Resistenza bulloni a taglio ala inferiore	η	69,86%	[-]	OK
Resistenza sezione netta ala superiore	η	71,35%	[-]	OK
Resistenza sezione netta ala inferiore	η	64,56%	[-]	OK
Massima trazione coprigiunti superiori	η	66,23%	[-]	OK
Massima trazione coprigiunti inferiori	η	66,30%	[-]	OK
Trazione area netta coprigiunti superiori	η	80,61%	[-]	OK
Trazione area netta coprigiunti inferiori	η	81,89%	[-]	OK
Resistenza bulloni a scorrimento ala superiore	η	75,26%	[-]	OK
Resistenza bulloni a scorrimento ala inferiore	η	79,84%	[-]	OK
Resistenza a rifollamento ala superiore	η	41,95%	[-]	OK
Resistenza a rifollamento ala inferiore	η	18,65%	[-]	OK

Nuova viabilità – Ponte stradale
Relazione di calcolo impalcato

COMMESSA	LOTTO	CODIFICA	DOCUMENTO	REV.	FOGLIO
IV01	00	D 09 CL	NVX309001	B	125 di 144

Resistenza a rifollamento coprighiunto d'ala superiore	η	10,90%	[-]	OK
Resistenza a rifollamento coprighiunto d'ala inferiore	η	6,36%	[-]	OK
Tasso di lavoro massimo	η	81,89%	[-]	OK

Verifica della giunzione d'anima

Verifica a taglio dei bulloni	η	52,02%	[-]	OK
Verifica a scorrimento	η	63,21%	[-]	OK
Verifica a rifollamento dell'anima della trave	η	16,61%	[-]	OK
Verifica a rifollamento dei coprighiunti	η	68,56%	[-]	OK
	η	11,76%	[-]	OK
Verifica della sezione lorda dei coprighiunti	η_{MOMENTO}	46,92%	[-]	OK
	η_{TAGLIO}	25,61%	[-]	OK
Verifica della sezione netta dei coprighiunti	η_{MOMENTO}	48,55%	[-]	OK
	η_{TAGLIO}	30,97%	[-]	OK
Tasso di lavoro massimo	η	68,56%		OK

VERIFICA GIUNTO BULLONATO		: CONCIO B		11 xi=35 xj=40	
Elemento :	11_xi=35_xj=40	27	OK	0	0
Combinazione :	Mmax	27	OK	0	0
Concio :	B	27	OK	0	0
Effetti primari :	$\varepsilon \Delta T(+)$				

SFORZO NORMALE SU CONCIO METALLICO :

 Nsdconcio **7772,77** [kN]

MOMENTO FLETTENTE SU CONCIO METALLICO :

 Msdconcio **18715,82** [kNm]

SLU	SLE
7772,77	5840,79
18715,82	13693,37

Ripartizione delle azioni sulle ali

Momento d'inerzia del profilo	I_y	1,37279E+11	[mm ⁴]
Momento d'inerzia delle ali	$I_{y,ali}$	1,16E+11	[mm ⁴]
Area del profilo	A	133400	[mm ²]
Area della ala superiore	Aala sup	32000	[mm ²]
Area della ala inferiore	Aala inf	60000	[mm ²]

Sollecitazioni di calcolo ripartite negli elementi del giunto		SLU	SLE	
Momento assorbito dalle ali	Mf,Ed	15874,68	11614,65	[kNm]
Forza normale assorbita dalla ala sup	Nf,Ed	-4330,82	-3131,72	[kN]
Forza normale assorbita dalla ala inf	Nf,Ed	11102,83	8192,55	[kN]

Ripartizione delle azioni sull'anima		SLU	SLE	
Forza di taglio assorbita dall'anima	Vw,Ed	2433,97	1799,41	[kN]
Forza normale assorbita dall'anima	Nw,Ed	1000,76	FALSO	[kN]
Momento assorbito dall'anima	Mw,Ed	2488,17	1820,46	[kNm]

VERIFICA COPRIGIUNTO ALA SUPERIORE
CARATTERISTICHE DEL COPRIGIUNTO E DEI BULLONI D'ALA

Diametro del bullone	d	27	[mm]
Diametro del foro	d_0	28	[mm]
Area del gambo filettato	A_s	459	[mm ²]
Numero di bulloni su metà giunto	nb	32	[-]
Numero di bulloni trasversali	nb_{trasv}	4	[-]
Numero piani di taglio per bullone	n	2	[-]
Distanza bullone dal bordo lungo asse trave	e1	55	[mm]

**Nuova viabilità – Ponte stradale
 Relazione di calcolo impalcato**

COMMESSA	LOTTO	CODIFICA	DOCUMENTO	REV.	FOGLIO
IV01	00	D 09 CL	NVX309001	B	126 di 144

Distanza bullone dal bordo trasversale asse trave	e2	55	[mm]
Passo bulloni in direzione asse trave	p1	80	[mm]
Passo bulloni in direzione trasversale asse trave	p2	100	[mm]
Passo bulloni in direzione asse trave prossimi alla linea dei concii	p3	110	[mm]
Distanza dal bordo bulloni prossimi alla linea dei concii	e'1	50	[mm]
Distanza dal bordo interno bulloni coprigiunto interno	e'2	50	[mm]
Distanza trasversale bulloni prossimi ad asse trave	e3	200	[mm]
Resistenza a rottura del bullone	f _{tb}	1000	[MPa]

CARATTERISTICHE GEOMETRICHE DEL COPRIGIUNTO

Lunghezza del coprigiunto esterno	Lc	1340	[mm]
Larghezza del coprigiunto esterno	bc	510	[mm]
Spessore del coprigiunto esterno	tc	35	[mm]
Lunghezza del coprigiunto interno	Lc	1340	[mm]
Larghezza del coprigiunto interno	b'c	205	[mm]
Spessore del coprigiunto interno	tc	35	[mm]
Resistenza a snervamento dell'acciaio	f _{yk}	355	[MPa]
Resistenza a rottura dell'acciaio	f _{tk}	510	[MPa]

Resistenza del giunto offerta dai bulloni

Coefficiente di riduzione per la resistenza a taglio	α	0,5	[-]
Coefficiente di attrito tra piastre per scorrimento	μ	0,45	[-]
Resistenza a taglio per ciascun piano di taglio	Fv,Rd	183,60	[kN]
Coefficiente di riduzione per la lunghezza del giunto	bLf	0,96	[-]
Coefficiente di riduzione adottato min(0,75;bLf)	bLf,ad	0,96	[-]
Coefficiente riduzione per la resistenza a scorrimento	0,7 μ	0,32	[-]
Resistenza a scorrimento per ciascun piano di taglio	Fv,Rd	119,49	[-]
Resistenza a taglio globale dei bulloni	F1j,Rd sup SLU	11293,4	[kN]
Resistenza a scorrimento globale dei bulloni	F1j,Rd sup SCO	7350,1	[kN]

Resistenza della sezione netta delle ali

Area della sezione netta della ala superiore	Af,net	27520,00	[mm ²]
Resistenza sezione netta ala superiore	Ft,net,Rd s	10105,34	[kN]

Resistenza a rifollamento delle ali

Coefficiente di riduzione per geometria	αg	0,60	[-]
Resistenza di ogni singolo bullone ala sup	Fb,Rd s	655,71	[kN]
Resistenza a rifollamento ala superiore	F3j,Rd	20982,86	[kN]

Resistenza a rifollamento dei coprigiunti

Coefficiente di riduzione per geometria	αc	0,65	[-]
Resistenza di ogni singolo bullone	Fb,c,Rd	1262,25	[kN]
Resistenza a rifollamento coprigiunto d'ala superiore	F4j,Rd	80784,00	[kN]

Resistenza della sezione lorda dei coprigiunti

Area della sezione lorda dei coprigiunti	Ac	32200,00	[mm ²]
Massima trazione coprigiunti superiori	Ft,c,Rd	10886,67	[kN]

Resistenza della sezione netta dei coprigiunti

Area della sezione netta dei coprigiunti	Ac,net	24360,00	[mm ²]
Massima trazione assunta dai coprigiunti	Ft,c,net,Rd	8944,99	[kN]

VERIFICA COPRIGIUNTO ALA INFERIORE
CARATTERISTICHE DEL COPRIGIUNTO E DEI BULLONI D'ALA

Diametro del bullone	d	27	[mm]
Diametro del foro	d ₀	28	[mm]
Area del gambo filettato	As	459	[mm ²]
Numero di bulloni su metà giunto	nb	48	[-]
Numero di bulloni trasversali	nb _{,trasv}	6	[-]
Numero piani di taglio per bullone	n	2	[-]
Distanza bullone dal bordo lungo asse trave	e1	55	[mm]

Nuova viabilità – Ponte stradale
Relazione di calcolo impalcato

COMMESSA	LOTTO	CODIFICA	DOCUMENTO	REV.	FOGLIO
IV01	00	D 09 CL	NVX309001	B	127 di 144

Distanza bullone dal bordo trasversale asse trave	e2	55	[mm]
Passo bulloni in direzione asse trave	p1	80	[mm]
Passo bulloni in direzione trasversale asse trave	p2	100	[mm]
Passo bulloni in direzione asse trave prossimi alla linea dei concii	p3	110	[mm]
Distanza dal bordo bulloni prossimi alla linea dei concii	e'1	50	[mm]
Distanza dal bordo interno bulloni coprigiunto interno	e'2	50	[mm]
Distanza trasversale bulloni prossimi ad asse trave	e3	200	[mm]
Resistenza a rottura del bullone	f _{tb}	1000	[MPa]

CARATTERISTICHE GEOMETRICHE DEL COPRIGIUNTO

Lunghezza del coprigiunto esterno	Lc	1340	[mm]
Larghezza del coprigiunto esterno	bc	710	[mm]
Spessore del coprigiunto esterno	tc	40	[mm]
Lunghezza del coprigiunto interno	Lc	1340	[mm]
Larghezza del coprigiunto interno	b'c	305	[mm]
Spessore del coprigiunto interno	tc	40	[mm]
Resistenza a snervamento dell'acciaio	f _{yk}	355	[MPa]
Resistenza a rottura dell'acciaio	f _{tk}	510	[MPa]

Resistenza del giunto offerta dai bulloni

Coefficiente di riduzione per la resistenza a taglio	α	0,5	[-]
Coefficiente di attrito tra piastre per scorrimento	μ	0,45	[-]
Resistenza a taglio per ciascun piano di taglio	Fv,Rd	183,60	[kN]
Coefficiente di riduzione per la lunghezza del giunto	bLf	0,96	[-]
Coefficiente di riduzione adottato min(0,75;bLf)	bLf,ad	0,96	[-]
Coefficiente riduzione per la resistenza a scorrimento	0,7 μ	0,32	[-]
Resistenza a scorrimento per ciascun piano di taglio	Fv,Rd	119,49	[-]
Resistenza a taglio globale dei bulloni	F1j,Rd sup SLU	16940,2	[kN]
Resistenza a scorrimento globale dei bulloni	F1j,Rd sup SCO	11025,1	[kN]

Resistenza della sezione netta delle ali

Area della sezione netta della ala inferiore	Af,net	49920,00	[mm ²]
Resistenza sezione netta ala inferiore	Ft,net,Rd i	18330,62	[kN]

Resistenza a rifollamento delle ali

Coefficiente di riduzione per geometria	αg	0,60	[-]
Resistenza di ogni singolo bullone ala inf	Fb,Rd i	983,57	[kN]
Resistenza a rifollamento ala inferiore	F3j,Rd	47211,43	[kN]

Resistenza a rifollamento dei coprigiunti

Coefficiente di riduzione per geometria	αc	0,65	[-]
Resistenza di ogni singolo bullone	Fb,c,Rd	1442,57	[kN]
Resistenza a rifollamento coprigiunto d'ala inferiore	F4j,Rd	138486,86	[kN]

Resistenza della sezione lorda dei coprigiunti

Area della sezione lorda dei coprigiunti	Ac	52800,00	[mm ²]
Massima trazione coprigiunti inferiori	Ft,c,Rd	17851,43	[kN]

Resistenza della sezione netta dei coprigiunti

Area della sezione netta dei coprigiunti	Ac,net	39360,00	[mm ²]
Massima trazione assunta dai coprigiunti	Ft,c,net,Rd	14452,99	[kN]

VERIFICA COPRIGIUNTI D'ANIMA

Numero di sezioni resistenti	nv	2,00	[-]
Eccentricità di VSd	e	13,50	[cm]
Numero totale di bulloni	nb	63	[-]
Baricentro bullonatura	ZG,b	84,00	[cm]
Baricentro bullonatura	XG,b	13,50	[cm]
Ordinata massima	zb,max	80,00	[cm]
Ascissa massima	xb,max	8,00	[cm]
Momento d'inerzia bulloneria	Jb,tot	150528,00	[cm ²]

Nuova viabilità – Ponte stradale
Relazione di calcolo impalcato

COMMESSA	LOTTO	CODIFICA	DOCUMENTO	REV.	FOGLIO
IV01	00	D 09 CL	NVX309001	B	128 di 144

Sollecitazioni di calcolo ripartite negli elementi del giunto		SLU	SLE	
Forza Normale di Calcolo	NSd	1000,76	0,00	[kN]
Forza di Taglio di Calcolo	VSd	2433,97	1799,41	[kN]
Momento flettente di Calcolo	MSd	2488,17	1820,46	[kNm]
Momento torcente parassita	TSd	32859	24292	[kNcm]
Momento totale di calcolo	Mtot,Sd	281675	206338	[kNcm]
Taglio in z dovuto a Vsd	Vbz,V	19,32	14,28	[kN]
Taglio in x dovuto a Nsd	Vbx,N	7,94	0,00	[kN]
Taglio in z dovuto a Msd,tot	Vbz,M	7,48	5,48	[kN]
Taglio in x dovuto a Msd,tot	Vbx,M	74,85	54,83	[kN]
Reazione per sezione di taglio	Rb,tot	87	58	[kN]
Verifica dei bulloni				
Coefficiente di riduzione per la resistenza a taglio		α	0,50	[-]
Resistenza a taglio per ciascun piano di taglio		Fv,Rd SLU	183,60	[kN]
Coefficiente riduzione per la resistenza a scorrimento		0,7 μ	0,32	[-]
Resistenza a scorrimento per ciascun piano di taglio		Fv,Rd	119,49	[kN]
Azione sollecitante per taglio		Fv,Ed SLU	87,02	[kN]
Azione sollecitante per scorrimento		Fv,Ed SLE	58	[kN]
Verifica a rifollamento dell'anima della trave				
Azione di rifollamento in direzione verticale		Fbz,Ed	53,60	[kN]
Azione di rifollamento in direzione orizzontale		Fby,Ed	165,58	[kN]
Coefficiente di riduzione per geometria verticale		az	0,702	[-]
Coefficiente di riduzione per geometria orizzontale		ax	0,536	[-]
Resistenza a rifollamento verticale		Fbz,Rd	348,18	[kN]
Resistenza a rifollamento orizzontale		Fby,Rd	265,56	[kN]
Verifica a rifollamento dei coprigiunti				
Azione di rifollamento in direzione verticale		Fbz,Ed	53,60	[kN]
Azione di rifollamento in direzione orizzontale		Fby,Ed	165,58	[kN]
Coefficiente di riduzione per geometria verticale		az	0,595	[-]
Coefficiente di riduzione per geometria orizzontale		ax	0,595	[-]
Resistenza a rifollamento verticale		Fbz,Rd	491,79	[kN]
Resistenza a rifollamento orizzontale		Fby,Rd	491,79	[kN]
Verifica della sezione lorda dei coprigiunti				
Modulo di resistenza plastico dei coprigiunti		Wc,pl	21675000	[mm ³]
Area di taglio dei coprigiunti		Ac,v	51000	[mm ²]
Momento resistente dei coprigiunti		Mc,pl,Rd	6995,113636	[kNm]
Taglio resistente dei coprigiunti		Vc,pl,Rd	9502,66	[kN]
Momento plastico trasferito all'anima della trave		Mw,pl,Rd	2488,17	[kNm]
Taglio sollecitante di progetto		VEd	2433,9675	[kN]
Verifica della sezione netta dei coprigiunti				
Modulo di resistenza netto dei coprigiunti		Wc,net,pl	16567800	[mm ³]
Area di taglio netta dei coprigiunti		Ac,v	33360	[mm ²]
Momento resistente dei coprigiunti		Mc,pl,Rd	6759,66	[kNm]
Taglio resistente dei coprigiunti		Vc,pl,Rd	7858,25	[kN]
Momento plastico trasferito all'anima della trave		Mw,pl,Rd	2488,17	[kNm]

SINTESI DELLE VERIFICHE NEL GIUNTO

Verifica delle giunzioni d'ala superiore ed inferiore

Resistenza bulloni a taglio ala superiore	η	38,35%	[-]	OK
Resistenza bulloni a taglio ala inferiore	η	65,54%	[-]	OK
Resistenza sezione netta ala superiore	η	42,86%	[-]	OK
Resistenza sezione netta ala inferiore	η	60,57%	[-]	OK
Massima trazione coprigiunti superiori	η	39,78%	[-]	OK

Nuova viabilità – Ponte stradale
Relazione di calcolo impalcato

COMMESSA	LOTTO	CODIFICA	DOCUMENTO	REV.	FOGLIO
IVOI	00	D 09 CL	NVX309001	B	129 di 144

Massima trazione coprigiunti inferiori	η	62,20%	[-]	OK
Trazione area netta coprigiunti superiori	η	48,42%	[-]	OK
Trazione area netta coprigiunti inferiori	η	76,82%	[-]	OK
Resistenza bulloni a scorrimento ala superiore	η	42,61%	[-]	OK
Resistenza bulloni a scorrimento ala inferiore	η	74,31%	[-]	OK
Resistenza a rifollamento ala superiore	η	39,04%	[-]	OK
Resistenza a rifollamento ala inferiore	η	17,35%	[-]	OK
Resistenza a rifollamento coprigiunto d'ala superiore	η	10,14%	[-]	OK
Resistenza a rifollamento coprigiunto d'ala inferiore	η	5,92%	[-]	OK
Tasso di lavoro massimo	η	76,82%	[-]	OK

Verifica della giunzione d'anima

Verifica a taglio dei bulloni	η	47,40%	[-]	OK
Verifica a scorrimento	η	48,78%	[-]	OK
Verifica a rifollamento dell'anima della trave	η	15,40%	[-]	OK
	η	62,35%	[-]	OK
Verifica a rifollamento dei coprigiunti	η	10,90%	[-]	OK
	η	33,67%	[-]	OK
Verifica della sezione lorda dei coprigiunti	η MOMENTO	35,57%	[-]	OK
	η TAGLIO	25,61%	[-]	OK
Verifica della sezione netta dei coprigiunti	η MOMENTO	36,81%	[-]	OK
	η TAGLIO	30,97%	[-]	OK
Tasso di lavoro massimo	η	62,35%		OK

VERIFICA GIUNTO BULLONATO		: CONCIO B		11_xi=35_xj=40	
Elemento :	11_xi=35_xj=40	27	OK	0	0
Combinazione :	Mmax	27	OK	0	0
Concio :	B	27	OK	0	0
Effetti primari :	assenti				

SFORZO NORMALE SU CONCIO METALLICO

Nsdconcio **7071,77** **5256,62** [kN]

MOMENTO FLETTENTE SU CONCIO METALLICO :

Msdconcio **19820,19** **14613,68** [kNm]

Ripartizione delle azioni sulle ali

Momento d'inerzia del profilo	I_y	1,37279E+11	[mm ⁴]
Momento d'inerzia delle ali	$I_{y,ali}$	1,16E+11	[mm ⁴]
Area del profilo	A	133400	[mm ²]
Area della ala superiore	Aala sup	32000	[mm ²]
Area della ala inferiore	Aala inf	60000	[mm ²]

Sollecitazioni di calcolo ripartite negli elementi del giunto		SLU	SLE	
Momento assorbito dalle ali	Mf,Ed	16811,40	12395,26	[kNm]
Forza normale assorbita dalla ala sup	Nf,Ed	-4864,54	-3576,49	[kN]
Forza normale assorbita dalla ala inf	Nf,Ed	11236,40	8303,86	[kN]

Ripartizione delle azioni sull'anima		SLU	SLE	
Forza di taglio assorbita dall'anima	Vw,Ed	2433,97	1799,41	[kN]
Forza normale assorbita dall'anima	Nw,Ed	699,92	FALSO	[kN]
Momento assorbito dall'anima	Mw,Ed	2634,99	1942,81	[kNm]

VERIFICA COPRIGIUNTO ALA SUPERIORE

CARATTERISTICHE DEL COPRIGIUNTO E DEI BULLONI D'ALA

Nuova viabilità – Ponte stradale
Relazione di calcolo impalcato

COMMESSA	LOTTO	CODIFICA	DOCUMENTO	REV.	FOGLIO
IV01	00	D 09 CL	NVX309001	B	130 di 144

Diametro del bullone	d	27	[mm]
Diametro del foro	d ₀	28	[mm]
Area del gambo filettato	As	459	[mm ²]
Numero di bulloni su metà giunto	nb	32	[-]
Numero di bulloni trasversali	nb _{trasv}	4	[-]
Numero piani di taglio per bullone	n	2	[-]
Distanza bullone dal bordo lungo asse trave	e1	55	[mm]
Distanza bullone dal bordo trasversale asse trave	e2	55	[mm]
Passo bulloni in direzione asse trave	p1	80	[mm]
Passo bulloni in direzione trasversale asse trave	p2	100	[mm]
Passo bulloni in direzione asse trave prossimi alla linea dei conci	p3	110	[mm]
Distanza dal bordo bulloni prossimi alla linea dei conci	e'1	50	[mm]
Distanza dal bordo interno bulloni coprigiunto interno	e'2	50	[mm]
Distanza trasversale bulloni prossimi ad asse trave	e3	200	[mm]
Resistenza a rottura del bullone	f _{tb}	1000	[MPa]

CARATTERISTICHE GEOMETRICHE DEL COPRIGIUNTO

Lunghezza del coprigiunto esterno	Lc	1340	[mm]
Larghezza del coprigiunto esterno	bc	510	[mm]
Spessore del coprigiunto esterno	tc	35	[mm]
Lunghezza del coprigiunto interno	Lc	1340	[mm]
Larghezza del coprigiunto interno	b'c	205	[mm]
Spessore del coprigiunto interno	tc	35	[mm]
Resistenza a snervamento dell'acciaio	f _{yk}	355	[MPa]
Resistenza a rottura dell'acciaio	f _{tk}	510	[MPa]

Resistenza del giunto offerta dai bulloni

Coefficiente di riduzione per la resistenza a taglio	α	0,5	[-]
Coefficiente di attrito tra piastre per scorrimento	μ	0,45	[-]
Resistenza a taglio per ciascun piano di taglio	F _{v,Rd}	183,60	[kN]
Coefficiente di riduzione per la lunghezza del giunto	bLf	0,96	[-]
Coefficiente di riduzione adottato min(0,75;bLf)	bLf,ad	0,96	[-]
Coefficiente riduzione per la resistenza a scorrimento	0,7 μ	0,32	[-]
Resistenza a scorrimento per ciascun piano di taglio	F _{v,Rd}	119,49	[-]
Resistenza a taglio globale dei bulloni	F _{1j,Rd sup SLU}	11293,4	[kN]
Resistenza a scorrimento globale dei bulloni	F _{1j,Rd sup SCO}	7350,1	[kN]

Resistenza della sezione netta delle ali

Area della sezione netta della ala superiore	A _{f,net}	27520,00	[mm ²]
Resistenza sezione netta ala superiore	F _{t,net,Rd s}	10105,34	[kN]

Resistenza a rifollamento delle ali

Coefficiente di riduzione per geometria	α _g	0,60	[-]
Resistenza di ogni singolo bullone ala sup	F _{b,Rd s}	655,71	[kN]
Resistenza a rifollamento ala superiore	F _{3j,Rd}	20982,86	[kN]

Resistenza a rifollamento dei coprigiunti

Coefficiente di riduzione per geometria	α _c	0,65	[-]
Resistenza di ogni singolo bullone	F _{b,c,Rd}	1262,25	[kN]
Resistenza a rifollamento coprigiunto d'ala superiore	F _{4j,Rd}	80784,00	[kN]

Resistenza della sezione lorda dei coprigiunti

Area della sezione lorda dei coprigiunti	A _c	32200,00	[mm ²]
Massima trazione coprigiunti superiori	F _{t,c,Rd}	10886,67	[kN]

Resistenza della sezione netta dei coprigiunti

Area della sezione netta dei coprigiunti	A _{c,net}	24360,00	[mm ²]
Massima trazione assunta dai coprigiunti	F _{t,c,net,Rd}	8944,99	[kN]

VERIFICA COPRIGIUNTO ALA INFERIORE

CARATTERISTICHE DEL COPRIGIUNTO E DEI BULLONI D'ALA

Nuova viabilità – Ponte stradale
Relazione di calcolo impalcato

COMMESSA	LOTTO	CODIFICA	DOCUMENTO	REV.	FOGLIO
IV01	00	D 09 CL	NVX309001	B	131 di 144

Diametro del bullone	d	27	[mm]
Diametro del foro	d ₀	28	[mm]
Area del gambo filettato	As	459	[mm ²]
Numero di bulloni su metà giunto	nb	48	[-]
Numero di bulloni trasversali	nb _{,trav}	6	[-]
Numero piani di taglio per bullone	n	2	[-]
Distanza bullone dal bordo lungo asse trave	e1	55	[mm]
Distanza bullone dal bordo trasversale asse trave	e2	55	[mm]
Passo bulloni in direzione asse trave	p1	80	[mm]
Passo bulloni in direzione trasversale asse trave	p2	100	[mm]
Passo bulloni in direzione asse trave prossimi alla linea dei conci	p3	110	[mm]
Distanza dal bordo bulloni prossimi alla linea dei conci	e'1	50	[mm]
Distanza dal bordo interno bulloni coprigiunto interno	e'2	50	[mm]
Distanza trasversale bulloni prossimi ad asse trave	e3	200	[mm]
Resistenza a rottura del bullone	f _{tb}	1000	[MPa]

CARATTERISTICHE GEOMETRICHE DEL COPRIGIUNTO

Lunghezza del coprigiunto esterno	Lc	1340	[mm]
Larghezza del coprigiunto esterno	bc	710	[mm]
Spessore del coprigiunto esterno	tc	40	[mm]
Lunghezza del coprigiunto interno	Lc	1340	[mm]
Larghezza del coprigiunto interno	b'c	305	[mm]
Spessore del coprigiunto interno	tc	40	[mm]
Resistenza a snervamento dell'acciaio	f _{yk}	355	[MPa]
Resistenza a rottura dell'acciaio	f _{tk}	510	[MPa]

Resistenza del giunto offerta dai bulloni

Coefficiente di riduzione per la resistenza a taglio	α	0,5	[-]
Coefficiente di attrito tra piastre per scorrimento	μ	0,45	[-]
Resistenza a taglio per ciascun piano di taglio	Fv,Rd	183,60	[kN]
Coefficiente di riduzione per la lunghezza del giunto	bLf	0,96	[-]
Coefficiente di riduzione adottato min(0,75;bLf)	bLf,ad	0,96	[-]
Coefficiente riduzione per la resistenza a scorrimento	0,7 μ	0,32	[-]
Resistenza a scorrimento per ciascun piano di taglio	Fv,Rd	119,49	[-]
Resistenza a taglio globale dei bulloni	F1j,Rd sup SLU	16940,2	[kN]
Resistenza a scorrimento globale dei bulloni	F1j,Rd sup SCO	11025,1	[kN]

Resistenza della sezione netta delle ali

Area della sezione netta della ala inferiore	Af,net	49920,00	[mm ²]
Resistenza sezione netta ala inferiore	Ft,net,Rd i	18330,62	[kN]

Resistenza a rifollamento delle ali

Coefficiente di riduzione per geometria	αg	0,60	[-]
Resistenza di ogni singolo bullone ala inf	Fb,Rd i	983,57	[kN]
Resistenza a rifollamento ala inferiore	F3j,Rd	47211,43	[kN]

Resistenza a rifollamento dei coprigiunti

Coefficiente di riduzione per geometria	αc	0,65	[-]
Resistenza di ogni singolo bullone	Fb,c,Rd	1442,57	[kN]
Resistenza a rifollamento coprigiunto d'ala inferiore	F4j,Rd	138486,86	[kN]

Resistenza della sezione lorda dei coprigiunti

Area della sezione lorda dei coprigiunti	Ac	52800,00	[mm ²]
Massima trazione coprigiunti inferiori	Ft,c,Rd	17851,43	[kN]

Resistenza della sezione netta dei coprigiunti

Area della sezione netta dei coprigiunti	Ac,net	39360,00	[mm ²]
Massima trazione assunta dai coprigiunti	Ft,c,net,Rd	14452,99	[kN]

VERIFICA COPRIGIUNTI D'ANIMA

Numero di sezioni resistenti	nv	2,00	[-]
------------------------------	----	------	-----

Nuova viabilità – Ponte stradale
Relazione di calcolo impalcato

COMMESSA	LOTTO	CODIFICA	DOCUMENTO	REV.	FOGLIO
IV01	00	D 09 CL	NVX309001	B	132 di 144

Eccentricità di VSd		e	13,50	[cm]
Numero totale di bulloni		nb	63	[-]
Baricentro bullonatura		ZG,b	84,00	[cm]
Baricentro bullonatura		XG,b	13,50	[cm]
Ordinata massima		zb,max	80,00	[cm]
Ascissa massima		xb,max	8,00	[cm]
Momento d'inerzia bulloneria		Jb,tot	150528,00	[cm ²]

Sollecitazioni di calcolo ripartite negli elementi del giunto		SLU	SLE	
Forza Normale di Calcolo	NSd	699,92	0,00	[kN]
Forza di Taglio di Calcolo	VSd	2433,97	1799,41	[kN]
Momento flettente di Calcolo	MSd	2634,99	1942,81	[kNm]
Momento torcente parassita	TSd	32859	24292	[kNcm]
Momento totale di calcolo	Mtot,Sd	296357	218573	[kNcm]
Taglio in z dovuto a Vsd	Vbz,V	19,32	14,28	[kN]
Taglio in x dovuto a Nsd	Vbx,N	5,55	0,00	[kN]
Taglio in z dovuto a Msd,tot	Vbz,M	7,88	5,81	[kN]
Taglio in x dovuto a Msd,tot	Vbx,M	78,75	58,08	[kN]
Reazione per sezione di taglio	Rb,tot	89	61	[kN]

Verifica dei bulloni

Coefficiente di riduzione per la resistenza a taglio	α	0,50	[-]
Resistenza a taglio per ciascun piano di taglio	Fv,Rd SLU	183,60	[kN]
Coefficiente riduzione per la resistenza a scorrimento	0,7 μ	0,32	[-]
Resistenza a scorrimento per ciascun piano di taglio	Fv,Rd	119,49	[kN]
Azione sollecitante per taglio	Fv,Ed SLU	88,58	[kN]
Azione sollecitante per scorrimento	Fv,Ed SLE	61	[kN]

Verifica a rifollamento dell'anima della trave

Azione di rifollamento in direzione verticale	Fbz,Ed	54,38	[kN]
Azione di rifollamento in direzione orizzontale	Fby,Ed	168,61	[kN]
Coefficiente di riduzione per geometria verticale	az	0,702	[-]
Coefficiente di riduzione per geometria orizzontale	ax	0,536	[-]
Resistenza a rifollamento verticale	Fbz,Rd	348,18	[kN]
Resistenza a rifollamento orizzontale	Fby,Rd	265,56	[kN]

Verifica a rifollamento dei coprigiunti

Azione di rifollamento in direzione verticale	Fbz,Ed	54,38	[kN]
Azione di rifollamento in direzione orizzontale	Fby,Ed	168,61	[kN]
Coefficiente di riduzione per geometria verticale	az	0,595	[-]
Coefficiente di riduzione per geometria orizzontale	ax	0,595	[-]
Resistenza a rifollamento verticale	Fbz,Rd	491,79	[kN]
Resistenza a rifollamento orizzontale	Fby,Rd	491,79	[kN]

Verifica della sezione lorda dei coprigiunti

Modulo di resistenza plastico dei coprigiunti	Wc,pl	21675000	[mm ³]
Area di taglio dei coprigiunti	Ac,v	51000	[mm ²]
Momento resistente dei coprigiunti	Mc,pl,Rd	6995,113636	[kNm]
Taglio resistente dei coprigiunti	Vc,pl,Rd	9502,66	[kN]
Momento plastico trasferito all'anima della trave	Mw,pl,Rd	2634,99	[kNm]
Taglio sollecitante di progetto	VEd	2433,9675	[kN]

Verifica della sezione netta dei coprigiunti

Modulo di resistenza netto dei coprigiunti	Wc,net,pl	16567800	[mm ³]
Area di taglio netta dei coprigiunti	Ac,v	33360	[mm ²]
Momento resistente dei coprigiunti	Mc,pl,Rd	6759,66	[kNm]
Taglio resistente dei coprigiunti	Vc,pl,Rd	7858,25	[kN]
Momento plastico trasferito all'anima della trave	Mw,pl,Rd	2634,99	[kNm]

SINTESI DELLE VERIFICHE NEL GIUNTO

Nuova viabilità – Ponte stradale
Relazione di calcolo impalcato

COMMESSA	LOTTO	CODIFICA	DOCUMENTO	REV.	FOGLIO
IV01	00	D 09 CL	NVX309001	B	133 di 144

Verifica delle giunzioni d'ala superiore ed inferiore

Resistenza bulloni a taglio ala superiore	η	43,07%	[-]	OK
Resistenza bulloni a taglio ala inferiore	η	66,33%	[-]	OK
Resistenza sezione netta ala superiore	η	48,14%	[-]	OK
Resistenza sezione netta ala inferiore	η	61,30%	[-]	OK
Massima trazione coprigiunti superiori	η	44,68%	[-]	OK
Massima trazione coprigiunti inferiori	η	62,94%	[-]	OK
Trazione area netta coprigiunti superiori	η	54,38%	[-]	OK
Trazione area netta coprigiunti inferiori	η	77,74%	[-]	OK
Resistenza bulloni a scorrimento ala superiore	η	48,66%	[-]	OK
Resistenza bulloni a scorrimento ala inferiore	η	75,32%	[-]	OK
Resistenza a rifollamento ala superiore	η	39,57%	[-]	OK
Resistenza a rifollamento ala inferiore	η	17,59%	[-]	OK
Resistenza a rifollamento coprigiunto d'ala superiore	η	10,28%	[-]	OK
Resistenza a rifollamento coprigiunto d'ala inferiore	η	6,00%	[-]	OK
Tasso di lavoro massimo	η	77,74%	[-]	OK

Verifica della giunzione d'anima

Verifica a taglio dei bulloni	η	48,25%	[-]	OK
Verifica a scorrimento	η	51,43%	[-]	OK
Verifica a rifollamento dell'anima della trave	η	15,62%	[-]	OK
	η	63,49%	[-]	OK
Verifica a rifollamento dei coprigiunti	η	11,06%	[-]	OK
	η	34,29%	[-]	OK
Verifica della sezione lorda dei coprigiunti	η_{MOMENTO}	37,67%	[-]	OK
	η_{TAGLIO}	25,61%	[-]	OK
Verifica della sezione netta dei coprigiunti	η_{MOMENTO}	38,98%	[-]	OK
	η_{TAGLIO}	30,97%	[-]	OK
Tasso di lavoro massimo	η	63,49%		OK

12.1.2 Giunti nei trasversi

I giunti nei trasversi sono realizzati mediante piastre bullonate sull'anima e sulle ali. Le verifiche vengono effettuate, per le due giunzioni tra i conci, per le diverse combinazioni di carico analizzate.

VERIFICA GIUNTO BULLONATO		: CONCIO	TA	-
Elemento :	-		27	OK 0 0
Combinazione :	-		27	OK 0 0
Concio :	TA		27	OK 0 0
Effetti primari :	$\varepsilon \Delta T(-) + \varepsilon \text{RITIRO}$			

SFORZO NORMALE SU CONCIO METALLICO :

Nsdconcio

SLU	SLE
0,00	0,00

[kN]

MOMENTO FLETTENTE SU CONCIO METALLICO :

Msdconcio

380,00	380,00
--------	--------

 [kNm]

Ripartizione delle azioni sulle ali

Momento d'inerzia del profilo	I_y	2209503333	[mm ⁴]
Momento d'inerzia delle ali	$I_{y,ali}$	1,85E+09	[mm ⁴]
Area del profilo	A	25900	[mm ²]
Area della ala superiore	Aala sup	8000	[mm ²]
Area della ala inferiore	Aala inf	8000	[mm ²]

Nuova viabilità – Ponte stradale
Relazione di calcolo impalcato

COMMESSA	LOTTO	CODIFICA	DOCUMENTO	REV.	FOGLIO
IV01	00	D 09 CL	NVX309001	B	134 di 144

Descrizione		SLU	SLE	
Sollecitazioni di calcolo ripartite negli elementi del giunto				
Momento assorbito dalle ali	Mf,Ed	318,19	318,19	[kNm]
Forza normale assorbita dalla ala sup	Nf,Ed	-467,80	-467,80	[kN]
Forza normale assorbita dalla ala inf	Nf,Ed	467,80	467,80	[kN]

Descrizione		SLU	SLE	
Ripartizione delle azioni sull'anima				
Forza di taglio assorbita dall'anima	Vw,Ed	110,00	110,00	[kN]
Forza normale assorbita dall'anima	Nw,Ed	0,00	0,00	[kN]
Momento assorbito dall'anima	Mw,Ed	61,81	61,81	[kNm]

VERIFICA COPRIGIUNTO ALA SUPERIORE
CARATTERISTICHE DEL COPRIGIUNTO E DEI BULLONI D'ALA

Diametro del bullone	d	27	[mm]
Diametro del foro	d ₀	28	[mm]
Area del gambo filettato	A _s	459	[mm ²]
Numero di bulloni su metà giunto	nb	32	[-]
Numero di bulloni trasversali	nb _{,trasm}	4	[-]
Numero piani di taglio per bullone	n	2	[-]
Distanza bullone dal bordo lungo asse trave	e1	55	[mm]
Distanza bullone dal bordo trasversale asse trave	e2	55	[mm]
Passo bulloni in direzione asse trave	p1	80	[mm]
Passo bulloni in direzione trasversale asse trave	p2	100	[mm]
Passo bulloni in direzione asse trave prossimi alla linea dei concetti	p3	110	[mm]
Distanza dal bordo bulloni prossimi alla linea dei concetti	e'1	50	[mm]
Distanza dal bordo interno bulloni coprigiunto interno	e'2	50	[mm]
Distanza trasversale bulloni prossimi ad asse trave	e3	200	[mm]
Resistenza a rottura del bullone	f _{tb}	1000	[MPa]

CARATTERISTICHE GEOMETRICHE DEL COPRIGIUNTO

Lunghezza del coprigiunto esterno	Lc	1340	[mm]
Larghezza del coprigiunto esterno	bc	510	[mm]
Spessore del coprigiunto esterno	tc	35	[mm]
Lunghezza del coprigiunto interno	Lc	1340	[mm]
Larghezza del coprigiunto interno	b'c	205	[mm]
Spessore del coprigiunto interno	tc	35	[mm]
Resistenza a snervamento dell'acciaio	f _{yk}	355	[MPa]
Resistenza a rottura dell'acciaio	f _{tk}	510	[MPa]

Resistenza del giunto offerta dai bulloni

Coefficiente di riduzione per la resistenza a taglio	α	0,5	[-]
Coefficiente di attrito tra piastre per scorrimento	μ	0,45	[-]
Resistenza a taglio per ciascun piano di taglio	F _v ,Rd	183,60	[kN]
Coefficiente di riduzione per la lunghezza del giunto	bLf	0,96	[-]
Coefficiente di riduzione adottato min(0,75;bLf)	bLf,ad	0,96	[-]
Coefficiente riduzione per la resistenza a scorrimento	0,7 μ	0,32	[-]
Resistenza a scorrimento per ciascun piano di taglio	F _v ,Rd	119,49	[-]
Resistenza a taglio globale dei bulloni	F _{1j} ,Rd sup SLU	11293,4	[kN]
Resistenza a scorrimento globale dei bulloni	F _{1j} ,Rd sup SCO	7350,1	[kN]

Resistenza della sezione netta delle ali

Area della sezione netta della ala superiore	A _{f,net}	5760,00	[mm ²]
Resistenza sezione netta ala superiore	F _{t,net} ,Rd s	2115,07	[kN]

Resistenza a rifollamento delle ali

Coefficiente di riduzione per geometria	α _g	0,60	[-]
Resistenza di ogni singolo bullone ala sup	F _b ,Rd s	327,86	[kN]
Resistenza a rifollamento ala superiore	F _{3j} ,Rd	10491,43	[kN]

**Nuova viabilità – Ponte stradale
Relazione di calcolo impalcato**

COMMESSA	LOTTO	CODIFICA	DOCUMENTO	REV.	FOGLIO
IV01	00	D 09 CL	NVX309001	B	135 di 144

Resistenza a rifollamento dei coprigiunti

Coefficiente di riduzione per geometria	α_c	0,65	[-]
Resistenza di ogni singolo bullone	F _{b,c,Rd}	1262,25	[kN]
Resistenza a rifollamento coprigiunto d'ala superiore	F _{4j,Rd}	80784,00	[kN]

Resistenza della sezione lorda dei coprigiunti

Area della sezione lorda dei coprigiunti	A _c	32200,00	[mm ²]
Massima trazione coprigiunti superiori	F _{t,c,Rd}	10886,67	[kN]

Resistenza della sezione netta dei coprigiunti

Area della sezione netta dei coprigiunti	A _{c,net}	24360,00	[mm ²]
Massima trazione assunta dai coprigiunti	F _{t,c,net,Rd}	8944,99	[kN]

VERIFICA COPRIGIUNTO ALA INFERIORE

CARATTERISTICHE DEL COPRIGIUNTO E DEI BULLONI D'ALA

Diametro del bullone	d	27	[mm]
Diametro del foro	d ₀	28	[mm]
Area del gambo filettato	A _s	459	[mm ²]
Numero di bulloni su metà giunto	n _b	48	[-]
Numero di bulloni trasversali	n _{b,trasv}	6	[-]
Numero piani di taglio per bullone	n	2	[-]
Distanza bullone dal bordo lungo asse trave	e ₁	55	[mm]
Distanza bullone dal bordo trasversale asse trave	e ₂	55	[mm]
Passo bulloni in direzione asse trave	p ₁	80	[mm]
Passo bulloni in direzione trasversale asse trave	p ₂	100	[mm]
Passo bulloni in direzione asse trave prossimi alla linea dei conci	p ₃	110	[mm]
Distanza dal bordo bulloni prossimi alla linea dei conci	e' ₁	50	[mm]
Distanza dal bordo interno bulloni coprigiunto interno	e' ₂	50	[mm]
Distanza trasversale bulloni prossimi ad asse trave	e ₃	200	[mm]
Resistenza a rottura del bullone	f _{tb}	1000	[MPa]

CARATTERISTICHE GEOMETRICHE DEL COPRIGIUNTO

Lunghezza del coprigiunto esterno	L _c	1340	[mm]
Larghezza del coprigiunto esterno	b _c	710	[mm]
Spessore del coprigiunto esterno	t _c	40	[mm]
Lunghezza del coprigiunto interno	L _c	1340	[mm]
Larghezza del coprigiunto interno	b' _c	305	[mm]
Spessore del coprigiunto interno	t _c	40	[mm]
Resistenza a snervamento dell'acciaio	f _{yk}	355	[MPa]
Resistenza a rottura dell'acciaio	f _{tk}	510	[MPa]

Resistenza del giunto offerta dai bulloni

Coefficiente di riduzione per la resistenza a taglio	α	0,5	[-]
Coefficiente di attrito tra piastre per scorrimento	μ	0,45	[-]
Resistenza a taglio per ciascun piano di taglio	F _{v,Rd}	183,60	[kN]
Coefficiente di riduzione per la lunghezza del giunto	bL _f	0,96	[-]
Coefficiente di riduzione adottato min(0,75;bL _f)	bL _{f,ad}	0,96	[-]
Coefficiente riduzione per la resistenza a scorrimento	0,7 μ	0,32	[-]
Resistenza a scorrimento per ciascun piano di taglio	F _{v,Rd}	119,49	[-]
Resistenza a taglio globale dei bulloni	F _{1j,Rd sup SLU}	16940,2	[kN]
Resistenza a scorrimento globale dei bulloni	F _{1j,Rd sup SCO}	11025,1	[kN]

Resistenza della sezione netta delle ali

Area della sezione netta della ala inferiore	A _{f,net}	4640,00	[mm ²]
Resistenza sezione netta ala inferiore	F _{t,net,Rd i}	1703,81	[kN]

Resistenza a rifollamento delle ali

Coefficiente di riduzione per geometria	α_g	0,60	[-]
Resistenza di ogni singolo bullone ala inf	F _{b,Rd i}	327,86	[kN]
Resistenza a rifollamento ala inferiore	F _{3j,Rd}	15737,14	[kN]

**Nuova viabilità – Ponte stradale
 Relazione di calcolo impalcato**

COMMESSA	LOTTO	CODIFICA	DOCUMENTO	REV.	FOGLIO
IV01	00	D 09 CL	NVX309001	B	136 di 144

Resistenza a rifollamento dei coprigiunti

Coefficiente di riduzione per geometria	α	0,65	[-]
Resistenza di ogni singolo bullone	Fb,c,Rd	1442,57	[kN]
Resistenza a rifollamento coprigiunto d'ala inferiore	F4j,Rd	138486,86	[kN]

Resistenza della sezione lorda dei coprigiunti

Area della sezione lorda dei coprigiunti	Ac	52800,00	[mm ²]
Massima trazione coprigiunti inferiori	Ft,c,Rd	17851,43	[kN]

Resistenza della sezione netta dei coprigiunti

Area della sezione netta dei coprigiunti	Ac,net	39360,00	[mm ²]
Massima trazione assunta dai coprigiunti	Ft,c,net,Rd	14452,99	[kN]

VERIFICA COPRIGIUNTI D'ANIMA

Numero di sezioni resistenti	nv	2,00	[-]
Eccentricità di VSd	e	13,50	[cm]
Numero totale di bulloni	nb	63	[-]
Baricentro bullonatura	ZG,b	84,00	[cm]
Baricentro bullonatura	XG,b	13,50	[cm]
Ordinata massima	zb,max	80,00	[cm]
Ascissa massima	xb,max	8,00	[cm]
Momento d'inerzia bulloneria	Jb,tot	150528,00	[cm ²]

Sollecitazioni di calcolo ripartite negli elementi del giunto

		SLU	SLE	
Forza Normale di Calcolo	NSd	0,00	0,00	[kN]
Forza di Taglio di Calcolo	VSd	110,00	110,00	[kN]
Momento flettente di Calcolo	MSd	61,81	61,81	[kNm]
Momento torcente parassita	TSd	1485	1485	[kNcm]
Momento totale di calcolo	Mtot,Sd	7666	7666	[kNcm]
Taglio in z dovuto a Vsd	Vbz,V	0,87	0,87	[kN]
Taglio in x dovuto a Nsd	Vbx,N	0,00	0,00	[kN]
Taglio in z dovuto a Msd,tot	Vbz,M	0,20	0,20	[kN]
Taglio in x dovuto a Msd,tot	Vbx,M	2,04	2,04	[kN]
Reazione per sezione di taglio	Rb,tot	2	2	[kN]

Verifica dei bulloni

Coefficiente di riduzione per la resistenza a taglio	α	0,50	[-]
Resistenza a taglio per ciascun piano di taglio	Fv,Rd SLU	183,60	[kN]
Coefficiente riduzione per la resistenza a scorrimento	0,7 μ	0,32	[-]
Resistenza a scorrimento per ciascun piano di taglio	Fv,Rd	119,49	[kN]
Azione sollecitante per taglio	Fv,Ed SLU	2,30	[kN]
Azione sollecitante per scorrimento	Fv,Ed SLE	2	[kN]

Verifica a rifollamento dell'anima della trave

Azione di rifollamento in direzione verticale	Fbz,Ed	2,15	[kN]
Azione di rifollamento in direzione orizzontale	Fby,Ed	4,07	[kN]
Coefficiente di riduzione per geometria verticale	az	0,702	[-]
Coefficiente di riduzione per geometria orizzontale	ax	0,536	[-]
Resistenza a rifollamento verticale	Fbz,Rd	290,15	[kN]
Resistenza a rifollamento orizzontale	Fby,Rd	221,30	[kN]

Verifica a rifollamento dei coprigiunti

Azione di rifollamento in direzione verticale	Fbz,Ed	2,15	[kN]
Azione di rifollamento in direzione orizzontale	Fby,Ed	4,07	[kN]
Coefficiente di riduzione per geometria verticale	az	0,595	[-]
Coefficiente di riduzione per geometria orizzontale	ax	0,595	[-]
Resistenza a rifollamento verticale	Fbz,Rd	491,79	[kN]
Resistenza a rifollamento orizzontale	Fby,Rd	491,79	[kN]

Verifica della sezione lorda dei coprigiunti

Modulo di resistenza plastico dei coprigiunti	Wc,pl	21675000	[mm ³]
---	-------	----------	--------------------

**Nuova viabilità – Ponte stradale
 Relazione di calcolo impalcato**

COMMESSA	LOTTO	CODIFICA	DOCUMENTO	REV.	FOGLIO
IV01	00	D 09 CL	NVX309001	B	137 di 144

Area di taglio dei coprigiunti	Ac,v	51000	[mm ²]
Momento resistente dei coprigiunti	Mc,pl,Rd	6995,113636	[kNm]
Taglio resistente dei coprigiunti	Vc,pl,Rd	9502,66	[kN]
Momento plastico trasferito all'anima della trave	Mw,pl,Rd	61,81	[kNm]
Taglio sollecitante di progetto	VEd	110	[kN]

Verifica della sezione netta dei coprigiunti

Modulo di resistenza netto dei coprigiunti	Wc,net,pl	16567800	[mm ³]
Area di taglio netta dei coprigiunti	Ac,v	33360	[mm ²]
Momento resistente dei coprigiunti	Mc,pl,Rd	6759,66	[kNm]
Taglio resistente dei coprigiunti	Vc,pl,Rd	7858,25	[kN]
Momento plastico trasferito all'anima della trave	Mw,pl,Rd	61,81	[kNm]

SINTESI DELLE VERIFICHE NEL GIUNTO
Verifica delle giunzioni d'ala superiore ed inferiore

Resistenza bulloni a taglio ala superiore	η	4,14%	[-]	OK
Resistenza bulloni a taglio ala inferiore	η	2,76%	[-]	OK
Resistenza sezione netta ala superiore	η	22,12%	[-]	OK
Resistenza sezione netta ala inferiore	η	27,46%	[-]	OK
Massima trazione coprigiunti superiori	η	4,30%	[-]	OK
Massima trazione coprigiunti inferiori	η	2,62%	[-]	OK
Trazione area netta coprigiunti superiori	η	5,23%	[-]	OK
Trazione area netta coprigiunti inferiori	η	3,24%	[-]	OK
Resistenza bulloni a scorrimento ala superiore	η	6,36%	[-]	OK
Resistenza bulloni a scorrimento ala inferiore	η	4,24%	[-]	OK
Resistenza a rifollamento ala superiore	η	4,46%	[-]	OK
Resistenza a rifollamento ala inferiore	η	2,97%	[-]	OK
Resistenza a rifollamento coprigiunto d'ala superiore	η	0,58%	[-]	OK
Resistenza a rifollamento coprigiunto d'ala inferiore	η	0,34%	[-]	OK
Tasso di lavoro massimo	η	27,46%	[-]	OK

Verifica della giunzione d'anima

Verifica a taglio dei bulloni	η	1,25%	[-]	OK
Verifica a scorrimento	η	1,93%	[-]	OK
Verifica a rifollamento dell'anima della trave	η	0,74%	[-]	OK
	η	1,84%	[-]	OK
Verifica a rifollamento dei coprigiunti	η	0,44%	[-]	OK
	η	0,83%	[-]	OK
Verifica della sezione lorda dei coprigiunti	η_{MOMENTO}	0,88%	[-]	OK
	η_{TAGLIO}	1,16%	[-]	OK
Verifica della sezione netta dei coprigiunti	η_{MOMENTO}	0,91%	[-]	OK
	η_{TAGLIO}	1,40%	[-]	OK
Tasso di lavoro massimo	η	1,93%		OK

VERIFICA GIUNTO BULLONATO

: CONCIO TC

Elemento :	-	27	OK	0	0
Combinazione :	-	27	OK	0	0
Concio :	TC	27	OK	0	0
Effetti primari :	$\varepsilon \Delta T(-) + \varepsilon$ RITIRO				

SFORZO NORMALE SU CONCIO METALLICO :

 Nsdconcio **0,00** **0,00** [kN]

MOMENTO FLETTENTE SU CONCIO METALLICO :

 Msdconcio **170,00** **170,00** [kNm]

SLU	SLE
0,00	0,00
170,00	170,00

Nuova viabilità – Ponte stradale
Relazione di calcolo impalcato

COMMESSA	LOTTO	CODIFICA	DOCUMENTO	REV.	FOGLIO
IV01	00	D 09 CL	NVX309001	B	138 di 144

Ripartizione delle azioni sulle ali

Momento d'inerzia del profilo	ly	1783853750	[mm ⁴]
Momento d'inerzia delle ali	ly,ali	1,41E+09	[mm ⁴]
Area del profilo	A	22050	[mm ²]
Area della ala superiore	Aala sup	6000	[mm ²]
Area della ala inferiore	Aala inf	6000	[mm ²]

Sollecitazioni di calcolo ripartite negli elementi del giunto		SLU	SLE	
Momento assorbito dalle ali	Mf,Ed	134,17	134,17	[kNm]
Forza normale assorbita dalla ala sup	Nf,Ed	-195,84	-195,84	[kN]
Forza normale assorbita dalla ala inf	Nf,Ed	195,84	195,84	[kN]

Ripartizione delle azioni sull'anima		SLU	SLE	
Forza di taglio assorbita dall'anima	Vw,Ed	55,00	55,00	[kN]
Forza normale assorbita dall'anima	Nw,Ed	0,00	0,00	[kN]
Momento assorbito dall'anima	Mw,Ed	35,83	35,83	[kNm]

VERIFICA COPRIGIUNTO ALA SUPERIORE

CARATTERISTICHE DEL COPRIGIUNTO E DEI BULLONI D'ALA

Diametro del bullone	d	27	[mm]
Diametro del foro	d ₀	28	[mm]
Area del gambo filettato	As	459	[mm ²]
Numero di bulloni su metà giunto	nb	32	[-]
Numero di bulloni trasversali	nb _{,trasv}	4	[-]
Numero piani di taglio per bullone	n	2	[-]
Distanza bullone dal bordo lungo asse trave	e1	55	[mm]
Distanza bullone dal bordo trasversale asse trave	e2	55	[mm]
Passo bulloni in direzione asse trave	p1	80	[mm]
Passo bulloni in direzione trasversale asse trave	p2	100	[mm]
Passo bulloni in direzione asse trave prossimi alla linea dei conci	p3	110	[mm]
Distanza dal bordo bulloni prossimi alla linea dei conci	e'1	50	[mm]
Distanza dal bordo interno bulloni coprigiunto interno	e'2	50	[mm]
Distanza trasversale bulloni prossimi ad asse trave	e3	200	[mm]
Resistenza a rottura del bullone	f _{tb}	1000	[MPa]

CARATTERISTICHE GEOMETRICHE DEL COPRIGIUNTO

Lunghezza del coprigiunto esterno	Lc	1340	[mm]
Larghezza del coprigiunto esterno	bc	510	[mm]
Spessore del coprigiunto esterno	tc	35	[mm]
Lunghezza del coprigiunto interno	Lc	1340	[mm]
Larghezza del coprigiunto interno	b'c	205	[mm]
Spessore del coprigiunto interno	tc	35	[mm]
Resistenza a snervamento dell'acciaio	f _{yk}	355	[MPa]
Resistenza a rottura dell'acciaio	f _{tk}	510	[MPa]

Resistenza del giunto offerta dai bulloni

Coefficiente di riduzione per la resistenza a taglio	α	0,5	[-]
Coefficiente di attrito tra piastre per scorrimento	μ	0,45	[-]
Resistenza a taglio per ciascun piano di taglio	F _{v,Rd}	183,60	[kN]
Coefficiente di riduzione per la lunghezza del giunto	bLf	0,96	[-]
Coefficiente di riduzione adottato min(0,75;bLf)	bLf,ad	0,96	[-]
Coefficiente riduzione per la resistenza a scorrimento	0,7 μ	0,32	[-]
Resistenza a scorrimento per ciascun piano di taglio	F _{v,Rd}	119,49	[-]
Resistenza a taglio globale dei bulloni	F _{1j,Rd sup SLU}	11293,4	[kN]

Nuova viabilità – Ponte stradale
Relazione di calcolo impalcato

COMMESSA	LOTTO	CODIFICA	DOCUMENTO	REV.	FOGLIO
IV01	00	D 09 CL	NVX309001	B	139 di 144

Resistenza a scorrimento globale dei bulloni F1j,Rd sup SCO 7350,1 [kN]

Resistenza della sezione netta delle ali

Area della sezione netta della ala superiore Af,net 4320,00 [mm²]

Resistenza sezione netta ala superiore Ft,net,Rd s 1586,30 [kN]

Resistenza a rifollamento delle ali

Coefficiente di riduzione per geometria ag 0,60 [-]

Resistenza di ogni singolo bullone ala sup Fb,Rd s 245,89 [kN]

Resistenza a rifollamento ala superiore F3j,Rd 7868,57 [kN]

Resistenza a rifollamento dei coprigiunti

Coefficiente di riduzione per geometria ac 0,65 [-]

Resistenza di ogni singolo bullone Fb,c,Rd 1262,25 [kN]

Resistenza a rifollamento coprigiunto d'ala superiore F4j,Rd 80784,00 [kN]

Resistenza della sezione lorda dei coprigiunti

Area della sezione lorda dei coprigiunti Ac 32200,00 [mm²]

Massima trazione coprigiunti superiori Ft,c,Rd 10886,67 [kN]

Resistenza della sezione netta dei coprigiunti

Area della sezione netta dei coprigiunti Ac,net 24360,00 [mm²]

Massima trazione assunta dai coprigiunti Ft,c,net,Rd 8944,99 [kN]

VERIFICA COPRIGIUNTO ALA INFERIORE
CARATTERISTICHE DEL COPRIGIUNTO E DEI BULLONI D'ALA

Diametro del bullone	d	27	[mm]
Diametro del foro	d ₀	28	[mm]
Area del gambo filettato	As	459	[mm ²]
Numero di bulloni su metà giunto	nb	48	[-]
Numero di bulloni trasversali	nb,trasv	6	[-]
Numero piani di taglio per bullone	n	2	[-]
Distanza bullone dal bordo lungo asse trave	e1	55	[mm]
Distanza bullone dal bordo trasversale asse trave	e2	55	[mm]
Passo bulloni in direzione asse trave	p1	80	[mm]
Passo bulloni in direzione trasversale asse trave	p2	100	[mm]
Passo bulloni in direzione asse trave prossimi alla linea dei conci	p3	110	[mm]
Distanza dal bordo bulloni prossimi alla linea dei conci	e'1	50	[mm]
Distanza dal bordo interno bulloni coprigiunto interno	e'2	50	[mm]
Distanza trasversale bulloni prossimi ad asse trave	e3	200	[mm]
Resistenza a rottura del bullone	f _{tb}	1000	[MPa]

CARATTERISTICHE GEOMETRICHE DEL COPRIGIUNTO

Lunghezza del coprigiunto esterno	Lc	1340	[mm]
Larghezza del coprigiunto esterno	bc	710	[mm]
Spessore del coprigiunto esterno	tc	40	[mm]
Lunghezza del coprigiunto interno	Lc	1340	[mm]
Larghezza del coprigiunto interno	b'c	305	[mm]
Spessore del coprigiunto interno	tc	40	[mm]
Resistenza a snervamento dell'acciaio	f _{yk}	355	[MPa]
Resistenza a rottura dell'acciaio	f _{tk}	510	[MPa]

Resistenza del giunto offerta dai bulloni

Coefficiente di riduzione per la resistenza a taglio	α	0,5	[-]
Coefficiente di attrito tra piastre per scorrimento	μ	0,45	[-]
Resistenza a taglio per ciascun piano di taglio	Fv,Rd	183,60	[kN]
Coefficiente di riduzione per la lunghezza del giunto	bLf	0,96	[-]
Coefficiente di riduzione adottato min(0,75;bLf)	bLf,ad	0,96	[-]
Coefficiente riduzione per la resistenza a scorrimento	0,7 μ	0,32	[-]
Resistenza a scorrimento per ciascun piano di taglio	Fv,Rd	119,49	[-]
Resistenza a taglio globale dei bulloni	F1j,Rd sup SLU	16940,2	[kN]

**Nuova viabilità – Ponte stradale
 Relazione di calcolo impalcato**

COMMESSA	LOTTO	CODIFICA	DOCUMENTO	REV.	FOGLIO
IV01	00	D 09 CL	NVX309001	B	140 di 144

Resistenza a scorrimento globale dei bulloni F1j,Rd sup SCO 11025,1 [kN]

Resistenza della sezione netta delle ali

Area della sezione netta della ala inferiore Af,net 3480,00 [mm²]

Resistenza sezione netta ala inferiore Ft,net,Rd i 1277,86 [kN]

Resistenza a rifollamento delle ali

Coefficiente di riduzione per geometria α_g 0,60 [-]

Resistenza di ogni singolo bullone ala inf Fb,Rd i 245,89 [kN]

Resistenza a rifollamento ala inferiore F3j,Rd 11802,86 [kN]

Resistenza a rifollamento dei coprigiunti

Coefficiente di riduzione per geometria α_c 0,65 [-]

Resistenza di ogni singolo bullone Fb,c,Rd 1442,57 [kN]

Resistenza a rifollamento coprigiunto d'ala inferiore F4j,Rd 138486,86 [kN]

Resistenza della sezione lorda dei coprigiunti

Area della sezione lorda dei coprigiunti Ac 52800,00 [mm²]

Massima trazione coprigiunti inferiori Ft,c,Rd 17851,43 [kN]

Resistenza della sezione netta dei coprigiunti

Area della sezione netta dei coprigiunti Ac,net 39360,00 [mm²]

Massima trazione assunta dai coprigiunti Ft,c,net,Rd 14452,99 [kN]

VERIFICA COPRIGIUNTI D'ANIMA

Numero di sezioni resistenti nv 2,00 [-]

Eccentricità di VSd e 13,50 [cm]

Numero totale di bulloni nb 63 [-]

Baricentro bullonatura ZG,b 84,00 [cm]

Baricentro bullonatura XG,b 13,50 [cm]

Ordinata massima zb,max 80,00 [cm]

Ascissa massima xb,max 8,00 [cm]

Momento d'inerzia bulloneria Jb,tot 150528,00 [cm²]

Sollecitazioni di calcolo ripartite negli elementi del giunto		SLU	SLE	
Forza Normale di Calcolo	NSd	0,00	0,00	[kN]
Forza di Taglio di Calcolo	VSd	55,00	55,00	[kN]
Momento flettente di Calcolo	MSd	35,83	35,83	[kNm]
Momento torcente parassita	TSd	743	743	[kNcm]
Momento totale di calcolo	Mtot,Sd	4325	4325	[kNcm]
Taglio in z dovuto a Vsd	Vbz,V	0,44	0,44	[kN]
Taglio in x dovuto a Nsd	Vbx,N	0,00	0,00	[kN]
Taglio in z dovuto a Msd,tot	Vbz,M	0,11	0,11	[kN]
Taglio in x dovuto a Msd,tot	Vbx,M	1,15	1,15	[kN]
Reazione per sezione di taglio	Rb,tot	1	1	[kN]

Verifica dei bulloni

Coefficiente di riduzione per la resistenza a taglio α 0,50 [-]

Resistenza a taglio per ciascun piano di taglio Fv,Rd SLU 183,60 [kN]

Coefficiente riduzione per la resistenza a scorrimento 0,7 μ 0,32 [-]

Resistenza a scorrimento per ciascun piano di taglio Fv,Rd 119,49 [kN]

Azione sollecitante per taglio Fv,Ed SLU 1,27 [kN]

Azione sollecitante per scorrimento Fv,Ed SLE 1 [kN]

Verifica a rifollamento dell'anima della trave

Azione di rifollamento in direzione verticale Fbz,Ed 1,10 [kN]

Azione di rifollamento in direzione orizzontale Fby,Ed 2,30 [kN]

Coefficiente di riduzione per geometria verticale az 0,702 [-]

Coefficiente di riduzione per geometria orizzontale ax 0,536 [-]

Resistenza a rifollamento verticale Fbz,Rd 290,15 [kN]

Resistenza a rifollamento orizzontale Fby,Rd 221,30 [kN]

Verifica a rifollamento dei coprigiunti

Nuova viabilità – Ponte stradale
Relazione di calcolo impalcato

COMMESSA	LOTTO	CODIFICA	DOCUMENTO	REV.	FOGLIO
IV01	00	D 09 CL	NVX309001	B	141 di 144

Azione di rifollamento in direzione verticale	Fbz,Ed	1,10	[kN]
Azione di rifollamento in direzione orizzontale	Fby,Ed	2,30	[kN]
Coefficiente di riduzione per geometria verticale	az	0,595	[-]
Coefficiente di riduzione per geometria orizzontale	ax	0,595	[-]
Resistenza a rifollamento verticale	Fbz,Rd	491,79	[kN]
Resistenza a rifollamento orizzontale	Fby,Rd	491,79	[kN]

Verifica della sezione lorda dei coprigiunti

Modulo di resistenza plastico dei coprigiunti	Wc,pl	21675000	[mm3]
Area di taglio dei coprigiunti	Ac,v	51000	[mm2]
Momento resistente dei coprigiunti	Mc,pl,Rd	6995,113636	[kNm]
Taglio resistente dei coprigiunti	Vc,pl,Rd	9502,66	[kN]
Momento plastico trasferito all'anima della trave	Mw,pl,Rd	35,83	[kNm]
Taglio sollecitante di progetto	VEd	55	[kN]

Verifica della sezione netta dei coprigiunti

Modulo di resistenza netto dei coprigiunti	Wc,net,pl	16567800	[mm3]
Area di taglio netta dei coprigiunti	Ac,v	33360	[mm2]
Momento resistente dei coprigiunti	Mc,pl,Rd	6759,66	[kNm]
Taglio resistente dei coprigiunti	Vc,pl,Rd	7858,25	[kN]
Momento plastico trasferito all'anima della trave	Mw,pl,Rd	35,83	[kNm]

SINTESI DELLE VERIFICHE NEL GIUNTO
Verifica delle giunzioni d'ala superiore ed inferiore

Resistenza bulloni a taglio ala superiore	η	1,73%	[-]	OK
Resistenza bulloni a taglio ala inferiore	η	1,16%	[-]	OK
Resistenza sezione netta ala superiore	η	12,35%	[-]	OK
Resistenza sezione netta ala inferiore	η	15,33%	[-]	OK
Massima trazione coprigiunti superiori	η	1,80%	[-]	OK
Massima trazione coprigiunti inferiori	η	1,10%	[-]	OK
Trazione area netta coprigiunti superiori	η	2,19%	[-]	OK
Trazione area netta coprigiunti inferiori	η	1,36%	[-]	OK
Resistenza bulloni a scorrimento ala superiore	η	2,66%	[-]	OK
Resistenza bulloni a scorrimento ala inferiore	η	1,78%	[-]	OK
Resistenza a rifollamento ala superiore	η	2,49%	[-]	OK
Resistenza a rifollamento ala inferiore	η	1,66%	[-]	OK
Resistenza a rifollamento coprigiunto d'ala superiore	η	0,24%	[-]	OK
Resistenza a rifollamento coprigiunto d'ala inferiore	η	0,14%	[-]	OK
Tasso di lavoro massimo	η	15,33%	[-]	OK

Verifica della giunzione d'anima

Verifica a taglio dei bulloni	η	0,69%	[-]	OK
Verifica a scorrimento	η	1,07%	[-]	OK
Verifica a rifollamento dell'anima della trave	η	0,38%	[-]	OK
	η	1,04%	[-]	OK
Verifica a rifollamento dei coprigiunti	η	0,22%	[-]	OK
	η	0,47%	[-]	OK
Verifica della sezione lorda dei coprigiunti	η_{MOMENTO}	0,51%	[-]	OK
	η_{TAGLIO}	0,58%	[-]	OK
Verifica della sezione netta dei coprigiunti	η_{MOMENTO}	0,53%	[-]	OK
	η_{TAGLIO}	0,70%	[-]	OK
Tasso di lavoro massimo	η	1,07%		OK



**PROGETTO DEFINITIVO
RADDOPPIO LINEA GENOVA – VENTIMIGLIA
TRATTA FINALE LIGURE - ANDORA**

**Nuova viabilità – Ponte stradale
Relazione di calcolo impalcato**

COMMESSA	LOTTO	CODIFICA	DOCUMENTO	REV.	FOGLIO
IV01	00	D 09 CL	NVX309001	B	142 di 144

13 DISPOSITIVI ANTISISMICI E GIUNTI DI DILATAZIONE

13.1 Dispositivi antisismici

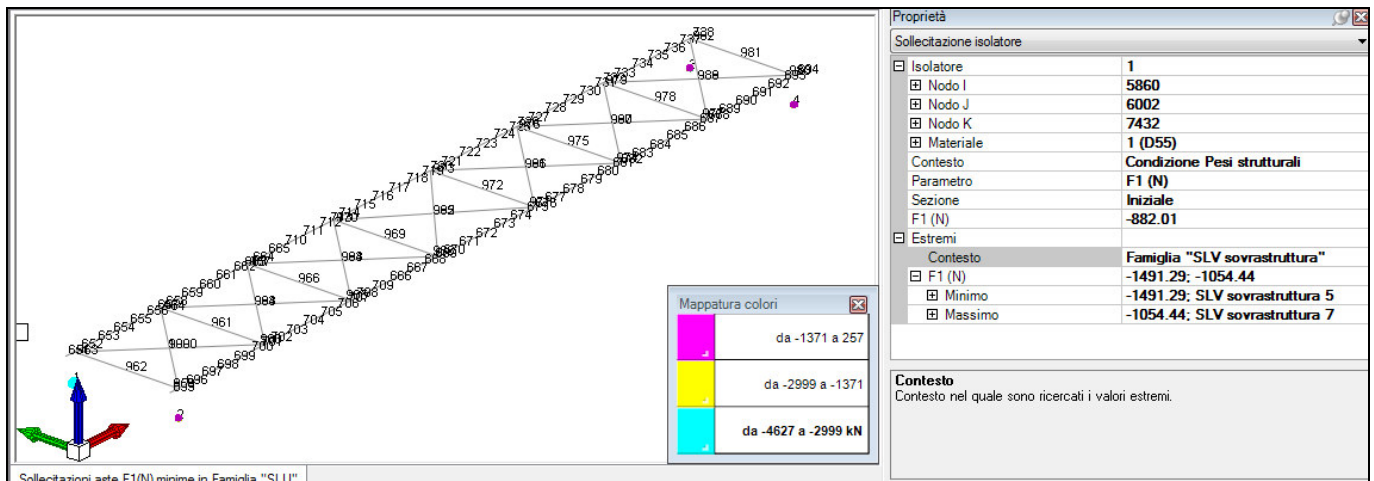
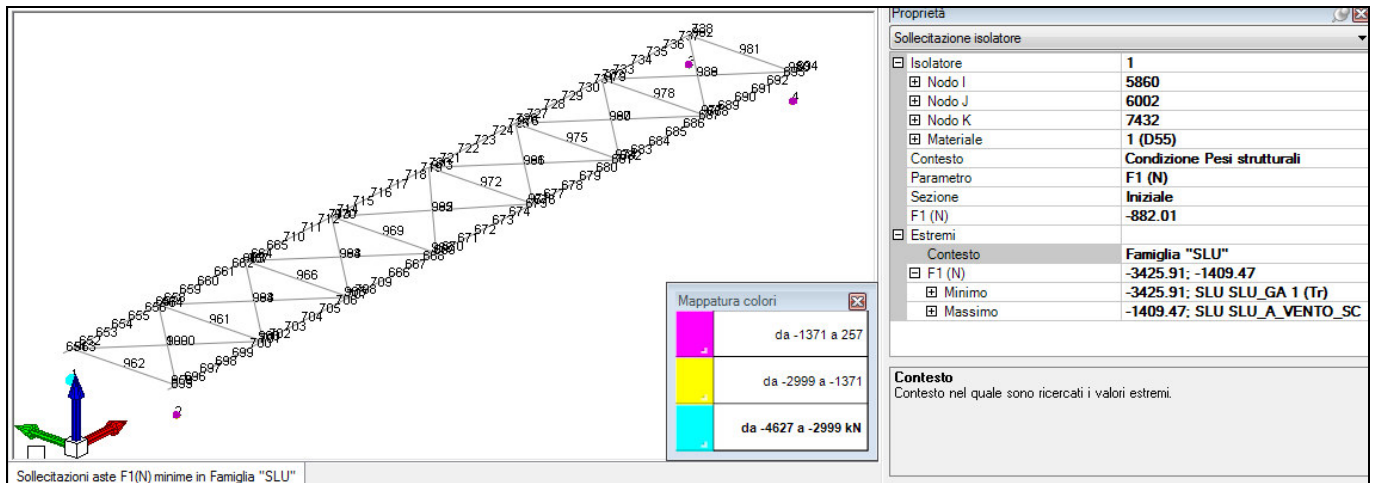
Come sistema di isolamento sono stati utilizzati apparecchi di appoggio del tipo elastomerici definiti dalle seguenti grandezza caratteristiche:

V	3610	kN	massimo carico verticale agente sull'isolatore in fase di sisma
F _{zd}	9380	kN	massimo carico verticale allo SLU in esercizio
K _e	2,01	kN/mm	rigidezza orizzontale equivalente
K _v	1954	kN/mm	rigidezza verticale
d	0,150	m	massimo spostamento dell'isolatore

Smorzamento viscoso equivalente: 10%; Fattore di smorzamento η_{iso} : 0.816

Tali isolatori consentono sostanzialmente di aumentare il periodo proprio della struttura, di sostenere i carichi verticali senza apprezzabili cedimenti, e di contenere lo spostamento orizzontale della struttura isolata.

Le NTC 08 permettono di applicare una riduzione dello spettro elastico definito in precedenza per il campo di periodi $T \geq 0,8 T_{is}$, assumendo per il coefficiente riduttivo η_{iso} il valore corrispondente al coefficiente di smorzamento viscoso equivalente ξ_{esi} del sistema di isolamento.





**PROGETTO DEFINITIVO
RADDOPPIO LINEA GENOVA – VENTIMIGLIA
TRATTA FINALE LIGURE - ANDORA**

**Nuova viabilità – Ponte stradale
Relazione di calcolo impalcato**

COMMESSA	LOTTO	CODIFICA	DOCUMENTO	REV.	FOGLIO
IV01	00	D 09 CL	NVX309001	B	144 di 144

Come si può vedere dalle tabelle precedenti i massimi carichi verticali agenti nelle due combinazioni risultano compatibili con il massimo carico che può sopportare il dispositivo in fase di sisma ed allo S.L.U.

Le verifiche sugli isolatori sono descritte nella relazione sulle sottostrutture e riportate nel relativo allegato.

13.2 Giunti di dilatazione

La dilatazione longitudinale dell'impalcato è la somma dello spostamento dovuto al sisma e della dilatazione dovuta alla variazione termica lineare uniforme:

$$d_{TOT} = d_E + d_{\Delta T}$$

$\mu_d = q$	se $T_1 \geq T_C$
$\mu_d = 1 + (q - 1) \cdot T_C / T_1$	se $T_1 < T_C$

dove:

$$d_E = d_{Ee} * \mu_d = 0,085 \text{ m} * 1 = 0,085 \text{ m} = 85,0 \text{ mm} \quad (\text{NTC cap. 7.3.3.3});$$

$$d_{\Delta T} = \varepsilon_{(\Delta T=25)} * L_{imp} = 0,0003 * 46,20 \text{ m} = 0,01386 \text{ m} = 13,86 \text{ mm};$$

indicando con d_{Ee} spostamento orizzontale ottenuto dall'analisi lineare; $\varepsilon_{(\Delta T=25)}$ deformazioni da effetto termico lineare paria a $\pm 25^\circ$; L_{imp} lunghezza dell'impalcato.

Si ha quindi $d_{TOT} = 98,86 \text{ mm}$

Pertanto l'escursione del giunto vale $2 * d_{TOT} = 197,72 \text{ mm}$.

14 CONCLUSIONI

Dalle verifiche effettuate si può concludere che la struttura risulta rispondere a tutti i requisiti di resistenza e funzionalità previsti allo SLU e SLE, con opportuno margine di sicurezza.

L'analisi critica dei risultati e dei parametri di controllo associata al confronto con verifiche di massima eseguite manualmente porta a confermare la validità dei risultati.

Dovrà essere posta attenzione alle effettive misure dello stato di fatto in modo da posizionare la struttura in oggetto in maniera conforme alle indicazioni di progetto.

La struttura a collaudo dovrà essere conforme alle tolleranze dimensionali prescritte nella presente relazione, inoltre relativamente alle prestazioni attese esse dovranno essere quelle di cui al § 9 del D.M. 14.01.2008.

Ai fini della verifica delle prestazioni il collaudatore farà riferimento ai valori di tensioni, deformazioni e spostamenti desumibili dall'allegato fascicolo dei calcoli statici per il valore delle azioni pari a quelle di esercizio.

15 ALLEGATO

L'allegato contiene tutte le verifiche relative alle sezioni miste in acciaio calcestruzzo presenti nell'impalcato nelle combinazioni di calcolo descritte in relazione agli stati limite SLU, SLV, SLE, SLF in conformità alla normativa vigente.